

**MINISTERUL EDUCATIEI SI INVATAMINTULUI  
INSTITUTUL POLITEHNIC "TRAIAN VUIA" TIMISOARA  
FACULTATEA DE ELECTROTEHNICA**

**ING. TANASE MIHAIL-EUGEN**

**STUDIUL CONVERTOARELOR MAGNETO-OPTICE DE CURENT,  
IMBUNATATIREA PERFORMANTELOR TRADUCTORULUI PRIMAR**

BIBLIOTECA CENTRALĂ  
UNIVERSITATEA "POLITEHNICA"  
TIMIȘOARA

**Conducător științific  
Prof.dr.ing.EUGEN POP**

**TIMISOARA - 1981**

INSTITUTUL POLITEHNIC TIMIȘOARA	
BIBLIOTECA	CA
Volumul	62320
Dulap	2

C U P R I N S

<b>CAPITOLUL 1</b>	<b>STADIUL ACTUAL AL MIJLOACELOR NECONVENTIONALE...</b>	<b>3</b>
	<b>DE MASURARE A CURENTULUI IN LINIILE DE</b>	
	<b>TRANSPORT A ENERGIEI LA FOARTE INALTA TENSIUNE</b>	
	<b>1.1. Considerații generale .....</b>	<b>3</b>
	<b>1.2. Transformatoarele electrono-optice de</b>	
	<b>curent cu modulație internă .....</b>	<b>7</b>
	<b>1.3. Transformatoarele electrono-optice de</b>	
	<b>curent cu modulație externă .....</b>	<b>9</b>
	<b>1.3.1. Efectul magneto-optic longitudinal..</b>	<b>9</b>
	<b>1.3.2. Funcția de modulare în amplitu-</b>	
	<b>dine a intensității luminii plan-</b>	
	<b>polarizate .....</b>	<b>11</b>
	<b>1.3.3. Sensorul de curent .....</b>	<b>16</b>
	<b>1.3.4. Analiza cauzelor ce afectează per-</b>	
	<b>formanțele transformatorului mag-</b>	
	<b>neto-optic de curent .....</b>	<b>19</b>
<b>CAPITOLUL 2</b>	<b>SENSORUL DE CURENT CU CIRCUIT FEROMAGNETIC.....</b>	<b>25</b>
	<b>TOROIDAL. FORMULAREA PROBLEMEI DE CIMP</b>	
	<b>2.1. Soluția propusă .....</b>	<b>25</b>
	<b>2.2. Cerințele problemei de câmp .....</b>	<b>27</b>
	<b>2.3. Delimitarea domeniului de modelare a</b>	
	<b>câmpului și stabilirea funcționalei .....</b>	<b>29</b>
	<b>2.4. Alegerea funcției de aproximare pentru</b>	
	<b>potențialul magnetic scalar .....</b>	<b>35</b>
	<b>2.4.1. Considerații generale .....</b>	<b>35</b>
	<b>2.4.2. Funcțiile de ponderație ale ele-</b>	
	<b>mentelor triunghiulare .....</b>	<b>38</b>
	<b>2.4.3. Funcția de aproximare a potenția-</b>	
	<b>lului magnetic scalar .....</b>	<b>43</b>
	<b>2.5. Minimizarea funcționalei la nivelul ele-</b>	
	<b>mentului .....</b>	<b>45</b>
	<b>2.6. Asamblarea problemei de minim a funcțio-</b>	
	<b>nalei la nivelul întregului domeniu de</b>	
	<b>modelare a câmpului .....</b>	<b>51</b>
	<b>2.6.1. Generarea elementelor matricii coe-</b>	
	<b>ficienților și termenului liber.....</b>	<b>51</b>

2.6.2. Proprietăți ale matricii coeficien- ților .....	56
2.6.3. Rezolvarea sistemelor mari de ecuații algebrice liniare.....	60
2.7. Determinarea factorului de transformare al sensorului de curent .....	67
2.8. Tratarea neliniarității circuitului feromagnetic .....	72
2.9. Calculul erorii datorate câmpurilor mag- netice parazite .....	78
<b>CAPITOLUL 3 REZOLVAREA NUMERICĂ A PROBLEMEI DE CIMP .....</b>	<b>84</b>
3.1. Aproximarea câmpului real .....	84
3.1.1. Aproximarea câmpului magnetic în domeniul D .....	85
3.1.2. Aproximarea câmpului în domeniul D pentru conductor cu rază echi- valentă mărită .....	97
3.1.3. Aproximarea câmpului în domeniul D..	100
3.2. Stabilirea variabilelor și a reprezentă- rii rețelei de elemente finite în calculator .....	100
3.2.1. Stabilirea variabilelor .....	100
3.2.3. Reprezentarea rețelei de elemente finite în calculator .....	104
3.3. Stabilirea structurii programului de calcul numeric .....	105
3.3.1. Structura programului TRAMAG .....	106
3.3.2. Structura programului INCOVEC2.....	106
3.4. Elaborarea programului principal și a subrutinelor .....	107
3.5. Prelucrarea rezultatelor numerice .....	117
<b>CAPITOLUL 4 INCERCARI EXPERIMENTALE .....</b>	<b>134</b>
4.1. Determinarea factorului de transformare....	134
4.2. Determinarea inducției magnetice în diverse secțiuni transversale ale cir- cuitului feromagnetic .....	145
4.3. Interpretarea rezultatelor experimentale...	148
<b>CAPITOLUL 5 CONCLUZII, CONTRIBUTII, PERSPECTIVE .....</b>	<b>154</b>

## CAPITOLUL 1

### STADIUL ACTUAL AL MIJLOACELOR NECONVENTIONALE DE MASURARE A CURENTULUI IN LINIILE DE TRANS- PORT A ENERGIEI LA FOARTE INALTA TENSIUNE

#### 1.1. CONSIDERATII GENERALE

Transportul energiei electrice la tensiuni mai mari de 220 kV ridică probleme deosebite atât în ceea ce privește construcția rețelei de transport a energiei cât și în măsurarea parametrilor ei electrici. Controlul continuu al energiei electrice, protecția rețelelor de transport și studiul fenomenelor tranzitorii de avarie impun mijloacelor de măsurare a curentului următoarele cerințe [12].

1. - Precizie instrumentală bună (dacă este posibil - mai bună de 0,5 %)
2. - Dinamică mare a intervalului de măsurare ( $\approx 20 I_{pn}$ , cu  $I_{pn}$  = limita maximă a intervalului de măsurare)
3. - Bandă de frecvență largă, 0 Hz - 1 MHz (fenomenele tranzitorii de avarie prezintă și componente continue iar cele post arc - componente armonice pînă la 1 MHz).
4. - Sistem de transmitere a informației de măsurare independent de tensiunea rețelei față de sol.
5. - Preț de cost scăzut

Mijloacele convenționale de măsurare a curentului la înaltă și foarte înaltă tensiune (FIT) - transformatoarele inductive de curent - nu pot satisface integral cerințele de mai sus. Ele prezintă următoarele dezavantaje.

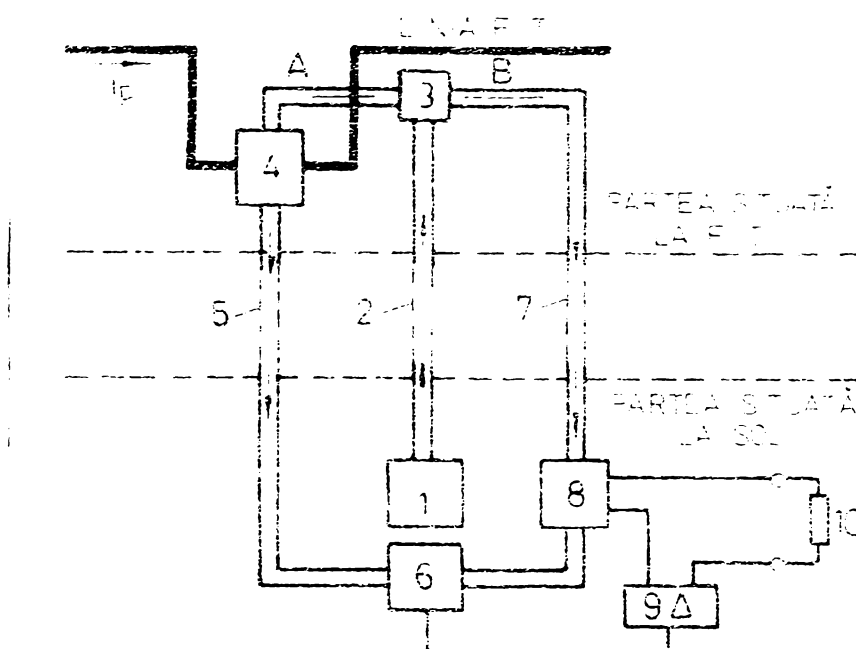
- Nu permit transmiterea componentelor continue din variația măsurandului în cadrul fenomenelor tranzitorii de avarie [1,2] .
- Miezul feromagnetic - cale de transmitere a informației de măsurare - prezintă fenomenul de sa-

turație, fenomen ce afectează defavorabil precizia instrumentală. De regulă, coeficientul de saturație este  $n < 10$ , ceea ce, conduce la o dinamică mică a intervalului de măsurare [1].

- Datorită izolației speciale și măsurilor de stabilitate termică și dinamică prețul de cost este ridicat. La nivelul anului 1972 în S.U.A. prețul era de 3500-7000 dolari pentru transformatoare de curent la 230 kV și 15500-18500 dolari pentru 700 kV. [3].

Pentru ca aparatele de măsurat curentul la FIT să îndeplinească cerințele mai sus enunțate, s-au creat procedee noi de măsurare, neconvenționale, în care electronica joacă un rol esențial. Independența față de tensiunea rețelei și prețul de cost au impus folosirea a două sisteme de transmitere a informației de măsurare: sistemul cu microunde și sistemul optic. Transformatoarele neconvenționale de curent care folosesc primul sistem se numesc TRANSFORMATOARE DE CURENT CU MICROUNDURI iar cele care-l folosesc pe al doilea- TRANSFORMATOARE DE CURENT ELECTRONO-OPTICE.

Transformatorul de curent cu microunde, fig.1.1, folosește ca suport izolant de transmitere a informației de măsurare un ghid dielectric de unde centimetrice [4]. Unda centimetrică generată de blocul 1 se transmite prin ghidul dielectric 2 la ghidul tip T, care, divide unda centimetrică pe două căi. Pe calea A, câmpul magnetic produs în  $M_1$  modifică faza undei centimetrice în funcție de valoarea momentană a măsurandului  $i_p$ . Unda centimetrică transmisă prin ghidul 7 este modificată ca fază, funcție de  $i_p$ , în blocul 8 și semnalul de ieșire al acestuia este comparat în blocul 6 cu semnalul purtător al informației de măsurare de la ieșirea blocului 4. Cu ajutorul amplificatorului de reacție 9 valoarea momentană a curentului  $i_p$  este reglată pînă ce semnalul de la ieșirea comparatorului 6 este nul. Valoarea momentană a curentului  $i_p$  exprimă, la o anumită scară (factor de transformare), valoarea momentană a măsurandului [4,5].



**Fig.1.1. Transformator de curent cu microunde**  
1 - generator de microunde; 2,5,7 - ghiduri dielectrice de microundă; 3 - ghid T de microunde; 4 - traductor primar; 6 - circuit comparator; 8 - traductor secundar; 9 - amplificator; 10 - sarcină

Sistemul optic de transmitere al informației de măsurare reprezintă soluția cea mai avantajoasă [3,6,7]. El permite transmiterea informației în două moduri :

- prin modularea în amplitudine a intensității undei de lumină,
- prin impulsuri de lumină.

Ambele moduri de transmitere se pot realiza concret prin acțiunea măsurandului asupra însăși generatorului de lumină; se realizează astfel MODULAREA INTERNA A UNDEI DE LUMINA. Modularea în amplitudine se poate realiza și prin acțiunea unui traductor primar asupra unei unde de lumină deja generată; procedeul poartă numele de MODULATIE EXTERNA A UNDEI DE LUMINA. Procedeul de modulare constituie și criteriul de clasificare al transformatoarelor de curent electro-optice (fig.1.2 respectiv fig.1.3).

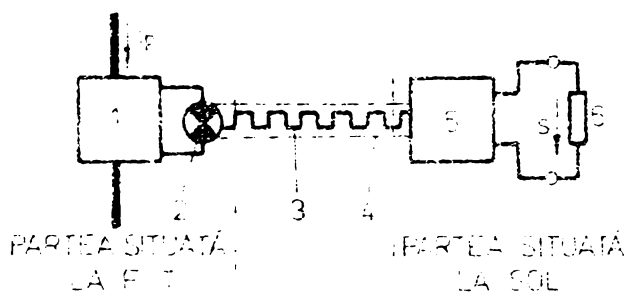


Fig.1.2. Transformator de curent electrono-optic cu modulație internă:1-modulator;2-generator de lumină;3-unda de lumină modulată intern;4-canal de transmisie a luminii;5-demodulator;6-sarcină

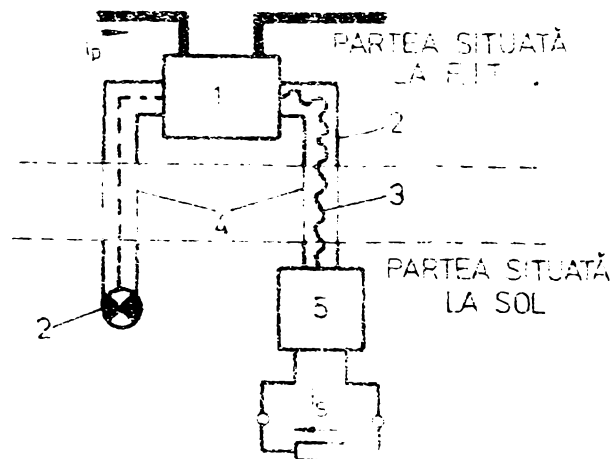


Fig.1.3. Transformator de curent electrono-optic cu modulație externă:1-modulator;2-generator de lumină;3-unda de lumină modulată extern;4-canal de transmisie a luminii;5-demodulator;6-sarcină

Unda de lumină modulată intern sau extern este purtătoare a informației de măsurare. Canalul de transmisie a undei de lumină, modulată sau nemonodulată, între partea situată la FIT și partea situată la sol poate fi realizat concret prin:

1. - ghid de lumină cu posibilitate de reflexie vitroasă sub incidentă razantă [8, 9, 10],
2. - fibră optică cu absorbție scăzută [5, 11, 12, 13],
3. - aer liber [3, 14, 15].

Primul tip de canal de transmisie a luminii este folosit în transformatoarele electrono-optice de curent cu modulație externă a undei de lumină plan polarizată. Prezintă absorbție neglijabilă și rotații parazite ale planului de polarizare foarte mici. Are dezavantajul unui preț de cost ridicat [8].

Fibra optică constituie un canal de transmisie mult mai ieftin și mai ușor de instalat între partea situată la

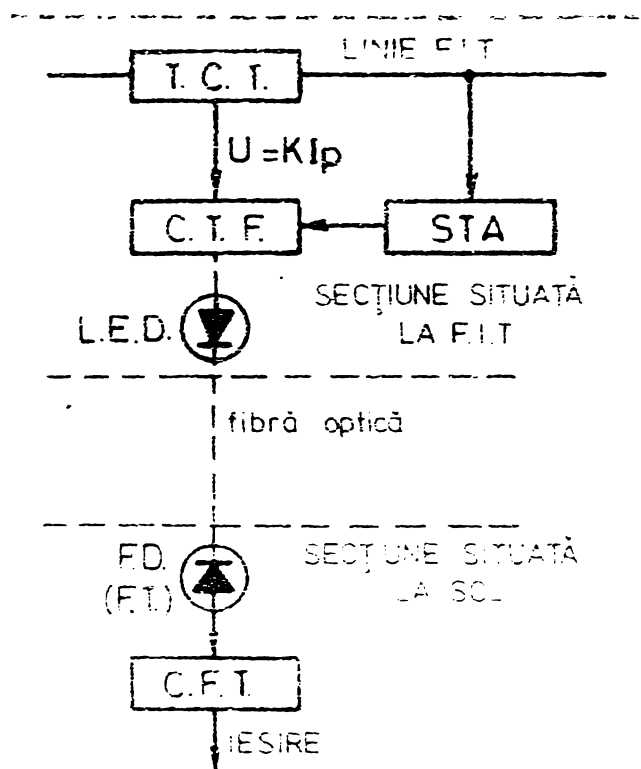
PIT și cea de la rob. Se folosește în deosebi la transformatoarele electrono-optice cu modulație în frecvență a impulsurilor de lumină. La cele cu modulație externă se ține cont de atenuarea introdusă de fibră optică. Fibra optică cu o atenuare de 150 dB/Km sînt ieftine și uzuale (pe o distanță de 10 m, rezultă o absorbție de 16%); se produc însă și fibre optice cu absorbție foarte mică - o atenuare de 5 dB/Km. [72]

Al treilea tip este cel mai simplu și cel mai ieftin; se pretează numai cînd unda de lumină este generată de laser. Atenuarea radiațiilor cu lungimea de undă de 632,8 și 900 de nanometri este neglijabilă pe distanța de 15 m în atmosferă curată. În atmosferă cu ceață atenuarea este de aproximativ 0,4 dB/15 m pentru embele lungimi de undă [14].

## 1.2. TRANSFORMATOARE ELECTRONO-OPTICE DE CURENT CU MODULAȚIE INTERNĂ

Transmiterea informației de măsurare prin impulsuri de lumină este cea mai avantajoasă. Pentru ca atenuările introduse de fibra optică-canal de transmisie - să nu influențeze informația de măsurare se impune modulația în frecvență a impulsurilor de lumină. Transformatoarele electrono-optice de curent rezultate se numesc TRANSFORMATOARE DE CURENT CU MODULAȚIA ÎN FRECVENȚA A IMPULSURILOR DE LUMINA. Schema bloc principală este indicată în fig.1.4 [5, 11, 13].

Pentru ca dioda emisivă LED să genereze impulsuri de lumină modulate în frecvență este necesar un traductor primar (C.C.T. + C.T.F., fig.1.4) pentru convertirea măsurandului de frecvență de impulsuri. Pentru ca acest traductor primar-sistem electronic activ-să poată lucra separat de partea situată la sol, tensiunea continuă de alimentare se generează tot la PIT, prin S.T.A., pe seama energiei transportate prin rețea. Sensorul de curent poate fi realizat fie printr-un șunt radial [13], fie printr-un sistem inductiv linearizat [11]. Dioda emisivă L.E.D. este, de regulă, o diodă cu arseniură de galiu, care, emite radiații luminoase în gama infraroșu cu lungimea de undă  $\lambda = 900 \cdot 10^{-9}$  m.



**Fig.1.4. Transformator de curent cu modulația în frecvență a impulsurilor de lumină: CCT - sensor curent-tensiune; CTF - convertor tensiune-frecvență; LED - diodă emisivă; STA - sursă tensiune de alimentare; FD - diodă fotosensibilă (FT - fototranzistor); CFT - convertor frecvență-tensiune**

In punctul de recepție de la sol impulsurile de lumină sînt citite cu un dispozitiv electronic fotosensibil-fotodiodă FD sau fototranzistor FT - și transformate în impulsuri de curent. Acestea pot fi prelucrate direct de circuitele electronice ale aparatului digital de măsurat (valoarea numerică indicată exprimînd direct valoarea măsurandului), sau sînt prelucrate de convertorul frecvență-tensiune rezultînd la ieșire mărimea analogică secundară.

Performanțele transformatoarelor de curent cu modulația în frecvență a impulsurilor de lumină depind direct de traductorul primar și de circuite electronice de prelucrare a informației de măsurare la sol.

### 1.3. TRANSFORMATOARELE ELECTRONO-OPTICE DE CURENT CU MODULAȚIE EXTERNĂ

Transformatoarele electrono-optice de curent cu modulația externă a undei de lumină se caracterizează prin aceea că, la foarte înaltă tensiune, nu există o parte electronică activă ci numai un traductor primar de curent. Partea electronică se găsește la nivelul solului și are rolul de a prelucra informația de măsurare transmisă prin unda luminoasă purtătoare. Traductorul primar modulează în amplitudine intensitatea luminoasă a luminii generate la sol; modulația este funcție de valoarea momentană a măsurandului.

Baza fenomenologică a acestei modulații o constituie efectul magneto-optic longitudinal (efectul Faraday), efect ce imprimă și denumirea de TRANSFORMATOR MAGNETO-OPTIC DE CURENT acestui tip de mijloc electrono-optic de măsurare.

Transformatorul magneto-optic de curent constituie obiectul cercetării teoretice și experimentale a autorului. De aceea problemele legate de acest tip de transformator electrono-optic de curent vor fi prezentate mai jos în mod detaliat.

#### 1.3.1. Efectul magneto-optic longitudinal

La trecerea unei raze de lumină plan polarizată printr-un corp optic inactiv transparent, poziționat într-un câmp magnetic cu direcția liniei de câmp paralelă cu direcția de propagare a luminii, planul de polarizare suferă o rotire cu unghiul  $\alpha$ . Acest unghi, denumit unghi de rotire magnetică a planului de polarizare a luminii, este direct proporțional cu diferența de potențial magnetic între punctele marginale A și B ale corpului optic pe direcția de propagare a luminii [16]. Fenomenul este redat grafic în fig.1.5 și exprimat matematic prin relația (1.1).

$$\alpha = V_{\lambda} \cdot \mathcal{U}_{mAB} [\text{rad}] \quad (1.1)$$

unde  $V_{\lambda}$  este "constantă" lui Verdet.

Exprimând mărimile ce intervin în relați (1.1) în

unități SI rezultă  $V_\lambda$  cu dimensiunea [rad./A]. În TABELA 1.1 sînt indicate, pentru cîteva substanțe, "constante" Verdet. Ele au fost determinate pentru lumină monocromatică cu lungimea de undă  $\lambda$  și o anumită temperatură T [17]

TABELUL 1.1.

S U B S T A N T A	T °C	$\lambda$ $10^{-9}$ m	$\alpha$ $10^{-5}$ rad/A
$S_2Cl_2$	16	589,3	1,530
$SnCl_2$	16	589,3	1,610
$SbCl_5$	16	589,3	2,570
$P_4S_4$	16	589,3	4,026
$ZnS$ (cristal stalerită)	18	589,3	8,235
Sticlă Jena S179	18	589,3	0,589
Sticlă Jena o.1443	18	589,3	0,805
Sticlă Jena flint ușor	18	589,3	1,160
Sticlă Jena flint greu	18	589,3	2,225
Sticlă Jena flint foarte greu	18	589,3	3,250

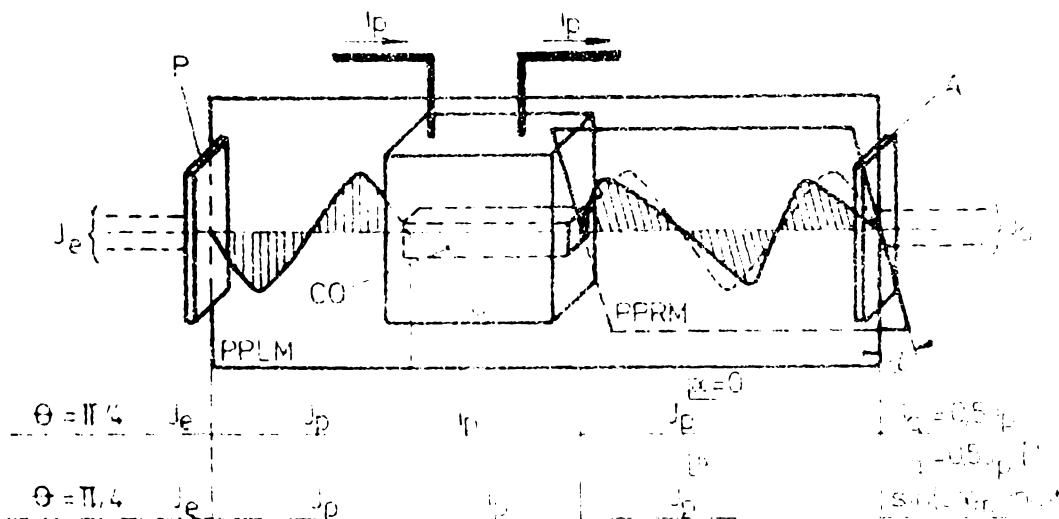


Fig.1.5. Schema bloc principală a traductorului magneto-optic de curent (traductor primar): P-polarizor; CO- corpul optic transparent; C - sensor de curent; A-analizor; PPLM - plan de polarizare a luminii monocromatice; PPRM-plan de polarizare rotit magnetic

Unghiul  $\alpha$  este o mărime cu semn. Este pozitiv sau

negativ după cum rotirea magnetică a planului de polarizare a luminii se face spre dreapta sau spre stînga observatorului care privește în sensul liniei de cîmp magnetic. Sensul rotirii planului de polarizare este legat numai de sensul liniei de cîmp și nu depinde de sensul de propagare a luminii.

Mărimea  $V_\lambda$  este impropriu denumită constantă, deoarece, în aceleași condiții de cîmp magnetic și pentru aceeași substanță, valoarea sa variază în funcție de lungimea de undă  $\lambda$  a luminii monocromatice și de temperatura  $T$  a substanței studiate [15, 17].

$$V_\lambda = f(\lambda, T) \quad (1.2)$$

Funcția  $f(\lambda, T)$  a format obiectul cercetării chimiștilor și fizicienilor și a fost exprimată matematic-empiric pentru cîteva cazuri particulare [15].

Tinînd cont de dependența (1.2), aplicațiile tehnice ale efectului Faraday au folosit și folosesc, în general, lumină monocromatică cu o astfel de imagine de undă, încît, constanta Verdet să fie maximă.

În transformatoarele magneto-optice de curent se folosesc substanțe optice inactive transparente cu absorbție minimă de lumină ; acestea sînt sticlele optice de Jena tip flint greu și foarte greu. [3, 4, 5, 6, 7, 8, 9, 10, 16].

Dependența din relația (1.2) a fost studiată de autor, în colaborare , pentru sticlă optică de Jena tip barium-flint, flint F-3, flint greu SF-1 și flint foarte greu SF-6. Studiul a fost realizat cu o instalație electrono-optică originală iar rezultatele ca și instalația sînt indicate detaliat în [18, 19].<sup>2</sup>

### 1.3.2. Funcția de modulare în amplitudine a intensității luminii plan-polarizate

Se notează cu  $J_0$  - intensitatea fluxului luminos monocromatic generat la sol, cu  $J_p$  - intensitatea fluxului luminos monocromatic plan-polarizat (la ieșirea din polarizorul P, fig.1.4), cu  $J_\alpha$  - intensitatea fluxului luminos monocromatic cu planul de polarizare rotit magnetic cu unghiul  $\alpha$  (la ieșirea din analizorul A, fig.1.4) și cu  $\theta$  - unghiul fix dintre planele de polarizare ale polarizorului și analizorului. Con-

<sup>2</sup> Bibliografia indicată între paranteze oblice se referă la lucrări elaborate de autor singur sau în colaborare

siderînd neglijabile absorbțiile de lumină din polarizor, analizor și corpul optic transparent, în lipsa câmpului magnetic, conform legii lui Malus,  $J_a$  se exprimă cu relația :

$$J_a = J_p \cdot \cos^2 \theta = \frac{1}{2} \cdot J_p \cdot (1 + \cos 2\theta) \quad (1.3)$$

În prezența câmpului magnetic invariabil în timp, creat de senzorul de curent C, planul de polarizare se rotește cu unghiul și relația (1.3) devine

$$J_a = J_p \cdot \cos^2(\theta + \alpha) = \frac{1}{2} \cdot J_p \cdot [1 + \cos(2\theta + 2\alpha)] \quad (1.4)$$

Se consideră cazul general cînd

- intensitatea câmpului magnetic generat de C este variabilă sinusoidal în timp
- lungimea AB a corpului optic este mai mare ca zona de constantă a amplitudinii intensității câmpului magnetic și
- linia de cîmp nu este paralelă cu direcția de propagare a razei de lumină pe distanța AB.

Alegînd direcția de propagare a razei de lumină paralelă cu axa ordonateelor în sistemul cartezian de coordonate, pentru lumina monocromatică și o anumită temperatură a corpului optic de studiat, rezultă :

$$\begin{aligned} \mathcal{H} &= H_m \sin \omega t \\ \alpha &= V_\lambda \cdot \int_A^B H_{my} \cdot dl \cdot \sin \omega t = \alpha_m \cdot \sin \omega t \\ \alpha_m &= V_\lambda \cdot \int_A^B H_{my} \cdot dl = V_\lambda \cdot U_{my} \cdot AB \end{aligned} \quad (1.5)$$

unde  $H_{my}$  este componenta vectorului intensitate cîmp magnetic maxim după axa ordonateelor. Relația (1.4), pentru diferite valori ale unghiului  $\theta$ , devine :

$$J_a = 0,5 J_p \cdot [1 + \cos(2\alpha_m \sin \omega t)] \quad \text{pt. } \theta = 0 \quad (1.6)$$

$$J_a = 0,5 J_p \cdot [1 - \sin(2\alpha_m \sin \omega t)] \quad \text{pt. } \theta = \pi/4 \quad (1.7)$$

$$J_a = 0,5 J_p \cdot [1 - \cos(2\alpha_m \sin \omega t)] \quad \text{pt. } \theta = \pi \quad (1.8)$$

În relațiile de mai sus argumentul funcțiilor trigonometrice are la rîndul său o variație sinusoidală în timp. Conform [20] funcțiile cosinus și sinus de acest tip se pot descompune în serie Fourier avînd drept coeficienți funcțiile Bessel de speța 1. Efectuînd descompunerea, rezultă :

$$J_a = 0,5 J_p \cdot [1 + J_0(2d_m) + 2J_2(2d_m) \cos 2\omega t + 2J_4(2d_m) \cos 4\omega t + \dots] \quad \text{pt. } \theta = 0 \quad (1.9)$$

$$J_0 = 0,5 J_p [1 - 2J_1(2d_m) \sin \omega t - 2J_3(2d_m) \sin 3\omega t - 2J_5(2d_m) \sin 5\omega t - \dots] \quad \text{pt. } \theta = \pi/4 \quad (1.10)$$

$$J_0 = 0,5 J_p [1 - J_0(2d_m) - 2J_2(2d_m) \sin 2\omega t - 2J_4(2d_m) \cos 4\omega t - \dots] \quad \text{pt. } \theta = \pi/2 \quad (1.11)$$

Din analiza relațiilor de mai sus rezultă că, la polarizii paraleli ( $\theta = 0$ ) sau încrucișați ( $\theta = \pi/2$ ), intensitatea luminoasă are o componentă continuă suplimentară -  $J_0(2d_m)$  - și are fundamentală de pulsație egală cu dublul pulsației cîmpului magnetic modulator. La un unghi  $\theta = \pi/4$ , fundamentală are pulsația egală cu pulsația cîmpului modulator și deci și a măsurandului. Rezultă că, informația de măsurare este corectă pentru  $\theta = \pi/4$ .

Alegerea unghiului fix  $\theta$  se face și în funcție de sensibilitatea maximă a detecției optice la punctul de recepție de la sol [8,9]. Elementul fotosensibil de la sol, sesizează variațiile intensității undei luminoase purtătoare a informației de măsurare.

$$S_0 = \frac{dJ_0}{d\alpha} = -J_p \cdot \sin(2\theta + 2\alpha) \quad (1.12)$$

$$\frac{dS_0}{d\theta} = -2J_p \cos(2\theta + 2\alpha)$$

$$\frac{dS_0}{d\theta} = 0 \quad \text{pt. } \theta + \alpha = (2k+1) \cdot \frac{\pi}{4} \quad (1.13)$$

Pentru  $k = 0$  rezultă  $\theta + \alpha = \pi/4$ . La variații mici

ale unghiului de rotire magnetică, la limita  $\alpha = 0$ , se obține  $\Theta = \pi/4$  pentru  $S_0 \text{ max}$ .

Deci, unghiul fix  $\Theta = \pi/4$  dintre analizor și polarizor reprezintă varianta optimă. Se va considera mai departe numai relația (1.10).

Funcția Bessel de speța 1, de ordin întreg și pozitiv se poate exprima prin seria [20]:

$$J_n(2\alpha_m) = \left(\frac{2\alpha_m}{2}\right)^n \cdot \sum_{r=0}^{\infty} \frac{(-1)^r}{r! (r+n)!} \cdot \left(\frac{2\alpha_m}{2}\right)^{2r} \quad (1.14)$$

Rezultă

$$\begin{aligned} J_1(2\alpha_m) &= \alpha_m \left(1 - \frac{\alpha_m^2}{2} - \frac{\alpha_m^4}{12} - \frac{\alpha_m^6}{144} - \dots\right) \\ J_3(2\alpha_m) &= \alpha_m^3 \cdot \left(\frac{1}{6} - \frac{\alpha_m^2}{24} - \frac{\alpha_m^4}{240} - \frac{\alpha_m^6}{4320} - \dots\right) \\ J_5(2\alpha_m) &= \alpha_m^5 \left(\frac{1}{120} - \frac{\alpha_m^2}{720} - \frac{\alpha_m^4}{10800} - \dots\right) \end{aligned} \quad (1.15)$$

Inlocuind relațiile de mai sus în (1.10) se obține:

$$\begin{aligned} J_0 &= \frac{1}{2} \cdot J_p \cdot \left[1 - \left(2\alpha_m - \alpha_m^3 + \frac{1}{6}\alpha_m^5 - \frac{1}{72}\alpha_m^7\right) \sin \omega t - \right. \\ &\quad - \left(\frac{1}{3} \cdot \alpha_m^3 - \frac{1}{12} \cdot \alpha_m^5 + \frac{1}{120} \alpha_m^7 - \frac{1}{2160} \alpha_m^9 - \dots\right) \sin 3\omega t - \\ &\quad \left. - \left(\frac{1}{60} \cdot \alpha_m^5 - \frac{1}{360} \cdot \alpha_m^7 + \frac{1}{5400} \cdot \alpha_m^9 - \dots\right) \sin 5\omega t - \dots\right] \quad (1.16) \end{aligned}$$

Pentru ca armonica de ordinul 3 să aibe amplitudinea sub 1% din amplitudinea fundamentalei este necesar ca

$$\alpha_m < 0,24 \text{ [rad]} \quad (1.17)$$

Respectînd condiția (1.17) și ținînd cont de relațiile (1.5), relația (1.16) devine

$$J_0 = -\frac{1}{2} \cdot J_p - J_p \cdot \sqrt{\lambda} \cdot U_{mm\gamma AB} \cdot \sin \omega t \quad (1.18)$$

In ipoteza unei caracteristici de convertire liniare a sensorului de curent, rezultă

$$U_{mm\gamma AB} = k_1 \cdot I_p \cdot \sqrt{2}. \quad (1.19)$$

Parametrul informațional  $J_a$  se exprimă cu relația

$$J_a = \frac{1}{2} \cdot J_p - J_p \cdot V_\lambda \cdot k_1 \cdot I_p \cdot \sqrt{2} \cdot \sin \omega t.$$

Notînd cu  $k = 2 \cdot \sqrt{2} \cdot V_\lambda \cdot k_1$  rezultă funcția de modulare în amplitudine a intensității luminoase de către măsurand

$$J_a = \frac{1}{2} \cdot J_p (1 - k \cdot I_p). \quad (1.20)$$

Relația (1.20) reprezintă și caracteristica de convertire a traductorului magneto-optic de curenți, adică, caracteristica de convertire a traductorului primar din transformatorul magneto-optic de curenți. [7, 8, 9, 10, 21, 22]. Ea este dedusă în următoarele condiții:

- absorbție de lumină și depolarizare neglijabile în corpul optic transparent ;
- absorbție de lumină neglijabilă în polarizor și analizor ;
- sensibilitate maximă de detecție a intensității luminoase;
- valoarea maximă a unghiului de rotație magnetică a planului de polarizare este  $\alpha_{\max} \leq 0,24$  radian;
- sensorul de curenți are o caracteristică de convertire liniară.

În cazul particular al câmpului magnetic invariabil în timp, funcția de modulare în amplitudine a intensității luminoase prin efect magneto-optic longitudinal se poate exprima cu relația

$$J_a = \frac{1}{2} \cdot J_p \cdot [1 - \sin (2 \cdot V_\lambda \cdot U_{myAB})] \quad (1.21)$$

În condițiile unei caracteristici de convertire liniare a sensorului de curenți și a absorbțiilor neglijabile de lumină în corpul optic, polarizor și analizor, relația (1.21) devine

$$J_a = \frac{1}{2} \cdot J_p \cdot [1 - \sin (k' \cdot I_p)] \quad (1.22)$$

unde  $k' = 2 \cdot V_\lambda \cdot k_1. \quad (1.23)$

Caracteristica de convertire a traductorului primar, cu măsurandul invariabil în timp (rețele de transport a energiei în curenți continuu), exprimată cu relația (1.22) este neliniară. Relațiile (1.20) și (1.22) arată posibilitatea utilizării aceluiași transformator magneto-optic de curenți atât în curenți alternativ cât și în curenți continuu.

### 1.3.3. Sensorul de curenți

Din considerentele impuse în deducerea funcției de modulare în amplitudine a intensității fluxului luminos de către măsurand , rezultă rolul esențial al sensorului. El trebuie să îndeplinească următoarele funcții:

1. - Să genereze un câmp magnetic ale cărui linii de câmp, pe o porțiune cât mai mare, să fie paralele cu direcția de propagare a razei de lumină (componenta  $H_{my}$  cât mai apropiată valoric de  $H_m$ )
2. - Să aibe o caracteristică de convertire liniară pentru o dinamică cât mai mare a intervalului de măsurare , indiferent că măsurandul este variabil sau nu în timp.
3. - Bandă de frecvență largă.

Transformatoarele magneto-optice de curenți, de laborator sau industriale, au folosit drept sensor de curenți bobina solenoidală masivă cu miez de aer și număr mic de spire. [6,8,9,10,21,22,23,24,25]. Calculul riguros al diferenței de potențial magnetic între două puncte de pe axa bobinei solenoidale masive, simetrice față de centrul bobinei este prezentat în [26].

Se notează :

- $V_c$  = volumul materialului strict conductor al bobinei ;
- $V_t$  = volumul total ocupat de bobinaj;
- $p = V_c/V_t$  = factorul de umplere al bobinei ;
- $J_0$  = densitatea corespunzătoare valorii nominale a măsurandului;
- $f(x,y)$  = distribuția relativă a densității de curenți în spira bobinei ca funcție de punct;
- $S_c$  = secțiunea conductoare a spirei.

Densitatea de curenți, pentru regimul nominal al măsurandului, se exprimă, în general, cu relația

$$J(t) = J_0 \cdot f(x,y) \cdot \sin \omega t = \frac{I_{pn} \cdot \sqrt{2}}{S_c} \cdot f(x,y) \cdot \sin \omega t \quad (1.24)$$

Din [26] și [27], expresia diferenței de potențial magnetic între două puncte pe axa solenoidului, la distanța "a" de centrul său, este

$$U_{mmYAB} = \frac{1}{2} \cdot \frac{I_{pn} \cdot \sqrt{2}}{S_c} \cdot p \cdot \int_{-x_1}^{+x_1} dx \int_{y_1}^{y_2} \left[ \frac{a+x}{\sqrt{y^2 + (a+x)^2}} + \frac{a-x}{\sqrt{y^2 + (a-x)^2}} \right] \cdot f(x,y) \cdot dy. \quad (1.25)$$

Mărimile  $x_1$ ,  $y_1$ ,  $y_2$ ,  $a$ , sînt evidențiate în desenul din fig. 1.6. Între punctele A(-a,0) și B(+a,0) este poziționat corpul optic transparent

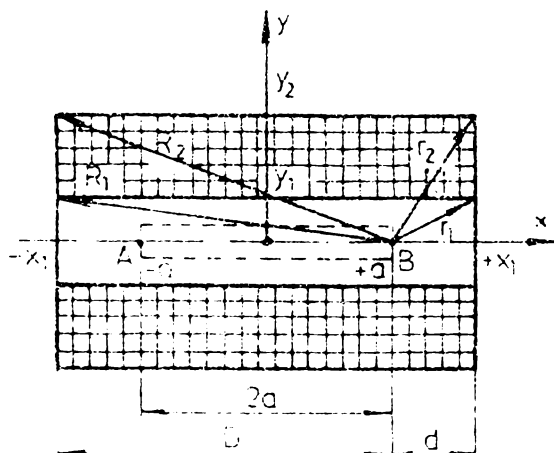


Fig.1.6. Bobina masivă secționată central

Din relația (1.25) se observă că, expresiile obținute prin dubla integrare depind numai de dimensiunile geometrice ale bobinei. Pentru o bobină solenoidală masivă dată, cu un anumit mod de bobinare și distribuție relativă a densității de curent și considerînd axa cilindrului solenoidal ca axa ordonatelor, rezultă

$$U_{mmYAB} = k_{15} \cdot I_{pn} \cdot \sqrt{2}. \quad (1.26)$$

cu

$$k_{15} = f(x_1, y_1, y_2, a, p, S_c)$$

Pentru curent continuu  $k_{15}$  este același, numai că nu se mai pune problema unei valori maxime a diferenței de potențial magnetic.

$$U_{mYAB} = k_{15} \cdot I_{pn}. \quad (1.27)$$

Relațiile (1.26) și (1.27) constituiesc caracteristicile de convertire ale sensorului de curent realizat cu bobină solenoidală masivă cu miez de aer. Ele demonstrează liniaritatea sensorului.

Execuția solenoidului printr-o bobinare uniformă în mai multe straturi realizează o distribuție relativă de densitate unitară,  $f(x,y) = 1$ . Exprimând pentru o spiră oarecare raportul dintre diferența de potențial magnetic produsă și puterea consumată, funcția rezultată are un maxim pentru  $x = 0$  și  $y = y_1$ . [26]. Această înseamnă că, cea mai mare eficacitate în producerea diferenței de potențial magnetic o are spira din mijlocul primului strat; contribuția celorlalte spire este mai mică.

Impunând condiția ca toate spirele să aibe o contribuție egală în producerea diferenței de potențial magnetic se obține distribuția relativă optimală a densității, denumită și distribuția Lord Kelvin [26].

$$f_{opt}(x,y) = y_1^2 \cdot \frac{y}{(y^2 + x^2)^{3/2}} \quad (1.28)$$

Realizarea practică a unei bobine solenoidale cu o astfel de distribuție a densității de curent în spiră este foarte dificilă. Se preferă o distribuție de forma

$$f_B(x,y) = \frac{y_1}{y} \quad (1.29)$$

obținută prin realizarea spirei sub formă de disc. Rezultă bobina masivă solenoidală tip Bitter, indicată în fig.1.7.

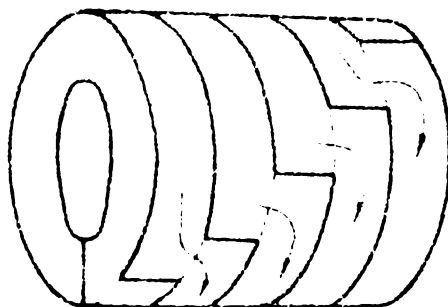


Fig.1.7. Bobina solenoidală Bitter

Indexând prin B referirea la bobina Bitter, relația

(1.26) devine

$$U_{mm\gamma AB} = k_{1B} \cdot I_{p\eta} \cdot \sqrt{2}. \quad (1.30)$$

unde:

$$k_{1B} = \frac{1}{2} \cdot \frac{1}{S_c} \cdot p \cdot \left\{ 2\gamma_1 \cdot [(R_2 - R_1) - (r_2 - r_1)] - \right. \\ \left. - \gamma_1 \cdot d \cdot \ln \frac{(R_2 + d)(R_1 - d)}{(R_2 - d)(R_1 + d)} + \gamma_1 \cdot d \cdot \ln \frac{(r_2 + d)(r_1 - d)}{(r_2 - d)(r_1 + d)} \right\} \quad (1.31)$$

Mărimile  $\gamma_1, R_2; R_1, r_2, r_1, D, d$  au semnificația din fig.1.6. unde se poate considera reprezentată secțiunea prin bobina Bitter.

#### 1.3.4. Analiza cauzelor ce afectează performanțele transformatorului magneto-optic de curent

Semnalul purtător al informației de măsurare - unda luminoasă cu intensitatea modulată în amplitudine în traductorul magneto-optic-este transmis prin canal optic și captat la sol de adaptorul de măsurare. Acesta conține un comparator cu compensare optică, un element fotosensibil și un amplificator diferențial [7,8,9,10,22,23,25].

Considerînd elementul fotosensibil cu caracteristică de transfer liniară

$$i_f = k_f \cdot J_a \quad (1.32)$$

parametrul informațional, exprimat cu relația (1.20), se convertește în curent conform cu relația

$$i_f = I_{f0} \cdot (1 - k \cdot i_p). \quad (1.33)$$

unde

$$I_{f0} = k_f \cdot 0,5 \cdot J_p \quad (1.34)$$

$$k = 2 \cdot \sqrt{2} \cdot V_\lambda \cdot k_\perp. \quad (1.35)$$

Dacă compensarea optică și compararea se produce cu un traductor magneto-optic similar celui de la înaltă tensiune, se obține [8].

$$i_s = I_s \cdot \sqrt{2} \cdot \sin(\omega t - \varphi) \quad (1.36)$$

unde  $\varphi$  reprezintă defazajul introdus de circuitele electronice și sistemul de compensare optică. Exprimat în complex,

$$\underline{I}_s = I_s \cdot e^{+j\varphi}. \quad (1.37)$$

Factorul de transformare T al transformatorului mag-

neto-optic de curent este de asemenea o memorie complexă și se exprimă cu relația

$$\underline{T} = \frac{\underline{I}_s}{\underline{I}_p} = \underline{G} \cdot R_e \cdot k_f \cdot k \quad (1.38)$$

unde  $\underline{G}$  este factorul de amplificare al amplificatorului diferențial,  $R_e$  este rezistența de sarcină echivalentă a elementului fotosensibil,  $k_f$  este definit de relația (1.32) și  $k$  - de relația (1.35).

Relația (1.38) reprezintă și caracteristica de conversie a transformatorului magneto-optic de curent-mijloc de măsurare a curentului la foarte înaltă tensiune.

Din analiza factorilor ce intervin în relația (1.38) se pot stabili sursele de erori ce afectează precizia instrumentală a transformatorului magneto-optic de curent. Ele sînt:

- a. - Instabilitatea lungimii de undă a luminii monocromatice de lucru; ea duce la variația constantei Verdét [8, 14, 30].
- b. - Neliniaritatea elementului fotosensibil receptor și variația sensibilității sale în timp și cu temperatura (variația factorului  $k_f$ ) [23].
- c. - Acțiunea depolarizantă a sistemelor catadioptrice folosite asupra undei de lumină plan polarizată (afectează intensitatea luminoasă  $\underline{J}_p$ ) [23, 30]
- d. - Birefringenta reziduală în corpul optic (datorită neomogenității acestuia și tensiunilor interne), care are acțiune depolarizantă variabilă în timp și cu temperatura [16].
- e. - Analizorul și polarizorul de tip polaroid nu corespund experimental legii teoretice [23].
- f. - Imperfecțiunea sensorului de curent [23].

Autorul prezentei lucrări și-a concentrat atenția îndeosebi asupra sensorului de curent. Analizînd, pe baza studiului bibliografic și experimentului, influența imperfecțiunii sensorului asupra sensibilității și preciziei instrumentale, se obțin următoarele :

1. - Bobina solenoidală este realizată prin rigidizarea mecanică a unor spire - la solenoidul clasic - sau a unor discuri - bobina Bitter. La curenți mari prin bobină, mai mari ca  $I_{pn}$ , între spire sau discuri apar forțe electro-dinamice care, imprimă vibrații mecanice sensorului. Vibrațiile mecanice conduc la apariția unor erori sistematice suplimentare, ce afectează eroarea instrumentală a transformatorului magneto-optic de curent. Aceste erori se datoresc fie neliniarității sesorului datorită deformării mecanice a acestuia, fie dezaxării sistemului optic la traductorul magneto-optic primar de curent [12, 23, 29].

Exemplu: Prototipul industrial realizat de Petenc și Bernard [22] are o precizie instrumentală mai bună de 1,5% la  $I_{pn} = 2000 \text{ A}$ . La măsurarea unui curent de 18.000 A se obține o eroare instrumentală de 6%, din care, 3% se datorează vibrațiilor din bobina solenoidală.

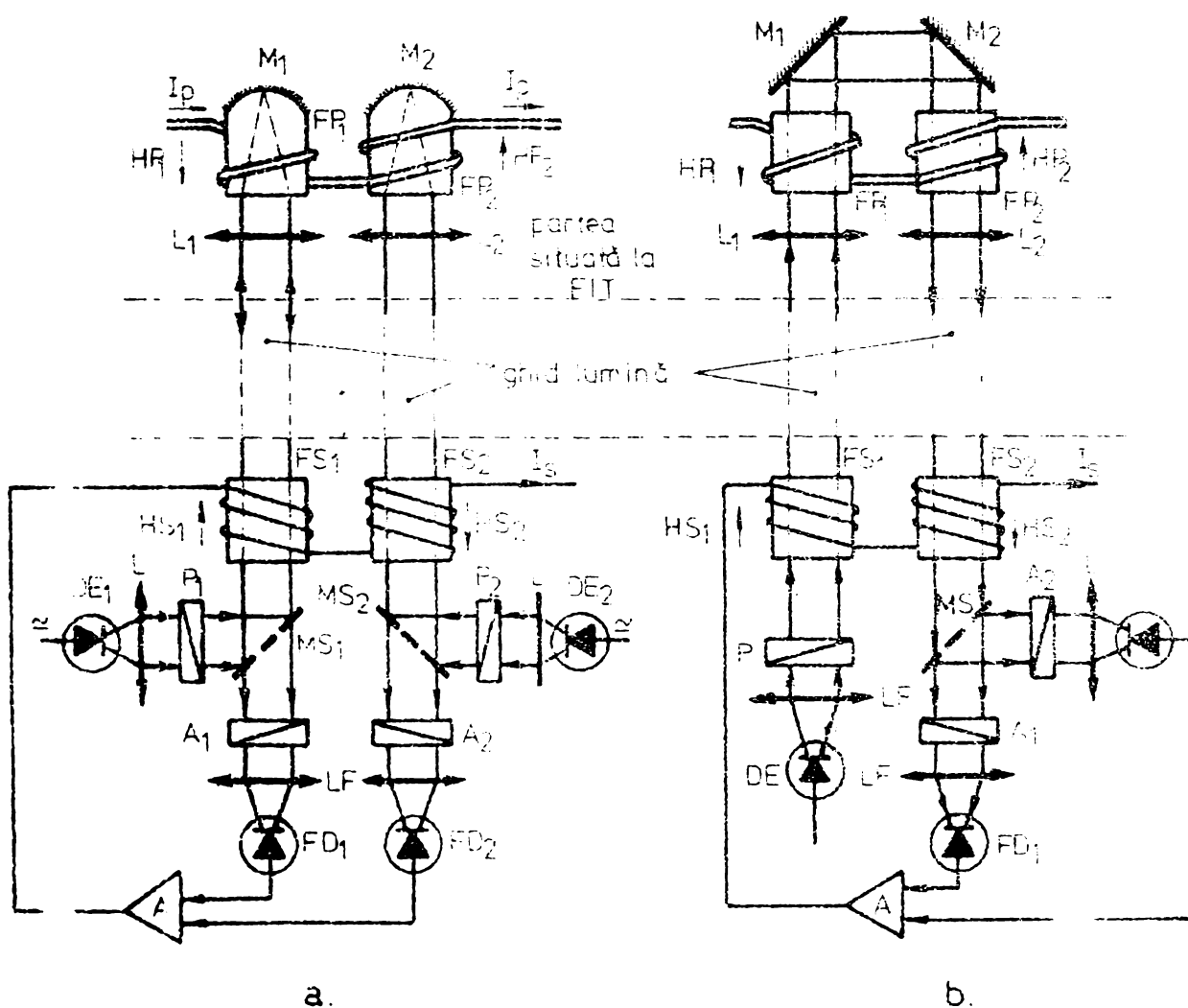
2. - Rețeaua de transport a energiei electrice la foarte înaltă tensiune conține două conductoare, când transportul se face în c.c. și trei conductoare - în curent alternativ. Conductoarele vecine conductorului străbătut de măsurand creează la rîndul lor cîmpuri magnetice a căror intensități, în zona ocupată de corpul optic transparent, se suprapun intensității cîmpului creat de măsurand prin intermediul sensorului.

Deși conductoarele rețelei de transport sînt la distanțe mari unul de altul -  $\sim 4,4 \text{ m}$  la 220 kV și  $\sim 6,0 \text{ m}$  la 400 kV - la o încărcare nesimetrică a liniilor, fenomenul de suprapunere descris mai sus, introduce o eroare suplimentară, care, afectează defavorabil eroarea instrumentală a transformatorului magneto-optic de curent [23, 28, 29].

Experimentările descrise în [23] arată că dacă :

a. - măsurandul are valoarea  $I_{pn}$  și curentul printr-un conductor, situat la 7 m distanță de cel străbătut de măsurand, are valoarea  $40 I_{pn}$ ; atunci, eroarea instrumentală crește la 10%.

b. - măsurandul are valoarea  $I_{pn}/10$  și curentul printr-un conductor, situat la 7 m distanță de cel străbătut de măsurand, are valoarea  $I_{pn}$ , atunci eroarea instrumentală crește la 3%.



**Fig.1.8. Transformator magneto-optic de curent astalizat**  
**a. - varianta cu două căi în paralel; b. - varianta cu două căi în serie**  
**DE, DE<sub>1</sub>, DE<sub>2</sub> - diode emise în infraroșu; FD, FD<sub>1</sub>, FD<sub>2</sub> -**  
**elemente fotosensibile; P, P<sub>1</sub>, P<sub>2</sub> - polarizor; A<sub>1</sub>, A<sub>2</sub> -**  
**analizor; LF - lentilă de focalizare; L - lentilă optică;**  
**MS, MS<sub>1</sub>, MS<sub>2</sub> - oglinzi semitransparente; FS<sub>1</sub>, FS<sub>2</sub> - corp**  
**optic secundar; FP<sub>1</sub>, FP<sub>2</sub> - corp optic primar; HP<sub>1</sub>, HP<sub>2</sub> - cîmp**  
**modulator primar; HS<sub>1</sub>, HS<sub>2</sub> - cîmp modulator secundar; L<sub>1</sub>M<sub>1</sub>,**  
**L<sub>2</sub>M<sub>2</sub> - sistem reflectorizant catadioptric; A - amplifica-**  
**tor diferențial de putere.**

Pentru eliminarea acestei erori suplimentare s-a utilizat astatizarea sensorului de curent prin cele două variante indicate în fig.1.8 [23]. Procedul astatizării înlătură practic eroarea datorată câmpurilor magnetice parazite însă se dublează prețul de cost al mijlocului de măsurare . De asemenea se înmulțesc sursele de erori "c" și "d" și crește influența vibrațiilor mecanice la  $I_p \gg I_{pn}$ .

3. - Transformatoarele magneto-optice de curent, cu bobină solenoidală ca și sensor de curent prezintă o limită minimă de măsurare destul de mare. Din [23] rezultă că :

- la o bobină solenoidală cu 12 spire, limita minimă de măsurare este  $I_{pmin} = 150$  A.

- la o bobină solenoidală cu 5 spire, limita minimă de măsurare este  $I_{pmin} = 300$  A.

Se poate micșora limita minimă de măsurare măbind traseul luminii plan polarizate prin corpul optic transparent ca în fig.1.9 [30]. Relația (1.5), în acest caz devine

$$U_{mmAB} = \int_A^{B_1} \vec{H}_m d\vec{\ell}_1 + \int_{B_1}^{B_2} \vec{H}_m d\vec{\ell}_2 + \int_{B_2}^{B_3} \vec{H}_m d\vec{\ell}_3 + \int_{B_3}^B \vec{H}_m d\vec{\ell}_4 \quad (1.39)$$

Pe traseele  $B_1B_2$  și  $B_3B$  atât  $\vec{H}_m$  cât și  $d\vec{\ell}$  sînt negative. Este evident că direcția de propagare a razei de lumină își schimbă înclinarea față de linia de câmp, însă, micșorarea produsului scalar  $\vec{H}_m d\vec{\ell}$  este neglijabilă comparativ cu mărirea globală de  $U_{mmAB}$ .

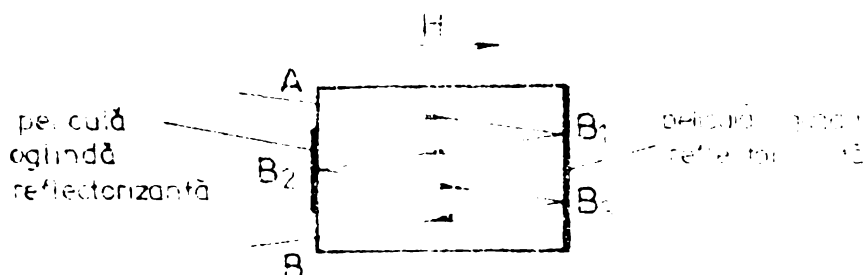


Fig.1.9. Procedu de mărire a traseului razei de lumină prin corpul optic transparent

Procedeuul prezintă următoarele dezavantaje :

- prin creșterea drumului parcurs de lumină în corpul optic crește acțiunea depolarizantă a acestuia ;
- datorită vibrațiilor mecanice se poate modifica unghiul de incidență a razei de lumină în corpul optic, având ca efect apariția unor erori mari sau chiar dispariția razei de lumină la ieșirea din corpul optic transparent.

Transformatorul magneto optic de curent a constituit obiectul cercetării unui grup restrins de cadre didactice de la Facultatea de Electrotehnică I.P.T.V. Timișoara, Catedra de Electronică și măsurări electrice. Din acest grup face parte și autorul prezentei lucrări de doctorat. Sub îndrumarea și cu ajutorul substanțial al prof.dr.ing.EUGEN POP s-a urmărit, în cadrul activității de cercetare contractuală, realizarea unui transformator magneto optic de curent original, cu performanțe comparabile cu cele realizate pe plan mondial.

Personal, m-am ocupat, îndeosebi, de sensorul de curent al traductorului primar. Soluția propusă, prezentată detaliat în capitolul 2, elimină erorile datorate vibrațiilor mecanice la valori mari ale măsurandului, diminuează substanțial pe cele datorate câmpurilor magnetice create de curenții prin conductoarele vecine celui străbătut de măsurand, este ieftin, ușor de realizat și permite implementarea mijlocului de măsurare fără segmentarea liniei de transport a energiei.

## CAPITOLUL 2

### SENSORUL DE CURENT CU CIRCUIT FEROMAGNETIC TOROIDAL. FORMULAREA PROBLEMEI DE CIMP

#### 2.1. SOLUTIA PROPUSA

Concluziile trase de autor în paragraful 1.3.4. evidențiază două mari inconveniente la soluția solenoidală pentru sensorul de curent :

1. - apariția vibrațiilor mecanice la valori mari ale măsurandului ;
2. - sensibilitatea la câmpurile magnetice create de curenții prin conductoarele vecine celui străbătut de măsurand.

Pentru înlăturarea primului inconvenient și diminuarea celui de al doilea colectivul de cercetare a transformatoarelor magneto-optice de curent folosește traductorul primar din fig.2.1.

El este constituit din două părți distincte:

- sensorul de curent, format din circuitul feromagnetic toroidal cu întrefier mare și conductorul străbătut de măsurand.

- sistemul magneto-optic.

Sensorul de curent constituie contribuția autorului prezentei lucrări la traductorul primar propus. El este parte importantă a revendicării nr.1 din brevetul de invenție nr.66109/22.07.76 CNST-OSIT - BUCURESTI-ROMANIA [33]. Traductorul primar de curent, cu sensorul de curent specificat mai sus, este utilizat în transformatoarele magneto-optice de curent realizate în cadrul cercetării contractuale, beneficiar ICEMENERG BUCURESTI [18, 31, 32, 34].

La baza propunerii acestui tip de sensor de curent stau următoarele considerații fenomenologice :

- circuitul feromagnetic toroidal, poziționat în jurul conductorului străbătut de măsurand - conductor infinit lung, are rolul de a concentra liniile de câmp generate de măsurand în zona întrefierului;

- întrefierul foarte mare impune funcționarea circuitului feromagnetic pe porțiunea liniară a caracteristicii

fundamentale de magnetizare pînă la valori mari ale curentului de măsurat.

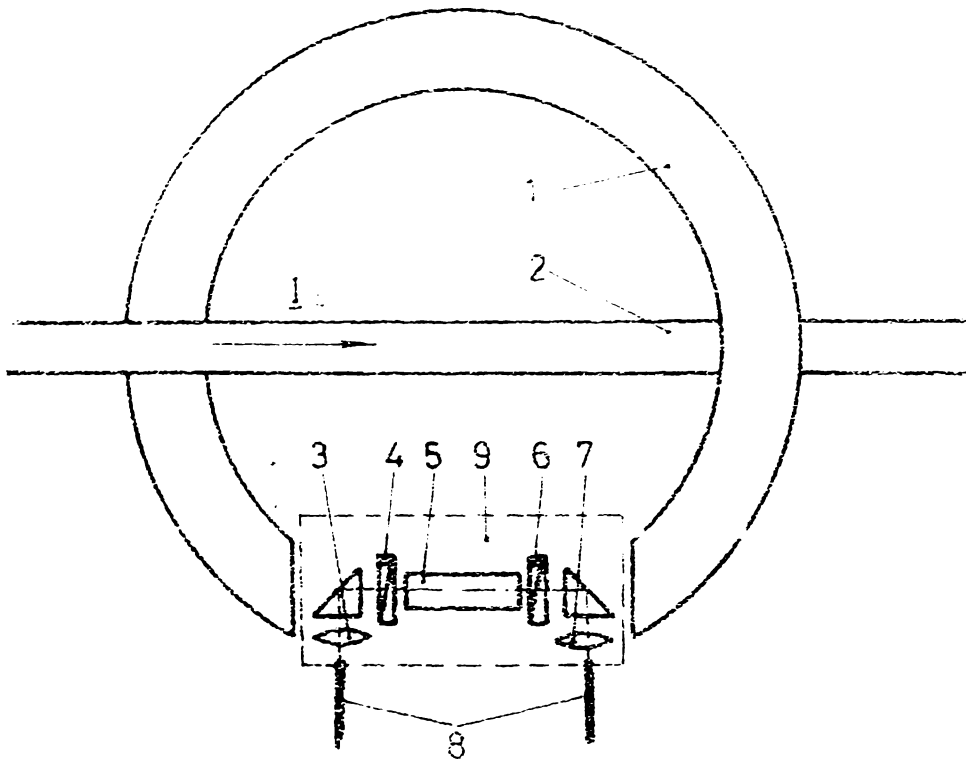


Fig.2.1. Traductor magneto-optic de curent

1 - circuit feromagnetic toroidal realizat din tole; 2 - conductorul străbătut de măsurand; 3,7 - sistem optic de focalizare și schimbare a direcției de propagare a luminii; 4 - polarizor ; 5 - mediul optic transparent = bară sticlă Jena SF-6; 6 - analizor ; 8 - ghid de lumină = fibră optică; 9 - sistemul magneto-optic.

- In zona centrală a întrefierului, pe o porțiune cu atît mai mare cu cît sînt mai mari dimensiunile tălpilor polare, liniile de cîmp prezintă paralelism cu linia ce unește centrele polilor. In aceste condiții, efectul magneto-optic longitudinal crește, și sensibilitatea traductorului primar, de asemenea.

- Circuitul feromagnetic toroidal prezintă și efect de ecranare a sistemului magneto-optic de măsură față de cîmpurile magnetice parasite, create de curenții din conductoarele vecine.

Aceste considerente fenomenologice vor fi confirmate și evaluate cantitativ prin calculul cîmpului magnetic creat

de sensorul de curent.

## 2.2. CERINTELE PROBLEMEI DE CIMP

Prin calculul câmpului magnetic creat de sensorul de curent se urmărește :

- determinarea diferenței de potențial magnetic,  $U_{mmYAB}$ , între punctele extreme longitudinale ale mediului optic transparent și a factorului de transformare

$$k = \frac{U_{mmYAB}}{I_p} \quad (2.1)$$

- determinarea erorii de liniaritate a sensorului pentru o dinamică mare a intervalului de măsurare ;

- stabilirea influenței poziției conductorului străbătut de măsurand în interiorul circuitului feromagnetic toroidal asupra factorului de transformare;

- influența dimensiunilor geometrice ale circuitului feromagnetic asupra factorului de transformare și erorii de liniaritate ;

- determinarea erorii datorată câmpurilor magnetice create de celelalte conductoare ale rețelei de transport a energiei.

Tinând cont de dimensiunile geometrice ale circuitului feromagnetic și corpului optic transparent poziționat în zona centrală a întrefierului, fig.2.2, dependența analitică

$$U_{mmYAB} = F(I_p, \mu, R_i, R_e, \alpha, b, l, \rho) \quad (2.2)$$

permite evaluarea fenomenologică și valorică a cerințelor de calcul mai sus enunțate (prin valoarea complexă a permeabilității magnetice se ține cont de pierderile totale în fier).

Cu metodele indicate în [35, 36, 37, 38, 39, 40] calculul analitic al câmpului în cauză se poate efectua numai cu ipoteze simplificatoare, care, ar denatura grosolan fenomenul.

La circuitele feromagnetice cu întrefier se poate aplica, cu o bună precizie, metoda grafo-analitică a lui BUL' B.K. din [41]. Pentru folosirea ei este nevoie de :

- determinarea pe circuitul feromagnetic a înălțimilor de închidere a liniilor câmpului de dispersie din jurul

întrefierului prin imagini ale câmpului real pentru valori caracteristice ale amperspirelor de magnetizare;

- determinarea experimentală a curbelor de dependență componentă activă și reactivă a reluctanței magnetice funcție de inducție, pentru conductorul magnetic folosit.

Metoda de calcul este, deci, laborioasă și conform indicațiilor din [41], calculul se face cu o precizie bună pentru  $\delta \leq 30$  mm; la valori mai mari ale întrefierului, cum este cazul de față cu  $\delta \approx 130$  mm, nu se mai fac referiri. Așa cum se arată și în [42], la întrefieruri atât de mari, nu se mai poate face corecția dimensiunilor polilor pentru câmp plan paralel.

Tinând cont de inconvenientele enunțate cu privire la calculul analitic al câmpului magnetic în cauză, rămîne, evident, soluționarea problemei prin calcul numeric. Comparativ cu calculul analitic, calculul numeric nu este atât de sugestiv fenomenologic. Alegînd însă cu grijă domeniul de modelare al câmpului, condițiile de frontieră, regimurile critice de funcționare și metoda numerică, rezultatele calculului numeric pot oferi o imagine clară asupra fenomenului și poate da răspuns problemelor concrete ridicate.

Metodele numerice, cel mai des folosite în aproximarea soluției reale a problemei de câmp, sînt: metoda diferențelor finite și metoda elementului finit.

Metoda diferențelor finite face aproximarea soluției prin discretizarea domeniului într-o rețea cu pas egal [43]. Rezolvarea sistemului de ecuații, care conține componentele câmpului în nodurile rețelei de discretizare, se rezolvă prin metode iterative, din aproape în aproape, fără a asambla tot sistemul. Aceasta conduce la ocuparea unui volum mic din memoria calculatorului, dar și la introducerea de algoritme și corecții pentru asigurarea unei convergențe bune a procesului iterativ și deci, unui timp de calcul acceptabil [44]. Dacă domeniul de câmp ales este neomogen, cu diferențe mari între caracteristicile magnetice, este necesară o discretizare fină a zonelor cu gradient mare pentru modelarea corectă a câmpului. Aceasta duce, din cauza pasului egal al discretizării, la un număr foarte mare de noduri și implicit, la un timp mare de calcul [44, 45]. Problema se compli-

că și mai mult dacă conductorul magnetic este neliniar iar pe anumite porțiuni ale domeniului trebuie să se țină seama și de curenții turbionari.

Metoda elementului finit este o metodă de aproximare a soluției prin minimizarea unei funcționale convexe într-un spațiu bi- sau tridimensional delimitat cu condiții restrictive de minimizare bine definite [46]. Discretizarea domeniului de câmp se poate realiza cu elemente liniare, patratic sau cubice - adică cu funcții de aproximare a necunoscutei ce conțin polinoame de gradul unu, doi sau trei - ceea ce permite modelarea bună a câmpului real [47]. Dimensiunile elementelor pot varia în cadrul aceleiași rețele de discretizare, ceea ce permite utilizarea unor elemente mici și multe în zonele de gradient mare și elemente mari în zonele de importanță mică. Această facilitate este folosită în special la domenii mari de câmp unde, numărul de noduri și elemente poate atinge valori care pun în dificultate folosirea memoriei limitate a calculatorului. [44, 45, 48]. Metoda elementului finit se poate aplica, fără probleme deosebite, atât în cazul neliniarității conductorului magnetic [49, 50, 51], cât și în cazul considerării influenței curenților turbionari [52, 53].

Ținând cont de analiza comparativă a celor două metode numerice, pentru calculul câmpului creat de traductorul primar de curent cu circuit feromagnetic se va folosi metoda elementului finit.

### 2.3. DELIMITAREA DOMENIULUI DE MODELARE A CÂMPULUI ȘI STABILIREA FUNCȚIONALEI

Modelarea cea mai fidelă a câmpului magnetic creat în traductorul primar de curent se poate face numai printr-un model de câmp spațial. Metoda elementului finit oferă posibilitatea de a lucra cu elemente spațiale de forme diferite - con, piramidă, paralelipiped - stabilindu-se pentru fiecare tip de element spațial forma funcției de aproximare a funcției necunoscute. [54, 55]. La domeniu mare al modelului de câmp, cum este cazul de față, numărul mare de elemente finite conduce la sisteme de ecuații foarte mari. Generarea ma-

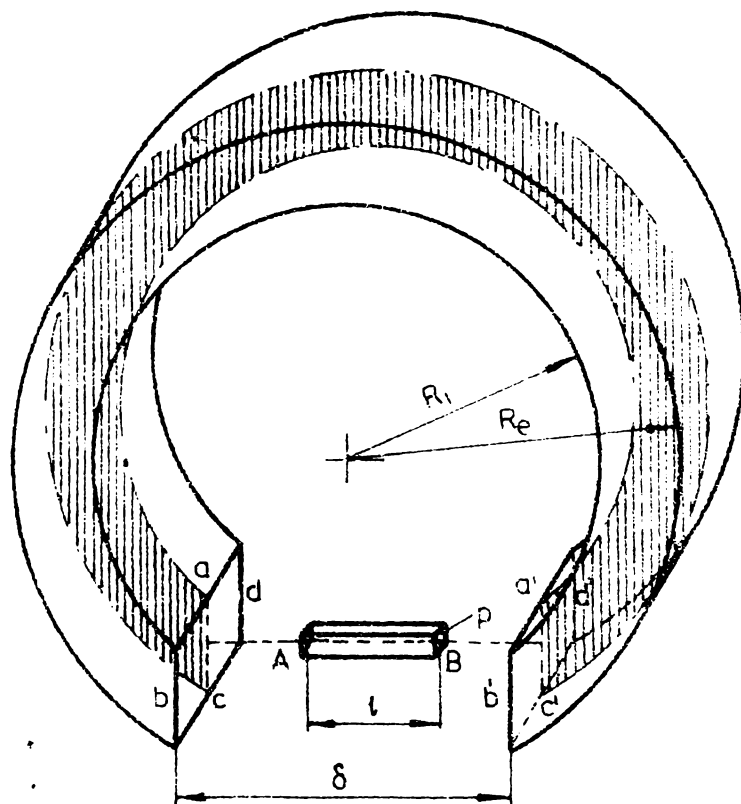


Fig. 2.2. Circuitul feromagnetic al traductorului primar de curent.

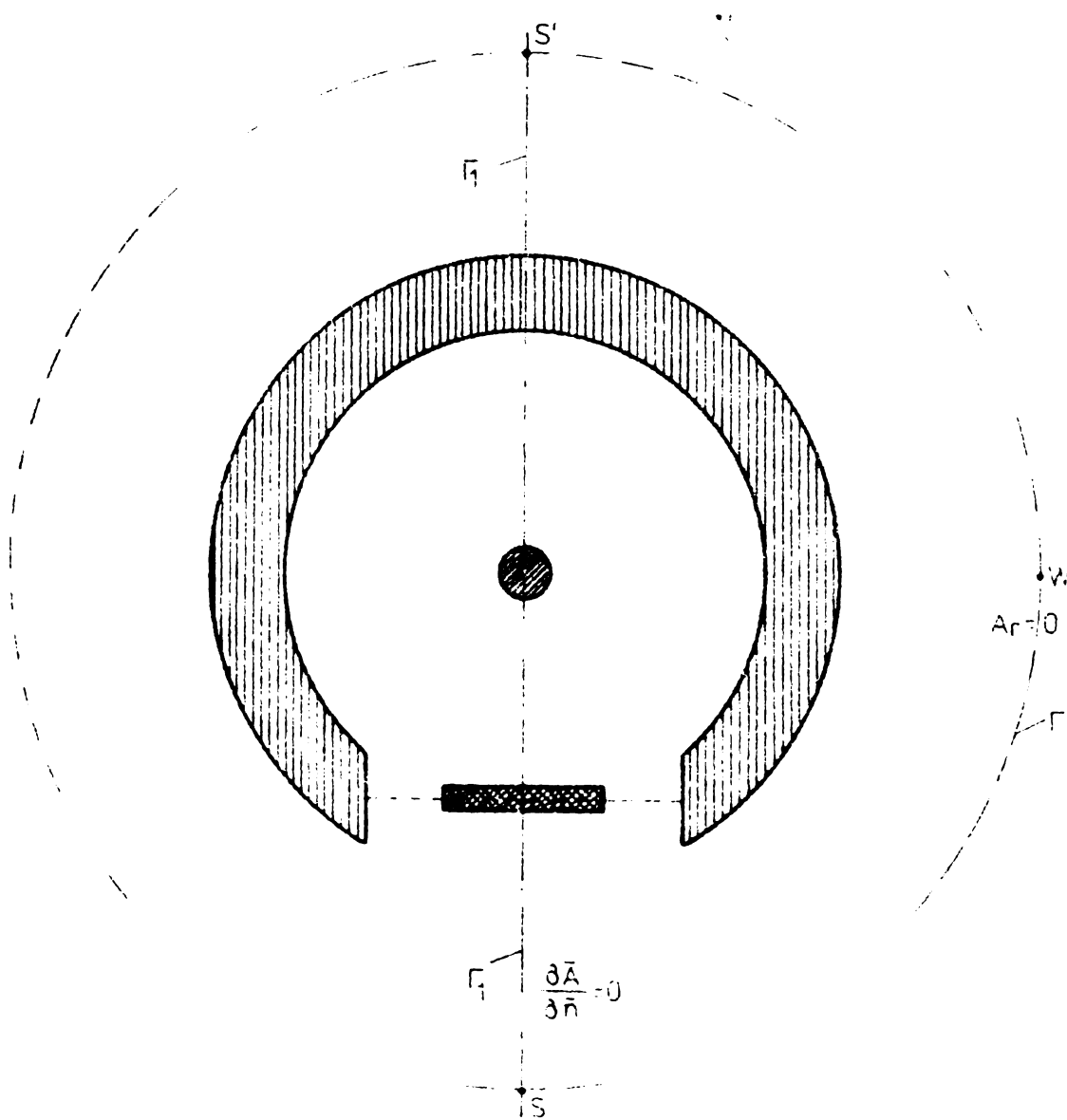


Fig. 2.3. Domeniul de modelare a câmpului din traductorul primar de curent

tricii coeficienților și a termenului liber, rezolvarea sistemului, ridică probleme de capacitate a memoriei calculatorului, [54] și se impune segmentarea programului pe fișiere. Aceasta duce la timpuri de calcul mari și deci la prețuri de cost ridicate în obținerea soluției [56].

Din cerințele formulate pentru problema de câmp, vezi paragraful 2.2, nu se cere câmpul pe ansamblu, ci, numai în zona centrală, zonă de poziționare a mediului optic transparent. Dacă dimensiunile geometrice ale câmpului feromagnetic și mediului optic transparent satisfac inegalitățile

$$a \gg \rho; \quad b \gg \rho; \quad a > b$$

câmpul magnetic, în imediata vecinătate a mediului optic spre laturile  $b$  și  $d$  - fig.2.2, poate fi aproximat ca plan-paralel. Rezultă un model de câmp planar poziționat în planul de simetrie al câmpului spațial real. (fig.2.2 planul hașurat).

Se consideră circuitul feromagnetic cu conductorul de transport al energiei electrice ca un sistem electromagnetic izolat, fără schimb de energie cu exteriorul. Suprafața  $S$  de izolare se sprijină pe curba  $\Gamma$  cu condiție de frontieră tip Dirichlet: componenta radială a potențialului magnetic vector este nulă :

$$A_r = 0$$

Curba  $\Gamma$  apare în domeniul de câmp planar din fig.2.3.

Studiind traductorul primar de curent în ansamblu-circuit feromagnetic mobil, conductorul de transport al energiei electrice poziționat central și mediul optic transparent-rezultă existența unui al doilea plan de simetrie al câmpului spațial real. El trece prin secțiunea centrală de-a lungul conductorului, împarte circuitul feromagnetic în două jumătăți identice și la fel câmpul spațial real. La domeniul de modelare a câmpului, fig.2.3, planul acesta de simetrie se reprezintă prin axa  $SS'$ . De-a lungul ei este satisfăcută condiția de frontieră tip Neuman

$$\frac{\partial \bar{A}}{\partial \bar{n}} = 0 \quad (2.4)$$

Conform conceptului de calcul variațional, aproximarea soluției finale a problemei de câmp nu suferă cu nimic dacă se modelează câmpul numai într-un subdomeniu, pe frontierele cărui există condiții de frontiere tip mixt.

Se alege, ca domeniu de modelare a câmpului, semi-planul  $S-S'-S$  cu următoarele condiții de restricțivitate a minimizării funcționalei : pe axa  $SS'$ , frontiera  $\Gamma_1$  - condiție de frontieră tip Neuman (relația 2.4); pe curba  $S'S$ , frontiera  $\Gamma$  - condiție de frontieră tip Dirichlet (relația 2.3). Domeniul de modelare a câmpului se notează cu "D". Sistemul cartezian de coordonate are originea în centrul secțiunii torului și direcția OX coincide cu direcția  $SS'$ .

Domeniul de modelare a câmpului cuprinde următoarele zone cu proprietăți magnetice diferite (fig.2.3) :

- 1 - zona ocupată de secțiunea transversală a conductorului de transport a energiei electrice (cu hațură oblică). Conductorul este constituit dintr-o funie de conductoare de aluminiu torsionate cu o sîrmă de oțel pentru rezistență mecanică mare. Secțiunea oțelului este foarte mică. În comparație cu secțiunea aluminiului, astfel că, se poate considera, fără eroare mare, că zona este din aluminiu cu  $\mu_{rel.} = 1,000022$
- 2 - zona ocupată de mediul optic transparent - sticlă de Jena tip flint foarte greu SF<sub>6</sub>. Permeabilitatea sa magnetică este  $\mu_{rel.} = 1,0$
- 3 - zona ocupată de secțiunea prin conductorul feromagnetic. Circuitul feromagnetic toroidal mobil este realizat din tole tablă Fe-Si laminată la rece tip M5, de grosime  $g = 0,3$  mm și lățime  $a = 62,5$  mm. Permeabilitatea sa magnetică este o mărime complexă ce ține cont de pierderile în fier

(2.5)

În cazul în care circuitul feromagnetic este realizat din tole, izolate una față de alta și prezintă pierderi de magnetizare neglijabile, permeabilitatea magnetică este reală,

(2.6)

și calculabilă din curba fundamentală de magnetizare a materialului folosit.

- 4 - zona ocupată de aer cu permeabilitatea magnetică

$$\mu_0 = 4 \cdot \pi \cdot 10^{-7} \text{ [H/m]} \quad (2.7)$$

$$\mu_{rel} = 1,0$$

Axa OZ este perpendiculară pe planul domeniului de câmp din fig.2.3 și în sensul în care curentul de măsurat străbate conductorul infinit lung de transport al energiei electrice; se admite că curentul intră în planul hîrtiei. Planul de existență al vectorilor  $\vec{B}$  și  $\vec{H}$  coincide cu planul XOY al domeniului de câmp ales iar direcția potențialului magnetic vector coincide cu direcția și sensul axei OZ. [37.pg.29-31]. Notînd cu  $\vec{x}_0$ ,  $\vec{y}_0$ ,  $\vec{z}_0$  versorii pe direcțiile axelor OX, OY, respectiv OZ, rezultă

$$\nabla \times \vec{A} = \vec{B}(x,y) = \frac{\partial A}{\partial y} \cdot \vec{x}_0 - \frac{\partial A}{\partial x} \cdot \vec{y}_0 \quad (2.8)$$

$$(\nabla \times \vec{A})^2 = \left(\frac{\partial A}{\partial y}\right)^2 + \left(\frac{\partial A}{\partial x}\right)^2. \quad (2.9)$$

Luînd în considerare relația (2.6) dependența dintre  $\vec{B}$  și  $\vec{H}$  se exprimă cu relația :

$$\vec{B} = \mu(B) \cdot \vec{H}$$

Pentru corpuri imobile și la viteze reduse de variație în timp, impuse de frecvența industrială  $f = 50 \text{ Hz}$ , legea circuitului magnetic se scrie sub forma cunoscută :

$$\nabla \times \vec{H} = \vec{J} \quad (2.10)$$

Variația în timp a inducției magnetice  $\vec{B}$  condiționează apariția unui câmp electric eminentemente turbionar  $\vec{E}_{tb}$ . În mediu de conductibilitate electrică  $\sigma$  apare un curent turbionar de densitate

$$\vec{J}_{tb} = \sigma \cdot \vec{E}_{tb}. \quad (2.11)$$

Conform legii inducției electromagnetice

$$\nabla \times \frac{\vec{J}_{tb}}{\sigma} = - \frac{\partial \vec{B}}{\partial t} \quad (2.12)$$

Tinînd cont de relațiile de definire a potențialului magnetic vector

$$\nabla \times \vec{A} = \text{rot } \vec{A} = \vec{B} \quad (2.13)$$

$$\nabla \cdot \vec{A} = \text{div } \vec{A} = 0$$

legile circuitului magnetic și inducției electromagnetice se pot scrie sub forma :

$$\frac{1}{\mu} [\nabla \times (\nabla \times \vec{A})] = \vec{J} = \vec{J}_c + \vec{J}_{tb}. \quad (2.14)$$

$$\bar{J}_{tb} = -\nabla \cdot \frac{\partial \bar{A}}{\partial t} \quad (2.15)$$

Cîmpul magnetic total  $\bar{A}$  este determinat de curenții de conducție și de cei induși, ambii variabili în timp. Deci

$$\nabla^2 \bar{A} = -\mu \bar{J}_c + \mu \cdot \nabla \cdot \frac{\partial \bar{A}}{\partial t} \quad (2.16)$$

Dacă permeabilitatea magnetică este o mărime complexă ce ține cont de pierderile prin histerezisul materialului feromagnetic folosit, relația (2.16) cunoscută și sub numele de ecuația difuziei, descrie cazul cel mai general al cîmpului.

În domeniul ales pentru modelarea cîmpului, inducția electromagnetică poate acționa asupra zonei feromagnetice și asupra zonei mediului optic. Circuitul feromagnetic este realizat din tole izolate pe ambele părți și fiecare toală este rigidizată de vecinele printr-o peliculă foarte subțire de liant organic - dobecan. Deci, conductibilitatea electrică  $\bar{\nu}$  este foarte mică și efectul curenților turbionari în circuitul feromagnetic este practic neglijabil. Mediul optic transparent este, din punct de vedere electric, un material izolant cu o conductibilitate electrică foarte mică; efectul inducției electromagnetice este și aici perfect neglijabil.

Tinînd cont de cele de mai sus, se poate neglija curentul turbionar în ecuația difuziei, rămînînd numai curentul local de conducție. Rezultă :

$$\nabla^2 \bar{A} = -\mu \bar{J}_c \quad (2.17)$$

În acest caz se poate renunța la variația în timp, deoarece potențialul magnetic vector are aceeași variație în timp ca și densitatea curentului care o produce. Rezultă ecuația lui Poisson cu valori reale

$$\nabla^2 \bar{A} = -\mu \cdot \bar{J}_c \quad (2.18)$$

Fie  $V_{\Gamma, \Gamma_1}$  volumul unei jumătăți de cilindru cu secțiunea bazei egală cu domeniul ales pentru modelarea cîmpului și cu înălțimea egală cu unitatea. Se admite ca funcțională relația (2.19),

$$F[A] = \iiint_{V_{\Gamma, \Gamma_1}} \left[ \frac{1}{2\mu} (\nabla \times \bar{A})^2 - \bar{J}_c \cdot \bar{A} \right] dV \quad (2.19)$$

ce poate fi interpretată și ca energia sistemului delimitat de domeniul  $V_{\Gamma, \Gamma_1}$

Cum potențialul magnetic vector are acelaș versor ca și densitatea de curent  $\vec{J}_c$ ,

$$\vec{J}_c \cdot \vec{A} = J_c A$$

$$\text{iar } dv = dx, dy, 1$$

funcționala se poate scrie, în final, sub forma :

$$F[A] = \iint_D \left\{ \frac{1}{2\mu} \left[ \left( \frac{\partial A}{\partial x} \right)^2 + \left( \frac{\partial A}{\partial y} \right)^2 \right] - J_c A \right\} dx dy. \quad (2.20)$$

## 2.4. ALGEBRA FUNCȚIEI DE APROXIMARE PENTRU POTENTIALUL MAGNETIC SCALAR

### 2.4.1. Considerații generale

Minimizarea funcționalei  $F[A]$  prin metoda directă a elementului finit este o minimizare aproximativă. Ea se bazează pe modelul de câmp realizat prin discretizarea domeniului  $D$  într-o rețea cu "ne" elemente și "np" noduri, din care, "nd" noduri nu se găsesc pe frontiera  $\Gamma$  cu  $A_x = 0$ . ( $nd < np$ ). Rețeaua de discretizare se realizează astfel încît, în interiorul unui element, proprietățile electromagnetice de material să poată fi considerate constante.

Funcția de aproximare  $A(x,y)$ , pentru un punct curent din interiorul unui element oarecare, depinde de valorile ei în nodurile de definire ale elementului, de coordonatele acestora și ale punctului curent. Considerînd elementul definit cu  $k$  noduri, funcția de aproximare, sub forma indicată, se poate exprima cu relația generală

$$[A] = [N] \cdot [A]^e. \quad (2.21)$$

$[N]$  = funcția de ponderație = matrice linie cu  $k$  elemente

$[A]$  = vectorul celor  $k$  valori nodale ale potențialului magnetic  $A$

$$[N] = [N_1, N_2, \dots, N_k] ; [A]^e = \begin{bmatrix} A_1 \\ A_2 \\ \vdots \\ A_k \end{bmatrix} \quad (2.22)$$

Minimizarea funcționalei la nivelul elementului oarecare se exprimă prin anularea derivatelor parțiale,

$$\frac{\partial F[A]}{\partial [A]^e} = 0 \quad (2.23)$$

și duce la determinarea valorilor nodale ale potențialului magnetic  $A$ , pentru care, funcționala  $F[A]$  prezintă un minim. Pe ansamblul domeniului  $D$  rezultă nă valori nodale,

$$[A]^D = \begin{bmatrix} A_1 \\ A_2 \\ \vdots \\ A_{nd} \end{bmatrix} \quad (2.24)$$

care, conform [46, 57], impun aproximarea superioară a valorii minimului funcționalei pe întreg domeniul  $D$ .

Considerînd ca punct de plecare minimizarea la nivelul fiecărui element din rețeaua de modelare a cîmpului, se poate trece la asamblarea problemei de minim pe întreg domeniul  $D$ ,

$$\frac{\partial F[A]}{\partial [A]^D} = 0 \quad (2.25)$$

numai dacă se îndeplinesc condițiile :

1. - tipul de element finit ales și deci și clasa din care face parte funcția de aproximare, trebuie să corespundă modelării cît mai fidele a cîmpului real ;
2. - funcția de aproximare a necunoscutei  $A(x,y)$  este aceeași pentru toate elementele din rețea;
3. - funcția de aproximare a necunoscutei  $A(x,y)$  asigură validitatea însumării minimelor funcționalei la nivelul elementelor pentru obținerea minimului funcționalei pe întreg domeniul  $D$ ;
4. - cînd dimensiunile elementelor se reduc ,tinzînd la limită spre zero, funcția de aproximare a necunoscutei  $A(x,y)$  trebuie să fie convergentă spre soluția unică a problemei de cîmp.

Tipurile de elemente plane folosite în discretizarea domeniului ales sînt [58, 59, 60]:

- elementele rectangulare din familia "de Serendip"
- elementele rectangulare din familia "de Lagrange"
- familia elementelor triunghiulare rectilinii
- familia elementelor triunghiulare curbilinii

Elementul finit triunghiular are cea mai largă utilizare pentru modelarea discretă a unui domeniu de câmp electromagnetic oarecare [47, 50, 61]. De aceea și modelarea câmpului creat de sensorul de curent va fi realizată numai cu elemente triunghiulare. Alegînd elemente triunghiulare de același tip în toată rețeaua de discretizare (liniare, patratice sau cubice) și realizînd afinarea rețelei în zona de gradient maxim, se îndeplinesc primele două condiții.

Reconsiderînd semicilindrul volumului  $V_{\Gamma, \Gamma_d}$  cu înălțimea egală cu unitatea, forma funcționalei din relația (2.19) reprezintă energia sistemului electromagnetic izolat cu neglijarea pierderilor în fier.

În această interpretare fizică, suma energiilor tuturor elementelor spațiale, ce au ca bază triunghiul - element finit ales și înălțimea unitară, formează energia totală pe domeniul  $V_D$ . Exprimînd matematic,

$$F[A]^D = \sum_{e=1}^{ne} F[A]^e \quad (2.26)$$

relația (2.26) este valabilă și pentru exprimarea funcționalei cu relația (2.20) deși ea nu mai exprimă energie. Fiind aplicabilă relația (2.26), condiția a treia poate fi respectată.

Prin convergența funcției de aproximare către soluția unică a problemei se înțelege faptul că, erorile comise în determinarea valorii minime a funcționalei, dispar atunci cînd suprafețele elementelor din rețeaua de discretizare tind către zero. Practic, acest lucru este irealizabil. Este important însă de știut dacă o aproximare dată de o anumită rețea de discretizare este în mod sigur mai bună decît cea dată de o altă rețea de discretizare. În general, dacă o a doua rețea de discretizare este obținută prin subdivizarea primei, trebuie să se asigure o convergență monotonă spre valoarea adevărată a minimumului funcționalei.

Din relația (2.21) se poate trage concluzia că, convergența funcției de aproximare  $A(x,y)$  este asigurată de funcția de ponderație  $[N]$ . Funcția de ponderație trebuie să satisfacă următoarele două criterii de convergență :

**CRITERIUL nr.1:** Funcțiile de ponderație  $[N]$  trebuie să fie astfel alese încât, pentru valori convenabile ale potențialului magnetic scalar în nodurile elementelor, orice valoare constantă a funcției  $A(x,y)$  sau a derivatelor sale din  $F[A]$  să poată fi obținută la limită când dimensiunea elementului tinde spre zero.

**CRITERIUL nr.2:** Funcțiile de ponderație  $[N]$  trebuie să fie astfel alese, încât  $A(x,y)$  și toate derivatele sale, pînă la un ordin superior cu 1 ordinului derivației din funcțională, să fie continue pe linia de separație a elementelor.

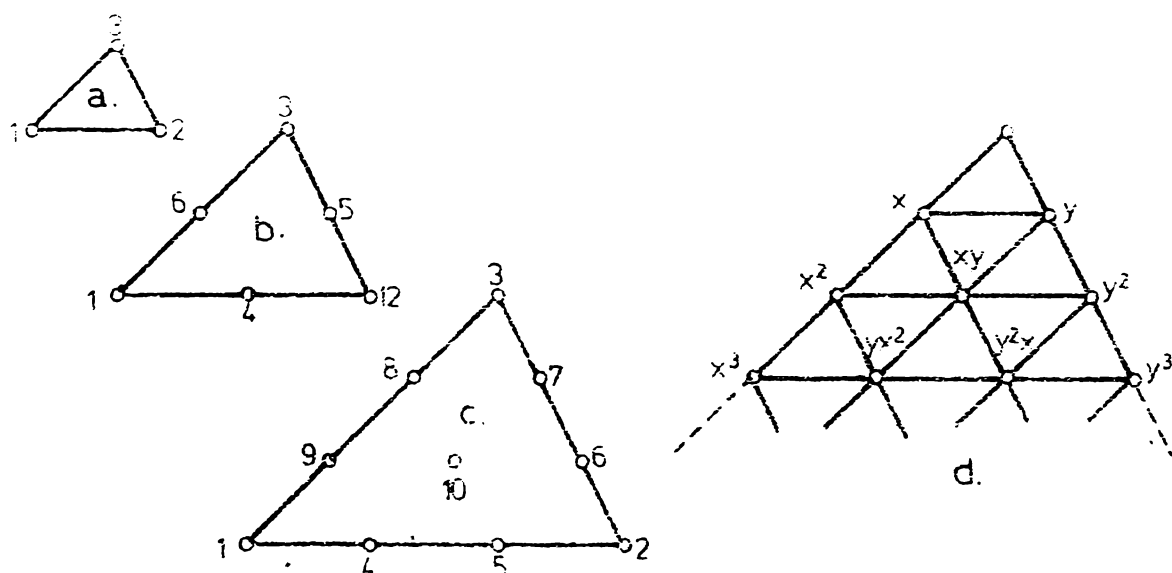
Deoarece funcționala este stabilă pe baza ecuației lui Poisson, relația (2.20), conține numai derivate parțiale de ordinul întâi ale funcției necunoscute  $A(x,y)$ , este suficientă continuitatea funcției de aproximare pe linia de separație dintre două elemente, fără continuitatea derivatelor. Aceasta constituie și condiția de bază în alegerea formei polinomiale a funcției de ponderație.

#### 2.4.2. Funcțiile de ponderație ale elementelor triunghiulare

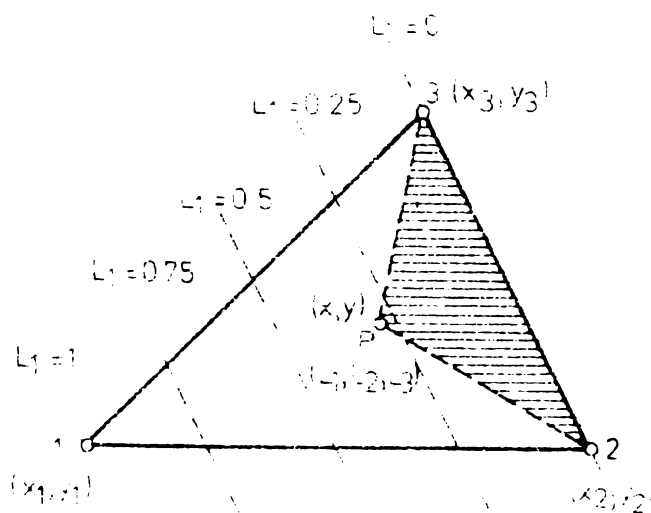
Familia elementelor triunghiulare, precum și modul de generare a funcțiilor de ponderații, sînt indicate în fig. 2.4. Numărul de noduri ale fiecărui element din această familie este cel care permite reprezentarea funcției de ponderație printr-un polinom complet; gradul polinomului este cel care asigură compatibilitatea între elemente și corespunde gradului de aproximare a problemei de câmp.

Determinarea funcțiilor de ponderație se obține facil pentru elementul triunghiular liniar. Pentru celelalte tipuri de elemente, funcțiile de ponderație se determină prin relații de recurență, folosind funcțiile de ponderație ale elementului triunghiurilor de ordin imediat inferior. Pentru aceasta, este mai comod a institui un sistem de coordonate libere, la nivel de element oarecare, denumite COORDONATE NORMATE DE SUPRAFAȚA (fig.2.5.).

Pentru elementul triunghiular liniar cu nodurile 1, 2, 3, ordinea de numerotare a nodurilor făcîndu-se în sensul trigonometric, legătura dintre coordonatele normate  $L_1$ ,



**Fig.2.4. Familia elementelor triunghiulare**  
**a. - element liniar; b. - element patratric; c. - element cubic; d. - modul de generare a nodului și funcției de ponderație**



**Fig.2.5. Coordonate normate de suprafata**

$L_2, L_3$  și coordonatele carteziene ale nodurilor și punctului curent  $P$  este dată prin relațiile (2.27)

$$\begin{aligned} x &= L_1 x_1 + L_2 x_2 + L_3 x_3 \\ y &= L_1 y_1 + L_2 y_2 + L_3 y_3 \\ l &= L_1 + L_2 + L_3 \end{aligned} \tag{2.27}$$

Dacă punctul curent  $P(x,y)$  ia poziția nodului 1, adică  $x = x_1$  și  $y = y_1$ , trebuie ca  $L_1 = 1$  și  $L_2 = L_3 = 0$ . În mod similar dacă punctul curent ia pozițiile nodurilor 2, respectiv 3. Aceste proprietăți sînt îndeplinite dacă coordonatele libere sînt definite prin raporturi de suprafețe. Notîndu-se

$$\text{aria triunghi} = \text{aria } \Delta$$

rezultă

$$L_1 = \frac{\text{aria } \Delta_{P,2,3}}{\text{aria } \Delta_{1,2,3}} ; L_2 = \frac{\text{aria } \Delta_{1,P,3}}{\text{aria } \Delta_{1,2,3}} ; L_3 = \frac{\text{aria } \Delta_{1,2,P}}{\text{aria } \Delta_{1,2,3}}$$

Exprimînd dublul suprafeței triunghiului prin determinantul coordonatelor carteziene ale nodurilor ce definesc triunghiul în cauză,  $\Delta$ , se obține :

$$L_1 = \frac{1}{\Delta} \cdot [x(y_2 - y_3) + y(x_3 - x_2) + x_2 y_3 - x_3 y_2] \quad (2.28)$$

$$L_2 = \frac{1}{\Delta} \cdot [x(y_3 - y_1) + y(x_1 - x_3) + x_3 y_1 - x_1 y_3] \quad (2.29)$$

$$L_3 = \frac{1}{\Delta} \cdot [x(y_1 - y_2) + y(x_2 - x_1) + x_1 y_2 - x_2 y_1] \quad (2.30)$$

cu

$$\Delta = \begin{vmatrix} x_1 & x_2 & x_3 \\ y_1 & y_2 & y_3 \\ 1 & 1 & 1 \end{vmatrix} = x_1(y_2 - y_3) + x_2(y_3 - y_1) + x_3(y_1 - y_2). \quad (2.31)$$

Se notează cu :

$$\begin{aligned} a_1 &= x_2 y_3 - x_3 y_2 & a_2 &= x_3 y_1 - x_1 y_3 & a_3 &= x_1 y_2 - x_2 y_1 \\ b_1 &= y_2 - y_3 & b_2 &= y_3 - y_1 & b_3 &= y_1 - y_2 \\ c_1 &= x_3 - x_2 & c_2 &= x_1 - x_3 & c_3 &= x_2 - x_1 \end{aligned} \quad (2.32)$$

și coordonatele libere se pot exprima concentrat prin polinoame de gradul unu.

$$\begin{aligned} L_1 &= \frac{1}{\Delta} \cdot (a_1 + b_1 x + c_1 y) \\ L_2 &= \frac{1}{\Delta} \cdot (a_2 + b_2 x + c_2 y) \\ L_3 &= \frac{1}{\Delta} \cdot (a_3 + b_3 x + c_3 y) \end{aligned} \quad (2.33)$$

Dacă punctul curent  $P(x,y)$  ia poziția nodului 1, adică  $x = x_1$  și  $y = y_1$ , se obține

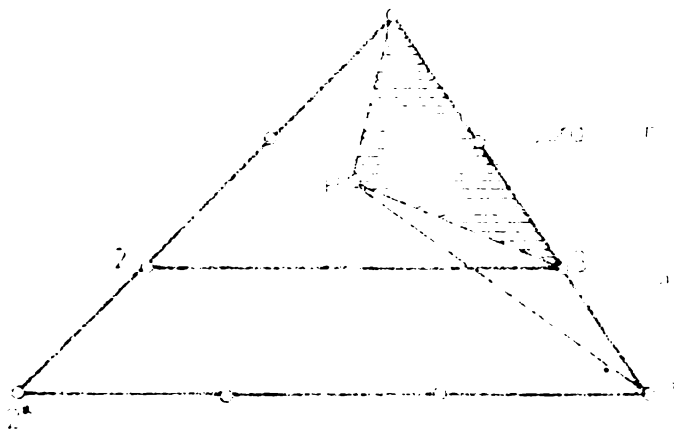
$$L_1 = \frac{1}{\Delta} \cdot [x_1(y_2 - y_3) + y_1(x_3 - x_2) + x_2 y_3 - x_3 y_2] =$$

$$= \frac{1}{\Delta} \cdot [x_1(y_2 - y_3) + x_2(y_3 - y_1) + x_3(y_1 - y_2)] = 1$$

Similar, dacă punctul curent ia poziția nodului 2,  $L_1 = L_3 = 0$  și  $L_2 = 1$  iar dacă  $P(x, y)$  ia poziția nodului 3,  $L_1 = L_2 = 0$  și  $L_3 = 1$ . Ținând cont de relația indexată (2.21) rezultă că, pentru elementul triunghiular liniar, funcțiile de ponderație sînt aceleași cu coordonatele normate respective. Adică

$$N_1 = L_1 ; N_2 = L_2 ; N_3 = L_3 \quad (2.34)$$

Pentru a deduce coordonatele normate pentru un triunghi patrat, fig.2.4.b, sau pentru un triunghi cubic, fig.2.4.c, se stabilese relațiile de recurență, ce fac legătura între coordonatele normate de ordinul  $n - L_1^n, L_2^n, L_3^n$  și coordonatele normate de ordinul  $n + 1 - L_1^{n+1}, L_2^{n+1}, L_3^{n+1}$ . (fig.2.6)



**Fig.2.6. Generarea coordonatelor normate prin recurență**

$$L_2^n = \frac{\text{aria } \Delta P, 1, 3}{\text{aria } \Delta 1, 2, 3} ; L_2^{n+1} = \frac{\text{aria } \Delta P, 1, 3^*}{\text{aria } \Delta 1, 2^*, 3^*}$$

$$L_2^n = \frac{\text{aria } \Delta P, 1, 3}{\text{aria } \Delta P, 1, 3^*} \cdot \frac{\text{aria } \Delta 1, 2^*, 3^*}{\text{aria } \Delta 1, 2, 3} \cdot \frac{\text{aria } \Delta P, 1, 3^*}{\text{aria } \Delta 1, 2^*, 3^*} =$$

$$= \left(\frac{n}{n+1}\right) \cdot \left(\frac{n+1}{n}\right)^2 \cdot L_2^{n+1} = \frac{n+1}{n} \cdot L_2^{n+1}$$

Similar se determină  $L_3^n$ . Ținând cont că  $L_1^n + L_2^n + L_3^n = 1$ , rezultă

$$\begin{aligned} L_1^n &= \frac{1}{n} \left[ (n+1) \cdot L_1^{n+1} - 1 \right] \\ L_2^n &= \frac{n+1}{n} \cdot L_2^{n+1} \\ L_3^n &= \frac{n+1}{n} \cdot L_3^{n+1} \end{aligned} \quad (2.35)$$

Funcțiile de ponderație pentru triunghiul de gradul  $n$  sînt funcție de coordonatele normate de gradul  $n$ .

$$N_i^n (L_1^n, L_2^n, L_3^n)$$

Funcțiile de ponderație pentru triunghiul de gradul  $(n+1)$  sînt funcții de coordonatele normate de gradul  $n+1$ , de funcția de ponderație respectivă de gradul  $n$ , de un coeficient ce ține cont de gradul triunghiului și de numărul  $i$  al stratului unde se găsește nodul  $i$  pornind de la nodul de vîrf 1 (fig. 2.6)

$$\begin{aligned} N_i^{n+1} (L_1^{n+1}, N_i^n, \rho) \\ \rho = \frac{n+1}{n} \end{aligned} \quad (2.36)$$

Rezultă funcția de recurență

$$N_i^{n+1} = \rho \cdot L_i^{n+1} \cdot N_i^n$$

Se începe de la triunghiul liniar, ordinar,  $(2.37)$  ale cărei coordonate normate și în același timp funcții de ponderații, se calculează cu relațiile (2.28)-(2.31). Rezultă  $L_1, L_2, L_3$ .

Pentru triunghiul patratic, ordinar, 2, ținând cont de relațiile de recurență (2.35) și (2.37), se obține

$$\begin{aligned} N_1 &= (2 \cdot L_1 - 1) \cdot L_1 & N_4 &= 4 \cdot L_1 \cdot L_3 \\ N_2 &= (2 \cdot L_2 - 1) \cdot L_2 & N_5 &= 4 \cdot L_1 \cdot L_2 \\ N_3 &= (2 \cdot L_3 - 1) \cdot L_3 & N_6 &= 4 \cdot L_2 \cdot L_3. \end{aligned} \quad (2.38)$$

Pentru triunghiul cubic se obține

$$\begin{aligned} N_i &= \frac{1}{2} \cdot (3L_i - 1) \cdot (3L_i - 2) \cdot L_i \quad ; \quad i = 1, 2, 3. \\ N_4 &= \frac{9}{4} \cdot L_1 \cdot L_2 \cdot (3L_1 - 1). \\ N_5 &= \frac{9}{4} \cdot L_1 \cdot L_2 \cdot (3L_2 - 1). \\ N_6 &= \frac{9}{4} \cdot L_2 \cdot L_3 \cdot (3L_2 - 1). \end{aligned} \quad (2.39)$$

$$\begin{aligned}
 N_7 &= \frac{9}{4} \cdot L_2 \cdot L_3 \cdot (3L_3 - 1) & N_9 &= \frac{9}{4} \cdot L_3 \cdot L_1 \cdot (3L_1 - 1) \\
 N_8 &= \frac{9}{4} \cdot L_3 \cdot L_1 \cdot (3L_3 - 1) & N_{10} &= 27 \cdot L_1 \cdot L_2 \cdot L_3
 \end{aligned}
 \tag{2.39}$$

Din analiza relațiilor (2.33), (2.38) și (2.39) se observă că :

- funcțiile de ponderație pentru elementul triunghiular sînt polinoame complete de gradul 1 în  $x$  și  $y$ .

$$N_i = a_i + b_i \cdot x + c_i \cdot y \quad \text{pt. } i = 1, 2, 3 \tag{2.40}$$

- funcțiile de ponderație pentru elementul triunghiular patratie sînt polinoame complete de gradul 2 în  $x$  și  $y$

$$N_i = a_i + b_i \cdot xy + c_i \cdot x^2 + d_i \cdot y^2 \quad \text{pt. } i = 1, 2, \dots, 6 \tag{2.41}$$

- funcțiile de ponderație pentru elementul triunghiular cubic sînt polinoame complete de gradul 3 în  $x$  și  $y$

$$\begin{aligned}
 N_i &= a_i + b_i \cdot xy + c_i \cdot x^2y + d_i \cdot xy^2 + e_i \cdot x^3 + f_i \cdot y^3 \\
 &\text{pt. } i = 1, 2, \dots, 9, 10
 \end{aligned}
 \tag{2.42}$$

Coficienții indexați cu  $i$  nu sînt aceiași în cele trei polinoame ; ei se pot determina pe baza relațiilor (2.32), (2.38) și (2.39).

### 2.4.3. Funcția de aproximare a potențialului magnetic scalar

In afară de elementele triunghiulare prezentate în paragraful precedent, se mai pot folosi: triunghiuri cu funcții ponderate - polinoame de interpolare tip Hermite [62] ; triunghiuri cu funcții de ponderație - polinoame tip Lagrange [62] ; triunghiul Clough și Toucher [63] .Primele două tipuri de triunghiuri prezintă avantajul folosirii programului, odată creat, într-o mare varietate de probleme; prezintă dezavantajul complexității calculului și a pregătirii datelor de intrare. Triunghiul Clough și Toucher nu și-a găsit încă aplicația în studiul câmpurilor electromagnetice; el se folosește cu exclusivitate la studiul eforturilor mecanice în plăci [63] .

Alegerea tipului de element finit triunghiular este o problemă dificilă și depinde de tipul problemei de studiat,

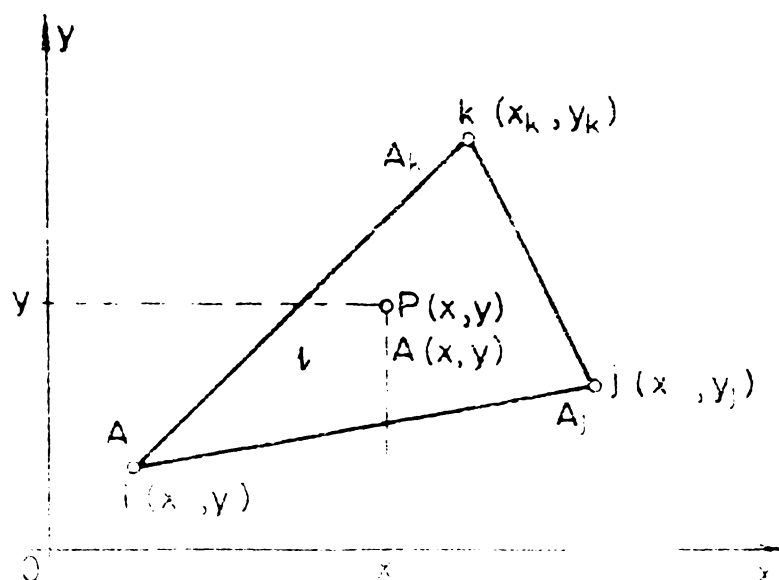
de experiența cercetătorului, de timpul de preparare a datelor de intrare, de memoria alocată, de timpul de calcul ,etc. Trebuie totdeauna , pe lângă avantajul modelării cât mai corecte a fenomenului, să se facă și o justificare economică a modului de rezolvare.

Pentru realizarea modelului discretizat de câmp al sensorului feromagnetic de curent se alege triunghiul liniar; el permite aproximarea funcției necunoscute cu polinoame de gradul 1 în x și y. Alegerea se justifică prin următoarele :

- funcțiile de ponderație cu o formă simplă;
- numărul de noduri ce definesc elementul este minim și se face economie de memorie de calculator;
- integrările ulterioare sînt simplu de efectuat;
- în zonele cu gradient mare se poate afina discretizarea în detrimentul zonelor cu câmp practic uniform
- prepararea datelor de intrare de către cercetător necesită timp puțin;
- calculul coordonatelor nodurilor se poate face automat, simplu, eliminînd erorile de apreciere realizate prin introducerea lor ca date.

Pentru un element triunghiular liniar oarecare, fig.2.7, funcția de aproximare a potențialului magnetic scalar  $A(x,y)$ , este :

$$A(x,y) = N_i \cdot A_i + N_j \cdot A_j + N_k \cdot A_k. \quad (2.43)$$



**Fig.2.7. Aproximarea funcției necunoscute la nivelul elementului triunghiular liniar oarecare**

$$N_i = \frac{1}{\Delta} \cdot [x_j y_k - x_k y_j + (y_j - y_k) \cdot x + (x_k - x_j) \cdot y] \quad (2.44)$$

$$N_j = \frac{1}{\Delta} \cdot [x_k y_i - x_i y_k + (y_k - y_i) \cdot x + (x_i - x_k) \cdot y] \quad (2.45)$$

$$N_k = \frac{1}{\Delta} \cdot [x_i y_j - x_j y_i + (y_i - y_j) \cdot x + (x_j - x_i) \cdot y] \quad (2.46)$$

$$\Delta = x_i y_j + x_j y_k + x_k y_i - x_i y_k - x_j y_i - x_k y_j \quad (2.47)$$

## 2.5. MINIMIZAREA FUNCȚIONALEI LA NIVELUL ELEMENTULUI

Se înlocuiește în (2.20) potențialul magnetic cu funcția sa de aproximare (2.43). La nivelul unui element  $i, j, k$  oarecare, funcționala este

$$F[A]^e = \iint_e \left\{ \frac{1}{2\mu_e} \cdot \left[ \left( \frac{\partial N_i}{\partial x} \cdot A_i + \frac{\partial N_j}{\partial x} \cdot A_j + \frac{\partial N_k}{\partial x} \cdot A_k \right)^2 + \left( \frac{\partial N_i}{\partial y} \cdot A_i + \frac{\partial N_j}{\partial y} \cdot A_j + \frac{\partial N_k}{\partial y} \cdot A_k \right)^2 \right] - J_{ce} (N_i A_i + N_j A_j + N_k A_k) \right\} dx dy \quad (2.48)$$

Determinarea valorilor nodale ale potențialului magnetic se face prin minimizarea funcționalei la nivelul elementului. Aceasta, impune anularea celor trei derivate parțiale

$$\frac{\partial F[A]^e}{\partial A_i} = 0 ; \quad \frac{\partial F[A]^e}{\partial A_j} = 0 ; \quad \frac{\partial F[A]^e}{\partial A_k} = 0$$

și rezolvarea sistemului astfel obținut. Indexat, minimizarea funcționalei la nivelul elementului se exprimă prin:

$$\frac{\partial F[A]^e}{\partial [A]^e} = [M]^e \times [A]^e - [TL]^e = 0 \quad (2.49)$$

$[M]^e$  = matricea coeficienților necunoscutelor

$[A]^e$  = vectorul necunoscutelor  $A_i, A_j, A_k$

$[TL]^e$  = vectorul termen liber

Se înlocuiesc funcțiile de ponderație  $N_i, N_j, N_k$  cu expresiile (2.44), (2.45) respectiv (2.46), obținându-se:

$$\begin{aligned} \frac{\partial F[A]^e}{\partial A_i} = & \iint_e \left\{ \frac{2}{2\mu_e \Delta_e^2} \cdot [(\gamma_j - \gamma_k) \cdot A_i + (\gamma_k - \gamma_i) \cdot A_j + (\gamma_i - \gamma_j) \cdot A_k] \cdot (\gamma_j - \gamma_k) + \right. \\ & + \frac{2}{2\mu_e \Delta_e^2} \cdot [(\chi_k - \chi_j) \cdot A_i + (\chi_i - \chi_k) \cdot A_j + (\chi_j - \chi_i) \cdot A_k] \cdot (\chi_k - \chi_j) - \\ & \left. - \frac{J_{ke}}{\Delta_e} \cdot [x_j \gamma_k - x_k \gamma_j + (\gamma_j - \gamma_k) \cdot x + (\chi_k - \chi_j) \cdot y] \right\} dx dy. \end{aligned} \quad (2.50)$$

$$\begin{aligned} \frac{\partial F[A]^e}{\partial A_j} = & \iint_e \left\{ \frac{2}{2\mu_e \Delta_e^2} \cdot [(\gamma_j - \gamma_k) \cdot A_i + (\gamma_k - \gamma_i) \cdot A_j + (\gamma_i - \gamma_j) \cdot A_k] \cdot (\gamma_k - \gamma_i) + \right. \\ & + \frac{2}{2\mu_e \Delta_e^2} \cdot [(\chi_k - \chi_j) \cdot A_i + (\chi_i - \chi_k) \cdot A_j + (\chi_j - \chi_i) \cdot A_k] \cdot (\chi_i - \chi_k) - \\ & \left. - \frac{J_{ke}}{\Delta_e} \cdot [x_k \gamma_i - x_i \gamma_k + (\gamma_k - \gamma_i) \cdot x + (\chi_i - \chi_k) \cdot y] \right\} dx dy. \end{aligned} \quad (2.51)$$

$$\begin{aligned} \frac{\partial F[A]^e}{\partial A_k} = & \iint_e \left\{ \frac{2}{2\mu_e \Delta_e^2} \cdot [(\gamma_j - \gamma_k) \cdot A_i + (\gamma_k - \gamma_i) \cdot A_j + (\gamma_i - \gamma_j) \cdot A_k] \cdot (\gamma_i - \gamma_j) + \right. \\ & + \frac{2}{2\mu_e \Delta_e^2} \cdot [(\chi_k - \chi_j) \cdot A_i + (\chi_i - \chi_k) \cdot A_j + (\chi_j - \chi_i) \cdot A_k] \cdot (\chi_j - \chi_i) - \\ & \left. - \frac{J_{ke}}{\Delta_e} \cdot [x_i \gamma_j - x_j \gamma_i + (\gamma_i - \gamma_j) \cdot x + (\chi_j - \chi_i) \cdot y] \right\} dx dy. \end{aligned} \quad (2.52)$$

Se analizează relațiile (2.50) (2.51) și (2.52) din punctul de vedere al conținutului în  $x$  și  $y$ . Se constată că toate trei expresiile au același tip de exprimare. Se consideră numai relația (2.50). Se notează prescurtat prima și a doua paranteză mare din expresia de sub semnul integrală cu  $P$ , respectiv  $Q$ ; în a treia paranteză mare se notează coeficientul lui  $x$  cu  $p_i$ , coeficientul lui  $y$  cu  $q_i$  și termenul liber cu  $x_i$ . Expresia (2.50) devine

$$\begin{aligned} \frac{\partial F[A]^e}{\partial A_i} = & \frac{1}{\mu_e \Delta_e^2} \cdot [P(\gamma_i - \gamma_j) + Q(\chi_j - \chi_i)] \cdot \iint_e dx dy - \\ & - \frac{J_{ke}}{\Delta_e} \cdot x_i \cdot \iint_e dx dy - \frac{J_{ke}}{\Delta_e} \cdot p_i \cdot \iint_e x dx dy - \\ & - \frac{J_{ke}}{\Delta_e} \cdot q_i \cdot \iint_e y dx dy. \end{aligned} \quad (2.53)$$

Elementul finit  $e$ , pe suprafața căruia se calculează dubla integrală, este un triunghi. Conform [44], rezultă

$$\iint_e dx dy = \frac{\Delta_e}{2} \quad (2.54)$$

$$\frac{1}{\Delta_e} \cdot \iint_e x dx dy = \frac{\iint_e x dx dy}{2 \iint_e dx dy} = \frac{1}{2} \cdot x_0 \quad (2.55)$$

$$\frac{1}{\Delta_e} \cdot \iint_e y dx dy = \frac{\iint_e y dx dy}{2 \iint_e dx dy} = \frac{1}{2} \cdot y_0 \quad (2.56)$$

unde prin  $x_0$  și  $y_0$  s-au notat coordonatele centrului de greutate al triunghiului.

Din geometria analitică, coordonatele centrului de greutate, în funcție de coordonatele nodurilor ce definesc triunghiul, se calculează cu relațiile :

$$\begin{aligned} x_0 &= (x_i + x_j + x_k) / 3 \\ y_0 &= (y_i + y_j + y_k) / 3. \end{aligned} \quad (2.57)$$

Tinând cont de relațiile (2.54) - (2.56), derivata parțială (2.53) devine :

$$\begin{aligned} \frac{\partial F[A]^e}{\partial A_i} &= \frac{1}{2 \cdot \mu_e \cdot \Delta_e} \cdot [P(y_i - y_j) + Q(x_j - x_i)] - \\ &- J_{ke} (x_i + p_i x_0 + q_i y_0) / 2. \end{aligned} \quad (2.58)$$

Termenul al doilea al diferențialei parțiale nu conține valoare nodală a potențialului magnetic și se notează cu  $TL_1$  = termen liber al derivatei parțiale a funcționalei în raport cu  $N_1$ . Înlocuind  $x_0$  și  $y_0$  cu exprimările din relația (2.57) și ținând cont de (2.47) se obține :

$$\begin{aligned} TL_{ei} &= - \frac{J_{ke}}{2} \cdot [x_j y_k - x_k y_j + \frac{1}{3} (x_i + x_j + x_k) \cdot (y_j - y_k) + \\ &+ \frac{1}{3} (y_i + y_j + y_k) \cdot (x_k - x_j)] = - \frac{1}{6} \cdot J_{ke} \cdot \Delta_e \end{aligned}$$

Utilizând înlocuirile  $r_j$ ,  $p_j$ ,  $q_j$  și  $r_k$ ,  $p_k$ ,  $q_k$  în ultimele paranteze mari din derivatele parțiale (2.51) și respectiv (2.52), se obține :

$$\begin{aligned} \cdot TL_{ej} &= -\frac{J_{\lambda e}}{2} \cdot (\gamma_j + p_j \cdot x_0 + q_j \gamma_0) = -\frac{J_{\lambda e}}{2} \left[ x_k \gamma_i - x_i \gamma_k + \right. \\ &\quad \left. + \frac{1}{3} (x_i + x_j + x_k) \cdot (\gamma_k - \gamma_i) + \frac{1}{3} (\gamma_i + \gamma_j + \gamma_k) \cdot (x_i - x_k) \right] = \\ &= -\frac{1}{6} \cdot J_{\lambda e} \cdot \Delta_e. \end{aligned}$$

$$\begin{aligned} \cdot TL_{ek} &= -\frac{J_{\lambda e}}{2} \cdot (\gamma_k + p_k \cdot x_0 + q_k \gamma_0) = -\frac{J_{\lambda e}}{2} \left[ x_i \gamma_j - x_j \gamma_i + \right. \\ &\quad \left. + \frac{1}{3} (x_i + x_j + x_k) \cdot (\gamma_i - \gamma_j) + \frac{1}{3} (\gamma_i + \gamma_j + \gamma_k) \cdot (x_j - x_i) \right] = \\ &= -\frac{1}{6} \cdot J_{\lambda e} \cdot \Delta_e. \end{aligned}$$

Rezultă că

$$TL_{ej} = TL_{ej} = TL_{ek} = TL_e = -\frac{1}{6} \cdot J_{\lambda e} \cdot \Delta_e \quad (2.59)$$

Tinând cont de relațiile (2.54) și (2.59), cele 3 ecuații ale sistemului, care, odată rezolvat, definește valorile nodale ale potențialului magnetic, sînt :

$$\begin{aligned} \frac{\partial F[A]^e}{\partial A_i} &= \frac{1}{2 \mu_e \Delta_e} \cdot \left[ (\gamma_j - \gamma_k) \cdot A_i + (\gamma_k - \gamma_i) \cdot A_j + (\gamma_i - \gamma_j) \cdot A_k \right] \cdot (\gamma_j - \gamma_k) + \\ &\quad + \frac{1}{2 \mu_e \Delta_e} \cdot \left[ (x_k - x_j) \cdot A_i + (x_i - x_k) \cdot A_j + (x_j - x_i) \cdot A_k \right] \cdot (x_k - x_j) - \\ &\quad - \frac{1}{6} \cdot J_{\lambda e} \cdot \Delta_e = 0 \end{aligned} \quad (2.60)$$

$$\begin{aligned} \frac{\partial F[A]^e}{\partial A_j} &= \frac{1}{2 \mu_e \Delta_e} \cdot \left[ (\gamma_j - \gamma_k) \cdot A_i + (\gamma_k - \gamma_i) \cdot A_j + (\gamma_i - \gamma_j) \cdot A_k \right] \cdot (\gamma_k - \gamma_i) + \\ &\quad + \frac{1}{2 \mu_e \Delta_e} \cdot \left[ (x_k - x_j) \cdot A_i + (x_i - x_k) \cdot A_j + (x_j - x_i) \cdot A_k \right] \cdot (x_i - x_k) - \\ &\quad - \frac{1}{6} \cdot J_{\lambda e} \cdot \Delta_e = 0 \end{aligned} \quad (2.61)$$

$$\begin{aligned} \frac{\partial F[A]^e}{\partial A_k} &= \frac{1}{2 \mu_e \Delta_e} \cdot \left[ (\gamma_j - \gamma_k) \cdot A_i + (\gamma_k - \gamma_i) \cdot A_j + (\gamma_i - \gamma_j) \cdot A_k \right] \cdot (\gamma_i - \gamma_j) + \\ &\quad + \frac{1}{2 \mu_e \Delta_e} \cdot \left[ (x_k - x_j) \cdot A_i + (x_i - x_k) \cdot A_j + (x_j - x_i) \cdot A_k \right] \cdot (x_j - x_i) - \\ &\quad - \frac{1}{6} \cdot J_{\lambda e} \cdot \Delta_e = 0 \end{aligned} \quad (2.62)$$

Se fac următoarele notații:

$$M_{i,i}^e = \frac{1}{2 \cdot \mu_e \cdot \Delta_e} \left[ (\gamma_j - \gamma_k)^2 + (x_k - x_j)^2 \right] \quad (2.63)$$

$$M_{i,j}^e = \frac{1}{2 \cdot \mu_e \cdot \Delta_e} \left[ (\gamma_k - \gamma_i) \cdot (\gamma_j - \gamma_k) + (x_i - x_k) \cdot (x_k - x_j) \right] \quad (2.64)$$

$$M_{i,k}^e = \frac{1}{2 \mu_e \Delta_e} \left[ (\gamma_i - \gamma_j) \cdot (\gamma_j - \gamma_k) + (x_j - x_i) \cdot (x_k - x_j) \right] \quad (2.65)$$

$$M_{j,i}^e = \frac{1}{2 \mu_e \Delta_e} \left[ (\gamma_j - \gamma_k) \cdot (\gamma_k - \gamma_i) + (x_k - x_j) \cdot (x_i - x_k) \right] \quad (2.66)$$

$$M_{j,j}^e = \frac{1}{2 \mu_e \Delta_e} \left[ (\gamma_k - \gamma_i)^2 + (x_i - x_k)^2 \right] \quad (2.67)$$

$$M_{j,k}^e = \frac{1}{2 \mu_e \Delta_e} \left[ (\gamma_i - \gamma_j) \cdot (\gamma_k - \gamma_i) + (x_j - x_i) \cdot (x_i - x_k) \right] \quad (2.68)$$

$$M_{k,i}^e = \frac{1}{2 \mu_e \Delta_e} \left[ (\gamma_j - \gamma_k) \cdot (\gamma_i - \gamma_j) + (x_k - x_j) \cdot (x_j - x_i) \right] \quad (2.69)$$

$$M_{k,j}^e = \frac{1}{2 \mu_e \Delta_e} \left[ (\gamma_k - \gamma_i) \cdot (\gamma_i - \gamma_j) + (x_i - x_k) \cdot (x_j - x_i) \right] \quad (2.70)$$

$$M_{k,k}^e = \frac{1}{2 \mu_e \Delta_e} \left[ (\gamma_i - \gamma_j)^2 + (x_j - x_i)^2 \right] \quad (2.71)$$

Cu aceste notații, sistemul celor trei derivate parțiale anulate (2.60), (2.61) și (2.62) - se poate scrie explicit sub forma

$$\frac{\partial F[A]^e}{\partial [A]^e} = \begin{bmatrix} M_{i,i}^e & M_{i,j}^e & M_{i,k}^e \\ M_{j,i}^e & M_{j,j}^e & M_{j,k}^e \\ M_{k,i}^e & M_{k,j}^e & M_{k,k}^e \end{bmatrix} \times \begin{bmatrix} A_i \\ A_j \\ A_k \end{bmatrix} - \begin{bmatrix} \frac{1}{6} \cdot J_{ke} \cdot \Delta_e \\ \frac{1}{6} \cdot J_{ke} \cdot \Delta_e \\ \frac{1}{6} \cdot J_{ke} \cdot \Delta_e \end{bmatrix} = 0 \quad (2.72)$$

și concentrat, prin relația indexată (2.73)

$$[M]^e \cdot [A]^e - [TL]^e = 0 \quad (2.73)$$

Se analizează grupurile de relații: (2.64) cu (2.66); (2.65) cu (2.69); (2.63) cu (2.70). Rezultă :

$$M_{j,i}^e = M_{i,j}^e ; M_{k,i}^e = M_{i,k}^e ; M_{k,j}^e = M_{j,k}^e \quad (2.74)$$

Se studiază sumele : (2.63)+(2.64)+(2.65); (2.66)+(2.67)+(2.68); (2.69)+(2.70)+(2.71). Rezultă :

$$\begin{aligned} M_{i,i}^e + M_{i,j}^e + M_{i,k}^e &= 0 \\ M_{j,i}^e + M_{j,j}^e + M_{j,k}^e &= 0 \\ M_{k,i}^e + M_{k,j}^e + M_{k,k}^e &= 0 \end{aligned} \quad (2.75)$$

Se reconsideră elementul triunghiular din fig.2.7

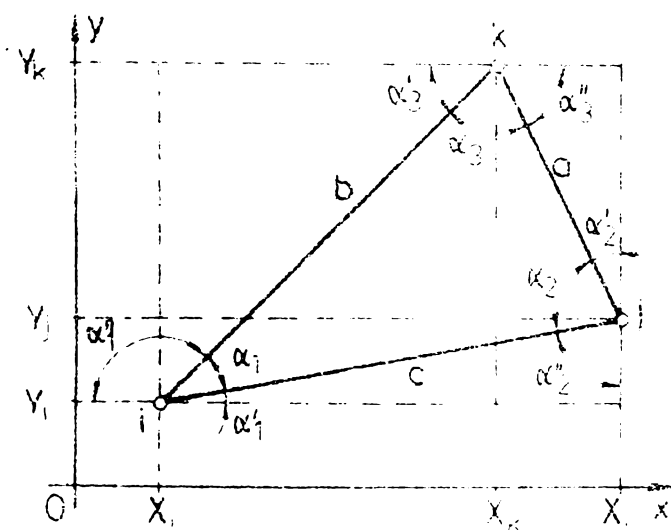


Fig.2.8. Referitor la semnele elementelor extradiagonale din matricea  $[M]^e$

Tinând cont de notațiile din fig.2.8, rezultă:

$$\begin{aligned} M_{i,j}^e &= \frac{1}{2\mu_e \Delta_e} \cdot [-ab \sin(\alpha_1 + \alpha_1') \sin \alpha_3'' + ab \cos(\alpha_1 + \alpha_1') \cos \alpha_3''] = \\ &= \frac{ab}{2\mu_e \Delta_e} \cdot \cos(\alpha_1 + \alpha_1' + \alpha_3'') = -\frac{ab}{2\mu_e \Delta_e} \cos \alpha_3 \quad (2.76) \end{aligned}$$

$$\begin{aligned} M_{i,k}^e &= \frac{1}{2\mu_e \Delta_e} [ac \sin \alpha_1' \sin \alpha_3'' - ac \cos \alpha_1' \cos \alpha_3''] = \\ &= -\frac{ac}{2\mu_e \Delta_e} \cdot \cos(\alpha_1' + \alpha_3'') = -\frac{ac}{2\mu_e \Delta_e} \cdot \cos \alpha_2 \quad (2.77) \end{aligned}$$

$$\begin{aligned} M_{j,k}^e &= \frac{1}{2\mu_e \Delta_e} \cdot [-bc \sin \alpha_1' \sin(\alpha_1 + \alpha_1') - bc \cos \alpha_1' \cos(\alpha_1 + \alpha_1')] = \\ &= -\frac{bc}{2\mu_e \Delta_e} \cdot \cos \alpha_1 \quad (2.78) \end{aligned}$$

Dacă discretizarea domeniului D cu elemente triunghiulare liniare se face, astfel încât, se respectă condițiile (2.79),

$$\alpha_1 < \frac{\pi}{2} ; \quad \alpha_2 < \frac{\pi}{2} ; \quad \alpha_3 < \frac{\pi}{2} . \quad (2.79)$$

rezultă  $M_{i,j}^e < 0 ; \quad M_{i,k}^e < 0 ; \quad M_{j,k}^e < 0$  (2.80)

Din analiza relațiilor (2.74), (2.75) și (2.80) rezultă următoarele proprietăți ale matricii  $[M]^e$  :

- P<sub>1</sub> - este o matrice simetrică ;
- P<sub>2</sub> - elementele extradiagonale sînt toate negative iar elementele diagonale - toate pozitive ;
- P<sub>3</sub> - pe orice linie orizontală sau verticală a matricii, suma elementelor este nulă.

## 2.6. ASAMBLAREA PROBLEMEI DE MINIM A FUNCȚIONALEI LA NIVELUL ÎNTREGULUI DOMENIU DE MODELARE A CÎMPULUI

### 2.6.1. Generarea elementelor matricii coeficienților și termenului liber

Asamblarea problemei de minim a funcționalei la nivelul întregului domeniu de modelare a câmpului, pornind de la minimizarea funcționalei la nivelul elementului, este posibilă datorită aplicabilității relației (2.26). Indexat, minimizarea la nivelul întregului domeniu se scrie sub forma :

$$\frac{\partial F[A]}{\partial [A]^D} = 0 ; \quad [M] \times [A] = [TL] . \quad (2.81)$$

Analizînd expresia (2.72) rezultă, la prima vedere, două variante de asamblare :

**varianta 1 :** asamblarea celor 3 derivate parțiale la nivelul elementului și baleierea asamblării, pe rețeaua de discretizare, în ordinea elementelor ;

**varianta 2 :** asamblarea derivatelor parțiale corespunzătoare tuturor elementelor vecine unui nod, în funcție de valoarea necunoscutei în acel nod, și baleierea asamblării în ordinea nodurilor.

Prima variantă, datorită proprietății P3 a matricii  $[M]$ , poate duce foarte ușor la soluție identic nulă; pentru evitarea, se iau măsuri de precauții care complică mult modul de generare a liniilor matricii  $[M]$  din (2.81).

Varianta a doua permite generarea coeficienților linie cu linie și va fi folosită mai departe. Pentru deducerea algoritmului de generare se consideră în fig.2.9 o porțiune din rețeaua de discretizare.

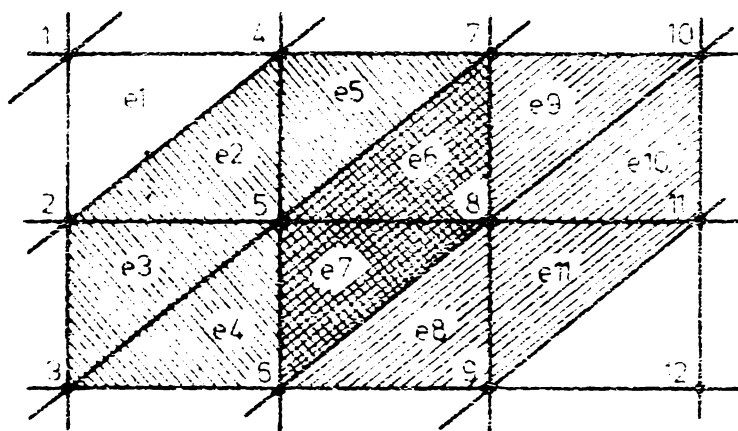


Fig.2.9. Contribuția elementelor vecine nodului  $N = 5$  la generarea liniei "n" a matricii  $[M]$

Se vede că, nodul  $n = 5$  este înconjurat de  $n_v = 6$  elemente vecine. Valoarea potențialului magnetic  $A_5$  va interveni în aproximarea funcției  $A(x,y)$  numai în aceste 6 elemente. Pentru restul  $n - n_v$  elemente ale discretizării funcționala este constantă în raport cu  $A_5$  și deci, contribuția sa la minimizarea funcționalei în aceste elemente este nulă.

$$\frac{\partial F[A]^{nx}}{\partial A_5} = 0 \quad nx \in (ne - n_v) \quad (2.82)$$

Notînd cu "nelve ( $n ; n_v$ )" tabloul elementelor vecine nodului "n" și cu  $p = 1, \dots, n_v$  ordinea acestor elemente în tablou, contribuția valorii nodale  $A_n$  la minimizarea funcționalei pe întreg domeniul poate fi scrisă sub forma:

$$\frac{\partial F[A]}{\partial A_n} = \sum_{p=1}^{n_v} \frac{\partial F[A]^p}{\partial A_n} \quad (2.83)$$

Relația (2.83) exprimă, în același timp, și principiul de generare a liniei  $n$  a matricii coeficienților de asamblu; ea simplifică considerabil procesul de asamblare deoarece,  $nv \ll ne$  și în practică,  $nv \leq 8$ .

Nodurile și elementele sînt numerotate. Deci, pentru fiecare din cele "nv" elemente trebuie afectată o valoare indicilor  $i, j, k$  în sens trigonometric pentru a putea repera coordonatele nodurilor în calculul expresiilor (2.63)-(2.71). Afectînd cîte o valoare pentru  $i, j, k$ , implicit se dă un loc coeficienților calculați în linia generată.

Rezultă deci asamblarea unui tabel "nnel ( $ne ; 3$ )" pentru stabilirea nodurilor ce definesc cele "ne" elemente ale rețelei de discretizare.

Pentru a nu utiliza tot complexul de relații (2.63)-(2.71), pentru fiecare din cele "nv" elemente, se reordonează nodurile de definire astfel încît  $i = n$  iar  $j$  și  $k$  sînt nodurile găsite prin parcurgerea laturilor elementului în sens trigonometric, cu punctul de plecare în  $i = n$ . Astfel, pentru elementul  $e_2$

$$i = n = 5 ; j = 4 ; k = 2.$$

Coeficienții  $M_{5,5}^2, M_{5,4}^2$  și  $M_{5,2}^2$  ocupă coloanele 5,4 respectiv 2 în linia  $n = 5$  a matricii totale. Ei se calculează cu relațiile (2.63), (2.64) și respectiv (2.65).

Generarea liniei  $n = 5$  din matricea  $[M]$ , pentru exemplul de rețea din fig.2.9, este indicat în TABELA 2.1. Conform relației (2.83) și reordonării nodurilor de definire ale elementelor astfel ca, totdeauna;  $n = i$ , rezultă

$$\begin{aligned} M_{5,1} \cdot A_1 + M_{5,2} \cdot A_2 + M_{5,3} \cdot A_3 + M_{5,4} \cdot A_4 + M_{5,5} \cdot A_5 + \\ + M_{5,6} \cdot A_6 + M_{5,7} \cdot A_7 + M_{5,8} \cdot A_8 + M_{5,9} \cdot A_9 + \\ + \dots + M_{5,nd} \cdot A_{nd} = TL_5 \end{aligned} \quad (2.84)$$

$$M_{5,1} = M_{5,9} = M_{5,10} = \dots = M_{5,nd} = 0$$

cu  $nd$  = numărul ultimului nod activ din rețea (nod activ = nod ce nu se găsește pe frontiera  $\Gamma$  cu  $A_{\Gamma} = 0$ ).

TABELA 21

GENERAREA ELEMENTELOR LINIEI 5

neve (5,6)	nnel (nv, 3)	col 1 A <sub>1</sub>	col 2 A <sub>2</sub>	col 3 A <sub>3</sub>	col 4 A <sub>4</sub>	col 5 A <sub>5</sub>	col 6 A <sub>6</sub>	col 7 A <sub>7</sub>	col 8 A <sub>8</sub>	col 9 A <sub>9</sub>	col 10 A <sub>10</sub>	col 11 A <sub>11</sub>	---	TERM LIBER TL
e2	5 4 2	0	M <sub>5,2</sub> <sup>e2</sup>	0	M <sub>5,4</sub> <sup>e2</sup>	M <sub>5,5</sub> <sup>e2</sup>	0	0	0	0	0	0	0	$\frac{1}{6} J_{ce2} \Delta e2$
e3	5 2 3	0	M <sub>5,2</sub> <sup>e3</sup>	M <sub>5,3</sub> <sup>e3</sup>	0	M <sub>5,5</sub> <sup>e3</sup>	0	0	0	0	0	0	0	$\frac{1}{6} J_{ce3} \Delta e3$
e4	5 3 6	0	0	M <sub>5,3</sub> <sup>e4</sup>	0	M <sub>5,5</sub> <sup>e4</sup>	M <sub>5,6</sub> <sup>e4</sup>	0	0	0	0	0	0	$\frac{1}{6} J_{ce4} \Delta e4$
e5	5 7 4	0	0	0	M <sub>5,4</sub> <sup>e5</sup>	M <sub>5,5</sub> <sup>e5</sup>	0	M <sub>5,7</sub> <sup>e5</sup>	0	0	0	0	0	$\frac{1}{6} J_{ce5} \Delta e5$
e6	5 8 7	0	0	0	0	M <sub>5,5</sub> <sup>e6</sup>	0	M <sub>5,7</sub> <sup>e6</sup>	M <sub>5,8</sub> <sup>e6</sup>	0	0	0	0	$\frac{1}{6} J_{ce6} \Delta e6$
e7	5 6 8	0	0	0	0	M <sub>5,5</sub> <sup>e7</sup>	M <sub>5,6</sub> <sup>e7</sup>	0	M <sub>5,8</sub> <sup>e7</sup>	0	0	0	0	$\frac{1}{6} J_{ce7} \Delta e7$
LINIA 5	5	M <sub>5,1</sub>	M <sub>5,2</sub>	M <sub>5,3</sub>	M <sub>5,4</sub>	M <sub>5,5</sub>	M <sub>5,6</sub>	M <sub>5,7</sub>	M <sub>5,8</sub>	M <sub>5,9</sub>	M <sub>5,10</sub>	M <sub>5,11</sub>		TL5

$$M_{5,2} = M_{5,2}^{e2} + M_{5,2}^{e3} = M_{i,k}^{e2} + M_{i,j}^{e3} \quad (2.85)$$

$$M_{5,3} = M_{5,3}^{e3} + M_{5,3}^{e4} = M_{i,k}^{e3} + M_{i,j}^{e4} \quad (2.86)$$

$$M_{5,4} = M_{5,4}^{e2} + M_{5,4}^{e5} = M_{i,j}^{e2} + M_{i,k}^{e5} \quad (2.87)$$

$$M_{5,5} = M_{5,5}^{e2} + M_{5,5}^{e3} + M_{5,5}^{e4} + M_{5,5}^{e5} + M_{5,5}^{e6} + M_{5,5}^{e7} =$$

$$= M_{i,i}^{e2} + M_{i,i}^{e3} + M_{i,i}^{e4} + M_{i,i}^{e5} + M_{i,i}^{e6} + M_{i,i}^{e7}$$

$$M_{5,6} = M_{5,6}^{e4} + M_{5,6}^{e7} = M_{i,k}^{e4} + M_{i,j}^{e7} \quad (2.88)$$

$$M_{5,7} = M_{5,7}^{e5} + M_{5,7}^{e6} = M_{i,j}^{e5} + M_{i,k}^{e6} \quad (2.89)$$

$$M_{5,7} = M_{5,7}^{e5} + M_{5,7}^{e6} = M_{i,j}^{e5} + M_{i,k}^{e6} \quad (2.90)$$

$$M_{5,8} = M_{5,8}^{e6} + M_{5,8}^{e7} = M_{i,j}^{e6} + M_{i,k}^{e7} \quad (2.91)$$

$$TL_5 = \frac{1}{6} \cdot J_{\lambda e2} \cdot \Delta_{e2} + \frac{1}{6} \cdot J_{\lambda e3} \cdot \Delta_{e3} + \frac{1}{6} \cdot J_{\lambda e4} \cdot \Delta_{e4} +$$

$$+ \frac{1}{6} \cdot J_{\lambda e5} \cdot \Delta_{e5} + \frac{1}{6} \cdot J_{\lambda e6} \cdot \Delta_{e6} + \frac{1}{6} \cdot J_{\lambda e7} \cdot \Delta_{e7}. \quad (2.92)$$

Coeficienții  $M_{i,i}^e$ ,  $M_{i,j}^e$ ,  $M_{i,k}^e$  se calculează cu relațiile (2.62), (2.63) și respectiv (2.64) pentru fiecare element vecin, după ce s-a făcut reordonarea nodurilor de definire astfel ca  $n = 1$ .

Analizând relațiile (2.85)-(2.92) și indicațiile metodice preconizate de relația (2.83) se pot stabili etapele ce trebuie parcurse pentru a genera liniile matricii  $[M]$  și elementele vectorului  $[TL]$ ; ele sînt :

a. - Fiecărui nod și element al rețelei concrete de discretizare  $i$  se atribuie un număr. Pentru fiecare din cele " $nE$ " noduri active se stabilesc elementele vecine. Modul  $n$   $nd$  este nod de definire al celor " $nV$ " elemente vecine. Rezultă tabloul " $n$ el $v$ e ( $nd, nV$ )" cu " $nd$ " linii și  $nV$  coloane.

b. - Pentru fiecare din cele " $nE$ " elemente se stabilesc nodurile de definire; ordinea lor corespunde sensului trigonometric de parcurgere a laturilor triunghiului. Rezultă tabloul " $n$ el ( $ne, 3$ )".

c. - Pentru un nod oarecare  $n$  ( $nd$  se stabilesc elementele vecine nodului "n" din tabloul "nelve ( $nd, nv$ )").

d. - Pentru fiecare element vecin nodului "n", cu ajutorul tabloului "nnel ( $ne, j$ )", se face reordonarea nodurilor de definire, astfel ca  $i = n$ .

e. - Se calculează coeficientul  $M_{i,i}^{nv}, M_{i,j}^{nv}, M_{ik}^{nv}$  pentru fiecare din cele  $nv$  elemente vecine cu relațiile (2.62), (2.63), (2.64)

f. - Se însușează toți coeficienții la care, al doilea indice coincide cu număr de nod. Rezultă, astfel, cei "nv" coeficienți nemuli din ecuația (2.84). Numărul nodului fixează și locul coeficientului respectiv în linia "n" a matricii  $[M]$ .

g. - Pentru fiecare din cele "nv" elemente vecine nodului "n", în funcție de densitatea de curent distribuită  $I_{ce}$  și dublul suprafeței elementului,  $A_e$ , se calculează cei "nv" termeni ai  $TL_n$ .

### 2.6.2. Proprietăți ale matricii coeficienților

Odată generate elementele matricii coeficienților și vectorului termen liber, prin parcurgerea de "nd" ori a etapelor c-g mai sus enunțate, sistemul de ecuații cu "nd" linii și "nd" necunoscute este complet. Alegerea metodei de rezolvare a sistemului depinde de proprietățile matricii coeficienților [64, 65, 66, 67]. Pornind de la modul concret de generare a elementelor matricii  $[M]$  se pot demonstra următoarele proprietăți.

#### PDI - Matricea $[M]$ este simetrică

Fie porțiunea de rețea discretizare din fig.2.9.6u hașuri diferite sînt redată elementele vecine nodurilor  $n = 5$  și  $n = 8$ , elemente care contribuiesc la generarea liniilor 5 și 9 din matricea coeficienților (raționamentul următor este valabil pentru orice două noduri unite direct printr-un singur segment - linie de separare între două elemente). Dacă se poate demonstra că

$$M_{5,8} = M_{8,5} \quad (2.93)$$

matricea  $[M]$  este simetrică, Valabilitatea relației (2.93) ar demonstra și că contribuția elementelor e5 și e6 - cu ha-

șură în carouri - este aceeași la generarea ambelor linii.  
Conform relațiilor (2.91), (2.63), (2.64) și (2.65)  
rezultă:

pentru  $i = 5$

$$\begin{aligned} M_{5,8} &= M_{5,8}^{e6} + M_{5,8}^{e7} = M_{i,j}^{e6} + M_{i,k}^{e7} = \\ &= \frac{1}{2 \cdot \mu_{e6} \cdot \Delta_{e6}} \left[ (\gamma_7 - \gamma_5) \cdot (\gamma_8 - \gamma_7) + (x_5 - x_7) \cdot (x_7 - x_8) \right] + \quad (2.94) \\ &+ \frac{1}{2 \mu_{e7} \cdot \Delta_{e7}} \left[ (\gamma_5 - \gamma_6) \cdot (\gamma_6 - \gamma_8) + (x_6 - x_5) \cdot (x_8 - x_6) \right] \end{aligned}$$

pentru  $i = 8$

$$\begin{aligned} M_{8,5} &= M_{8,5}^{e7} + M_{8,5}^{e8} = M_{i,k}^{e7} + M_{i,j}^{e8} = \\ &= \frac{1}{2 \mu_{e6} \cdot \Delta_{e6}} \left[ (\gamma_8 - \gamma_7) \cdot (\gamma_7 - \gamma_5) + (x_7 - x_8) \cdot (x_5 - x_7) \right] + \quad (2.95) \\ &+ \frac{1}{2 \mu_{e7} \cdot \Delta_{e7}} \left[ (\gamma_6 - \gamma_8) \cdot (\gamma_5 - \gamma_6) + (x_8 - x_6) \cdot (x_6 - x_5) \right] \end{aligned}$$

Se observă clar că expresiile din relațiile (2.94) și (2.95) sînt egale. Deci, relația (2.93) este realizabilă.

**PD2.- Pentru orice linie a matricii M suma coeficienților este nulă. Coeficienții diagonali sînt pozitivi iar cei extradiagonali- negativi**

Deoarece, prin tabela 2.1 și relațiile (2.85)-(2.91) sînt deja generate coeficienții liniei 5, pentru rețeaua din fig.2.9, se va demonstra proprietatea pentru această linie.

$$\begin{aligned} \sum_{p=2}^8 M_{5,p} &= M_{5,2} + M_{5,3} + M_{5,4} + M_{5,5} + M_{5,6} + M_{5,7} + M_{5,8} = \\ &= (M_{i,i}^{e2} + M_{i,j}^{e2} + M_{i,k}^{e2}) + (M_{i,i}^{e3} + M_{i,j}^{e3} + M_{i,k}^{e3}) + \\ &+ (M_{i,i}^{e4} + M_{i,j}^{e4} + M_{i,k}^{e4}) + (M_{i,i}^{e5} + M_{i,j}^{e5} + M_{i,k}^{e5}) + \\ &+ (M_{i,i}^{e6} + M_{i,j}^{e6} + M_{i,k}^{e6}) + (M_{i,i}^{e7} + M_{i,j}^{e7} + M_{i,k}^{e7}). \end{aligned}$$

Tinând cont de proprietatea nr.3 a matricii coeficienților  $[M]^6$  la nivelul elementului oarecare, vezi paragraful 2.5, rezultă

$$\sum_{p=2}^6 M_{5,p} = 0 \quad (2.96)$$

Se notează cu "n" un nod oarecare,  $n \in nd$ . Pe baza tabloului "nelve (n, nv)" se stabilesc elementele vecine nodului "n" și deci, elementele care contribuie la generarea liniei "n" din matricea  $[M]$ . Cu tabloul de date "nnel (ne, 3)" se stabilesc nodurile ce definesc cele "nv" elemente vecine. Fie "nnev (nv)" tabloul nodurilor ce definesc elementele vecine, exclusiv nodul comun "n" ; cu  $p = 1 \dots nv$  se notează ordinea numerelor afectate noilor "nv" noduri în rețeaua de discretizare. Proprietatea nr.2, în cazul liniei oarecare "n" a matricii  $[M]$ , se poate scrie

$$M_{n,n} + \sum_{p=1}^{nv} M_{n,p} = 0 \quad (2.97)$$

Din relația (2.88) se observă că  $M_{n,n}$  reprezintă suma coeficienților de tip  $M_{i,i}$  calculați la nivelul fiecărui element vecin, cu ordinea nodurilor de definire aranjată astfel ca  $i = n$ . Conform relației (2.63), toți coeficienții de tip  $M_{i,i}$  sînt pozitivi. Deci, coeficienții  $M_{n,n}$ , poziționați în diagonala principală a matricii  $[M]$  și denumiți coeficienți diagonali, sînt pozitivi.

$$M_{n,n} > 0$$

Conform relațiilor (2.85) - (2.91), exclusiv (2.88), elementele extradiagonale  $M_{n,p}$ , pentru orice linie  $n \in nd$ , sînt constituite din sume de coeficienți  $M_{i,j} + M_{i,k}$  la nivelul elementelor vecine nodului "n". Proprietatea nr.2 a matricii la nivelul elementului oarecare, arată că coeficienții de acest tip sînt negativi. Se poate trage concluzia că toți coeficienții extradiagonali din matricea  $[M]$ , sînt negativi.

$$M_{n,p} < 0 \quad (2.98)$$

$$|M_{n,n}| = \sum_{p=1}^{nv} |M_{n,p}| \quad (2.99)$$

Relația (2.99) permite enunțarea proprietății PD3.

PD3 - Matricea [M] este pozitiv definită; coeficientul diagonal este net superior modului oricărui coeficient extradiagonal de pe aceeași linie.

PD4. - Matricea [M] este prost condiționată

Pentru un nod înconjurat de elemente vecine în aer permeabilitatea magnetică este  $\mu_0$ ; pentru un nod înconjurat de elemente în fier permeabilitatea magnetică este  $\mu_0 \cdot \mu_r$ . Pentru o triangulizare ce dă aproximativ aceleași dimensiuni elementelor din aer și din fier rezultă

$$\frac{(M_{i,i})_{aer}}{(M_{i,i})_{fier}} = \mu_r \approx 1000 \quad (2.100)$$

Relația de mai sus ne obligă să constatăm că matricea [M] este prost condiționată datorită variației brutale a proprietății magnetice de la un element la altul.

PD5. - Matricea [M] este tip bandă cu lățimea LB'

Din fig.2.9 și TABELA 2.1 se observă că, în linia 5 și în orice linie "n" a matricii, există numai "nv" coeficienți nenuli. Unul din aceștia,  $M_{n,n}$ , este coeficient diagonal iar ceilalți, coeficienți extradiagonali. La o numerotare potrivită a nodurilor rețelei de discretizare, cei "nv" coeficienți nenuli ocupă o zonă de coloane, de o parte și de alta a coeficienților diagonali; în afara acestei zone, toți coeficienții matricii sînt nuli. Numărul de coloane din această zonă formează lățimea de bandă.

Nodurile rețelei se separă în două grupe :

- grupa nodurilor active  $n \in nd$  cu  $nd < np$ .
- grupa nodurilor de pe frontiera cu  $A_r = 0$ ,  $n \in (nfr = np - nd)$ .

Numerotarea nodurilor rețelei se face după următoarele principii [68]:

- a. - se numerotează în ordine succesivă, începînd cu cifra 1, nodurile active și numai după aceea nodurile de frontieră cu  $A_r = 0$  ;

- b. - nodurile active se numerotează prin baleierea configurației fără a interveni într-o zonă în care s-a făcut deja numerotarea ;
- c. - numerotarea nodurilor nu ține cont de variația proprietăților de material de-a lungul direcției de baleiaj ;
- d. - direcția de baleiaj a numerotării se alege astfel încât, în același sens, să se traverseze domeniul D întâlnind un număr minim de noduri.

Comparația diverselor numerotări de noduri în rețea se face, în ultimă instanță, numai în funcție de lățimea de bandă rezultată. Această lățime se apreciază pornind de la poligonul de noduri format în jurul unui nod, care are "n" de elemente vecine lui. Se caută diferența maximă între numerele de ordine a două vîrfuri, se adaugă unu și se obține  $LB'$ . La o numerotare potrivit făcută, banda  $LB'$  se situează simetric față de elementele diagonale.

IN CONCLUZIE, matricea  $[M]$  este o matrice bandă, simetrică, pozitiv definită, și cu banda poziționată simetric în jurul elementelor diagonale. Pentru economie de memorie calculator, se stochează numai coeficienții semibenzii superioare  $LB$ , rezultînd  $ndxLB$  variabile. Lățimea  $LB$  a semibenzii se definește ca diferența maximă între numerele de ordine ale nodului central "n" și vîrfurilor poligonului format de elementele lui vecine, la care se adaugă unitatea. Metodele de rezolvare ale sistemului (2.81) trebuie astfel alese, încît, să fie capabile a folosi numai semibanda superioară a matricii  $[M]$ .

### 2.6.3. Rezolvarea sistemelor mari de ecuații algebrice liniare

Discretizarea domeniului de model cîmp neomogen conduce, chiar la discretizări grosiere, la un număr mai mare de 100 ecuații. Pentru rezolvarea unor asemenea sisteme nu se pot utiliza decît metode numerice [62, 63, 64, 65]. Pentru rezolvarea unor sisteme de tipul (2.81), cu  $[A]$  ca vec-

tor al variabilelor necunoscute, se cunosc două tipuri de metode :

A. - METODE DIRECTE. Sînt metode bazate pe procesul de eliminare sau de descompunere a matricii  $M$ . In ambele cazuri sistemul inițial trece prin diverse forme, dar toate aceste forme trebuie să fie echivalente cu forma inițială. Au avantajul că necesită un număr fix de operații elementare pentru un număr de ecuații dat și au dezavantajul că acumulează erori de rotunjire în timpul operațiilor elementare. Dacă coeficienții din diagonala principală sînt maximali, eroarea de rotunjire este minimă. Se cunosc următoarele metode directe

- metoda de eliminare a lui Gauss,
- metoda Gauss-Jordan
- metoda Cholesky (metoda rădăcinii patratice)

Metoda de eliminare a lui Gauss este o metodă rapidă. Prezintă dezavantajul unui program ceva mai complex, deoarece, pe lîngă operațiile de eliminare necesită și operațiile de substituție inversă. Metoda Gauss-Jordan este mai lentă decît celelalte metode, dar, programarea este mult mai simplă, deoarece nu implică substituția inversă.

Metoda lui Cholesky, aplicabilă la matrici simetrice tip bandă, este o metodă mai precisă decît metoda eliminării lui Gauss. Prin descompunerea într-un produs de două matrici triunghiulare, numărul de operații elementare și deci și erorile de rotunjire, se micșorează. Prezintă dezavantajul unei locații de memorie suplimentară, alocare ce poate forța scoaterea programului total din liniaritate și deci, mărirea timpului de lucru.

B. METODE ITERATIVE. Acestea permit găsirea soluției printr-un proces de aproximări succesive. O aceeași secvență de operații, mai redusă ca la metodele directe, este repetată de mai multe ori, obținîndu-se o soluție din ce în ce mai bună în sensul preciziei (convergența procesului itera-

tiv spre soluția exactă). Cumularea erorilor de rotunjire și viteza de convergență condiționează limita erorii cu care se poate obține soluția definitivă. Metodele iterative pot da rezultate bune în cazul matricilor simetrice pozitiv definite pînă la ranguri de  $N = 2000-3000$ . Se cunosc următoarele metode iterative :

- metode bazate pe relaxare și suprar relaxare
- metoda Gauss-Seidel,
- metoda Gauss-Seidel extrapolată,
- metoda pantei maxime,
- metoda gradientului,
- metoda Stiefel-Meatens, etc.

Pentru a putea alege una din metodele directe sau iterative este necesară cunoașterea detaliată a acestor metode și analiza eficienței lor la matricea cu proprietățile enunțate în paragraful precedent. Studiul acestor metode, expuse detaliat în [62, 63, 64, 65] cu limitările lor, a condus la următoarele concluzii :

- Dacă discretizarea domeniului de câmp și numerotarea nodurilor în rețea urmărește o lățime de bandă minimă a matricii  $[M]$ , situațiile în care unghiurile  $\alpha_1, \alpha_2, \alpha_3$  din fig.2.8 nu satisfac condiția (2.79) sînt inevitabile. Rezultă că matricea  $[M]$  nu este totdeauna pozitiv definită iar relația (2.97) arată că matricea  $[M]$  nu este de diagonală dominantă. În aceste condiții, convergența procesului iterativ (la metodele iterative de rezolvare a sistemului) este foarte slabă și poate fi chiar total compromisă.

- Folosind semibanda superioară a matricii  $[M]$  rezultă o matrice echivalentă cu "nd" linii și LB coloane. Aceasta are coeficienții din prima coloană pozitivi și superiori valoric celorlalți coeficienți de pe aceeași linie. Deci, numărul de operații elementare, în cadrul eliminării (la metodele directe de rezolvare a sistemului), este mic iar operațiile de tranchiere sînt minime.

Pe baza concluziilor de mai sus, pentru rezolvarea sistemului de ecuații (2.31) se folosesc metodele directe și

anume; metoda de eliminare a lui Gauss și metoda lui Cholesky.

### METODA DE ELIMINARE A LUI GAUSS

Prin tehnica de eliminare Gauss rangul matricii [M] este redus succesiv pînă la rangul 1, cînd ultima necunoscută a vectorului [A] poate fi calculată direct. Printr-un proces de substituție inversă se obțin toate necunoscutele vectorului [A] începînd de la penultima necunoscută pînă la prima. Principiul este expus direct pentru matricea echivalentă cu "nd" linii și "LB" coloane [44, 64, 65]

Matricea echivalentă [EQ] și vectorii [A], [TL] se pun sub forma :

$$\begin{array}{|c|c|} \hline EQ_{11} & EQ_{12} \\ \hline EQ_{21} & EQ_{22} \\ \hline \end{array} \times \begin{array}{|c|} \hline A_1 \\ \hline A_2 \\ \hline \end{array} = \begin{array}{|c|} \hline TL_1 \\ \hline TL_2 \\ \hline \end{array} \quad (2.101)$$

unde:  $EQ_{11} \cdot A_1, TL_1$  = matricei de rangul 1 x 1  
 $EQ_{12}$  = matrice linie 1 x (LB - 1)  
 $EQ_{21} \cdot A_2, TL_2$  = matrice coloană (nd-1) x 1  
 $EQ_{22}$  = matricea cu (nd-1) x (LB-1)

Procesul de eliminare permite reducerea rangului matricii echivalente și a sistemului la un sistem cu n-1 ecuații și n-1 necunoscute

$$EQ' \times A = TL' \quad (2.102)$$

$$EQ' = EQ_{22} - EQ_{21} \times EQ_{11}^{-1} \times EQ_{12} \quad (2.103)$$

$$TL' = TL_2 - EQ_{21} \times EQ_{11}^{-1} \times TL_1 \quad (2.104)$$

Descompunînd matricea EQ sub forma (2.101) și eliminînd  $EQ_{11}$  prin relațiile (2.102), (2.103) și (2.104), se ajunge în final la o matrice  $EQ^*$  de rangul 1 x 1 ; ultima necunoscută neeliminată este

$$A_{nd} = EQ^{*-1} \times TL^* \quad (2.105)$$

Obținerea celorlalte necunoscute, începînd cu

cea de ordinul "nd-1" pînă la prima, se face prin substituții inverse de tipul:

$$A_1 = EQ_{11}^{-1} \times TL_1 - EQ_{11}^{-1} \times EQ_{12} \times A_2. \quad (2.106)$$

Operația fundamentală a procesului este triplul produs  $EQ_{21} \times EQ_{11}^{-1} \times EQ_{12}$ . Din fericire inversarea matricii  $EQ_{11}$  nu pune probleme, deoarece, este de rangul 1 x 1. Numărul de operații este proporțional cu  $(LB-1)^2$  pentru o eliminare și o substituție. Deci, numărul total de operații este aproximativ

$$N_{op.} \leq \frac{1}{2} \cdot nd \cdot LB^2. \quad (2.107)$$

pentru o semibandă cu toți coeficienții nenuli. Dacă semibanda, de lățime LB, are numai LDZ coeficienți diferiți de zero, în cazul celei mai dezavantajoase repartiții a acestor elemente, numărul de operații este

$$N_{op} = nd \cdot [2LDZ + (LDZ-2)(2LB-LDZ)] \quad (2.108)$$

În tot raționamentul de pînă acum s-a presupus că  $EQ_{11} \neq 0$ . Presupunerea este conformă cu realitatea, deoarece, coeficientul  $EQ_{11} = M_{11}$ , este coeficient diagonal, totdeauna diferit de zero. Deci, nu este necesară intervertirea liniilor pentru căutarea pivotului principal nenul și programul devine simplu și rapid. Rămîne de văzut care este numărul maxim de ecuații ce pot fi tratate fără a introduce erori de calcul însemnate. În [67] se arată că, lucrînd în precizie simplă (4 octeți/ouvînt), pentru o matrice patrată plină  $nd \times nd$ ,  $nd = 100$  apare ea limită pentru garantarea corectitudinii soluției. Deci, numărul limită de operațiuni este

$$\frac{1}{6} \cdot nd^3 = 166\ 666 \quad \text{operații} \quad (2.109)$$

Dacă matricea este tip bandă, cu lățimea semibenziilor LB, conform relației (2.107) rezultă

$$nd_{lim} = 320 \quad \text{ecuații pentru } LB = nd/10 \quad (2.110)$$

În interiorul semibenziilor LB sînt foarte multe găuri, deoarece numai "nv" coeficienți sînt nenuli. Din practică, numărul maxim de elemente vecine este  $nv \leq 10$  [60, 61]. Realiz-

zînd discretizarea astfel ca  $nv = 6$  se obține un optim pentru generarea coeficienților matricii  $M$  cu maximum de probabilități pentru satisfacerea tuturor proprietăților din paragraful 2.6.2. Poziția cea mai defavorabilă în semibanda LB este atunci cînd 4 coeficienți sînt la marginea benzii. În condițiile

$$LB = nd/20 \tag{2.111}$$

$$LDZ = 6$$

se ajunge la  $nd_{\max} = 660$  ecuații.

Menționez că toate relațiile și considerentele pentru matricea bandă simetrică - (2.107), (2.108), (2.110), (2.111) - sînt verificate prin exemple de programe. Relația (2.108) dă un număr de operații pentru cazul cel mai dezavantajos, cînd 4 coeficienți nenuli ocupă zona marginală LB. Urmărind LB minim prin numerotarea corespunzătoare a nodurilor, cazul cel mai dezavantajos de repartiție a coeficienților în bandă nu apare niciodată.

#### METODA LUI CHOLESKY

Metoda lui Cholesky, denumită și metoda rădăcinii patrate, este o metodă exactă de rezolvare a sistemelor de ecuații algebrice cu matricea coeficienților simetrică și pozitiv definită. Matricea  $M$  a sistemului (2.81) îndeplinește aceste condiții. Ea se echivalează cu produsul a două matrici, una inferior și cealaltă superior triunghiulară.

$$M = T \times T^T \tag{2.112}$$

cu  $T$  = matrice inferior triunghiulară și  $T^T$  = transpusa sa.

Notînd cu "i" linia curentă din matricea  $T$  și cu "j" coloana curentă din matricea  $T^T$ , rezultă ecuațiile generale.

$$t_{i,1} \times t_{j,1} + t_{i,2} \times t_{j,2} + \dots + t_{i,i} \times t_{j,i} = a_{i,j} \text{ pt. } i < j$$
$$t_{i,1}^2 + t_{i,2}^2 + \dots + t_{i,i-1}^2 + t_{i,i}^2 = a_{i,i} \text{ pt. } i > 1 \tag{2.113}$$

$$\tag{2.114}$$

Elementele matricii  $T$  se pot calcula cu relațiile

$$t_{i,1} = a_{i,1} \tag{2.115}$$

$$t_{i,j} = a_{i,j} / a_{i,i} \text{ pt. } \begin{matrix} i = 2, 3, \dots, nd \\ j = 2, 3, \dots, LB. \end{matrix}$$

$$t_{i,i} = \sqrt{\sigma_{i,i} - \sum_{k=1}^{i-1} t_{i,k}^2} \quad \text{pt. } i > 1 \quad (2.116)$$

$$t_{j,i} = \frac{1}{t_{i,i}} \cdot \left( \sigma_{i,j} - \sum_{k=1}^{i-1} t_{i,k} \cdot t_{j,k} \right) \quad \text{pt. } j > i \quad (2.117)$$

**Sistemul (2.81) scris sub forma  $M \cdot A = TL$  se descompune în două sisteme**

$$T \times A = Y \quad \text{și} \quad T^T \times Y = TL \quad (2.118)$$

Din al doilea sistem se determină  $y_{nd}, y_{nd-1}, \dots, y_2, y_1$ , cu ajutorul relațiilor

$$y_{nd} = TL_{nd} / t_{nd,nd} \quad (2.119)$$

$$y_i = \frac{1}{t_{i,i}} \cdot \left( TL_i - \sum_{k=i+1}^{nd} t_{k,i} \cdot y_k \right)$$

pentru  $i = nd-1, nd-2, \dots, 1$

iar din primul sistem se determină necunoscutele  $A_i, i=1 \dots nd$  prin intermediul relațiilor

$$A_1 = \frac{y_1}{t_{1,1}} \quad (2.120)$$

$$A_i = \frac{1}{t_{i,i}} \cdot \left( y_i - \sum_{k=1}^{nd} t_{i,k} \cdot A_k \right)$$

pentru  $i = 2, 3, \dots, nd$

Datorită caracterului de matrice bandă, numărul de operații elementare este mic, chiar mai mic decât la metoda de eliminare a lui Gauss. Eroarea de determinare a lui  $A$  nu depășește o singură eroare de rotunjire dacă produsele scalare sînt acumulate corect [65]. Literatura de specialitate nu face referiri la numărul limită de ecuații tratate pentru o anumită eroare de rezolvare; spune numai că erorile sînt mai mici ca la metoda de eliminare a lui Gauss.

Pentru aprecierea corectă a rezolvării se impune o soluție cunoscută sistemului, se calculează eroarea prin raportul procentual

$$\sigma_{rs} = \frac{(\text{soluția cunoscută}) - (\text{soluția numerică})}{\text{soluția cunoscută}} \cdot 100$$

Soluția cunoscută convenabilă este  $A_i = 1, i = 1, 2, \dots, nd$ . Ea se obține dacă termenul liber corespunzător liniei  $i$

este egal cu suma coeficienților matricii  $M$  pe acea linie. Deci, rezolvând sistemul

$$[M] \times [A] = [ETL] \quad (2.121)$$

cu  $\sum$

rezultă  $A_i = 1$  cu  $i = 1, 2, \dots, nd$ .

Pentru aprecierea erorii de rezolvare a sistemului,  $\delta_{rs}$ , este necesar ca :

- Algoritmul de generare a coeficienților matricii  $M$  și a termenului liber din problema de câmp să fie completat cu generarea termenului liber ETL conform relației (2.121).
- Algoritmul de rezolvare a sistemului (2.81) trebuie astfel conceput încât să rezolve sistemul cu doi termeni liberi concomitent. Se obțin două soluții, una pentru problema de câmp și una pentru problema de precizie
- Programul principal de calcul numeric al câmpului să cuprindă și calculul erorii  $\delta_{rs}$ .

Este evident că, aprecierea erorii de rezolvare a sistemului necesită o alocare suplimentară de memorie calculator și de complicare a programului. Soluția finală a ultimului model de câmp trebuie, însă, să specifice clar erorile cumulate pentru mărimea de interes. În capitolul 3 se expun ordinogramele programelor rezultate; concepția acestora este originală și constituie contribuția autorului în rezolvarea oricăror probleme de câmp caracterizate prin ecuația lui Poisson.

## 2.7. DETERMINAREA FACTORULUI DE TRANSFORMARE AL SENSORULUI DE CURENT

Mediul optic - sticlă Jena SF<sub>6</sub> - este poziționat în întrefier astfel ca axa sa longitudinală să coincidă cu linia ce unește centrele tălpilor polare; punctele marginale A și B sînt simetrice față de axa de simetrie SS', fig.2.3, axă ce coincide cu direcția ox, a sistemului cartezian. Sensorul de curent are rolul de a genera diferența de potențial mag-

netic  $U_{mmAB} = f(I_p)$  pentru efectul magneto-optic longitudinal.

Factorul de transformare al sensorului de curent se definește prin raportul

$$k = \frac{U_{mm\gamma AB}}{I_p} \quad (2.122)$$

În cazul general, pentru un punct oarecare de pe axa mediului optic, vectorul intensitate câmp magnetic are două componente: una paralelă cu axa absciselor,  $H_{mx}$  și una paralelă cu axa ordonatelor,  $H_{my}$  (fig.2.10).

$$\vec{H}_m = \vec{x}_0 \cdot H_{mx} + \vec{y}_0 \cdot H_{my}. \quad (2.123)$$

Deoarece raza de lumină are direcția axei ordonatelor prin mediul optic rezultă că acționează numai componenta  $H_{my}$ . Cum  $d\vec{l}$  are aceeași direcție cu  $H_{my}$ , rezultă

$$U_{mm\gamma AB} = \int_A^B H_{my} \cdot d\vec{l} \quad (2.124)$$

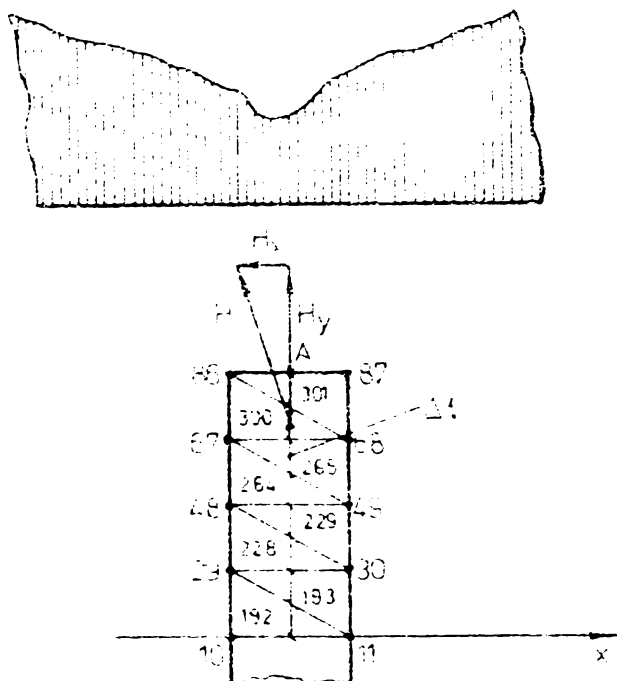
Rezolvarea numerică a integralei (2.124) se realizează prin descompunerea zonei ocupate de mediul optic într-o succesiune de elemente triunghiulare (fig.2.10).

Numerele de ordine ale

Fig.2.10. Integrarea numerică a  $H_y$

acestor elemente formează tabloul "nidh (p)" cu  $p =$  numărul acestor elemente. Pentru rețeaua de discretizare din fig.2.10, tabloul "nidh (p)" este 192, 193, 228, 229, 264, 265, 300, 301). Nodurile ce definesc fiecare din elementele tabloului se cunosc din tabloul "nnel (nd, 3)".

În urma rezolvării sistemului de asamblare a problemei de minim la nivelul întregului domeniu de câmp, rezultă valorile nodale ale potențialului magnetic  $A_k$  cu  $k = 1, 2, \dots, nd$ . Deci, pentru fiecare element din mediul optic se poate defini funcția de aproximare.



$$A_e(x, y) = N_{ie} \cdot A_{ie} + N_{je} \cdot A_{je} + N_{ke} \cdot A_{ke}.$$

cu  $\bar{A}_e = \bar{z}_0 \cdot A_e(x, y).$

Vectorul inducție magnetică  $\bar{B}$ , într-un punct curent din interiorul oricărui element, este

$$\bar{B}_e = \text{rot. } A_e = \frac{\partial A_e}{\partial y} \cdot \bar{x}_0 - \frac{\partial A_e}{\partial x} \cdot \bar{y}_0$$

$$\bar{B}_e = B_{xe} \cdot \bar{x}_0 - B_{ye} \cdot \bar{y}_0$$

Din funcția de aproximare la nivelul elementului și ținând cont de relațiile (2.44)-(2.47) rezultă

$$\begin{aligned} B_{xe} &= \frac{\partial N_{ie}}{\partial y} \cdot A_{ie} + \frac{\partial N_{je}}{\partial y} \cdot A_{je} + \frac{\partial N_{ke}}{\partial y} \cdot A_{ke} = \\ &= \frac{1}{\Delta_e} \cdot \left[ (x_{ke} - x_{je}) \cdot A_{ie} + (x_{ie} - x_{ke}) \cdot A_{je} + (x_{je} - x_{ie}) \cdot A_{ke} \right] \end{aligned} \quad (2.125)$$

$$\begin{aligned} B_{ye} &= \frac{\partial N_{ie}}{\partial x} \cdot A_{ie} + \frac{\partial N_{je}}{\partial x} \cdot A_{je} + \frac{\partial N_{ke}}{\partial x} \cdot A_{ke} = \\ &= \frac{1}{\Delta_e} \cdot \left[ (y_{je} - y_{ke}) \cdot A_{ie} + (y_{ke} - y_{ie}) \cdot A_{je} + (y_{ie} - y_{je}) \cdot A_{ke} \right] \end{aligned} \quad (2.126)$$

Permeabilitatea magnetică a mediului optic este practic  $\mu_0$ . Deci, pentru fiecare element, se poate determina

$$H_{mxe} = \frac{1}{4 \cdot \pi \cdot 10^{-7}} \cdot B_{xe} \quad (2.127)$$

$$H_{mye} = \frac{1}{4 \cdot \pi \cdot 10^{-7}} \cdot B_{ye}.$$

Prin descompunerea zonei ocupate de mediul optic într-un număr bine ales de elemente și la dimensiune bine definită a sa, se poate aprecia cu precizie mărimea  $\Delta l$  (fig.2.10). Valorile  $\Delta l$ , pentru fiecare element, se dau prin tabelul "d'(p)" cu p = numărul de elemente. Rezultă:

$$U_{mm\gamma AB} = \sum_{e=1}^p H_{m\gamma e} \cdot \Delta l_e. \quad (2.128)$$

În programul principal este necesar și calculul componentei  $H_{mx}$ . Aceasta ne permite a stabili mai bine, la

diferite dimensiuni ale circuitului feromagnetic, care este eficacitatea traductorului. Cel mai bine este atunci cînd, componenta  $H_{mx}$  devine neglijabilă.

Broarea de determinare a diferenței de potențial magnetic  $H_{m\gamma AB}$ , conform [68, 69], se calculează cu relația

$$\xi_U = \frac{1}{U_{m\gamma AB}} \cdot \sum_{e=1}^p H_{m\gamma e} \cdot \Delta l_e \cdot (\xi_{H_{m\gamma e}} + \xi_{\Delta l_e}) \quad (2.129)$$

Se poate considera că  $\Delta l$  este indicată prin datele programului în precizie simplă (7 zecimale),

$$\xi_{\Delta l_e} = \frac{10^{-7}}{\Delta l_e} \cdot 100 = \frac{10^{-5}}{\Delta l_e} \quad [\%]$$

și se poate calcula pentru fiecare element în parte. Pentru determinarea erorii de calcul a componentei  $H_y$  pentru fiecare element, se reconsideră relația (2.26). Rezultă

$$\begin{aligned} \xi_{H_{m\gamma e}} = \xi_{B_{\gamma e}} = \xi_{\Delta e} + \frac{1}{B_{\gamma e}} \cdot \left[ (A_{ke} - A_{je}) \cdot \gamma_{ie} \cdot \xi_{\gamma_{ie}} + \right. \\ \left. + (A_{ie} - A_{ke}) \cdot \gamma_{je} \cdot \xi_{\gamma_{je}} + (A_{je} - A_{ie}) \cdot \gamma_{ke} \cdot \xi_{\gamma_{ke}} \right] + \delta_{rs}. \end{aligned} \quad (2.130)$$

Pentru calculul erorii  $\xi_{\Delta e}$  se reconsideră relația (2.47). Rezultă

$$\begin{aligned} \xi_{\Delta e} = \frac{1}{\Delta e} \cdot \left[ (\gamma_{je} - \gamma_{ke}) \cdot x_{ie} \cdot \xi_{x_{ie}} + (\gamma_{ke} - \gamma_{ie}) \cdot x_{je} \cdot \xi_{x_{je}} + (\gamma_{ie} - \gamma_{je}) \cdot x_{ke} \cdot \xi_{x_{ke}} + \right. \\ \left. + (x_{ke} - x_{je}) \cdot \gamma_{ie} \cdot \xi_{\gamma_{ie}} + (x_{ie} - x_{ke}) \cdot \gamma_{je} \cdot \xi_{\gamma_{je}} + (x_{je} - x_{ie}) \cdot \gamma_{ke} \cdot \xi_{\gamma_{ke}} \right]. \end{aligned} \quad (2.131)$$

Considerînd reprezentarea în simplă precizie, rezultă

$$\begin{aligned} \xi_{\gamma_{pe}} = 10^{-5} / \gamma_{pe} \quad [\%] \\ \xi_{x_{pe}} = 10^{-5} / x_{pe} \quad [\%] \quad \text{pt. } p = i, j, k. \end{aligned} \quad (2.132)$$

În cazul în care  $\gamma_{pe} = 0$  sau  $x_{pe} = 0$  se consideră eroarea egală cu unitatea procentuală pentru a nu apărea în timpul programului înmulțirea a două zerouri.

Cu relația (2.131) se justifică necesitatea calculării erorii de rezolvare a sistemului de ecuații (2.81)

(vezi paragraful 2.6.3). Relațiile (2.129)-(2.132) se pot calcula prin programe deoarece, toate mărimile care intervin sînt stocate valoric în memoria calculatorului. Cunoșcînd eroarea de determinare valorică a diferenței de potențial magnetic se poate determina eroarea de apreciere valorică a factorului de transformare al sensorului de curenț.

$$\epsilon_K = \epsilon_U + \epsilon_{I_p} \quad (2.133)$$

unde

$$\begin{aligned} \epsilon_{I_p} &= 10^{-3}/I_p \quad [\%] \text{ pt. } I_p < 100 \text{ [A]} \\ \epsilon_{I_p} &= 10^{-2}/I_p \quad [\%] \text{ pt. } 100 \leq I_p < 1000 \text{ [A]} \\ \epsilon_{I_p} &= 10^{-1}/I_p \quad [\%] \text{ pt. } I_p \geq 1000 \text{ [A]} \end{aligned} \quad (2.134)$$

în cazul calculului cu cuvinte de calculator reprezentate în simplă precizie.

În studiul comparativ al factorului de transformare pentru diferite valori ale măsurandului în intervalul de măsurare 50 A - 20000 A, relația (2.133) permite stabilirea ultimei cifre semnificative. Se poate, deci, stabili eroarea de liniaritate a sensorului de curenț precum și valoarea factorului de transformare, care, intră în factorul de transformare al traductorului primar de curenț-relația (1.17).

Factorul de transformare la sensorul de curenț depinde evident de :

- poziția conductorului străbătut de măsurand în interiorul circuitului feromagnetic;
- dimensiunile geometrice ale circuitului feromagnetic, păstrînd neschimbată valoarea  $\lambda$  a întrefierului (mărimea  $\delta$  a întrefierului este impusă de dimensiunile sistemului magneto-optic).

Rezultă că, pentru o anumită valoare a măsurandului, trebuie comparate valorile factorului de transformare, determinate cu relația (2.122), în cazurile enunțate mai sus.

Pentru asigurarea liniarității traductorului primar de curenț trebuie, în primul rînd, un sensor cu caracteristică liniară de convertire. Adică, pentru diferite valori ale măsurandului în cadrul intervalului de măsurare, factorul de transformare  $k$  - relația (2.122) - trebuie să rămînă constant.

Abaterile de la valoarea constantă se evidențiază prin eroarea de liniaritate.

Considerând "n" valori ale măsurandului se determină eroarea de liniaritate cu relația

$$\gamma_{lin}^{\%} = \frac{k_i - (\bar{k})}{(\bar{k})} \cdot 100 \quad [\%]$$
$$(\bar{k}) = \frac{1}{n} \cdot \sum_{i=1}^n k_i \quad (2.135)$$

Se analizează  $\gamma_{lin}^{\%}$  pentru diverse poziții în interiorul circuitului feromagnetic a conductorului străbătut de măsurand și pentru diverse dimensiuni ale circuitului feromagnetic. Sensorul cel mai bun este acela cu eroarea de liniaritate cea mai mică (cu liniaritatea cea mai bună).

## 2.8. TRATAREA NELINIARITĂȚII CIRCUITULUI FEROMAGNETIC

Relațiile (2.63)-(2.65) și (2.85) - (2.91) definesc coeficienții matricii [M] din sistemul (2.81). În aceste relații intervine valoarea permeabilității magnetice în fiecare element,  $\mu_e$ . Pentru elementele situate în aer sau în medii nemagnetice  $\mu_e \approx \mu_0$  și nu apar probleme speciale.

Pentru elementele situate în fier, permeabilitatea magnetică depinde de valoarea locală a inducției electrice după curba caracteristică  $\mu=f(B)$  a materialului feromagnetic folosit. Caracteristica  $\mu=f(B)$ , determinată din caracteristica fundamentală de magnetizare  $B = f(H)$ , este neliniară; neliniaritatea puternică este în zona de saturație a curbei  $B = f(H)$ .

Pentru a ține cont de neliniaritatea circuitului feromagnetic, autorul propune următorul proces iterativ de calcul :

- a. - Se fixează valoarea inițială a permeabilității magnetice , aceeași în toate elementele din fier.
- b. - Se generează matricea echivalentă matricii bandă simetrice și termenii liberi; se rezolvă sistemul de ecuații. Rezultă valorile modale ale potențialului magnetic
- c. - Cu relațiile (2.125), (2.126) și (2.137)

$$B_e = |\bar{B}_e| = \sqrt{B_{xe}^2 + B_{ye}^2} \quad (2.137)$$

se calculează modulul vectorului inducție magnetică în toate elementele situate în fier.

- d. - cu valorile inducției  $B_e$  se determină din  $\mu=f(B)$  noua permeabilitate magnetică pentru fiecare element din fier.
- e. - se refac operațiile de la punctul "b" și "c" și se compară noua inducție  $B_e'$  cu vechea inducție  $B_e$ . Dacă

$$|B_e' - B_e| \leq \delta_B \quad (2.138)$$

cu  $\delta_B$  impus, procesul iterativ se termină și se adoptă drept finală soluția calculată ultima dată. Dacă condiția (2.136) nu este îndeplinită, se continuă cu punctul "d" și se reiau operațiile de la punctele "b" și "c".

Procesul iterativ descris continuă pînă cînd condiția (2.136) este îndeplinită. Este evident că, acest proces iterativ de tratare a neliniarității, depinde, ca și număr de iterații, de limita  $\delta_B$  impusă și de modul de aproximare a curbei  $\mu=f(B)$ .

Curba  $\mu=f(B)$  poate fi aproximată astfel :

1. - Se dau, ca date numerice,  $N$  perechi de valori  $\mu_i, B_i$ . Pentru o inducție  $B_e$  între două valori succesive  $B_i$  și  $B_{i+1}$  se apreciază că atît inducția cît și permeabilitatea magnetică variază liniar.

$$\frac{B_e - B_i}{B_{i+1} - B_i} = \frac{\mu_e - \mu_i}{\mu_{i+1} - \mu_i} = t_i \quad (2.139)$$

$$\text{Rezultă : } \mu_e = t_i (\mu_{i+1} - \mu_i) + \mu_i \quad (2.140)$$

2. - Se aproximează curba reală printr-o succesiune de segmente atît în zona liniară a curbei de magnetizare fundamentală cît și în zona neliniară a saturației. Pe baza datelor din curba reală se scriu ecuațiile analitice  $\mu_i=f(B_i)$  pentru fiecare segment precum și perechile de limită ale segmentelor. Se folosește unul sau altul din segmente după cum  $B_e$  se încadrează sau nu în limitele segmentului respectiv.

3 - Prin aproximarea curbei reale printr-o funcție  $\mu = \hat{r}(B)$  de grad superior [38], 39)

Autorul a recurs pe rând la toate procedeele și pe baza experienței sale a tras următoarele concluzii. Procedeele 1 pare, la prima vedere, cel mai simplu dar a condus la neconvergența procesului iterativ. Pornind cu o valoare dată  $\mu_{in}$  a rezultat  $\mu_1 > \mu_{in}$  și  $\mu_2 < \mu_{in}$ ; deci nu există o convergență monotonă către valoarea finală. Procedeele 3 a condus de asemenea la neconvergență. Procedeele 2 este convergent, însă cu o convergență slabă; numărul de iterații este între 8 și 30.

Autorul s-a orientat către procedeul 2 de aproximare a curbei reale  $\mu = f(B)$  iar măsurile luate pentru convergența rapidă a procesului iterativ sînt expuse mai jos.

Cu metoda balisticului s-a ridicat curba fundamentală de magnetizare și s-a calculat  $\mu_r = \mu / \mu_0$ . Valorile rezultate pentru  $H$ ,  $B$ ,  $\mu_r$  sînt indicate pentru 40 puncte în TABELA 2.2. Caracteristica reală  $\mu_r = f(B)$  - trasată cu linie întreruptă în fig.2.11 - s-a aproximat prin patru segmente de dreaptă și un arc de cerc (trasate cu linie plină în fig.2.11). Primul segment aproximează curba  $\mu_r = f(B)$  pînă la primul cot al curbei fundamentale de magnetizare.

Pentru îmbunătățirea convergenței este neapărat necesar ca în iterația "p" să se țină cont de permeabilitatea magnetică relativă rezultată în iterația precedentă "p-1". Se pornește de la observația că toate aceste iterații se execută la același curent de magnetizare egal cu curentul de măsurat. Deci,

$$\frac{B^{(p)}}{\mu_r^{(p)}} = \frac{B^{(p-1)}}{\mu_r^{(p-1)}}$$

de unde

$$\mu_r^{(p)} = \mu_r^{(p-1)} \cdot \frac{B^{(p)}}{B^{(p-1)}} \quad (2.141)$$

Permeabilitatea magnetică  $\mu_r^{(p)}$  este cea corespunzătoare punctului de intersecție dintre dreapta exprimată analitic cu relația (2.141) și segmentul de dreaptă (sau arcul de cerc) exprimat analitic conform zonei de încadrare a inducției  $B^{(p)}$ .

TABELLA 2.2

H [A/m]	B [T]	$\mu_{rel}$
1,585	0,001930	968,987
4,755	0,008038	1345,202
7,133	0,013825	1542,350
9,511	0,019291	1617,056
12,681	0,027971	1755,273
15,851	0,038581	1936,899
22,192	0,063016	2259,667
31,703	0,137607	3454,063
38,044	0,170012	3556,178
47,555	0,226682	3793,246
55,481	0,260685	3739,055
63,407	0,289020	3627,278
71,333	0,311688	3477,120
79,259	0,334366	3357,095
87,185	0,351357	3206,985
95,111	0,368359	3081,986
126,815	0,425029	2667,093
158,518	0,461865	2318,604
190,222	0,498701	2085,265
221,926	0,529870	1896,301
253,630	0,555372	1742,503
285,333	0,583707	1627,919
317,037	0,600708	1507,799
348,740	0,629044	1436,292
380,444	0,640377	1339,476
475,555	0,680047	1137,963
634,074	0,748052	938,192
792,593	0,801889	805,108
951,111	0,850059	711,226
1109,629	0,889728	638,072
1268,148	0,932231	584,984
1426,666	0,969067	540,532
1585,185	1,003069	503,548
1743,704	1,037072	473,289
1902,222	1,062574	444,517
2377,778	1,090083	334,899
3170,370	1,119690	281,048
3962,963	1,170021	234,944
4755,556	1,207763	202,102
5468,741	1,237000	180,000

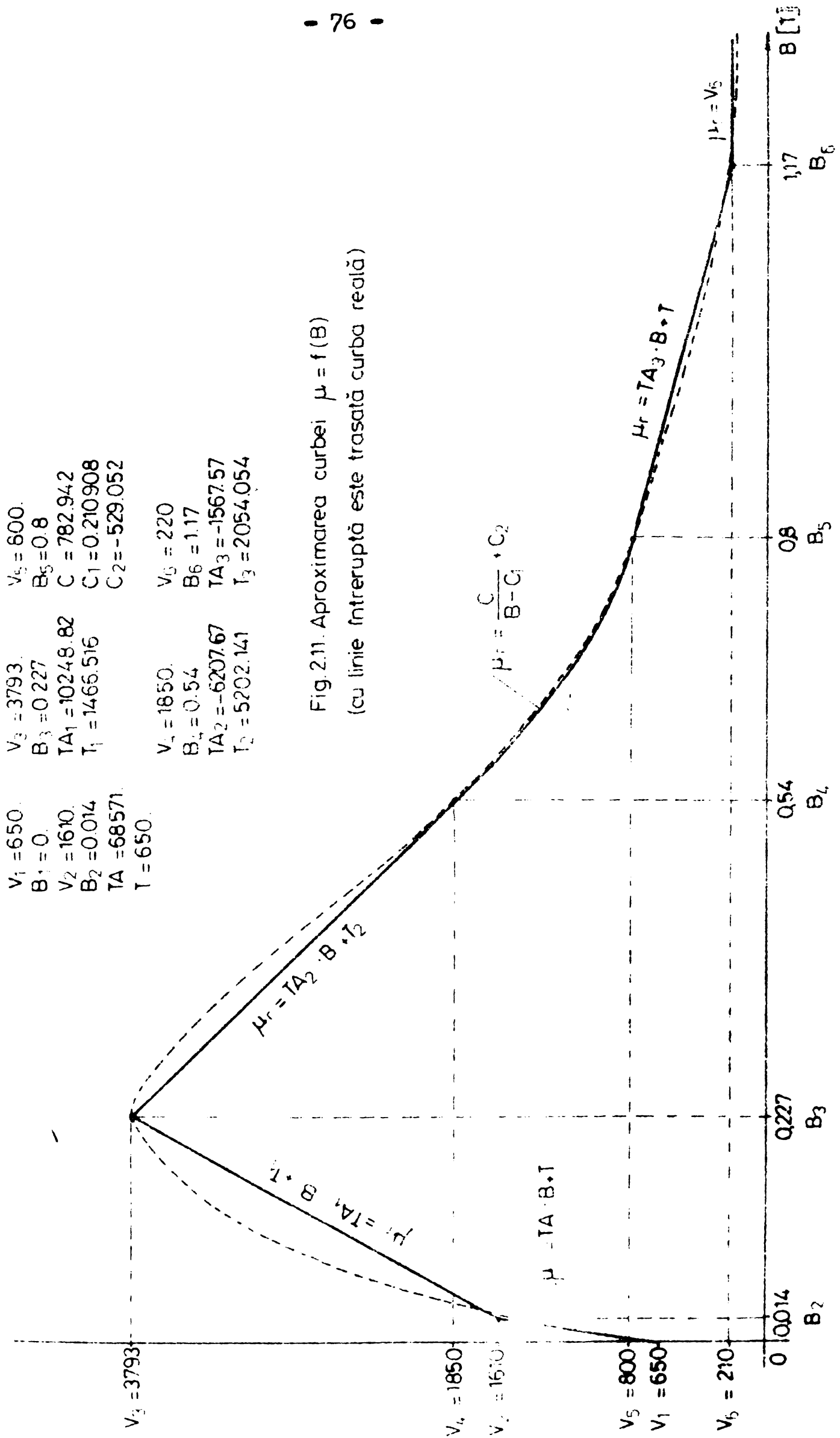


Fig. 2.11. Aproximarea curbei  $\mu = f(B)$   
 (cu linie intreruptă este trasată curba reală)

De exemplu  $B_3 < B^{(p)} < B_4$ . Segmentul de dreaptă corespunzător este exprimat analitic prin funcția  $\mu_r = TA_2 \cdot B + T_2$

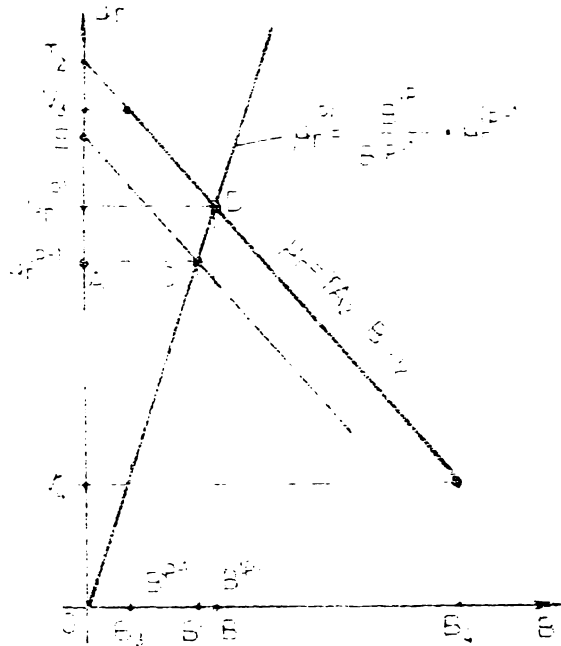


Fig. 2.12. Alegerea permeabilității magnetice relative la iterația "p" funcție de cea rezultată la iterația "(p-1)"

cu  $T_2 > 0$  și  $TA_2 < 0$  (deoarece  $V_3 < V_4$  și  $B_3 < B_4$ ). Din figura de mai sus rezultă că:

$$\begin{aligned} \Delta OB'C \sim \Delta OBD & \quad \frac{B^{(p)}}{B^{(p-1)}} = \frac{OD}{OC} = \frac{T_2}{OE} \\ \Delta OCE \sim \Delta ODT & \end{aligned} \quad (2.142)$$

$$OE = \mu_r^{(p-1)} + [-TA_2 \cdot B^{(p-1)}] \quad (2.143)$$

$$\mu_r^{(p)} = \mu_r^{(p-1)} \cdot \frac{T_2}{\mu_r^{(p-1)} - TA_2 \cdot B^{(p-1)}} \quad (2.144)$$

Deoarece se tinde ca  $B^{(p)} - B^{(p-1)} \ll \delta_B$  impus se poate aproxima că cele două inducții sînt egale. Pentru cazul unui segment de dreaptă oarecare, exprimat analitic cu relația

$$\mu_r = TA_i \cdot B + T_i \quad \text{cu } i = 0, 1, 2, 3. \quad (2.145)$$

rezultă

$$\mu_r^{(p)} = \mu_r^{(p-1)} \cdot \frac{T_i}{\mu_r^{(p-1)} - TA_i \cdot B^{(p-1)}} \quad (2.146)$$

Punctul de intersecție al dreptei (2.138) cu arcul

de cerc din fig.2.11 dă

$$\mu_Y^{(p)} = \frac{1}{2} \cdot \left\{ C_2 + C_1 \cdot \frac{\mu_Y^{(p-1)}}{B^{(p)}} + \sqrt{\left[ C_2 + C_1 \cdot \frac{\mu_Y^{(p-1)}}{B^{(p)}} \right]^2 + 4 \left( C_1 \cdot C_2 + C \right) \cdot \frac{\mu_Y^{(p-1)}}{B^{(p)}}} \right\} \quad (2.147)$$

Folosirea relațiilor (2.145) și (2.146) în subprogramul de alegere a permeabilității magnetice relative, ținând cont de neliniaritatea circuitului feromagnetic, duce la un număr de maximum 6 iterații. Prin aceasta s-a micșorat substanțial timpul de calcul, adică, costul rezolvării numerice a problemei de câmp.

Detaliile cu privire la modul concret de aplicare al algoritmului propus de autor vor fi evidențiate în capitolul 3 odată cu conceperea ordinogramelor programului principal și subrutinelor.

### 2.9. CALCULUL ERORII DATORATE CIMPURILOR MAGNETICE PARAZITE ( $\xi_{mg}$ )

Transportul energiei de c.a. la înaltă și foarte înaltă tensiune se execută printr-o rețea de trei conductoare, prin care, curenții sînt defazați cu  $120^\circ$  unul față de celălalt. Notînd cu R, S, T cele 3 faze se poate scrie

$$\begin{aligned} \underline{I}_{pS} &= I_{pS} \\ \underline{I}_{pR} &= I_{pR} \cdot e^{+j \frac{2\pi}{3}} = I_{pR} \cdot \left( -\frac{1}{2} + j \cdot \frac{\sqrt{3}}{2} \right) \\ \underline{I}_{pT} &= I_{pT} \cdot e^{-j \frac{2\pi}{3}} = I_{pT} \cdot \left( -\frac{1}{2} - j \cdot \frac{\sqrt{3}}{2} \right) \end{aligned} \quad (2.148)$$

Se consideră cazul cel mai dezavantajos cu sistemul magnetoeptic de măsură afectat conductorului fazei S. Cîmpurile electromagnetice generate de curenții celorlalte două faze constituiesc în acest caz, cîmpuri parazite pentru cîmpul creat de măsurand cu ajutorul circuitului feromagnetic. Pentru a face comparație cu datele indicate din literatura de specialitate [23, 28, 29] este necesar a calcula factorul de transformare în următoarele cazuri :

1. - curenții pe cele trei faze formează un sistem

trifazat simetric;

$$|\underline{I}_{pR}| = |\underline{I}_{pS}| = |\underline{I}_{pT}| \quad (2.149)$$

2. - curenții prin fazele R și T sînt la valoarea nominală, curentul prin faza S este de 10 ori mai mic și defazajul de  $120^\circ$  se menține (asimetrie simplă de modul);

$$\begin{aligned} |\underline{I}_{pR}| &= |\underline{I}_{pT}| = \bar{I}_{pn} \\ |\underline{I}_{pS}| &= \frac{1}{10} \cdot \bar{I}_{pn}. \end{aligned} \quad (2.150)$$

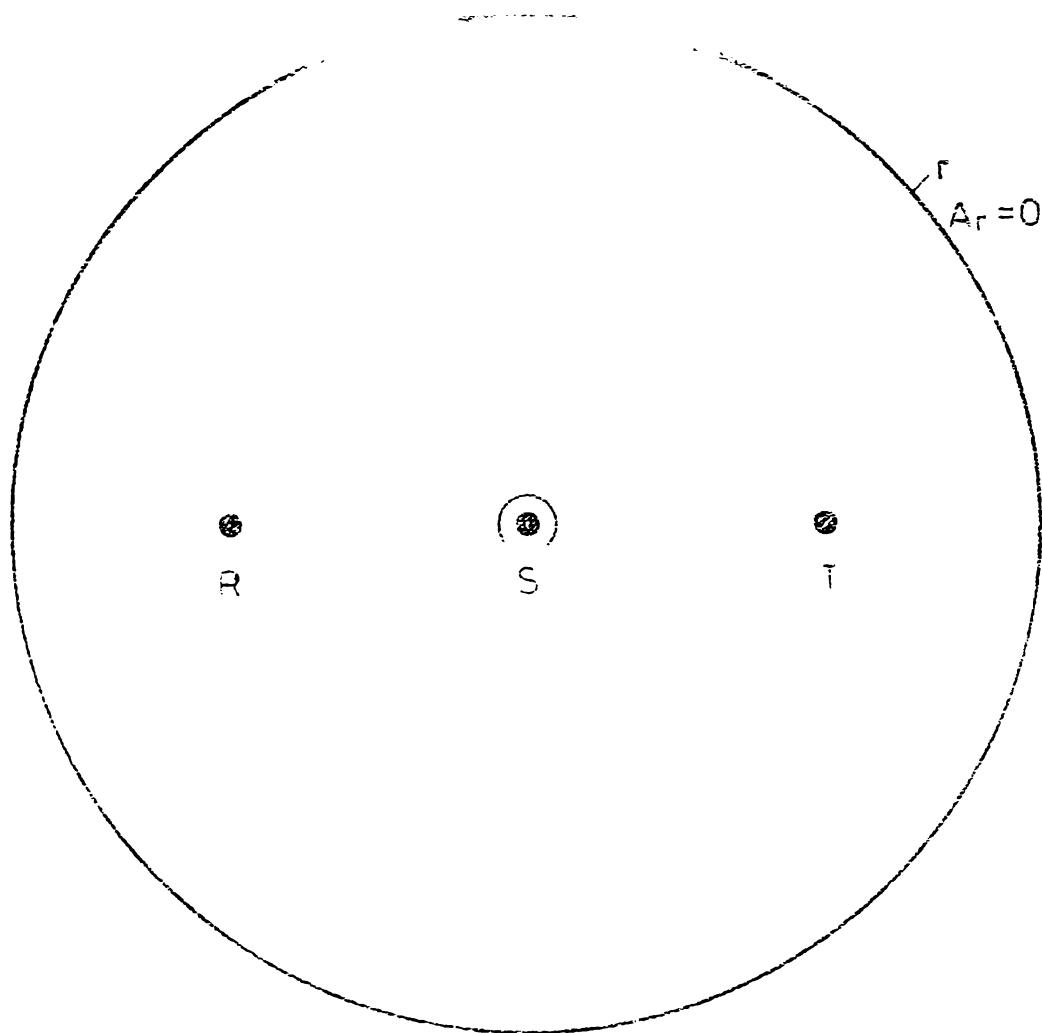
3. - curentul prin faza S este la valoarea nominală, curentul prin faza R este nul iar curentul prin faza T este de 40 ori mai mare decît valoarea nominală

$$\begin{aligned} |\underline{I}_{pS}| &= \bar{I}_{pn}. \\ |\underline{I}_{pR}| &= 0 \\ |\underline{I}_{pT}| &= 40 \cdot \bar{I}_{pn}. \end{aligned} \quad (2.151)$$

Tinînd cont de relațiile (2.145) și de cele 3 cazuri de calcul a factorului de transformare propun domeniul de cîmp din fig.2.13. Domeniul include conductoarele fazelor R, S și T și este delimitat de un cerc cu centrul în centrul conductorului fazei S. Cercul constituie curba  $\Gamma$  de izolare a sistemului electromagnetic trifazat; pe curba  $\Gamma$  se satisface condiția de frontieră tip Dirichet,  $A_{\Gamma} = 0$ . Distanța între conductoare se alege 4,4 m și este corespunzătoare distanței între conductoare la o stație de 220 kV. Pentru tensiuni mai mari, 400 kV și 700 kV, distanța depășește 6 m și eroarea  $\epsilon_{mg}$  se micșorează.

Calculul numeric al cîmpului în noul domeniu  $D'$  se poate efectua în două variante.

**VARIANTA 1.** Se ia în considerare numai părțile reale ale curenților pe cele trei faze, neglijîndu-se părțile imaginare ale circuitelor pe fazele R și T. Se neglijează astfel contribuția părții imaginare la valoarea modulului factorului de transfer și defazajul suplimentar introdus. Neglijarea duce la eroare mare în aprecierea globală a influenței cîmpurilor vecine, deoarece, partea imaginară a potențialului magnetic este mică. Cele trei cazuri de apreciere se reduc la condițiile (2.152), (2.153), respectiv (2.154).



**Fig.2.13. Domeniul  $D'$  de modelare a câmpului electromagnetic pentru calculul numeric al erorii datorate câmpurilor magnetice parazite**

**cas 1. -**

$$\begin{aligned} \bar{I}_{pS} &= I_{pn} \\ \bar{I}_{pR} &= -\frac{1}{2} \cdot I_{pn} \\ \bar{I}_{pT} &= -\frac{1}{2} \cdot \bar{I}_{pn} \end{aligned} \quad (2.152)$$

**cas 2. -**

$$\begin{aligned} \bar{I}_{pS} &= I_{pn} / 10 \\ \bar{I}_{pR} &= \bar{I}_{pT} = \bar{I}_{pn}. \end{aligned} \quad (2.153)$$

**cas 3. -**

$$\begin{aligned} \bar{I}_{pS} &= \bar{I}_{pn} \\ \bar{I}_{pR} &= 0 ; \bar{I}_{pT} = -20 \cdot \bar{I}_{pn} \end{aligned} \quad (2.154)$$

**VARIANTA 2.** - Se iau în considerare curenții prin fazele R și T ca mărimi complexe. Rezultă potențialul magnetic, inducția magnetică și intensitatea câmpului magnetic ca mărimi complexe

$$\begin{aligned}\underline{A}^e(x, y) &= A_r^e + j A_{im}^e \\ \underline{B}^e(x, y) &= B_r^e + j B_{im}^e \\ \underline{H}^e(x, y) &= H_r^e + j H_{im}^e\end{aligned}\tag{2.155}$$

Din funcția de aproximare a potențialului magnetic la nivelul elementului, relația (2.43), rezultă că valorile sale reale sînt de asemenea mărimi complexe

$$\underline{A}_p^e = A_{pr}^e + j A_{pim}^e \quad p = i, j, k.\tag{2.156}$$

**OBSERVAȚIE.** La prima vedere, soluționarea problemei se poate obține lucrînd cu variabile complexe în program. Se ivesc însă următoarele impedimente :

În primul rînd, variabila complexă în simplă precizie necesită 8 octeți. Memoria alocată coeficienților, matricii [M] și termenilor liberi practic se dublează față de cazul mărimilor reale. Există pericolul depășirii memoriei calculatorului pentru stocarea datelor, coeficienților, termenilor liberi și soluției; se impune folosirea fișierelor și deci creșterea substanțială a timpului de calcul.

În al doilea rînd, nu există încă algoritme puse la punct pentru rezolvarea sistemelor mari de ecuații cu variabile complexe.

Ținînd cont de observațiile făcute, propun separarea a două sisteme; un sistem cu părți reale și un sistem cu părți imaginare. Separarea este corectă din punct de vedere matematic, deoarece

$$X + jY = 0 \quad \rightarrow \quad X = 0 ; Y = 0$$

Revenind la funcția de aproximare a potențialului magnetic complex la nivelul elementului, rezultă

$$\begin{aligned}A_r^e &= N_i \cdot A_{ir} + N_j \cdot A_{jr} + N_k \cdot A_{kr} \\ A_{im}^e &= N_i \cdot A_{im} + N_j \cdot A_{jim} + N_k \cdot A_{kim}.\end{aligned}\tag{2.157}$$

Minimizarea funcționalei la nivelul elementului se poate descompune în două minimizări : una pentru partea reală, și una pentru partea imaginară

$$\frac{\partial F[A]^e}{\partial A_i} = M_{i,i}^e \cdot A_i + M_{i,j}^e \cdot A_j + M_{i,k}^e \cdot A_k - \frac{1}{8} \cdot \Delta_e \cdot J_{\lambda e} \cdot e^{j\beta_e} = 0 \quad (2.158)$$

$\beta_e = 0$  pentru toate elementele din zona conductorului fazei S

$\beta_e = \frac{2\pi}{3}$  pentru toate elementele din zona conductorului fazei R

$\beta_e = -\frac{2\pi}{3}$  pentru toate elementele din zona conductorului fazei T

Prin separarea componentelor reale de părțile imaginare în relația (2.155) se obține :

$$M_{i,i}^e \cdot A_{ir} + M_{i,j}^e \cdot A_{jr} + M_{i,k}^e \cdot A_{kr} = \frac{1}{6} \cdot \Delta_e \cdot J_{\lambda e} \quad (2.159)$$

$$M_{i,i}^e \cdot A_{im} + M_{i,j}^e \cdot A_{jim} + M_{i,k}^e \cdot A_{kim} = 0 \quad (2.160)$$

pentru elementul oarecare din zona conductorului fazei S,

$$M_{i,i}^e \cdot A_{ir} + M_{i,j}^e \cdot A_{jr} + M_{i,k}^e \cdot A_{kr} = -\frac{1}{2} \cdot \frac{1}{6} \cdot \Delta_e \cdot J_{\lambda e} \quad (2.161)$$

$$M_{i,i}^e \cdot A_{im} + M_{i,j}^e \cdot A_{jim} + M_{i,k}^e \cdot A_{kim} = \frac{\sqrt{3}}{2} \cdot \frac{1}{6} \cdot \Delta_e \cdot J_{\lambda e} \quad (2.162)$$

pentru elementul oarecare din zona conductorului fazei R,

$$M_{i,i}^e \cdot A_{ir} + M_{i,j}^e \cdot A_{jr} + M_{i,k}^e \cdot A_{kr} = -\frac{1}{2} \cdot \frac{1}{6} \cdot \Delta_e \cdot J_{\lambda e} \quad (2.163)$$

$$M_{i,i}^e \cdot A_{im} + M_{i,j}^e \cdot A_{jim} + M_{i,k}^e \cdot A_{kim} = -\frac{\sqrt{3}}{2} \cdot \frac{1}{6} \cdot \Delta_e \cdot J_{\lambda e} \quad (2.164)$$

pentru elementul oricare din zona conductorului fazei T.

Tinând cont de relația (2.155), asamblarea problemei de minim a funcționalei la nivelul întregului domeniu de modelare a cimpului duce la două sisteme de ecuații:

$$[M]^{D'} \cdot [A_r]^{D'} = [TL_r]^{D'} \quad (2.165)$$

$$[M]^{D'} \cdot [A_{im}]^{D'} = [TL_{im}]^{D'} \quad (2.166)$$

În ambele relații, permeabilitatea magnetică este o mărime reală.

Se rezolvă mai întâi sistemul real cu tratarea neliniarității circuitului feromagnetic conform algoritmului prezentat în paragraful 2.8.

Permeabilitatea rezultată la sfârșitul procesului iterativ de

neliniaritate este folosită în rezolvarea sistemului (2.163). Procesul iterativ datorat neliniarității nu mai intervine în determinarea soluției. Notînd cu HYDLR partea reală a diferenței de potențial magnetic și cu HYDLI - partea imaginară, rezultă

$$U_{mmYAB} = \sqrt{(HYDLR)^2 + (HYDLI)^2} \quad (2.167)$$

$$\varphi = \text{arc. tg.} \cdot \frac{HYDLI}{HYDLR} \quad (2.168)$$

unde  $\varphi$  este defasajul introdus de sensorul de curent datorită cîmpurilor magnetice create de curenții prin conductoarele vecine celui străbătut de măsurand.

Determinînd factorul de transformare al sensorului, relația (2.122) - în următoarele cazuri

K - în cazul prezentei numai a măsurandului

K<sub>1</sub> - în cazul 1 - relațiile (2.152)

K<sub>2</sub> - în cazul 2 - relațiile (2.153)

K<sub>3</sub> - în cazul 3 - relațiile (2.154)

se poate calcula eroarea datorată cîmpurilor magnetice parazitare

$$\xi_{mgj} = \frac{k_{ji} - k_i}{k_i} \cdot 100 \quad [\%] \quad (2.169)$$

$j = 1, 2, 3.$

pentru i valori ale măsurandului.

Ambele variante vor fi tratate detaliat în calculul numeric concret prin programe, capitolul 3. Menționez că ambele variante precum și întregul procedeu de calcul numeric a erorii datorată cîmpurilor magnetice create de curenții prin conductoarele vecine celui străbătut de măsurand sînt contribuțiile originale ale autorului.

## CAPITOLUL 3

### REZOLVAREA NUMERICA A PROBLEMEI DE CÂMP

Principiile aproximării numerice a soluției prin metoda elementului finit sînt prezentate în cap.2 al prezentei lucrări. Calculul numeric concret al cîmpului creat în interiorul circuitului feromagnetic, conform cu cerințele enunțate în formularea problemei de cîmp, necesită parcurgerea succesivă a următoarelor etape:

1. - Aproximarea cîmpului real.
2. - Stabilirea variabilelor și modului de reprezentare în calculator a aproximărilor de cîmp realizate.
3. - Stabilirea structurii programului de calcul numeric.
4. - Conceperea programului principal și a subrutinelor.
5. - Prelucrarea rezultatelor calculului numeric.

Etapetele mai sus enunțate vor fi tratate detaliat în paragrafele următoare.

#### 3.1. APROXIMAREA CÂMPULUI REAL

Aproximarea cîmpului real se realizează prin discretizarea domeniului de cîmp ales obținîndu-se o rețea de elemente finite - triunghiuri liniare. Rețeaua de elemente finite trebuie astfel concepută, încît, să satisfacă următoarele condițiuni:

- a. - Aproximarea făcută să fie cît mai apropiată de cîmpul real.
- b. - Variantele de calcul numeric, cerute în formularea problemei de cîmp, să nu necesite schimbarea modului de generare a rețelei de elemente finite pentru aproximarea cîmpului.

- c. - Elementele finite generate să îndeplinească integral cerințele de obținere a unei matrici bandă simetrică, pozitiv definită și cu diagonală dominantă.
- d. - Latura elementului finit să constituie limita de separație a două medii cu proprietăți magnetice și de conducție diferite.
- e. - Numerotarea nodurilor rețelei de elemente să asigure lățimea minimă de bandă a matricii coeficienților, iar numerotarea elementelor - separarea prin nivel cifric a mediilor cu proprietăți magnetice și de conducție diferite.
- f. - Reprezentarea rețelei de aproximare în calculator să necesite un număr mic de date afectate de erori de măsurare.

Din formularea problemei de câmp se disting două tipuri de câmp:

- câmpul creat în sensorul de curent considerat ca sistem izolat - domeniul  $D$  fig.2.3;
- câmpul creat în sensorul de curent și supus influenței câmpurilor create de curenții din conductoarele vecine celui străbătut de măsurand - domeniul  $D'$  fig.2.13.

Aproximarea lor prin rețele de elemente finite se face diferit și vor fi tratate separat.

### 3.1.1. Aproximarea câmpului magnetic în domeniul $D$ .

Domeniul  $D$ , figura 2.3, constituie un mediu neomogen, cu variații accentuate ale intensității câmpului magnetic la limita de separație fier - aer. Circuitul feromagnetic al sensorului de curent prezintă trei zone de contact cu aerul: cercul interior, cercul exterior și zona intrefierului. Conductorul străbătut de măsurand este încercuit de miezul feromagnetic; deci, la limita de separație fier - aer dată de cercul interior, mai ales în zona intrefierului, trebuie să apară densitatea cea mai mare de elemente. Astfel, pentru aproximarea bună a câmpului, rețeaua de elemente finite trebuie să prezinte:

- densitate foarte mare de elemente la limita interioară de separație fier - aer, în zona întrefierului și cea învecinată acestuia;
- densitate mică de elemente la limita exterioară de separație fier - aer;
- densitate foarte mică de elemente în exteriorul circuitului feromagnetic și la distanță de acesta;
- densitate mică de elemente în zona interioară diametral opusă întrefierului (mică - comparativ cu zona întrefierului  $\delta$ ).

Modul de generare a elementelor finite - triunghiuri liniare, ținând cont și de realizarea densităților mai sus amintite, este esențial pentru satisfacerea condițiilor c, d, e și f. Pentru a stabili modul de generare se pornește de la următoarele observații.

Dacă elementele triunghiulare sînt obținute prin diagonalizarea radială a patruleterelor generate de intersecția de linii, se realizează maxim 3 elemente vecine unui nod - fig. 3.1.a.

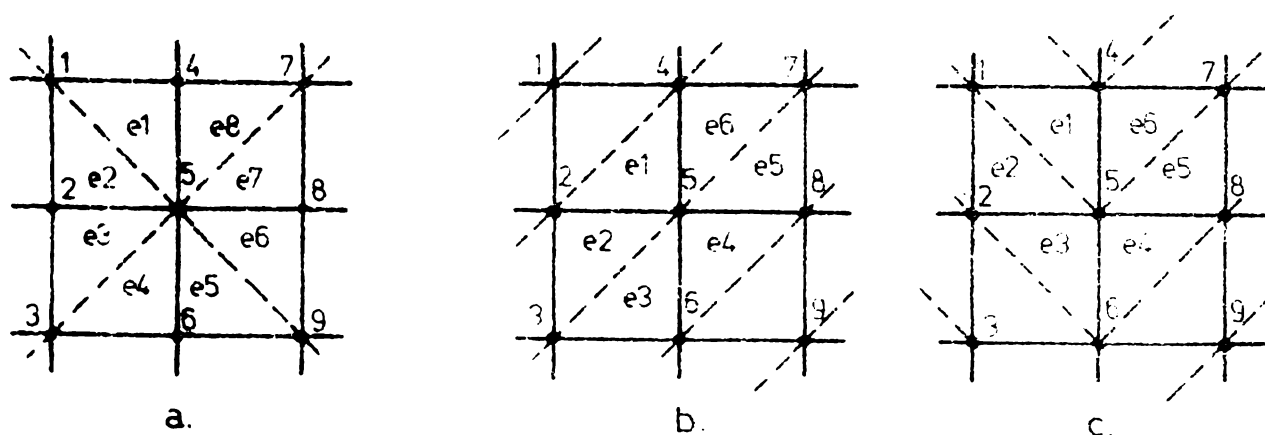


Fig.3.1. Generarea elementelor finite triunghiuri liniare: a.-prin diagonalizarea încrucișată; b.-prin diagonalizarea paralelă cu linie de simetrie a schimbării sensului.

Dacă diagonalizarea se face totdeauna în același sens sau cu linie de simetrie a schimbării sensului - liniile întrerupte din fig.3.1.b și 3.1.c - numărul maxim de elemente vecine este 6. Acesta este numărul optim de elemente vecine, deoarece,

asigură număr mic de coeficienți nenuli pe linia matricei coeficienților, micșorarea la minim a operațiilor de rezolvare a sistemului, erori și timpi mici de calcul și volum mic de memorie calculator pentru stocarea variabilelor.

Păstrarea de  $nv_{opt}=6$  impune condiția ca afi area rețelei de elemente în zonele de gradient maxim să nu se facă prin subdivizarea elementelor finite, ci, prin îndesirea liniilor ce generează patrulateralele.

Matricea bandă este pozitiv definită dacă toate elementele diagonale sînt pozitive iar cele extradiagonale - negative. Această proprietate este realizată dacă toate unghiurile interne ale triunghiului sînt mai mici decît  $\pi/2$  (proprietatea P2, paragraful 2.5). Această condiție este totdeauna îndeplinită dacă, patrulateralele din fig.3.1 sînt generate prin intersecția unor cercuri cu raze vectoriale (fig.1.4). Diagonalizarea patrulaterelor nu se mai poate face paralel ci numai în același

sens: de la stînga la dreapta sau invers.

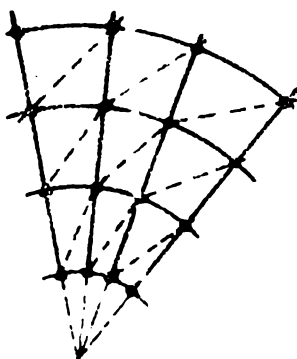


Fig.3.2. Generarea elementelor cu  $\alpha_p < \pi/2$ ,  $p=i,j,k$ .

Generarea elementelor triunghiulare ca în fig.3.2 este recomandată și de forma toroidală a circuitului feromagnetic. Centrul cercurilor, același cu punctul de plecare al razelor vectoriale, este centrul secțiunii transversale a torului feromagnetic (fig.2.3). Acest centru nu poate fi considerat un nod - de exemplu, nodul 1 al rețelei; o astfel de considerare ar duce la lățime de bandă mare

pentru matricea coeficienților, la număr mare de elemente vecine unui nod și toate aceste dezavantaje datorită unui singur nod.

Se preferă ca limită de discretizare un cerc cu diametrul astfel ales, încît, să nu ducă la deformații ale aproximării de câmp față de câmpul real.

Modul indicat mai sus de generare a elementelor rețelei de aproximare a câmpului permite calculul coordonatelor nodurilor de către calculator. Aceasta se face pe baza celor "NC" raze de cercuri și a celor "NU" distanțe unghiulare a razelor

vectoare față de axa absciselor (axa S-S', fig.2.3). Valorile acestora sînt sintetizate în tablourile de date RAZA (NC) și ALFA (NU) putînd fi date cu precizia maximă - precizia dată de reprezentarea variabilei în simplă precizie (7 cifre semnificative în afara virgulei).

Rămîn două probleme delicate în definitivarea rețelei de elemente finite:

1. - alegerea numărului de straturi de elemente în conductorul străbătut de măsurand;
2. - alegerea razei cercului de frontieră I, frontieră care izolează față de exterior sistemul electromagnetic al traductorului primar de curent.

Pentru rezolvarea primei probleme se consideră cazul transformatorului magneto optic de curent dintr-o stație de 220 KV cu un singur conductor pe fază pentru transportul energiei. Conductorul străbătut de măsurand este poziționat în centrul circuitului feromagnetic toroidal (fig.2.3). Pentru a ține cont de considerațiile de obținere a "nv" optim și lățimii de bandă minime, conductorul se poate considera ca un cilindru conductor cu raza interioară foarte mică. În secțiunea transversală a conductorului, fig.2.3, rezultă un cerc interior, de-a lungul cărui inducția magnetică și intensitatea cîmpului magnetic sînt nule [35, 36, 37]. Aceasta înseamnă că, în toate nodurile de pe acest cerc interior, valoarea potențialului magnetic este constantă.

Fie un singur strat de elemente finite delimitat de cercul interior și de cercul exterior conductorului. Rezultă că, potențialul magnetic trebuie să aibe o variație liniară pe direcția razei conductorului. Fenomenologic nu este corect; sînt necesare minimum două straturi de elemente finite pentru a ține cont de conductorul real.

Autorul a verificat corectitudinea acestei alegeri. A considerat un conductor cilindric masiv străbătut de curentul I și înconjurat de mediu omogen - aer. A realizat rețeaua de aproximare după modelul din fig.3.2 și a calculat valoarea inducției magnetice într-un punct P de coordonate cunoscute. S-a

calculat analitic valoarea inducției în același punct P cu relația 37 ,

$$B_p = \frac{\mu \cdot \gamma_0 \cdot \mu_0 \cdot J}{2} \cdot \frac{R_e^2 - R_i^2}{r} = \frac{\mu \gamma_0 \mu_0 I}{2\pi r} \quad (3.1)$$

unde  $r$  este distanța punctului P față de centrul cilindrului conductor.

S-a făcut comparația rezultatului analitic cu cel numeric. Lucrînd cu un singur strat de elemente, rezultatul numeric diferă cu 7,2 % față de cel analitic; lucrînd cu două straturi - 0,4 %.

Considerația de alegere a două straturi de elemente, dedusă în cazul conductorului poziționat central, rămîne valabilă și în cazul conductorului poziționat undeva în interiorul circuitului feromagnetic. În acest al doilea caz, conductorul va fi considerat plin, deoarece, nu mai afectează modul de generare a rețelei de elemente finite.

Pentru stabilirea razei cercului de frontieră  $\Gamma$  trebuie, în primul rînd, stabilită raza vectorie, de-a lungul căreia variația potențialului magnetic să fie cea mai lentă (cea mai dezavantajoasă). În cazul de față raza vectorie căutată este chiar cea dusă prin mijlocul intrefierului. Pe această direcție, bombarea liniilor de cîmp este cea mai mare și deci, de-a lungul ei se impune depărtarea frontierei  $\Gamma$ .

La o alegere corectă a razei cercului de frontieră  $\Gamma$ , f. r., reprezentarea grafică a valorilor nodale ale potențialului magnetic, pe direcția cea mai dezavantajoasă în funcție de distanța nodului de centrul secțiunii torului, trebuie să conducă la o curbă continuu descrescătoare (curba trasată cu linie plină în fig.3.3).

Dacă apar ruperi ale curbei - cum sînt cele cu linie punctată în fig.3.3 - înseamnă că razele cercurilor și în special

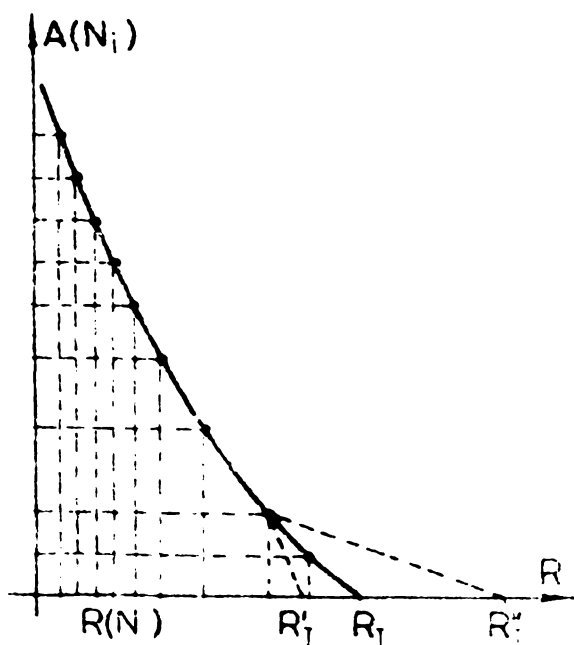


Fig.3.3. Referitor la stabilirea valorii corecte pentru  $R_r$ .

$h_T$  nu au fost corect alese. Așperii de continuitate ca în fig. 3.3 apar când  $h_T$  este ori prea mic, ori prea mare.

De regulă, sînt necesare cel puțin două variante de rețea pentru a stabili valorile corecte ale razelor cercurilor, inclusiv  $h_T$ .

Sintetizînd cele stabilite cu privire la aproximarea corectă a cîmpului magnetic real printr-o rețea de elemente finite, rezultă:

- 1.- Rețeaua se bazează pe patrulaterele generate prin intersecția unor cercuri cu raze vectoriale. Elementele triunghiulare rezultă prin diagonalizarea acestor patrulatere în același sens sau cu linie de simetrie pentru schimbarea sensului.
- 2.- Razele cercurilor sînt astfel alese încît cercurile rezultate să coincidă cu liniile de separație conductor - aer și circuit feromagnetic - aer.
- 3.- Rețeaua prezintă densitate mare de elemente în regiunea limitrofă fier - întrefier opre conductorul străbătut de măsurand și densitate mică de elemente în exteriorul circuitului feromagnetic.
- 4.- Se delimitază două straturi de elemente în conductorul străbătut de măsurand, indiferent de poziția acestuia în interiorul circuitului feromagnetic. În cazul poziției centrale, conductorul devine cilindru conductor cu raza interioară foarte mică.
- 5.- Numerotarea nodurilor se face după direcția razei vectoriale sau de-a lungul circumferinței cercului, după cum  $NC < NU$ , respectiv  $NU < NC$ . Se asigură în acest mod lățimea de bandă minimă pentru matricea coeficienților  $[A]^L$ . Nodurile de pe frontieră primesc ultimele valori pentru a face distincția clară între nodurile active "nd" și nodurile de pe frontieră  $T$  "(np-nd)" cu  $A_T=0$  cunoscut.
- 6.- Elementele se numerotează crescător începînd cu cele din fier - de la 1 la  $NFER$ , continuînd valoric cu cele din aer -  $NFER+1$  la  $NALK$ , și terminînd cu cele din conductorul străbătut de măsurand -  $NALK+1$

la NE. In cazul conductorului deplasat din centrul secțiunii, elementele din aer se consideră de la  $NFER+1$  la NE și se corectează cu tabloul ICDB (p), cu "p" elemente în conductor.

- 7.- Elementele din mediul optic transparent aparțin categoriei "din aer" și se specifică prin tabloul NLIDH (m) numai pentru integrarea numerică.
- 8.- Coordonatele nodurilor se calculează prin program pe baza datelor furnizate prin tablourile RAZA(NC) și ALFA(NU).
- 9.- Considerarea variantelor de câmpuri ce trebuie să aproximeze prin rețele de elemente finite pentru calculul numeric nu trebuie să modifice structura de generare a rețelei. Se modifică numai tablourile de date RAZA(NC), ALFA(NU), ICDB(p) și NLIDH(m), păstrând NC, NU și NFER același.

Structura rețelei de elemente finite, generată conform cu cele 9 considerații de mai sus, este prezentată în fig.3.4. Este realizată cu  $NC=20$  cercuri și  $NU=27$  raze vectoriale. Cercurile cu razele  $R_9$  și  $R_{14}$  delimitează circuitul feromagnetic al sensorului și constituiesc, în același timp liniile de separație fier - aer interioară, respectiv exterioară. Cercurile cu raze  $R_1 - R_8$  inclusiv sînt interioare circuitului feromagnetic iar cele cu  $R_{15} - R_{20}$  sînt exterioare ( $R_{20}=R_{\Gamma}$ ). Razele vectoriale corespund celor 27 distanțe unghiulare  $\alpha_1 \div \alpha_{27}$  cu

$$\alpha_1 = 0 \text{ [rad]}; \quad \alpha_{27} = \pi \text{ [rad]}$$

razele vectoriale corespunzătoare la  $\alpha_1 \div \alpha_5$  sînt impuse de mediul optic transparent și corespund la 0, 1, 2, 3, 4 cm pe linia mediană a acestuia. Razele vectoriale corespunzătoare la  $\alpha_7 \div \alpha_{12}$  inclusiv delimitează talpa polară și corespund punctelor de intersecție a cercurilor de raze  $R_9 \div R_{14}$  cu talpa apolară. În acest mod s-a conturat corect linia de separație fier - aer în intrefier. Numerotarea s-a făcut conform considerației 5 rezultînd  $nd=513$  noduri active și o lățime de semibandă  $LB=20$ .

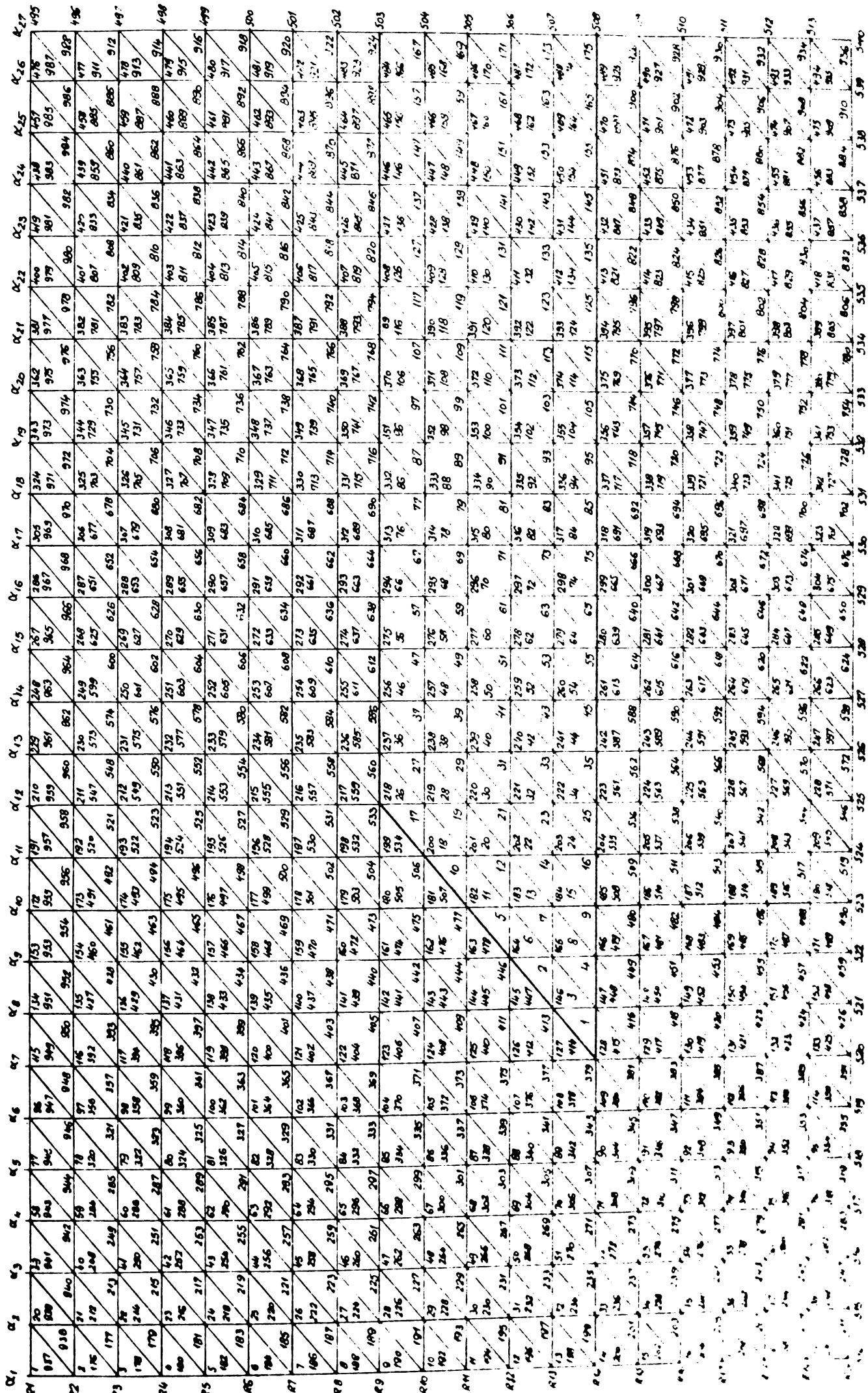


Fig. 3.4. Structura rețelei de elemente finite pentru aproximarea cimpului in domeniul  $\Omega$

Factorul de transformare  $k$  și eroarea de liniaritate  $\gamma_{lin}$ , definite de relațiile (2.122), respectiv (2.135), sînt influențate valoric de dimensiunile circuitului feromagnetic de poziția conductorului străbătut de măsurand în interiorul torului și de variația proprietăților magnetice în timp și cu temperatură. Studiul concret al acestor dependențe se realizează prin soluții numerice în cazuri de cîmp bine alese.

#### Influența dimensiunilor geometrice.

Dimensiunile geometrice ale circuitului feromagnetic,  $h_1$ ,  $h_2$ ,  $\delta$  - fig.2.2, pot fi variate prin voința realizatorului și odată fixate valoric, pot varia datorită influenței temperaturii și magnetostricțiunii. Variația voință a dimensiunilor geometrice se face pentru alegerea variantei optime de circuit feromagnetic. În acest caz se disting două cazuri:

**CAZUL 1.** - Grosimea  $G=h_2-h_1$  și întrefierul  $\delta$  rămîn constante. Variază raza interioară  $h_1$  iar conductorul străbătut de măsurand rămîne în poziția centrală.

**CAZUL 2.** - La una din valorile  $h_1$  din cazul precedent variază grosimea circuitului feromagnetic. Întrefierul rămîne constant iar conductorul este poziționat central.

Notînd denumirea programului de calcul cu TRALAG (tractor magnetooptic), rezultă:

TRALAG 01:  $h_2=0,060$  m;  $h_1=0,110$  m;  $\delta=0,130$  m.

Conductorul poziționat central.

TRALAG 02:  $h_2=0,080$  m;  $h_1=0,130$  m;  $\delta=0,130$  m.

Conductorul poziționat central.

TRALAG 03:  $h_2=0,125$  m;  $h_1=0,157$  m;  $\delta=0,130$  m.

Conductorul poziționat central.

TRALAG 04:  $h_2=0,175$  m;  $h_1=0,225$  m;  $\delta=0,130$  m.

Conductorul poziționat central.

TRALAG 05:  $h_2=0,125$  m;  $h_1=0,155$  m;  $\delta=0,130$  m.

Conductorul poziționat central.

TRALAG 06:  $h_2=0,125$  m;  $h_1=0,201$  m;  $\delta=0,130$  m.

Conductorul poziționat central.

Sub influența temperaturii, tolele circuitului feromagnetic suferă o variație a dimensiunilor lor. Notînd cu  $\alpha$  [ $m/m, ^\circ C$ ]  $^\circ C$  coeficientul de temperatură, și cu  $L$  lungimea tolei, variația lungimii este:

$$\Delta L_{\theta} = \alpha \cdot L \cdot \Delta \theta \quad \text{mm} \quad (3.2)$$

Variația  $\Delta L_{\theta}$  afectează în primul rând raza interioară a torului și în al doilea rând dimensiunea întrefierului. Din [75], pentru raza medie a circuitului feromagnetic în cazul TRALAG 03, în gama de variație a temperaturii mediului ambiant cu  $\Delta \theta = \pm 50^{\circ}\text{C}$  față de  $\theta_0 = 20^{\circ}\text{C}$ , rezultă:

$$\Delta L_{\theta} = \pm 12,2 \cdot 10^{-3} \cdot 2 \cdot \pi \cdot 0,15 \cdot 50$$

$$\Delta L_{\theta} = \pm 0,6 \text{ mm}$$

Variația razei medii a torului este:

$$\Delta R_{\theta} = \frac{\Delta L_{\theta}}{2\pi} = 0,095 \text{ mm}$$

și este perfect neglijabilă.

Se poate deci considera numai variația întrefierului cu  $\pm 0,6$  mm. Numeric, apar două variante de program:

TRALAG 07:  $h_9 = 0,125$  m;  $h_{14} = 0,175$  m;  $\sigma = (0,130 + 0,0006)$  m.

Conductorul poziționat central.

TRALAG 03:  $h_9 = 0,125$  m;  $h_{14} = 0,175$  m;  $\sigma = (0,130 - 0,0006)$  m.

Conductorul poziționat central.

Magnetostricțiunea se referă la variația dimensiunilor liniare ale unui corp feromagnetic sub efectul câmpului magnetizant. Valorile limită ale deformărilor relative  $\lambda$  sînt foarte mici, de ordinul

$$\lambda = \frac{dL}{L} = 10^{-6} \quad (3.3)$$

și sînt atinse la saturația magnetică a materialului [76]. Pentru cazul de față,

$$dL = 2 \cdot \pi \cdot 0,15 \cdot 10^{-6} = 1 \cdot 10^{-6} \text{ m.}$$

Se observă că variația dimensiunii întrefierului este complet neglijabilă.

Influența poziției conductorului.

Conductorul străbătut de curentul de magnetizare (măsurandul), de tip infinit lung, poziționat în axa circuitului feromagnetic toroidal plin, asigură un câmp uniform și cu dispersii minime [35, 36, 37]. Pentru orice altă formă geometrică a

circuitului feromagnetic, dispersiile cresc și valoarea câmpului în fier scade. Acesta este motivul pentru care circuitul feromagnetic s-a ales toroidal.

Considerațiile de mai sus sînt valabile și la circuitul feromagnetic toroidal cu întrefier mare. Dacă conductorul este deplasat din centrul secțiunii transversale, de o parte sau alta a axei S-S' (fig.2.3), câmpul nu mai are simetrie față de S-S' dispersia crește și valorile factorului de transformare și liniarității sînt afectate.

Pentru a păstra structura rețelei de elemente finite din fig.3.4 se consideră cazul deplasării conductorului, către circuitul feromagnetic, de-a lungul axei S-S', fig.3.5. Elementele afectate conductorului, indicate prin tabloul ICDB(p) satisfac condiția de a fi dispuse în cel puțin două straturi. Rezultă:

TRALAG 09:  $R_g=0,125$  m;  $R_{14}=0,175$  m;  $r=0,130$  m.

Conductor deplasat de-a lungul axei S-S' către fier.

TRALAG 10:  $R_g=0,125$  m;  $R_{14}=0,175$  m;  $r=0,130$  m.

Conductor deplasat de-a lungul axei S-S' către întrefier.

Influența variației proprietăților magnetice în timp și cu temperatura.

În timp se produce o înrăutățire a proprietăților magnetice, datorită fenomenului de îmbătrînire. În literatura de specialitate [76, 77, 78] se indică modificarea permeabilității magnetice cu 6 % la 600 ore de funcționare și 120°C temperatura miezului feromagnetic. Cifra este dată pentru tablă Fe-Si laminată la cald. Pentru tablele laminate la rece, cazul circuitului feromagnetic al sensorului de curenți, îmbătrînirea este mai lentă și nesemnificativă [78].

Se poate verifica influența îmbătrînirii asupra valorii factorului de transformare și liniarității, considerînd  $\mu = f(b)$  translatată cu 10 % în jos. Se modifică numai subprogramul de neliniaritate a fierului la varianta TRALAG 03, rezultînd programul TRALAG 11.

Variația temperaturii mediului ambiant între -30 și +60°C, nu are, practic, influență asupra modificării proprietăților magnetice [76]. Modificări importante apar numai la temperaturi mai mari ca 200°C. În consecință, nu este cazul a trata numeric acest caz de influență.

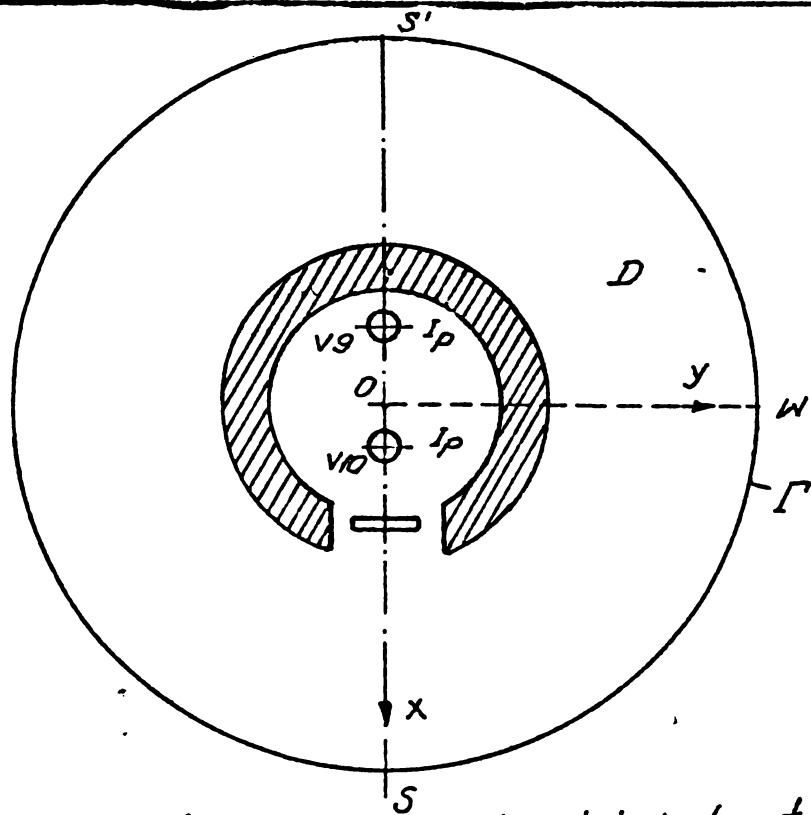


Fig. 3.5. Cazul conductorului deplasat din centrul secțiunii transversale a circuitului feromagnetic.

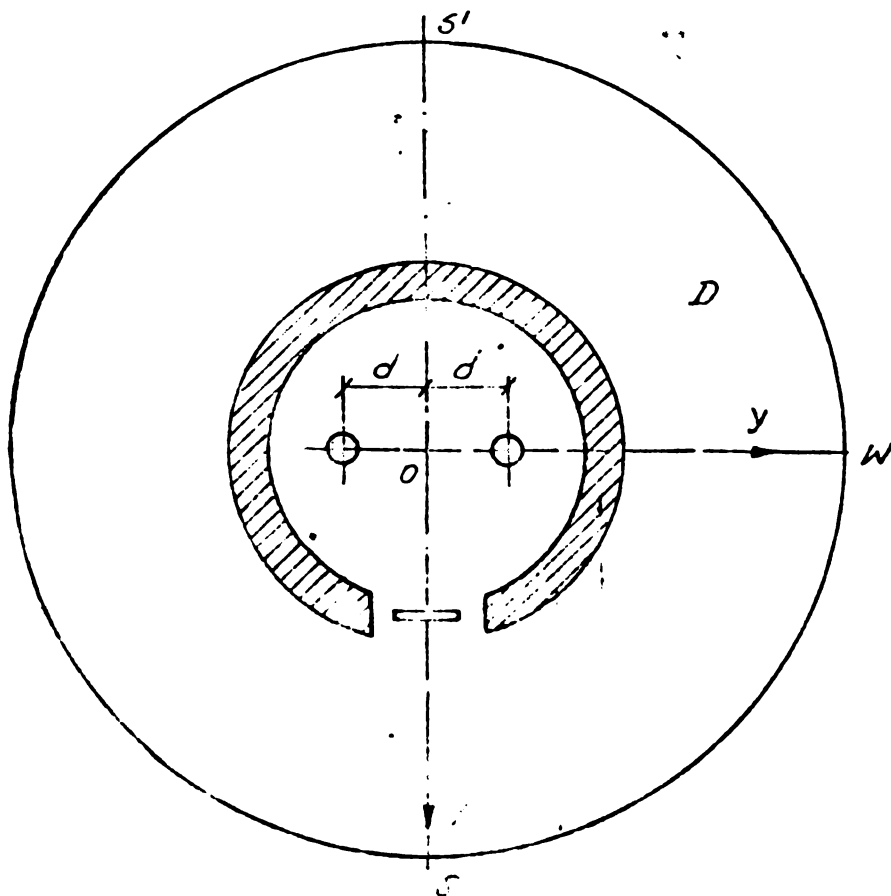


Fig. 3.6. Cazul a două conductoare simetrice în raport cu axa  $y$  (cu potențiali magnetici egali  $V_9 = V_{10} = V$ )

### 3.1.2. Aproximarea câmpului în domeniul D pentru conductor cu rază echivalentă mărită.

Toate considerațiile de mai sus au fost făcute considerînd cazul câmpului creat în sensor cu conductor unic (cazul câmpului la 220 kV). Pentru tensiuni ale rețelei față de sol mai mari de 220 kV, intervine, ca efect nedorit, efectul Corona. Pentru diminuarea acestuia, s-a mărit raza echivalentă a conductorului de transport a energiei prin folosirea a două funii identice OL-AL-75/430 în paralel și distanțate la 400 mm între axe. (fig.3.5)

Considerînd axa S-S' trecînd prin jumătatea distanței între cele două conductoare în paralel, domeniul D de aproximare a câmpului este similar celui cu conductor unic. Structura rețelei de elemente finite de aproximare din fig.3.4 rămîne **neschimbată. Se modifică numai tablourile RAZA(RC), ALFA(ka), ICBB(p) și NEIBB(m), iar conductorul se consideră deplasat pe axa ordonatelor - O-O' fig.3.5 - și cu cel puțin două straturi de elemente.**

Rezultă:

THALAG 12:  $h_9=0,250$  m;  $h_{14}=0,300$ ;  $h_{17}=0,130$  m;  $d=0,200$  m.

Conductorul deplasat din centru pe axa ordonatelor cu  $d=200$  mm.

Toate considerațiile din paragraful 3.1.1, precum și interpretarea rezultatelor numerice rămîn valabile și aici.

Observație. În cele 12 variante ale programului THALAG se calculează factorul de transformare pentru 25 valori ale măsurandului cuprinse între 50A și 20.000A. Notîndu-se cu KITJ numărul iterației de curent, valorile măsurandului sînt:

KITJ= 1	$I_p = 50$ A
KITJ= 2	$I_p = 100$ A
KITJ= 3-12	$I_p = 200$ (KITJ-2) A
KITJ=13-20	$I_p = 1000$ (KITJ-10)A
KITJ=21-25	$I_p = 2000$ (KITJ-15)A

Se calculează eroarea de liniaritate folosind relațiile (2.135) și (2.136).

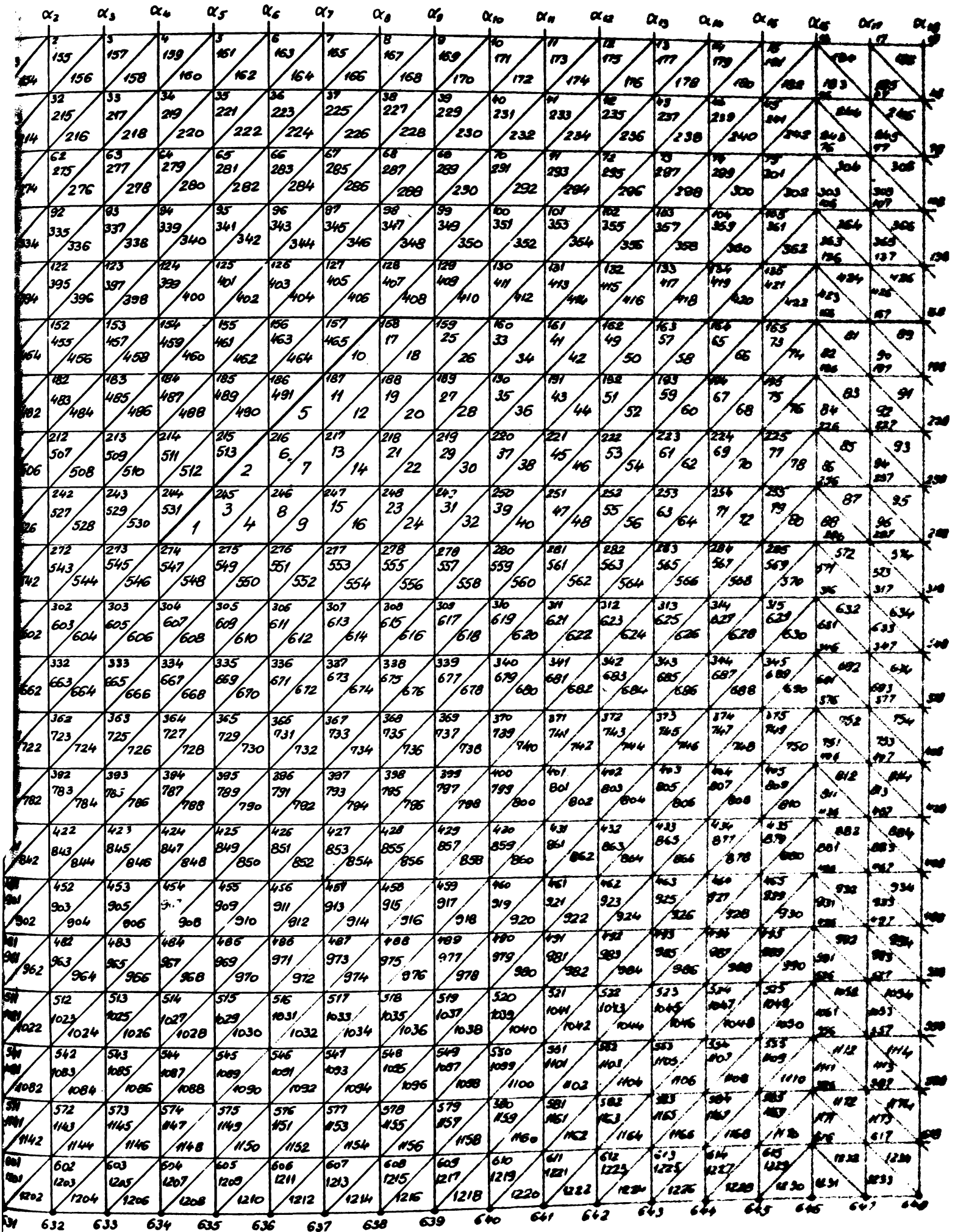


Fig. 3.7. structura rețelei de elemente finite pentru aproximarea cimpului în domeniul  $D'$   
- pg.1 -

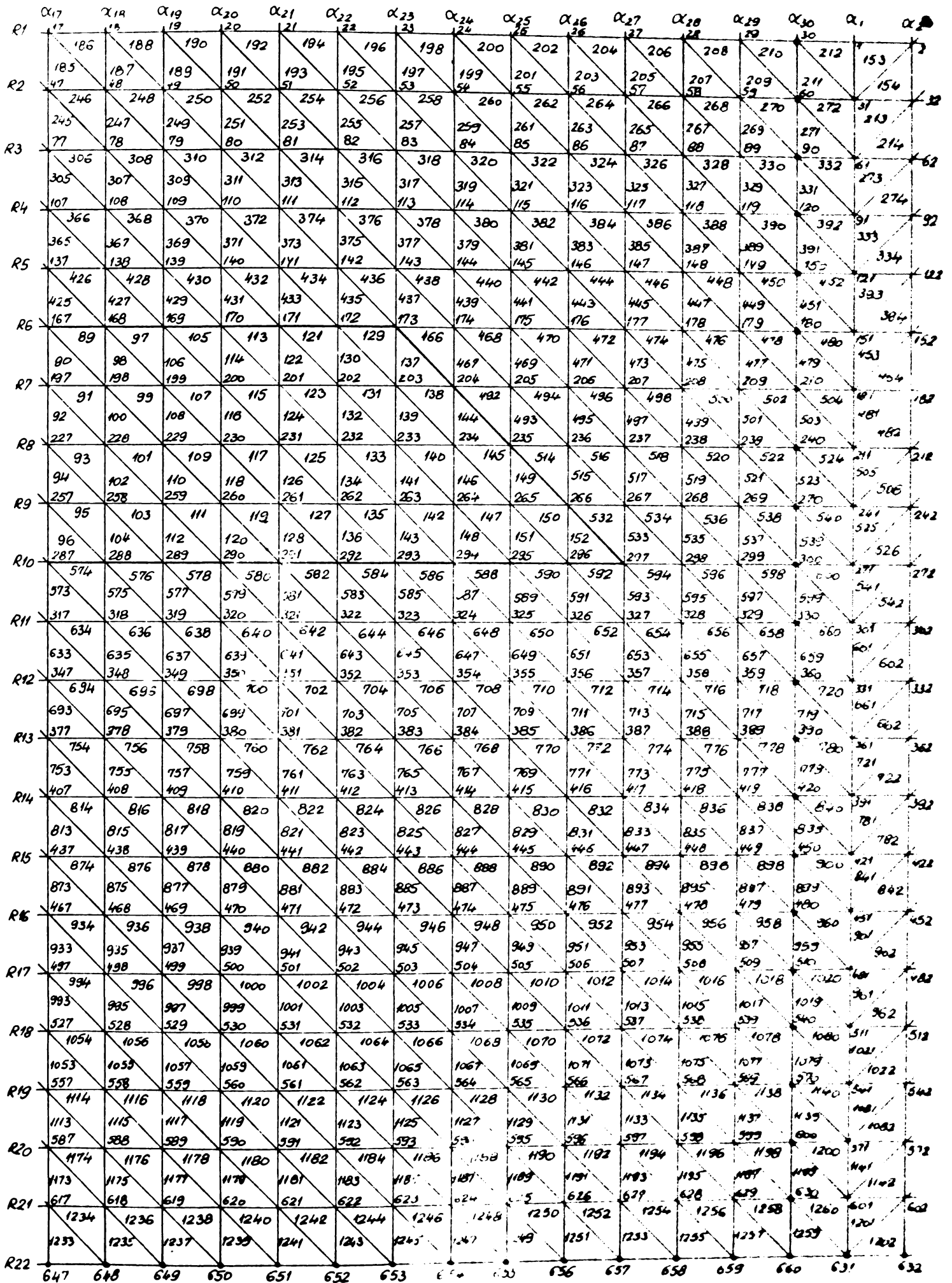


Fig. 3.7. Structura rețelei de elemente finite pentru aproximarea cimpului in domeniul  $D$

### 3.1.3. Aproximarea câmpului în domeniul D'.

Pentru calculul erorii datorate câmpurilor magnetice create de curenții din conductoarele vecine celui străbătut de măsurand - eroarea datorată câmpurilor magnetice parazite - se aproximează câmpul în domeniul D' delimitat în fig.2.13. Rețeaua de elemente finite se generează respectând cele 9 considerațiuni din paragraful 3.1.1; structura ei este redată în fig.3.7.a și 3.7.b.

Elementele finite - triunghiuri liniare sînt obținute prin diagonalizarea patrulaterelor rezultate în urma intersecțiilor dintre  $NC=22$  cercuri și  $NU=30$  raze vectoriale. Rețeaua de elemente finite conține  $n_p=660$  noduri și  $n_e=1260$  elemente. Deoarece razele vectoriale intersecțiază fiecare cerc pe toată circumferința sînt necesare două linii de schimbare a sensului de diagonalizare; ele corespund razelor vectoriale notate cu  $\alpha_1$  și  $\alpha_{16}$  în fig.3.7.a. Numărul maxim de elemente vecine unui nod rămîne  $n_{v_{max}}=6$ .

Cu toate că

$$30 = NU > NC = 22$$

lățimea de bandă minimă se obține numerotînd succesiv nodurile de-a lungul cercurilor; lățimea de semibandă rezultată este  $LB=32$ .

Coordonatele nodurilor se calculează prin program pe baza datelor furnizate prin tablourile RAZA(22) și ALFA(30).

Eroarea datorată câmpurilor magnetice parazite se determină utilizînd relația (2.169) pentru  $i=4$  valori ale măsurandului:

$$\begin{aligned} i=1 & I_{pn} = 500 \text{ A} \\ i=2 & I_{pn} = 1000 \text{ A} \\ i=3 & I_{pn} = 2000 \text{ A} \\ i=4 & I_{pn} = 3000 \text{ A} \end{aligned}$$

Programul de rezolvare numerică a acestei probleme, folosind varianta 2 din paragraful (2.9) poartă numele INCOVEC 2.

## 3.2. STABILIREA VARIABILELOR SI A REPREZENTARII REȚELEI DE ELEMENTE FINITE IN CALCULATOR

### 3.2.1. Stabilirea variabilelor.

Rezolvarea numerică a problemei de câmp pe baza aproximării câmpului real cu o rețea de elemente finite necesită urmă-

toarele faze de calcul:

- a. - determinarea coeficienților din matricea echivalentă semibenzii superioare a matricii  $[L]$  și a termenilor liberi din vectorul  $[IL]$ ;
- b. - determinarea valorilor nodale ale potențialului magnetic ca soluție a sistemului (2.31) ținând cont de neliniaritatea fierului;
- c. - determinarea valorilor intensității câmpului magnetic în elementele afectate corpului optic transparent și efectuarea integrării numerice pentru obținerea  $U_{mmYAB}$ ;
- d. - determinarea factorului de transformare al senzorului de curent și a erorii sale de calcul -  $k$ , respectiv,  $\xi_k$ ;
- e. - operațiile a, b, c, d se repetă pentru fiecare din cele 25 valori ale măsurandului, calculându-se în final eroarea de liniaritate.

Rezolvarea primei faze ține cont de toate caracteristicile rețelei de aproximare și asigură elementele necesare fazei a doua de calcul. Coeficienții din matricea echivalentă și termenii liberi se determină pe baza algoritmului prezentat în paragraful 2.6.1 cunoscând:

- 1.- NP= numărul total de noduri al rețelei de aproximare;
- 2.- NE= numărul total de elemente;
- 3.- NBS= numărul de noduri active = numărul de ecuații ale sistemului (2.31);
- 4.- NFLR= numărul afectat ultimului element din fier (elementele din fier se numerotează de la 1 la NFLR inclusiv);
- 5.- NALR= ultimul element din aer;
- 6.- NFR= numărul afectat primului nod de pe frontiera  $\Gamma$ ;
- 7.- NML= numărul maxim de elemente vecine unui nod;
- 8.- NC= numărul de cercuri ale rețelei;
- 9.- NU= numărul de raze vectoriale;
- 10.- NB= lățimea semibenzii superioare a matricii  $L$ ;
- 11.- DENS= densitatea de curent ca proprietate de conducție a elementelor din conductorul străbătut de curent;

- 12.- RAZA(NC)= tabloul valorilor celor NC raze;
- 13.- ALFA(NU)= tabloul unghiurilor de inclinație a celor NU raze vectoriale față de direcția OX;
- 14.- NERVE(NES, NEM)= tabloul elementelor vecine celor NLS noduri active;
- 15.- MNEL(NE, 3)= tabloul nodurilor de definire pentru fiecare din cele NE elemente;
- 16.- ~~MEL(ME)~~ tabloul proprietăților magnetice inițiale ale celor NE elemente.
- 17.- ICDB(p)= tabloul celor p elemente din conductorul străbătut de curent.

Ca rezultat al primei faze se obțin tablourile:

- 18.- EQLB(NLS, LB)= tabloul coeficienților din cele NLS linii ale matricii  $[L]$  și aparținând semibenzii superioare;
- 19.- FP(NLS, 2)= tabloul termenilor liberi (în prima coloană sînt termenii liberi determinați din problema de cîmp, iar în cea de a doua coloană - termenii liberi pentru calculul preciziei de rezolvare a sistemului).

Faza a doua de calcul impune rezolvarea sistemului de ecuații

$$[EQLB] \times [A] = [TL_1, TL_2] \quad (3.4)$$

Soluția sistemului cu vectorul  $[TL_1]$  este aceeași cu soluția sistemului (2.13); prin folosirea matricii echivalente cu semibanda superioară a matricii  $[L]$  s-a făcut economie de timp de calcul și memorie calculator.

Valorile nodale ale potențialului magnetic scalar = soluție a problemei de cîmp sînt sintetizate în tabloul.

20.- ASOL (NLS)

iar soluția numerică cunoscută, prin

21.- LSOL (NLS)

Soluțiile finale ale sistemului de ecuații (3.4) se obțin numai în urma aplicării algoritmului de considerare a neliniarității fierului. Inducțiile finale din elementele aparținînd circuitului feromagnetic sînt sintetizate în tabloul.

22.- IINDFER (NFER)

Rezolvarea celei de a treia fază de calcul necesită utilizarea tabloului:

23.- NEIDH(m)= tabloul celor m elemente prin care trece linia mediană longitudinală a mediului optic transparent.

Prin algoritm se determină de către calculator lungimile  $L_e$  pe linia mediană în fiecare element și se face integrarea numerică rezultând.

24.- HYDL (KI1J)= valoarea  $U_{\text{MAYAB}}$  pentru valoarea măsurandului indicată de iterația KI1J.

Intermediar, se folosesc tablourile:

25.- HY (m)= tabloul valorilor intensității câmpului magnetic pe direcția OY în fiecare din cele m elemente afectate mediului optic transparent.

26.- DL (m)= tabloul valorilor  $\Delta L$ .

Determinarea factorului de transformare se face utilizând relația (2.122). Pentru aceasta se introduc tablourile:

27.- IP (25)= tabloul celor 25 valori ale măsurandului.

28.- K (25)= tabloul celor 25 valori ale factorului de transformare.

29.- EPSK (25)= tabloul erorilor de calcul a celor 25 valori de factor de transformare.

La terminarea iterațiilor de curent se rezolvă ultima fază de calcul numeric, pentru care, se afectează variabila:

30.- LIN= eroarea de linearitate calculată pe baza relațiilor (2.135) și (2.136).

Rezolvarea numerică a problemei de influența a câmpurilor magnetice parazite prin programul MCOVEC 2 necesită introducerea tablourilor:

31.- FFR (NBS)= tabloul valorilor reale ale termenilor liberi.

32.- FFI (NBS)= tabloul valorilor imaginare ale termenilor liberi.

33.- ASOLR (NBS)= tabloul valorilor nodale reale ale potențialului magnetic.

34.- ASOLI (NBS)= tabloul valorilor nodale imaginare ale potențialului magnetic.

35.- HYh (n)= valorile reale ale intensității câmpului magnetic în cele n elemente afectate mediului optic.

36.- HYI (m) = valorile imaginare ale intensității câmpului magnetic în cele m elemente afectate mediului optic.

37.- HYDLR (25).

38.- HYDLI (25).

Valorile reale respectiv imaginare ale  $U_{mmYAB}$  pentru cele 25 valori ale măsurandului.

39.- ICDBS (ps) = tabloul celor ps elemente din conductorul fazei S.

40.- ICDBR (pr) = tabloul celor pr elemente din conductorul fazei R.

41.- ICDBT (pt) = tabloul celor pt elemente din conductorul fazei T.

### 3.2.2. Reprezentarea rețelei de elemente finite în calculator.

Cîmpul aproximat ca rețeaua de elemente finite se reprezintă în calculator prin acele variabile și tablouri care dau informații complete despre structura rețelei. Aceste informații trebuie să permită calculul coeficienților matricii echivalente [EQLB], termenilor liberi și integralei numerice.

Toate cîmpurile approximate prin structura de rețea din fig.3.4, variantele calculate prin TRAMAG 01 - TRAMAG 11, se reprezintă prin:

NP	= 540	NC	= 20
NE	= 988	NU	= 27
NBS	= 513	RAZA	(20)
NFER	= 175	ALFA	(27)
NAER	= 936	NLLVE	(513, 6)
NFR	= 514	NNLL	(988, 3)
NEE	= 6	PLG	(988)
LB	= 20	NEIDA	(3)

Cîmpul aproximat în domeniul  $D'$  prin structura de rețea din fig.3.7.a,b, se reprezintă prin:

NP	= 660	LB	= 32	RAZA	(22)
NE	= 1260	NC	= 22	ALFA	(30)
NBS	= 630	NU	= 30	NLLVE	(630, 6)
NFER	= 152	ICDBS	(60)	NNLL	(1260, 3)

NAEE = 630	ICDBH (4)	PLG (1260)
NFR = 631	ICDBI (4)	NEIDH (10)
NEM = 6		

### 3.3. STABILIREA STRUCTURII PROGRAMULUI DE CALCUL NUMERIC

Structura programului depinde de volumul de memorie calculator ocupat, de existența sau nu a unor operații sau grup de operații la care se apelează repetitiv și de facilitatea modificărilor simple în program pentru rezolvarea numerică a tuturor variantelor cerute în formularea problemei de câmp.

În cazul de față se urmărește rezolvarea problemei de câmp în domeniul D ca cele 12 variante (TRALAG 01 - TRALAG 12) și în domeniul D' - cu programul INCOVEC 2. Cele 12 variante de calcul numeric cu programul TRALAG trebuie să păstreze intactă structura programului, modificările afectând numai setul de date.

Pentru ambele domenii se alege soluția cu program principal din care se fac apelări la subrutine. Se disting trei subrutine:

- 1.- SUBROUTINE EQALBS: determină coeficienții matricii echivalente semibenzii superioare a matricii [L] și termenii liberi, atât pentru problema de câmp cât și pentru soluția impusă.
- 2.- SUBROUTINE RESISTGS: rezolvă sistemul de ecuații (3.4) prin metoda eliminării lui Gauss. S-a ales această variantă, deoarece, numărul maxim de ecuații, la ambele programe, este sub 660 și programarea se face simplă.
- 3.- SUBROUTINE PER (ALIU, B, PER, KTP) prin care se face alegerea permeabilității magnetice PER în funcție de permeabilitatea ALIU din iterația de neliniaritate precedentă și inducția magnetică B. Variabila KTP este o variabilă de control.

Se pune problema dacă rezolvarea numerică a problemei de câmp necesită apelarea la fișiere de date sau nu. Pentru aceasta se analizează volumul de memorie calculator ocupat de variabile și tablouri.

### 3.3.1. Structura programului TRAMAG.

Considerînd 4 octeți/variabilă pentru precizie simplă [71, 72, 73], tablourile PMG(983), NELVE(513, 6), NNEL(983, 3), ASOL(513), ESOL(513), NEIDH(8), EQLB(513, 20), FP(513, 2), INDFER(175), RAZA(20) și ALFA(27) ocupă 78 320 octeți.

Rezervarea de memorie ocupă mai mult decît un modul de 64 Kilocteți; se impune segmentarea programului. În același timp, însă, chiar cu volumul de memorie afectat programului complet, compilării și editării de legături nu se depășește 100 pagini de memorie. Calculatorul FELIX C 255 dispune de mai mult de 100 pagini de memorie (128 pagini de memorie = 256 kiloocteți) și deci, segmentele programului pot fi înlanțuite de **liniar de editarea de legături** [71, 72].

Tablourile PMG(NE), NELVE(NES,NER), NNEL(NE,3), ASOL(NES), EQLB(NES,NS) și FP(NES,2) sînt folosite atît de programul principal cît și de primele două subrutine; de aceea ele vor fi definite prin blocul COMMON. Segmentarea fără arborescență poate fi definită numai prin două blocuri COMMON cu denumiri distincte:

COMMON/BLOC 1/.

COMMON/BLOC 2/.

Subrutinele folosite sînt cele indicate mai sus.

### 3.3.2. Structura programului INCOVEC 2.

Tablourile PMG(1260), NELVE(630, 6), NNEL(1260, 3), ASOLR(630), ASOLI(630), ASOL(630), EQLB(630, 32), LPR(630), FPI(630), INDFER(152), NEIDH(10), RAZA(22), ALFA(30) și ICDBS(60) ocupă un volum de memorie calculator mai mare de 128 kiloocteți (64 pagini de memorie). Împreună cu volumul de memorie ocupat de celelalte variabile și tablouri, de programul complet, de compilare și editare de legături nu se efectează mult de 100 pagini de memorie.

Deoarece volumul de memorie rezervat ocupă mai mult de două module de 64 kiloocteți, se impune segmentarea în trei blocuri distincte:

COMMON/BLOC 1/.

COMMON/BLOC 2/

COMMON/BLOC 3/.

Capacitatea de memorie a calculatorului FELIX C 256 permite înălțuirea liniară a celor trei segmente de către editorul de legături.

Se observă că tabloul EQMB(630, 32) ocupă  $630 \times 32 \times 4 = 80640$  octeți. Depășind modulul de 64 kiloocteți este necesară desfacerea acestuia în două tablouri și fiecare din acestea în segmente COMMON diferite:

EQMB1 (315, 32); EQMB2 (315, 32).

Similar se desface tabloul FP(630)=FP1(315) și FP2(315).

Lin această cauză primele două subrutine se modifică față de cele utilizate în programul TRALAG. Rezulta.

1.- SUBROUTINE EQMBSR

2.- SUBROUTINE RESISTFL

Subrutina FLR (ALIU, B, PER, KTR) rămâne neschimbată.

### 3.4. ELABORAREA PROGRAMULUI PRINCIPAL SI A SUBRUTINELOR

Programul principal TRALAG și cele trei subrutine au fost astfel concepute încât, cele 12 variante de calcul numeric necesită numai schimbarea a patru tablouri de date: KAZA(NC), ALFA(NU), ICDB(p) și NLIDH(m). Acestea conțin un număr mic de cartele de date, 10, și sînt citite ultimele.

Subrutinele EQMBSR, RESISTGS și FLR(ALIU, B, PER, KTR) nu suferă nici o modificare în cele 12 variante.

Numărul mare de cartele afectate programului principal și subrutinelor, 635, și datelor, 400, a impus introducerea programului principal și a datelor ce nu se schimbă pe disc. În acest mod s-a făcut economie de timpul necesar lecturării cartelelor, compilării și link - editării. În fig.3. este indicată organigrama programului principal TRALAG.

Programul LICOVLC 2 se complica comparativ cu TRALAG. În primul rînd, programul principal impune determinarea FP1(630) din FP(630), rezolvarea celor două sisteme de ecuații, determinarea componentei reale și a celei imaginare a  $U_{\text{REYAB}}$ , precum

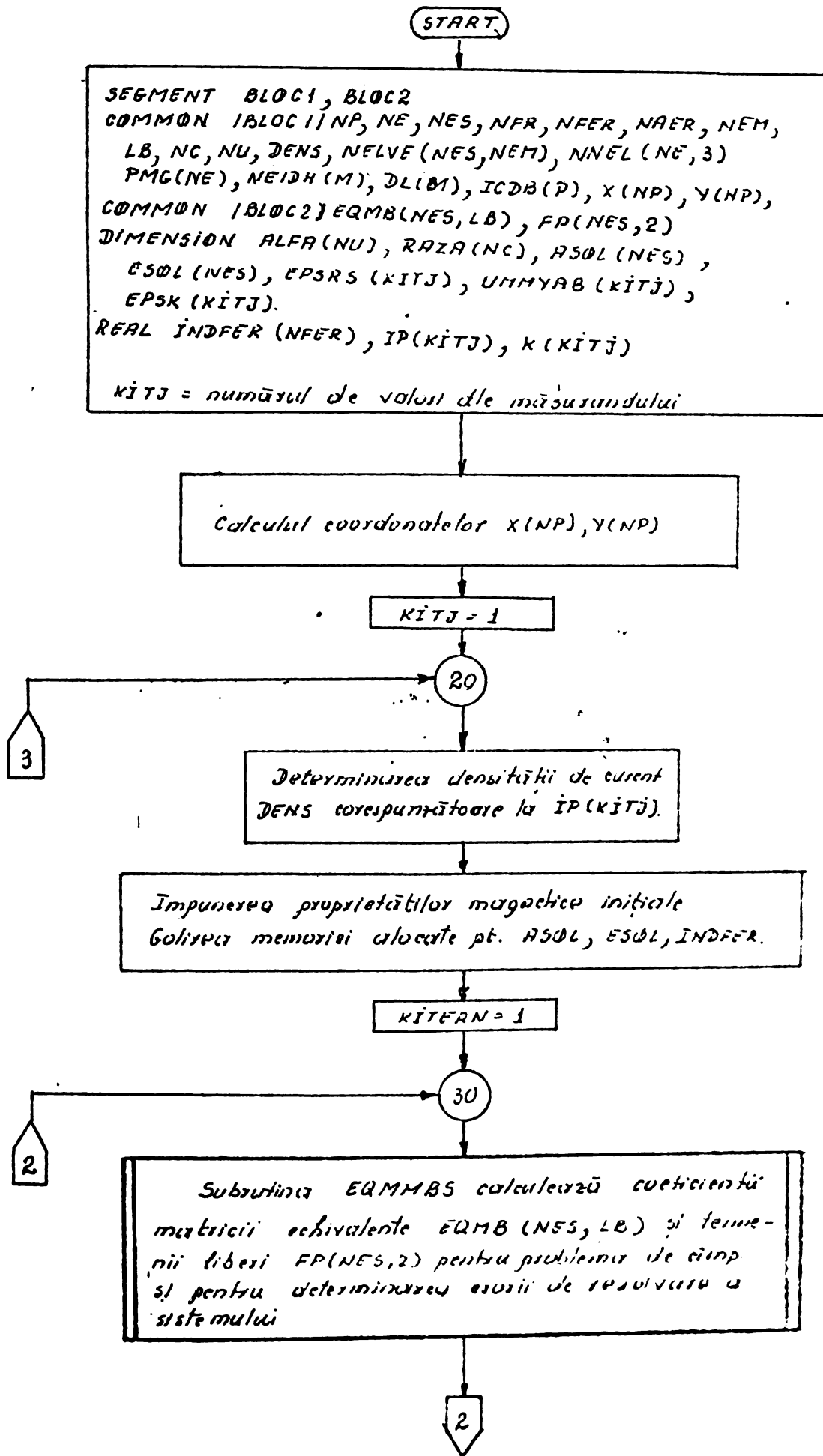


Fig. 3.8. Ordinogramul programului principal TRAMAG

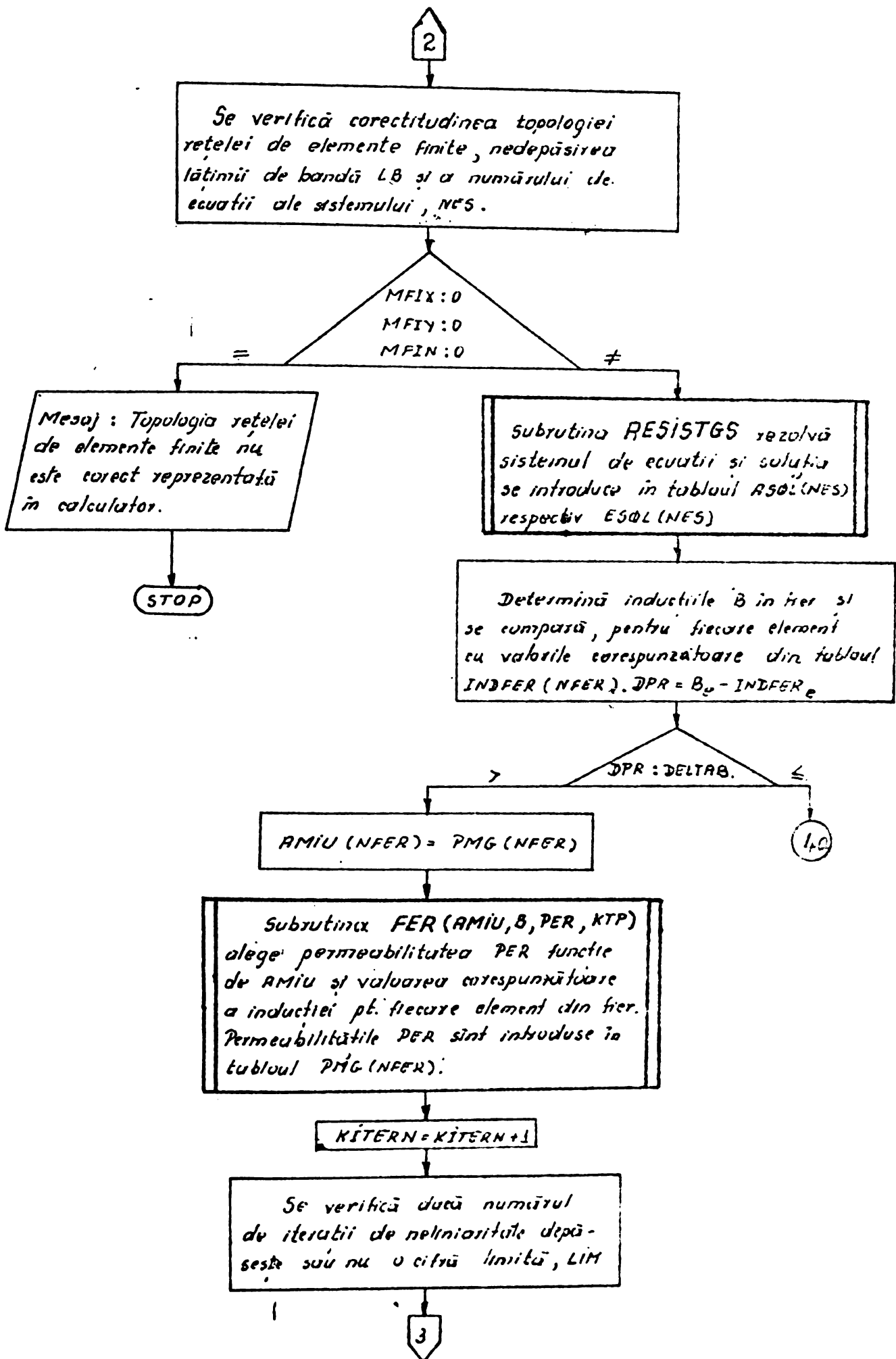


Fig. 3.8. Ordinograma programului principal TRAMAG

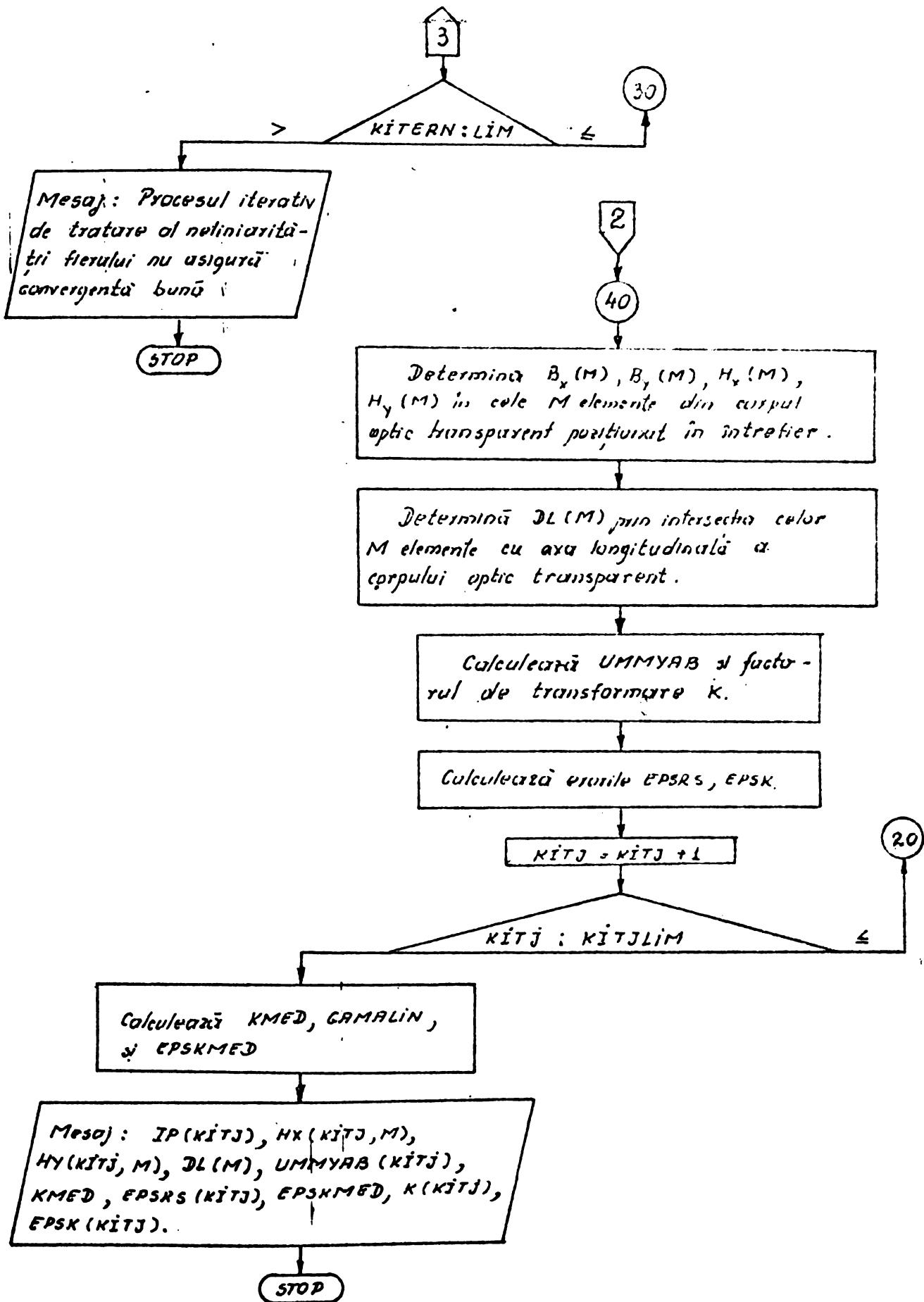


Fig. 3.8. Ordinograma programului principal TRAMAG

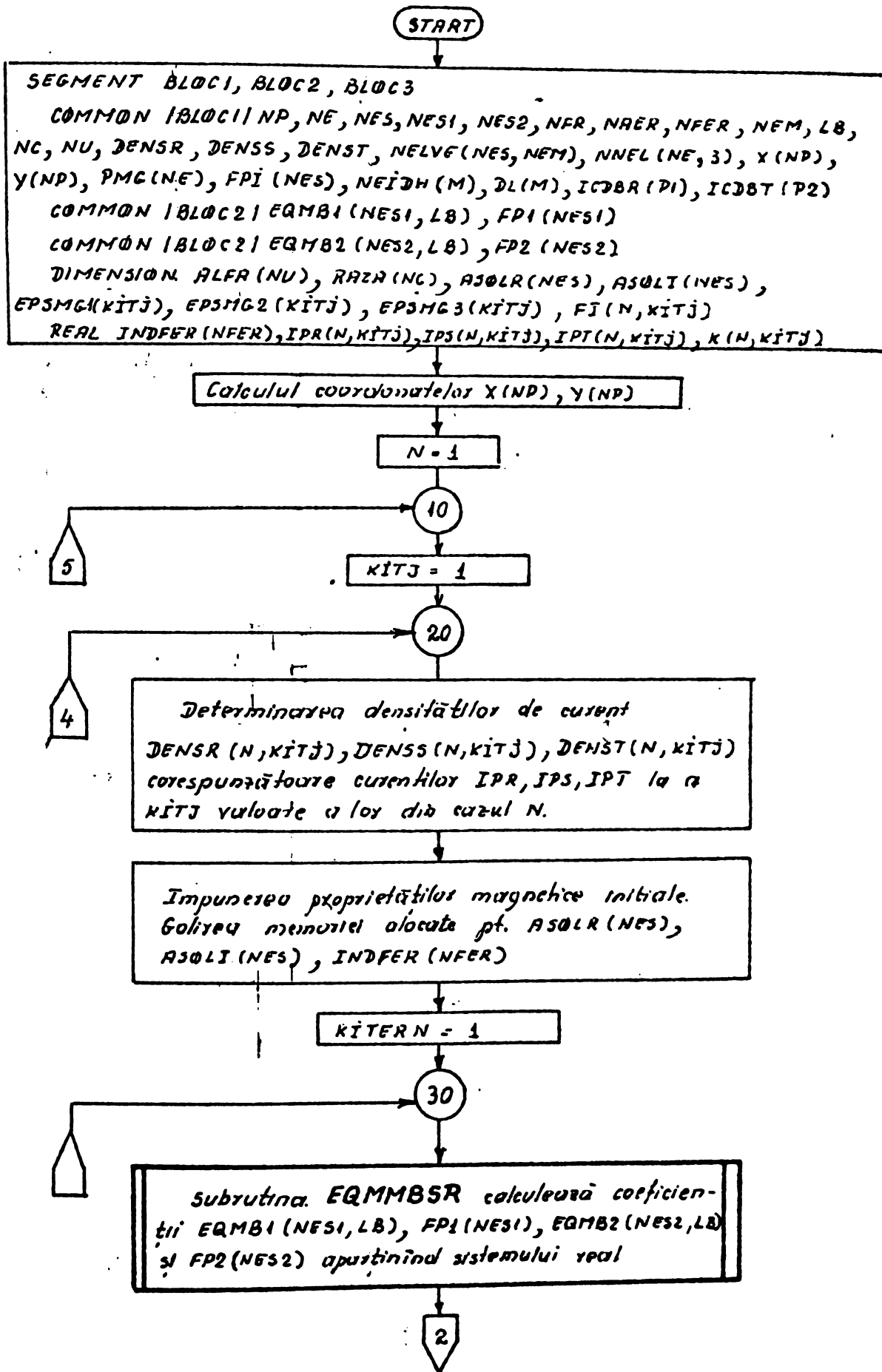


Fig. 3.9. Ordinograma programului principal INCQVEC 2.  
pg. 1

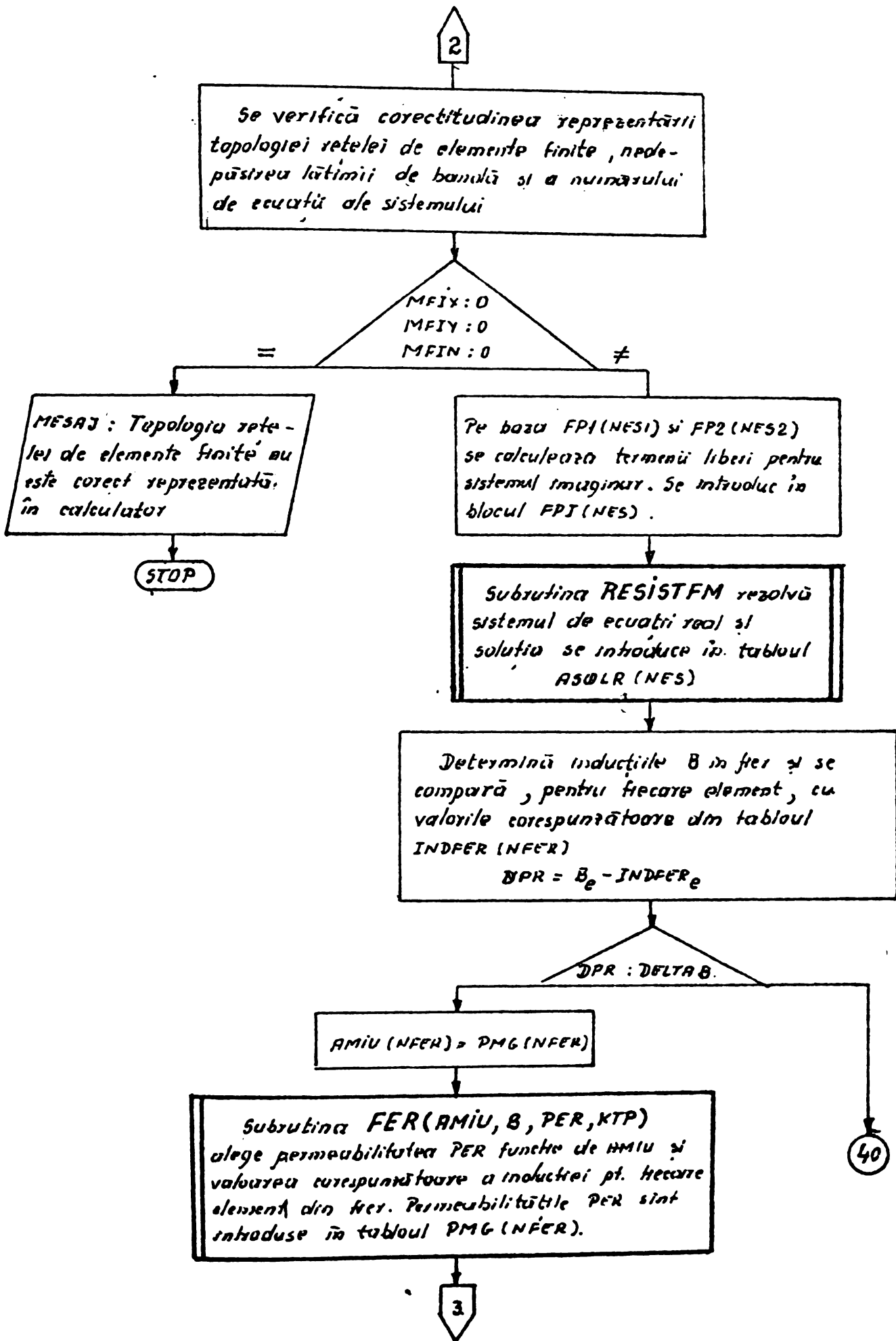


Fig. 3.9. Ordinarea programului principal INCOVEC2  
pg. 2.

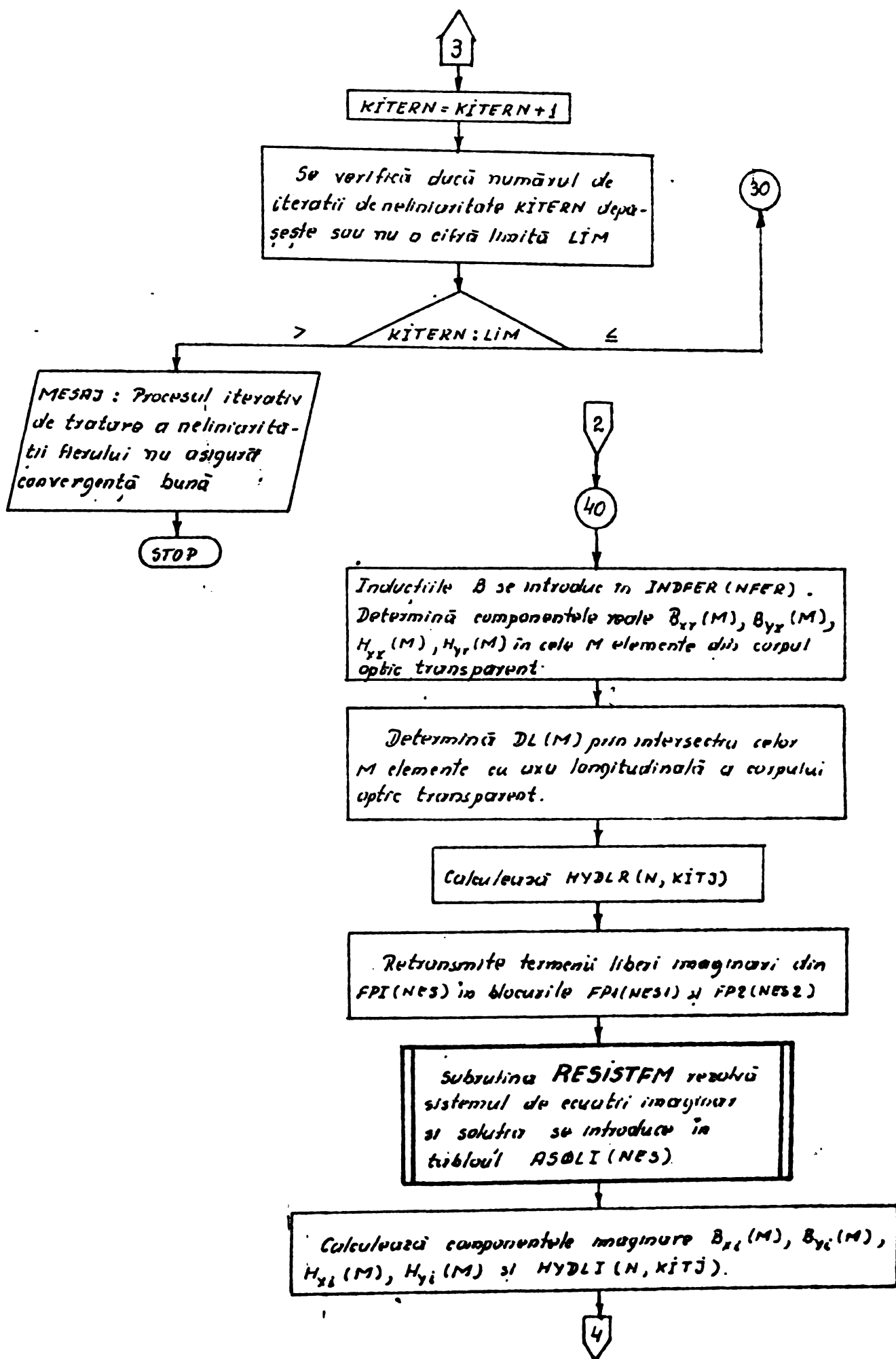


Fig. 3.9. Ordinograma programului principal INCOVEC2

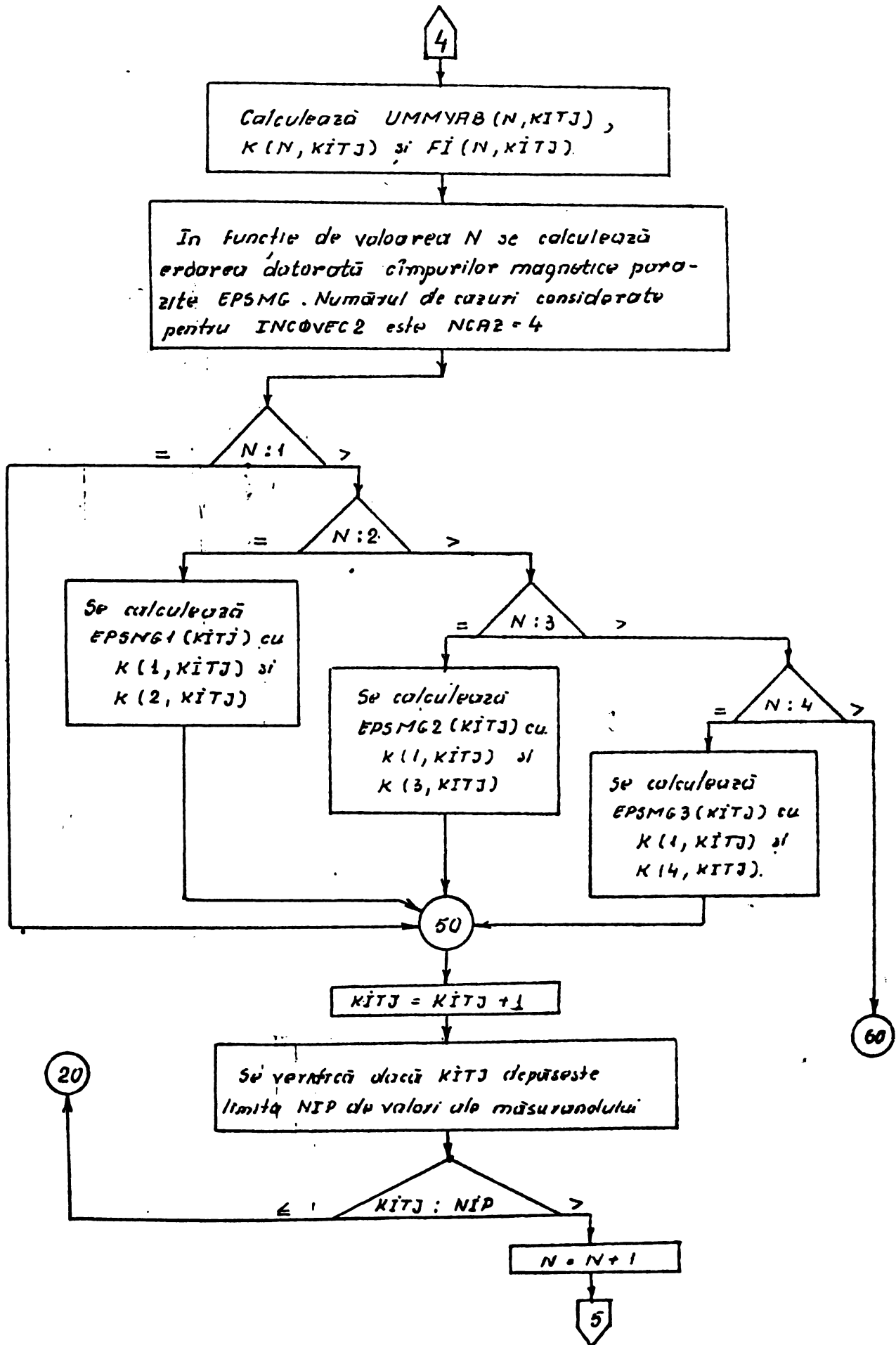


Fig. 3.9. Ordinograma programului principal. INCOVEC2

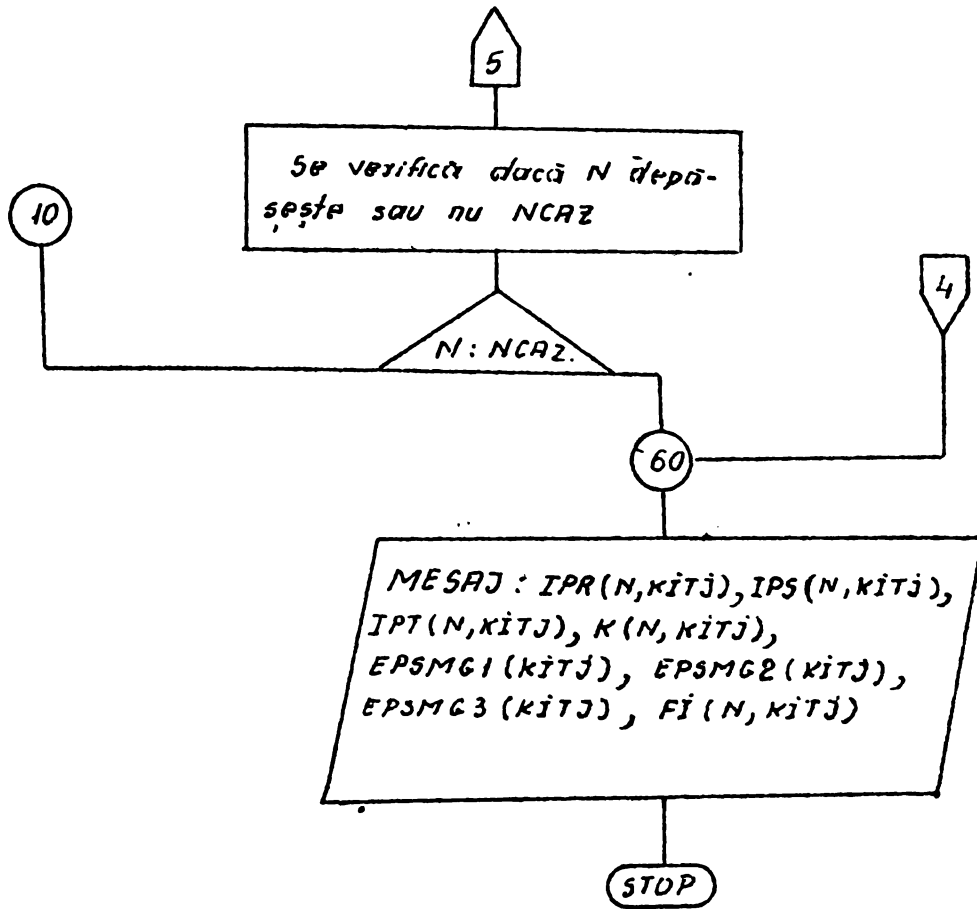


Fig. 3.9. Ordinograma programului principal **INC0VEC2**

pg.5

și a defazajului introdus de câmpurile parazite între  $U_{mnYAB}$  și  $I_p$

$$\varphi = \text{arc tg} (\text{HYDLI}/\text{HYDLR}) \quad (3.5)$$

Subrutina EQMMBSR calculează coeficienții matricii echivalente și termenului liber din tablourile EQMB1 (NES1, LB), EQMB 2 (NES2, LB), FP1 (NES 1) și FP 2 (NES 2), ținând cont că în fiecare tablou indicele ia valori între 1 și NES1 = NES2 = 315.

Problema se complică și mai mult la conceperea subrutinei de rezolvare a sistemelor foarte mari de ecuații. În primul rând trebuie ales algoritmul numeric în funcție de numărul de ecuații al sistemului și în al doilea rând, trebuie ținut cont de existența coeficienților și termenilor liberi în două blocuri COMMON diferite.

Ținând cont că NES = 630 < 660 ecuații, autorul prezentei lucrări a conceput două subrutine de rezolvare a sistemelor foarte mari de ecuații în coeficienții matricii echivalente și termenului liber cuprinse în două sau trei module de 64 kiloocteți :

- RESISTEM în care se utilizează procedeul direct de eliminare a lui Gauss, și
- RESISTCH, folosind procedeul lui Cholesky.

În fig.3.9 este redată ordinograma programului principal INCØVEC 2.

#### OBSERVATII

Programele principale TRANAG și INCØVEC 2, precum și subrutinele aferente sînt concepute de autor și constituie contribuții originale. Ele pot fi folosite pentru rezolvarea numerică a oricărei probleme de câmp în medii izotrope, omogene sau neomogene descrise de ecuația lui Poisson.

Programul INCØVEC 2 prezintă interes prin aceea că, rezolvă numeric o problemă de câmp cu mărimi complexe fără a face apel la variabila complexă. Folosind judicios memoria calculatorului, autorul a reușit să realizeze programul fără a face apel la fișiere de date și deci, calculul

numeric se execută în timp relativ scurt și la cost redus.

Subrutinele RESISTFM și RESISTCH constituie contribuțiile autorului la îmbogățirea bibliotecii de programe la calculatoarele FELIX C 256 din Timișoara.

### 3.5. PRELUCRAREA REZULTATELOR NUMERICE

Listingerile rezultatelor numerice în cele 12 variante ale programului TRAMAG cuprind fiecare :

- valoarea măsurandului IP(KITJ), a factorului de transformare K(KITJ) și a erorii sale de determinare EPSK(KITJ) pentru 25 de valori ale măsurandului (KITJ = 1,2, ... 24, 25; IP = 50 - 20000 A)
- valoarea medie a factorului de transformare - KMED și eroarea sa de determinare, EPSKMED ;
- eroarea de liniaritate GAMALIN.

Eroarea datorată câmpurilor magnetice create de curenții din conductoarele vecine celui străbătut de măsurand se determină în două variante.

VARIANTA 1.  $R_1 = 0,125 \text{ m}$  ;  $R_0 = 0,175 \text{ m}$  ;  $\delta = 0,130 \text{ m}$

$$d_{R-S} = d_{T-S} = 7 \text{ m}$$

$$\text{caz 1} - I_{pS} = I_{pSn} ; I_{pT} = I_{pR} = 0$$

$$\text{caz 2} - I_{pR} = 0 ; I_{pS} = I_{pSn}/10 ; I_{pT} = I_{pSn}$$

$$\text{caz 3} - I_{pR} = 0 ; I_{pS} = I_{pSn} ; I_{pT} = 40 I_{pSn}$$

VARIANTA 2.  $R_1 = 0,125 \text{ m}$  ;  $R_0 = 0,175 \text{ m}$  ;  $\delta = 0,130 \text{ m}$

$$d_{R-S} = d_{T-S} = 4,4 \text{ m}$$

$$\text{caz 1} - I_{pS} = I_{pR} = I_{pT} = I_{pSn}$$

$$\text{caz 2} - I_{pR} = I_{pT} = I_{pSn} ; I_{pS} = I_{pSn}/10$$

$$\text{caz 3} - I_{pR} = 0 ; I_{pS} = I_{pSn} ; I_{pT} = 40 I_{pSn}$$

$d_{R-S} = d_{T-S}$  = distanța conductoarelor fazelor T și R față de conductorul fazei S străbătut de măsurand.

Erorile  $\epsilon_{mg.ji}$  determinate în prima variantă se folosesc pentru comparare cu cele indicate în literatura de specialitate [23]. Cele determinate în varianta a doua sînt corespunzătoare unei stații normale de 220 kV și iau în considerare trei cazuri de funcționare a rețelei de transport a energiei.

Cele două variante sînt rezolvate numeric cu programul INC@VEC 2. Listingurile cuprind :

- IPR (I), IPS(I), IPT(I), K(I), valorile curenților prin conductoarele celor 3 faze și valoarea factorului de transformare în cazul existenței numai a măsurandului ;
- IPR1(I), IPS1(I), IPT1(I), K1(I), EPSMG1(I) și FI1(I) valorile curenților, factorului de transformare, erorii  $\epsilon_{mg}$  și unghiului de defazaj în primul caz de funcționare a rețelei;
- IPR2(I), IPS2(I), IPT2(I), K2(I), EPSMG2(I) și FI2(I), valorile în al doilea caz;
- IPR3(I), IPS3(I), IPT3(I), K3(I), EPSMG3(I) și FI3(I) în al treilea caz.

În urma unei analize atente a rezultatelor calculului numeric efectuat în condițiile enunțate anterior pentru un singur conductor de transport a energiei pe fiecare fază (cazul sensorului de curent utilizat la 220 kV), rezultă următoarele :

1. - Pentru poziția centrală a conductorului străbătut de măsurand, variind raza interioară  $R_1$  a circuitului feromagnetic cu păstrarea grosimii  $G$  la aceeași valoare, fig.3.10, se obține un maxim pentru factorul de transformare  $k_{med}$  și un minim pentru eroarea de liniaritate la  $R_1 = 0,08$  m.

Pentru cazul  $I_p = 50$  A - 20000 A, fig.3.10.a, la  $R_1 > 0,08$ ,  $k_{med}$  scade și  $\mu_{lin}$  crește comparativ cu valorile la  $R_1 = 0,08$  m. Prin creșterea razei interioare se mărește distanța circuitului feromagnetic de curentul ce generează cîmpul iar valorile inducției magnetice în fier și în întrefier scad. Acest

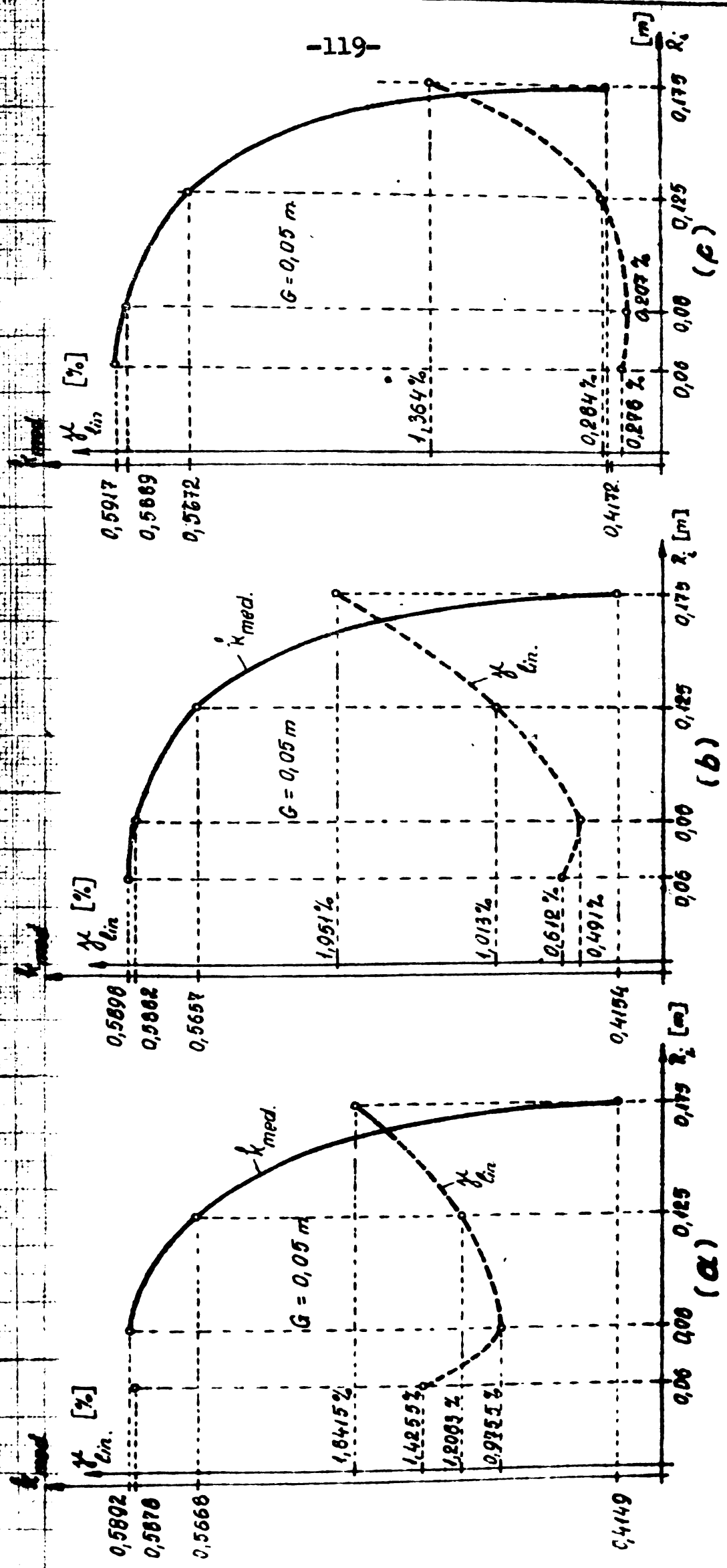


Fig. 3.10. Dependenta factorului mediu de transformare  $k_{med}$  și erorii de linie  $k_{lin}$  de raza interioară  $R_i$  a circuitului feromagnetic pentru poziții centrale a conductorului străbătut de măsurand: a. -  $I_p = 60A + 20000A$ ; b. -  $I_p = 50 + 4000A$ ; c. -  $I_p = 400A + 4000A$ .

fenomen duce inevitabil la micșorarea valorică a diferenței de potențial magnetic  $U_{\text{max}AB}$  și deci, a factorului de transformare.

Prin micșorarea inducției magnetice în fier, valoarea inducției de saturație în elemente se atinge la valori ale măsurandului cu atât mai mari cu cât raza interioară  $R_1$  este mai mare. Ilustrare a acestui fenomen o constituie și valoarea măsurandului pentru care se obține maximul factorului de transformare. Astfel,  $k_{\text{max}}$  apare când

$$I_p = 4000 \text{ A} \quad \text{pentru } R_1 = 0,08 \text{ m} ; G = 0,05 \text{ m},$$

$$I_p = 6000 \text{ A} \quad \text{pentru } R_1 = 0,125 \text{ m} ; G = 0,05 \text{ m și}$$

$$I_p = 8000 \text{ A} \quad \text{pentru } R_1 = 0,175 \text{ m} ; G = 0,05 \text{ m}$$

Mărirea erorii de liniaritate odată cu creșterea razei interioare este explicabilă tot prin fenomenul de mai sus. Cu cât  $k_{\text{max}}$  apare la o valoare mai mare a măsurandului, cu atât variația factorului de transformare este mai mare la valori mici ale curentului. Din curbele trasate în fig.3.10.b și 3.10.c se observă că pentru  $R_1 = 0,08$  și  $R_1 = 0,125$  m, variația cea mai mare a factorului  $k$  este la  $I_p < 400$  A; pentru  $R_1 = 0,175$  m eroarea de liniaritate nu scade atât de accentuat ca în celelalte două cazuri, ceea ce înseamnă că, limita superioară a măsurandului cu variații accentuate a lui  $k$  crește.

La micșorarea razei interioare,  $R_1 = 0,06$  m, valoarea inducției de saturație se atinge la un curent  $I_p$  mai mic decât în cazul  $R_1 = 0,08$  m. Dovadă,  $k_{\text{max}}$  se obține la  $I_p = 3000$  A. Această înseamnă că valoarea maximă a factorului de transformare este în acest caz mai mare decât cea corespunzătoare lui  $R_1 = 0,08$  m, dar, apar variații accentuate a factorului  $k$  la valori  $I_p > 3000$  A. Astfel, la  $I_p = 20000$  A este mai mică decât cea corespunzătoare la  $I_p = 50$  A; așa se explică scăderea factorului  $k_{\text{med}}$  la  $R_1 = 0,06$  m față de  $k_{\text{med}}$  la  $R_1 = 0,08$  m pentru  $I_p = 50 \text{ A} + 20000 \text{ A}$  (fig.3.10.a).

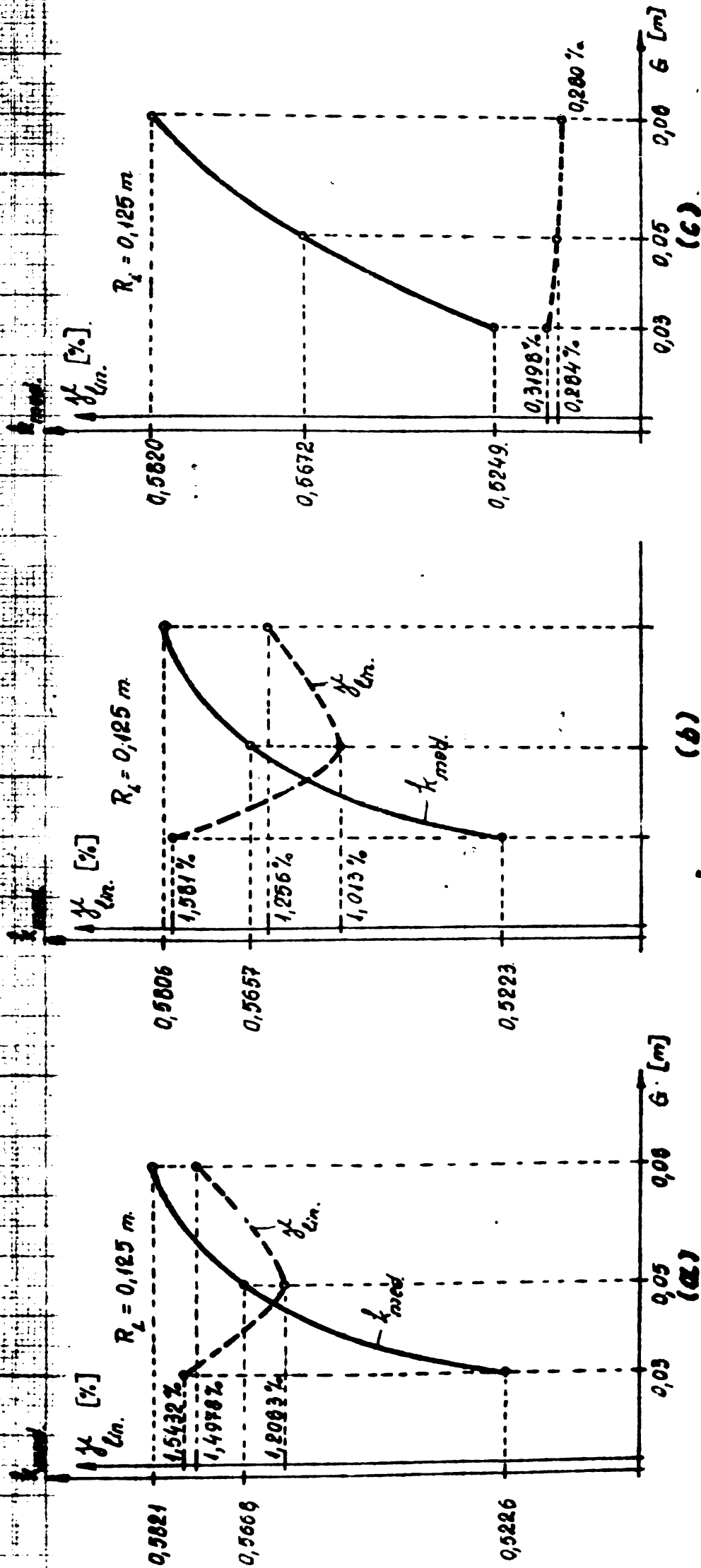


Fig. 3.11 Dependenta factorului mediu de transformare  $k_{med}$ , si erorii de liniaritate  $\delta_{lin}$  de gradul 6 a circuitului feromagnetic pentru pozitii centrale a conductorului strabolut de masurare: a. -  $I_p = 50A + 20000A$ ; b. -  $I_p = 50A + 4000A$ ; c. -  $I_p = 400A + 4000A$ .

La valori ale curentului  $I_p = 50 \text{ A} \div 4000 \text{ A}$  și  $I_p = 400 \text{ A} \div 4000 \text{ A}$ , fig.3.10.b și c. și în cazul  $R_1 = 0,06 \text{ m}$  eroarea de liniaritate scade pronunțat dar se menține cu ceva mai mare față de cazul  $R_1 = 0,08 \text{ m}$ .

Eroarea  $\delta_{\text{lin}} = 0,207$  pentru intervalul de măsurare  $I_p = 400 \text{ A} \div 4000 \text{ A}$  în cazul  $R_1 = 0,08 \text{ m}$ ,  $G = 0,05 \text{ m}$ , este comparabilă cu cea indicată de literatura de specialitate pentru sensorul tip solenoid masiv [23].

2. - În condițiile poziționării conductorului străbătut de măsurand în axa longitudinală a circuitului feromagnetic toroidal și a variației grosimii circuitului feromagnetic la  $R_1 = \text{ct.}$ , rezultatele numerice ale programelor TRAMAG 03, TRAMAG 05 și TRAMAG 06 sînt sintetizate în fig.3.11.

Se observă că valoarea factorului de transformare crește odată cu creșterea grosimii  $G$ . Fenomenologic, rezultatele sînt corecte. Cu creșterea dimensiunii circuitului feromagnetic cresc dimensiunile tălpii polare, scade bombarea liniilor de cîmp în zona întrefierului și crește componenta  $B_y$  a inducției magnetice în zona centrală a întrefierului. Rezultă creșterea valorică a componentei după axa  $OY$  a intensității cîmpului magnetic, corespunzător, crește diferența de potențial magnetic  $U_{\text{mnyAB}}$  și deci, crește factorul de transformare  $k$ .

Pentru intervalele de măsurare  $50 \text{ A} \div 20000 \text{ A}$  și  $50 \text{ A} \div 4000 \text{ A}$ , eroarea de liniaritate minimă se obține pentru  $G = 0,05 \text{ m}$ . La micșorarea grosimii circuitului feromagnetic,  $G = 0,03 \text{ m}$ , eroarea de liniaritate crește mai mult decît în cazul măririi grosimii -  $G = 0,08 \text{ m}$ .

Creșterea erorii de liniaritate la  $G = 0,03 \text{ m}$  este explicată prin două fenomene ce acționează concomitent. În primul rînd, datorită micșurării

dimensiunilor tălpilor polare, bombarea liniilor de cîmp se accentuează și componenta  $H_y$  variază mai mult. În al doilea rînd, valoarea inducției de saturație se atinge la valori ale măsurandului mai mici decît în cazul  $G = 0,05$  m și  $G = 0,08$  m. Ca dovadă,  $k_{max}$  se obține la

$$I_p = 4000 \quad \text{pentru} \quad R_1 = 0,125 \text{ m}, \quad G = 0,03 \text{ m},$$

$$I_p = 6000 \quad \text{pentru} \quad R_1 = 0,125 \text{ m}, \quad G = 0,05 \text{ m} \text{ și}$$

$$I_p = 8000 \quad \text{pentru} \quad R_1 = 0,125 \text{ m}, \quad G = 0,08 \text{ m}$$

În cazul  $G = 0,03$  m, la  $I_p > 4000$  A, valoarea factorului de transformare scade, ajungînd ca valoarea  $k_{25}$  la  $I_p = 20000$  A, comparativ cu  $k_1$  la  $I_p = 50$  A să fie mai mică

$$k_{25} < k_1$$

Deci, eroarea de linearitate crește, în special datorită variației accentuate a factorului  $k$  la valori mari ale măsurandului.

În cazul creșterii grosimii circuitului feromagnetic,  $G = 0,08$  m, valoarea inducției de saturație se atinge în elemente la valori mari ale măsurandului. Variațiile mari ale valorii factorului de transformare apar în special la valori mici ale curentului de măsurat.

Curbele de variație  $\mu_{lin} = f(G)$  din fig. 3.11.b și 3.11.c, arată că variațiile accentuate ale factorului de transformare au loc pentru  $I_p < 400$  A. Eroarea de liniaritate pe intervalul de măsurare  $400 \text{ A} \div 4000 \text{ A}$  este foarte mică, în cazurile  $G = 0,05$  m și  $G = 0,08$  m.

3. - Sintetizînd considerentele enunțate mai sus, se pot trage trei concluzii cu importanță deosebită în alegerea dimensiunilor optime pentru circuitul feromagnetic.

a. - Liniaritate bună a senzorului de curent în intervalul de măsurare cu limitele de măsurare mari

se obține la grosime mare a circuitului feromagnetic și rază interioară cel mult 0,125 m. La raze mai mari, valoarea factorului de transformare scade accentuat și sensorul pierde din sensibilitate.

b. - La rază interioară mică și grosime mare, circuitul feromagnetic conduce la liniaritate bună într-un interval de măsurare 50 A - 4000 A și o liniaritate foarte bună dacă limita minimă crește la 400 A.

c. - Varianta optimă a circuitului feromagnetic este cu  $R_1 = 0,08$  m,  $G = 0,08$  m și lungime de cel puțin 0,062 m. Ea asigură un factor de transformare mare, liniaritate sub 1% pentru intervalul de măsurare 50 A ÷ 20000 A și liniaritate foarte bună pentru 400 A ÷ 4000 A.

4. - Variația temperaturii mediului ambiant, concretizată prin variația întrefierului  $\delta = 0,130$  m cu  $\pm 0,0006$  m la  $\Delta\theta = \pm 50^\circ\text{C}$ , afectează foarte puțin, practic deloc, valoarea factorului de transformare.

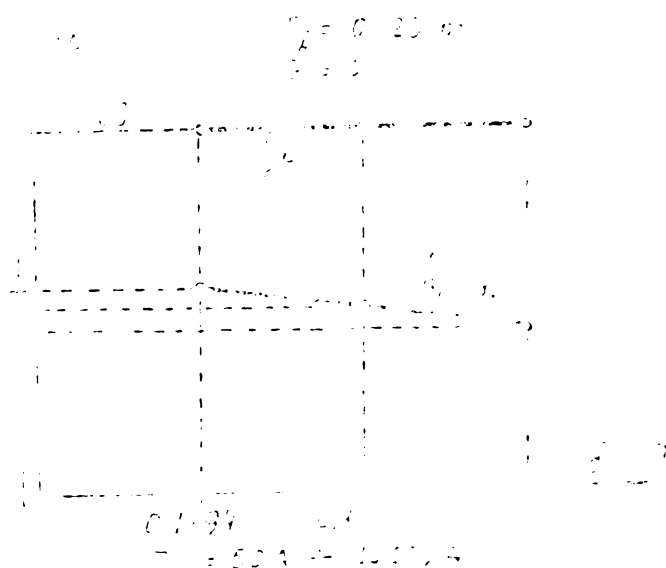


Fig.3.12. Dependența factorului de transformare mediu  $k_{med}$  și erorii de liniaritate  $\epsilon_{lin}$  de variația cu temperatura a întrefierului.  $R_1 = 0,125$  m,  $G = 0,05$  m, conductorul poziționat central.

Din fig.3.12 se observă că factorul de transformare

suferă modificări numai la a patra zecimală; modificarea reprezintă 0,018 % din valoarea la  $\Theta_0 = +20^\circ\text{C}$ . Eroarea de liniaritate rămâne practic constantă.

Diferențele între valorile medii față de cazul  $\delta = 0,130 \text{ m}$  apar datorită valorilor factorului de transformare la valori ale măsurandului  $I_p > 10000 \text{ A}$ . La un interval de măsurare  $50 \text{ A} \div 4000 \text{ A}$ , nici a patra zecimală a valorii factorului de transformare nu se modifică în cele trei cazuri.

Conform NORME STAS în vigoare, eroarea suplimentară datorată variației temperaturii mediului ambiant se indică numai pentru  $\Delta\Theta = \pm 10^\circ\text{C}$ . În cazul senzorului cu  $R_1 = 0,125 \text{ m}$ ,  $G = 0,175 \text{ m}$ ,  $\delta = 0,130 \text{ m}$ , dimensiunea întrefierului variază cu  $\pm 0,00012 \text{ m}$ .

Calculul numeric în variantele  $\delta = (0,130 + 0,00012) \text{ m}$  și  $\delta = (0,130 - 0,00012) \text{ m}$ , cu poziționarea centrală a conductorului străbătut de măsurand, indică  $k$  cu aceleași valori ca în cazul  $\delta = 0,130 \text{ m}$ . Rezultatul este explicabil, deoarece, variația întrefierului cu temperatura reprezintă 0,092% din valoarea  $\delta = 0,130 \text{ m}$ .

5. - Variația factorului de transformare și erorii de liniaritate cu poziția conductorului străbătut de măsurand în interiorul circuitului feromagnetic de dimensiune constantă este indicată în fig.3.13. Indiferent de intervalul de măsurare, fig.3.13.a, 3.13.b, sau 3.13.c, se observă că valoarea cea mai mare pentru  $k_{\text{med}}$  și valoarea cea mai mică pentru  $\mathcal{H}_{\text{lin}}$  se obține pentru poziția centrală a conductorului (poziția  $d_x = 0$ ).

Ținând cont de această concluzie, toate considerațiile următoare vor fi făcute comparativ cu poziția centrală a conductorului.

Se notează cu

$k_{\text{med.3}}$  și  $\mathcal{H}_{\text{lin.3}}$  - pentru cazul poziționării  $d_x = d_y = 0$ .

$k_{\text{med.9}}$  și  $\mathcal{H}_{\text{lin.9}}$  - pentru cazul poziționării  $d_x = -0,095 \text{ m}$   
 $d_y = 0$ .

și  $k_{\text{med.10}}$  și  $\mathcal{H}_{\text{lin.10}}$  - pentru cazul poziționării  $d_x = 0,05 \text{ m}$   
 $d_y = 0$

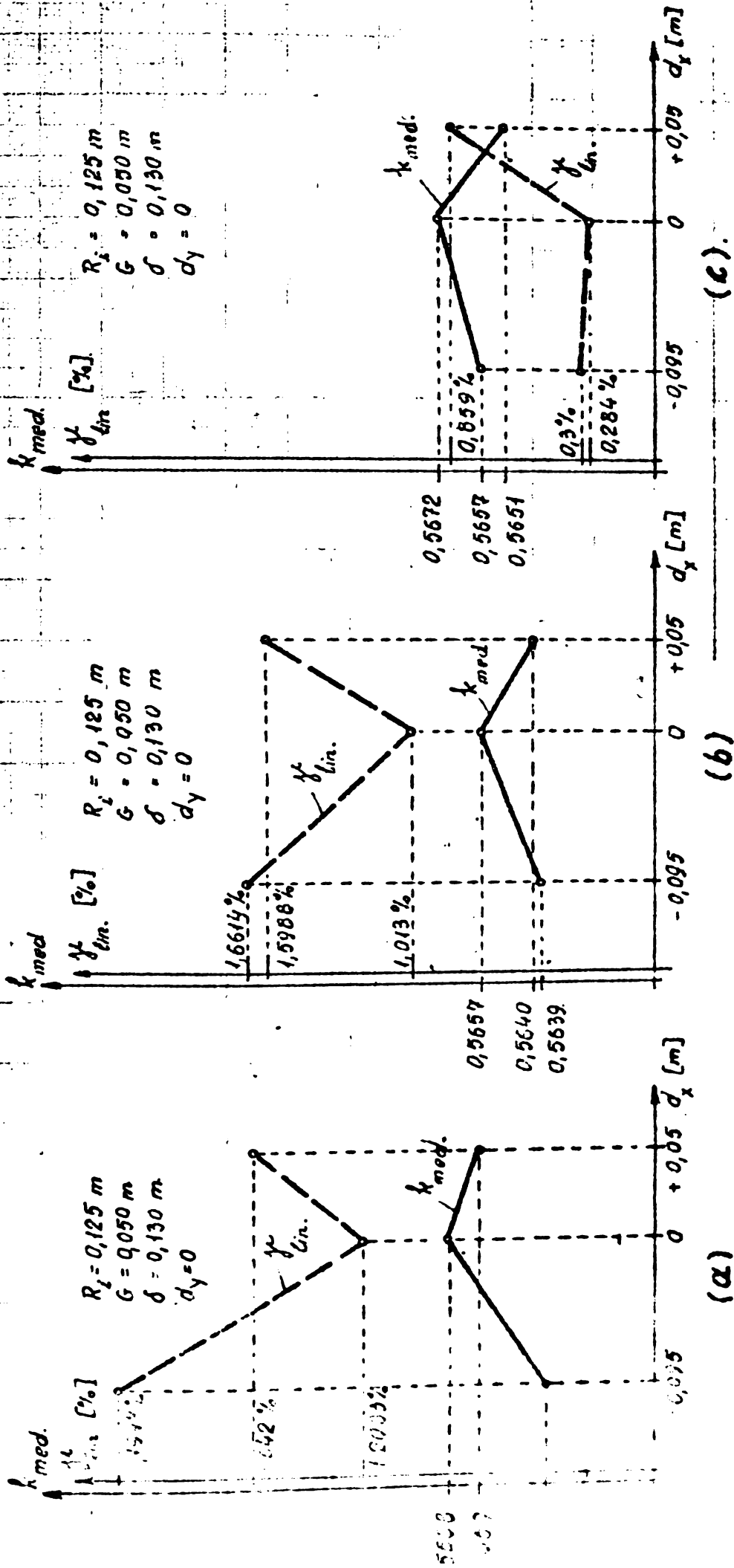


Fig. 3.13. Dependenta factorului mediu de transformare si erorii de linearitate  $\delta_{lin}$  de pozitia conductorului străbătut de măsurand în interiorul circuitului feromagnetic:  
 a. -  $I_p = 50 \text{ A} + 20000 \text{ A}$ ; b. -  $50 \text{ A} + 4000 \text{ A}$ ; c. -  $I_p = 400 \text{ A} + 4000 \text{ A}$ .

unde indicele numeric indică varianta de program TRAMAG cu care s-a efectuat calculul numeric al cimpului magnetic respectiv.

Studiind diagramele din fig.3.11 se observă că:

- diferența ( $k_{med.3} - k_{med.9}$ ) se micșorează pe măsură ce se restrânge intervalul de măsurare;
- diferența ( $k_{med.3} - k_{med.10}$ ) se mărește pe măsură ce se restrânge intervalul de măsurare;
- diferența ( $\mu_{lin.9} - \mu_{lin.3}$ ) se micșorează pe măsură ce se restrânge intervalul de măsurare, ajungând ca la  $I_p = 400 \text{ A} \div 4000 \text{ A}$  să aibă o valoare foarte mică
- diferența ( $\mu_{lin.10} - \mu_{lin.3}$ ) se mărește când se trece de la  $I_p = 50 \text{ A} \div 20000 \text{ A}$  la  $I_p = 50 \text{ A} \div 4000 \text{ A}$  și se micșorează la  $I_p = 400 \div 4000 \text{ A}$  dar se păstrează încă la valoare mare.

Observațiile de mai sus arată că poziționarea conductorului lângă fier duce la eroare de liniaritate mare pe de o parte datorită variațiilor factorului  $k_g$  la valori mici ale măsurandului, dar, în special variațiilor accentuate ale lui  $k_g$  la valori  $I_p > 4000 \text{ A}$ .

Fenomenologic, rezultatele se confirmă de teorie, deoarece, poziționarea conductorului lângă fier face ca inducția de saturație să fie atinsă la valori mai mici ale măsurandului în comparație cu poziția centrală și cea deplasată spre întrefier.

În tablourile INEFER(WFER) din programele TRAMAGO3 și TRAMAGO9 se constată că, în poziția centrală, elementele din fier de lângă axa OX și opus întrefierului ating saturația la  $I_p = 12000 \text{ A}$ , pe când în poziția deplasată cu  $d_x = - 9,095 \text{ m}$ ,  $d_y = 0$  a conductorului - la  $I_p = 4000 \text{ A}$ . Decarece, la  $I_p > 4000 \text{ A}$ , elementele lucrează în zonă puternic neliniară, de saturație, a curbei fundamentale de mag-

netizare,  $k_9$  are variații mari la  $I_p > 4000$  A. Listingul programului TRAMAGO9 arată că  $k_9$  la  $I_p = 20000$  este mai mic valoric decât la  $I_p = 50$  A.

În cazul poziționării conductorului către întrefier la  $d_x = 0,05$  m și  $d_y = 0$  față de centrul secțiunii transversale a sensorului, observațiile mai sus enunțate indică creșterea variației lui  $k_{10}$  în special în zona valorilor mici ale măsurandului. Limita superioară de curent pentru variații accentuate ale lui  $k_{10}$  este mai mare decât în cazul poziției centrale a conductorului.

Rezultatele se explică fenomenologic dacă se iau în considerare, și tablourile INDFER(NFER) din programul TRAMAG 10. Valoarea inducției de saturație, în elementele din fier mai sus considerate, se atinge la  $I_p = 14000$  A. În acest caz este clar că intervalul valoric al măsurandului pentru variații accentuate și factorului  $k_{10}$  este mai mare decât cel pentru  $k_3$ . Valoarea  $k_{10} < k_3$  se datorește faptului că prin deplasarea conductorului spre întrefier, inducțiile de lucru în fier se micșorează, și deci, se micșorează și permeabilitatea magnetică în elementele rețelei de aproximare a câmpului magnetic.

Pe baza considerațiilor de mai sus se pot trage trei concluzii :

a. - Din punctul de vedere al valorii atât a factorului de transformare cât și al erorii de liniaritate, soluția optimă o constituie poziția centrală a conductorului străbătut de măsurand.

b. - Pentru intervale mari de măsurare, exemplu  $I_p = 50$  A + 20000 A, deplasarea accidentală a conductorului spre fier duce la erori mari pentru sensorul de curent.

c. - Pentru intervale restrinse de măsurare,  $I_p = 400$  A - 4000 A, deplasarea accidentală a conductorului spre întrefier duce la erori mari pentru sensor, iar deplasarea spre fier pe axa OX afectează foarte puțin sensorul de curent propus de autor .

Concluziile enunțate mai sus au o importanță deosebită pentru luarea măsurilor tehnice corespunzătoare, care, să asigure funcționarea sensorului de curent cu erori minime.

6. - Variația în timp a proprietăților magnetice ale circuitului feromagnetic (fenomenul de îmbătrânire) este concretizată prin considerarea reducerii cu 10 procente a permeabilității magnetice. Influența acestei reduceri asupra valorii factorului de transformare și erorii de liniaritate este evidențiată în fig.3.14.

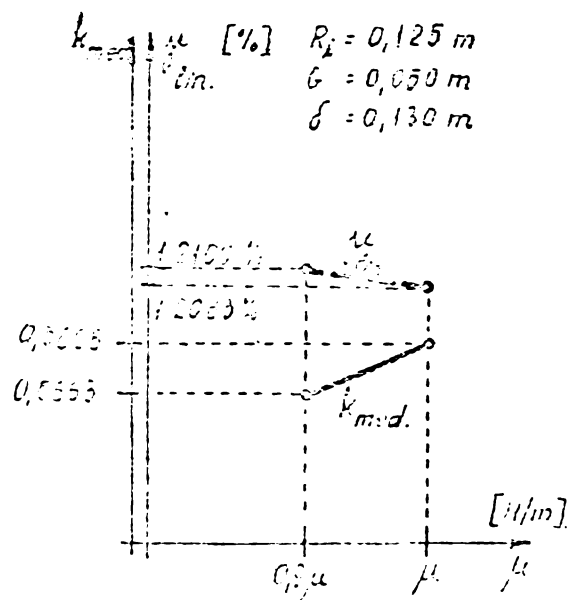


Fig.3.14. Dependența factorului mediu de transformare  $k_{med}$  și erorii de liniaritate  $f_{lin}$  de înrăutățirea proprietăților magnetice ale fierului

Ea se manifestă prin micșorarea nesubstanțială a factorului de transformare și o foarte mică creștere a erorii de neliniaritate. Micșorarea factorului  $k_{med}$  reprezintă 0,088% din valoarea cazului fără reducere a permeabilității magnetice, iar creșterea erorii de liniaritate reprezintă 0,14%. Rezultatele numerice ale programului TRAMAG 11 indică valoarea lui  $k_{max}$  la  $I_p = 6000 \text{ A}$ , în mod identic ca în cazul programului TRAMAG 03. Diferențele se manifestă numai la

valori ale măsurandului mai mici de 400 A.

Fenomenul de îmbătrânire al fierului poate fi luat în considerare de realizatorii sensorului de curent propus. Fie se face o îmbătrânire forțată a circuitului feromagnetic, fie se ține cont de erorile cauzate de acest fenomen.

In orice caz, influența fenomenului de îmbătrânire asupra calității sensorului de curent este foarte mică.

7. - Influența cîmpurilor magnetice create de curenții prin conductoarele vecine celui străbătut de măsurand este concretizată prin eroarea  $\epsilon_{mg,ji}$ . Ea este determinată prin programul INC@VEC 2 pentru cazurile enumerate la începutul paragrafului și la cele  $i = 4$  valori ale măsurandului.

Rezultatele numerice, în ambele variante, indică cea mai defavorabilă situație pentru  $I_p = 3000$  A. Pentru această valoare a măsurandului rezultatele numerice ale programului INC@VEC 2 sînt sintetizate în fig.3.15 pentru prima variantă și în fig.3.16 pentru cea de a doua variantă.

Se notează cu  $\epsilon'_{mg2} = 3\%$  și  $\epsilon'_{mg3} = 10\%$  valorile indicate în [23] pentru cele două cazuri din prima variantă iar cu  $\epsilon_{mg2}$  și  $\epsilon_{mg3}$  calculate numeric prin program. Din fig.3.15, curba erorii, se observă că

$$0,716 \% = \epsilon_{mg2} < \frac{1}{4} \cdot \epsilon'_{mg2} = 0,75 \%$$

$$2,317 \% = \epsilon_{mg3} < \frac{1}{4} \cdot \epsilon'_{mg3} = 2,5 \%$$

Pe baza celor de mai sus se poate trage concluzia că sensorul de curent propus de autor este mult mai avantajos decît sensorul cu solenoid masiv. Erorile ce afectează măsurarea curentului în cele două cazuri de avarie a rețelei de transport a energiei sînt mult mai mici, deoarece, circuitul feromagnetic ecranază practic cîmpul creat în sensor față de cîmpurile magnetice parazite.

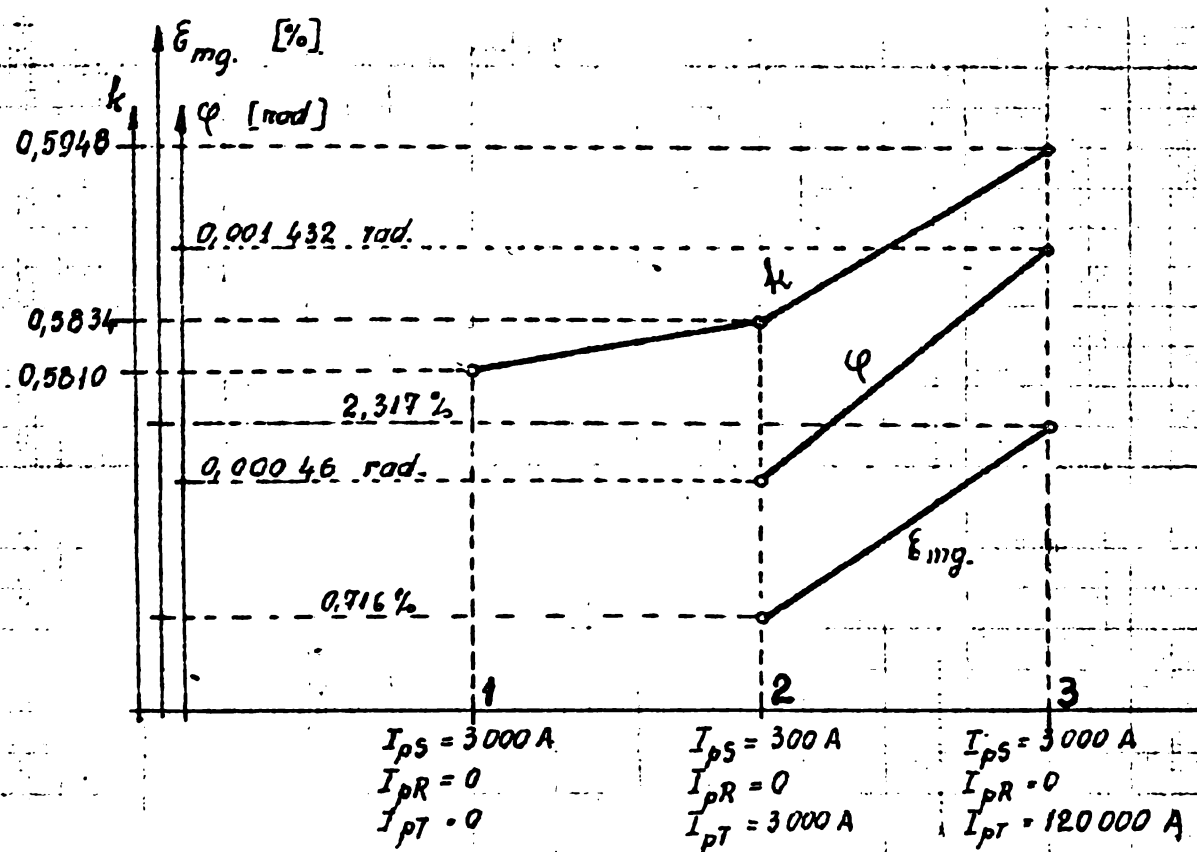


Fig. 3.15. Influența cîmpurilor magnetice create de curenții din conductoarele vecine celui străbătut de măsurand, în Varianta 1.  $d_{R-S} = d_{T-S} = 7$  m.

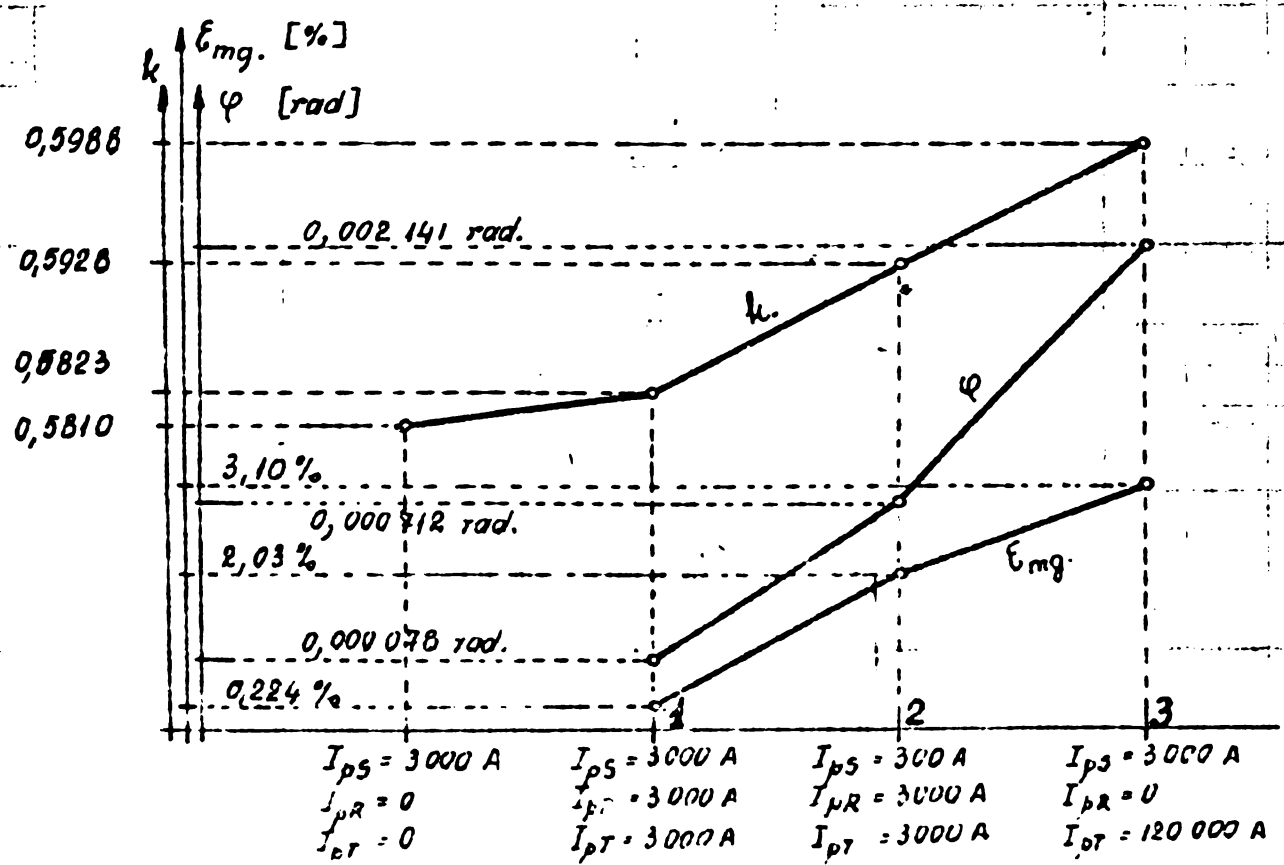


Fig. 3.15. Influența cîmpurilor magnetice create de curenții din conductoarele vecine celui străbătut de măsurand, în Varianta 2.  $d_{R-S} = d_{T-S} = 7,4$  m.

În fig.3.16, pentru o stație normală de 220 kV, s-au considerat două cazuri de avarie: cazul funcționării în nesimetrie simplă (cazul 2) și cazul cu un conductor normal, unul în gol și unul în scurtcircuit. (cazul 3). Cazul 3 de avarie este cel mai dezavantajos și poate apărea foarte rar în funcționarea rețelei de transport a energiei. Chiar în acest caz, eroarea nu depășește 3,1%. Pentru o stație de 400 kV unde conductoarele echivalente învecinate celui străbătut de măsurand sînt distanțate la mai mult de 6 m, eroarea maximă se micșorează.

Pe lîngă cele două cazuri de avarie, autorul prezintă rezultatele numerice și pentru funcționarea rețelei în regim normal de simetrie trifazate. Asupra erorii  $\epsilon_{mg.1}$  din acest caz literatura de specialitate nu face nici o referire. Din fig.3.16. se vede că eroarea  $\epsilon_{mg.1} = 0,224\%$  este foarte mică și defazajul introdus,  $\varphi = 0,000078$  rad. este extrem de mic. De eroarea  $\epsilon_{mg.1}$  se poate ține cont în etalonarea transformatorului magneto optic de curenți iar defazajul  $\varphi$  introdus este complet neglijabil față de valoarea unghiului de rotație magnetică.

In concluzie , sensorul de curenți propus de autor permite determinarea valorii măsurandului chiar și în regim de avarii cu erori acceptabile.

Toate considerațiile și concluziile de mai sus s-au referit la sensorul de curenți preconizat a fi utilizat în stațiile de 220 kV, unde transportul energiei pe o fază se face cu un singur conductor. Pentru o stație de 400 kV, transportul energiei echivalente se face cu un conductor echivalent, ca în fig.3.6.

7. - Rezolvarea numerică a problemei de câmp la un sensor de curenți preconizat a fi utilizat în stațiile de 400 kV conduce la următoarele rezultate :

$$\begin{aligned} I_p &= 50 - 20000 \text{ A} ; k_{med} = 0,5463 ; \delta_{lin} = 4,159 \% \\ I_p &= 400 - 20000 \text{ A} ; k_{med} = 0,5487 ; \delta_{lin} = 1,136 \% \\ I_p &= 400 - 2000 \text{ A} ; k_{med} = 0,5416 ; \delta_{lin} = 0,830 \% \\ I_p &= 800 - 2000 \text{ A} ; k_{med} = 0,5438 ; \delta_{lin} = 0,482 \% \end{aligned}$$

Eroarea de liniearitate mare, chiar la un interval restrîns de măsurare, este cauzată de apropierea conductoarelor de fier. La valori ale măsurandului  $I_p > 6000$  A, datorită inducției de saturație în elementele din fier vecine conductoarelor, factorul de transformare are variații accentuate. Deci, eroarea de neliniaritate mare la intervalul de măsurare 50 A - 20000A se datorează în special valorilor mari ale măsurandului.

Se poate afirma, în concluzie, că sensorul de curent propus de autor asigură liniaritate acceptabilă la 400 kV numai pe intervale restrînse de măsurare.

## CAPITOLUL 4

### INCERCARI EXPERIMENTALE

#### 4.1. DETERMINAREA FACTORULUI DE TRANSFORMARE

Pentru experimentări s-a construit un circuit feromagnetic toroidal, cu întrefier mare cu următoarele dimensiuni :

- raza interioară  $R_1 = 0,125$  m
- raza exterioară  $R_2 = 0,175$  m
- lungimea întrefierului  $\delta = 0,130$  m

Valorile de mai sus corespund la varianta de câmp rezolvată numeric cu programul TRAMAG 03.

Pentru măsurarea diferenței de potențial magnetic  $U_{mmYAB}$  s-a folosit o metodă de comparare; indicatorul de nul este un galvanometru vibrațor acordat pe 50 Hz și cu sensibilitate de 0,3 microvolt/mm. Montajul este indicat în fig.4.1. Bobina de măsură folosită este realizată pe un suport cilindric cu lungimea de 0,1 m și diametrul de 0,0122 m. Bobinajul s-a executat cu sîrmă de diametru 0,05 mm pe lungimea  $L = 0,08$  m, simetric distanțat de capetele suportului.

Inductivitatea mutuală  $M_2$  este realizată cu bobinajul secundar plasat pe un suport rigid de material izolant iar bobinajul primar este chiar conductorul parcurs de curentul mare I. Reglarea acestuia se face cu autotransformatorul ATR-8 alimentat de la rețeaua urbană monofazată. Instalația de măsurat curentul I este constituită din transformatorul de curent TC și ampermetrul electrodinamic de precizie instrumentală 0,2%. Rezistorii  $R_1$  și  $R_2$  sînt reglabili în 6 decade cu valorile cunoscute cu precizia de 0,1%. Condensatorul C este reglabil în 4 decade cu treapta cea mai mică de 1 nF iar în gama picofarazilor este reglabil continuu cu valori deduse din curba de etalonare. Valorile capacității electrice sînt cunoscute cu precizia de 1 %.

Pentru măsurarea inducției în zone diferite ale circuitului feromagnetic s-au montat pe acesta trei bobine de măsură  $B_1, B_2, B_3$ , poziționate ca în fig.4.1. Tensiunile induse sînt măsurate cu voltmetrele numerice  $V_1, V_2, V_3$ ,

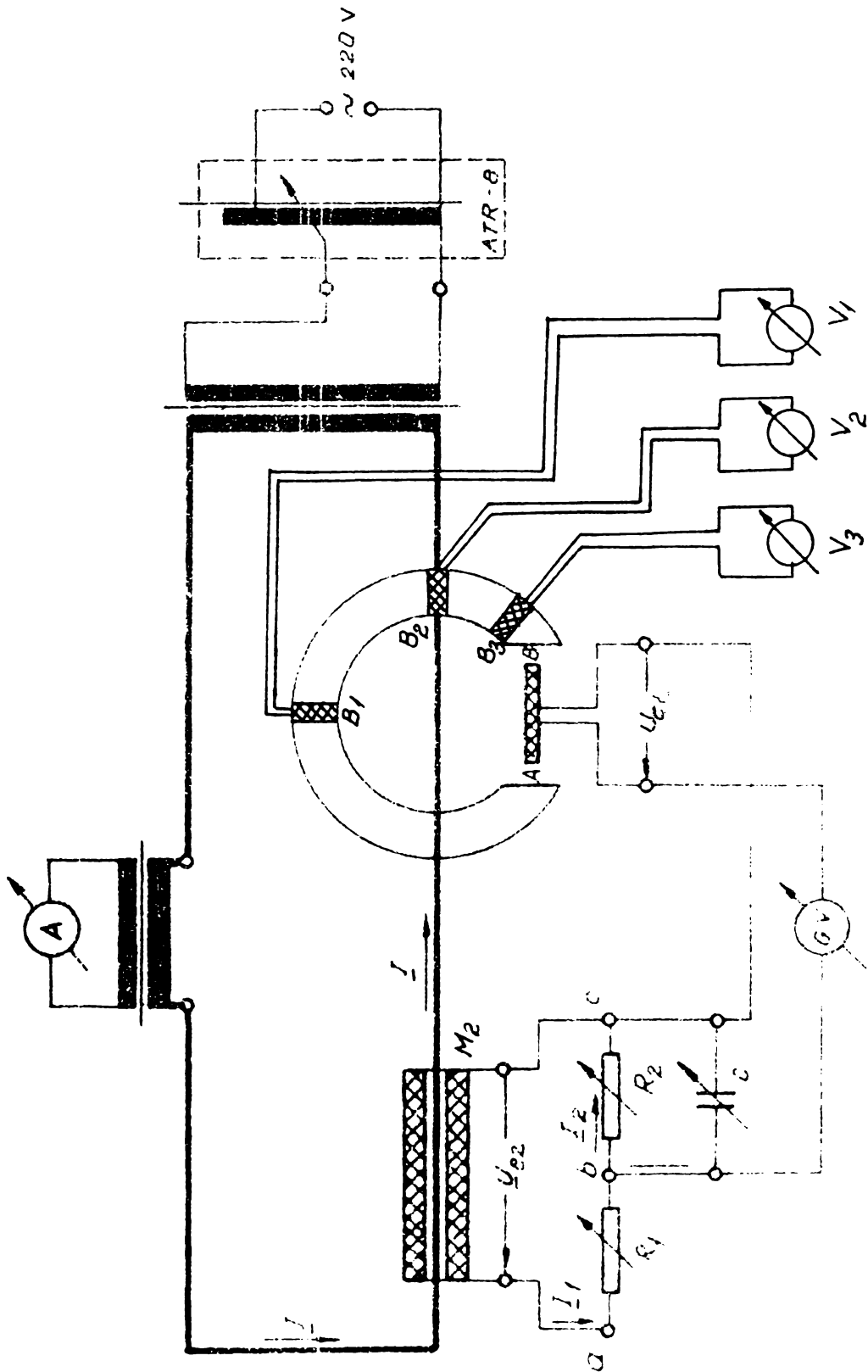


Fig. 4.1. Determinarea experimentală a factorului de transformare, liniarității și inducției în circuitul feromagnetic.

de tip DIGITAL, MULTIMETER E0302 ,

Inductivitatea mutuală  $M_2$  este cu miez de aer; neglijând rezistența conductorului de bobinaj și reactanța sa la frecvența industrială, se pot scrie relațiile :

$$\underline{U}_{e2} = -j\omega M_2 \underline{I} \quad (4.1)$$

$$\underline{U}_{bc} = \underline{U}_{e2} \cdot \frac{Z_{bc}}{Z_{ac}} \quad (4.2)$$

$$\underline{U}_{bc} = -j\omega M_2 \underline{I} \cdot \frac{R_2(R_1+R_2) - j\omega CR_1 R_2^2}{(R_1+R_2)^2 + (\omega CR_1 R_2)^2} \quad (4.3)$$

În întrefierul circuitului feromagnetic toroidal inducția nu este constantă de-a lungul întregii bobine delimitate de  $AB = 0,08$  m. Se consideră sistemul de coordonate cartezian cu centrul în centrul secțiunii transversale de simetrie a torului și cu axa OY paralelă cu axa longitudinală a bobinei de măsură (paralelă cu dreapta ce trece prin centrele tălpilor polare). Pe lungimea infimitezimală  $dY$  din bobină se poate scrie

$$d\underline{\Psi} = \mu_0 \cdot \underline{H}_Y \cdot \frac{NS}{L} \cdot dY \quad (4.4)$$

- unde: -  $\underline{H}_Y$  este componenta intensității câmpului magnetic local după axa OY,  
 - NS reprezintă constanta bobinei de măsurat și  
 -  $L = 0,08$  m este lungimea AB a bobinajului

Inlănțuirea magnetică totală prin bobina de măsurat este

$$\underline{\Psi} = \mu_0 \cdot NS \frac{1}{L} \cdot \int_A^B \underline{H}_Y \cdot dY \quad (4.5)$$

iar tensiunea indusă la bornele sale este

$$\underline{U}_{e1} = -j\omega \mu_0 \cdot \frac{NS}{L} \cdot \int_A^B \underline{H}_Y dY \quad (4.6)$$

La indicația minimă a galvanometrului vibrator se

obține

$$\underline{U}_{bc} = \underline{U}_{e1} \quad (4.7)$$

Rezultă

$$\begin{aligned} & -j\omega M_2 \underline{I} \cdot \frac{R_2(R_1+R_2) - j\omega C \cdot R_1 R_2^2}{(R_1+R_2)^2 + (\omega C R_1 R_2)^2} = \\ & = -j\omega \mu_0 \frac{NS}{L} \cdot \int_A^B \underline{H}_Y dY \end{aligned} \quad (4.8)$$

$$\begin{aligned} \text{cu } \int_A^B \underline{H}_Y dY &= \frac{1}{\sqrt{2}} \cdot e^{-j\delta_{fe}} \cdot \int_A^B H_{mY} \cdot dY = \\ &= \frac{1}{\sqrt{2}} \cdot e^{-j\delta_{fe}} \cdot U_{mmYAB} \end{aligned} \quad (4.9)$$

$\delta_{fe}$  este defazajul introdus de circuitul feromagnetic, prin pierderile sale, între curentul de magnetizare  $\underline{I}$  și inducția  $\underline{B}_Y$ . Ținând cont că

$$e^{-j\delta_{fe}} = \cos \delta_{fe} - j \sin \delta_{fe} \quad (4.10)$$

și că direcția lui  $\underline{I}$  în planul complex este luată ca referință, relația (4.8) devine:

$$\frac{M_2 I R_2 (R_1 + R_2)}{(R_1 + R_2)^2 + (\omega C R_1 R_2)^2} = \mu_0 \frac{NS}{L} \cdot \frac{1}{\sqrt{2}} \cdot U_{mmYAB} \cdot \cos \delta_{fe} \quad (4.11)$$

$$\frac{M_2 I R_2 \omega C R_1 R_2}{(R_1 + R_2)^2 + (\omega C R_1 R_2)^2} = \mu_0 \frac{NS}{L} \cdot \frac{1}{\sqrt{2}} \cdot U_{mmYAB} \cdot \sin \delta_{fe} \quad (4.12)$$

Prin împărțirea relației (4.12) cu relația (4.11) membru cu membru rezultă :

$$\frac{\sin \delta_{fe}}{\cos \delta_{fe}} = \operatorname{tg} \delta_{fe} = \frac{\omega C R_1 R_2}{R_1 + R_2} \quad (4.13)$$

Exprimind

$$\cos \delta_{fe} = \frac{1}{\sqrt{1 + \operatorname{tg}^2 \delta_{fe}}}$$

și ținând cont de (4.13) relația (4.11) devine

$$M_2 \cdot I \cdot \frac{R_2}{R_1 + R_2} \cdot \frac{1}{1 + \operatorname{tg}^2 \delta_{fe}} = \mu_0 \cdot NS \cdot \frac{1}{L} \cdot \frac{1}{\sqrt{2}} \cdot U_{mmYAB} \cdot \frac{1}{\sqrt{1 + \operatorname{tg}^2 \delta_{fe}}}$$

Rezultă

$$U_{mmYAB} = \frac{M_2 \cdot I \cdot \sqrt{2} \cdot L}{\mu_0 \cdot NS} \cdot \frac{R_2}{R_1 + R_2} \cdot \frac{1}{\sqrt{1 + \operatorname{tg}^2 \delta_{fe}}} \quad (4.14)$$

$$k = \frac{U_{mmYAB}}{I} = \frac{M_2 \cdot \sqrt{2} \cdot L}{\mu_0 \cdot NS} \cdot \frac{R_2}{R_1 + R_2} \cdot \frac{1}{\sqrt{1 + \operatorname{tg}^2 \delta_{fe}}} \quad (4.15)$$

Eroarea de determinare a factorului de transformare este

$$\epsilon_k = \epsilon_{M_2} + \epsilon_L + \epsilon_{(NS)} + \frac{R_1}{R_1 + R_2} (\epsilon_{R_1} + \epsilon_{R_2}) + \frac{2 \operatorname{tg}^2 \delta_{fe}}{1 + \operatorname{tg}^2 \delta_{fe}} \cdot \operatorname{tg} \delta_{fe} \quad (4.16)$$

Eroarea de determinare a valorii  $\operatorname{tg} \delta_{fe}$  se calculează ținând cont de relația (4.13)

$$\epsilon_{\operatorname{tg}} = \epsilon_C + \frac{R_2}{R_1 + R_2} \cdot \epsilon_{R_1} + \frac{R_1}{R_1 + R_2} \cdot \epsilon_{R_2}$$

Ținând cont că  $\epsilon_{R_1} = \epsilon_{R_2} = \epsilon_R$

$$\epsilon_{\operatorname{tg}} = \epsilon_C + \epsilon_R \quad (4.17)$$

Constanta NS a bobinei de măsură se determină folosind bobinele lui Helmholtz și galvanometrul balistic [74]

$$NS = \frac{n \cdot C_{\mu} \cdot \alpha_{ml}}{C_N \cdot \Delta I} \quad (4.18)$$

$$\epsilon_{NS} = \epsilon_n + \epsilon_{C_{\mu}} + \epsilon_{\alpha_{ml}} + \epsilon_{C_N} + \epsilon_{\Delta I} \quad (4.19)$$

Constanta magnetică a balisticiului se obține utilizând o inductivitate mutuală etalon  $M_e$ .

$$C_u = \frac{2 \cdot M_e \cdot I}{n \cdot \alpha_m} \quad (4.20)$$

$$\varepsilon_{C_u} = \varepsilon_{M_e} + \varepsilon_I + \varepsilon_n + \varepsilon_{\alpha_m} \quad (4.21)$$

Valoarea inductivității mutuale  $M_2$  se determină prin comparație cu inductivitatea mutuală  $M_e$ .

$$M_e = \frac{C_u \cdot n_1 \cdot \alpha_{m1}}{2 \cdot I_1}$$

$$M_2 = \frac{C_u \cdot n \cdot \alpha_m}{2 \cdot I}$$

$$M_2 = M_e \cdot \frac{n}{n_1} \cdot \frac{\alpha_m}{\alpha_{m1}} \cdot \frac{I_1}{I} \quad (4.22)$$

$$\varepsilon_{M_2} = \varepsilon_{M_e} + \varepsilon_n + \varepsilon_{n_1} + \varepsilon_{\alpha_m} + \varepsilon_{\alpha_{m1}} + \varepsilon_{I_1} + \varepsilon_I \quad (4.23)$$

S-a realizat o bobină de inductivitate mutuală cu primarul realizat din bandă de cupru cu secțiunea de  $150 \text{ mm}^2$  și secundarul cu sîrmă de cupru emailată cu  $d_{Cu}^i = 0,55 \text{ mm}$ . Pentru comparație s-a folosit o inductivitate mutuală etalon  $M_e = 10^{-2} \text{ H}$  și  $\varepsilon_{M_e} = 1 \%$ .

$$M_2 = 10^{-2} \cdot \frac{1}{5} \cdot \frac{156}{200} \cdot \frac{0,5}{5}$$

$$M_2 = 1,46 \cdot 10^{-4} \text{ H}$$

Măsurarea curentului  $I_1$  s-a făcut cu instrument cu limita maximă a intervalului de măsurare  $0,6 \text{ A}$  și precizia instrumentală  $0,5 \%$  iar curentul  $I$  s-a măsurat cu un instrument cu limită maximă  $5 \text{ A}$  și precizia instrumentală  $0,5 \%$ . S-a folosit un șunt special de precizie cu  $\varepsilon_n = 0,1 \%$ . Rezultă

$$\varepsilon_{M_2} = 2,52 \%$$

La determinarea constantei NS s-a obținut

$$C_{\mu} = \frac{2 \cdot 10^{-2} \cdot 1}{1.124} = 1,613 \cdot 10^{-4} \text{ Wb/dir}$$

cu  $\varepsilon_{C_{\mu}} = 1,86 \%$

$$NS = 0,2597 \text{ spm}^2$$

$$\varepsilon_{NS} = 3,25 \%$$

Lungimea bobinei L = 80 mm s.a măsurat cu șublerul

$$\varepsilon_L = \frac{0,1}{80} \cdot 100 = 0,125 \%$$

Ținând cont de măsurătorile făcute, relațiile (4.15) și (4.16) devin

$$k = 50,614 \cdot \frac{R_2}{R_1 + R_2} \cdot \frac{1}{\sqrt{1 + \text{tg}^2 \sigma_{fe}}} \quad (4.24)$$

$$\varepsilon_k = 5,895 \cdot \frac{R_1}{R_1 + R_2} \cdot 0,2 + \frac{2 \text{tg}^2 \sigma_{fe}}{1 + \text{tg}^2 \sigma_{fe}} \cdot 1,1 \quad (4.25)$$

cu  $\varepsilon_{\text{tg}} = 1 + 0,1 = 1,1 \%$

Relațiile (4.13), (4.24) și (4.25) se folosesc pentru calculul mărimilor cerute pe baza valorilor rezultate experimental pentru  $R_1$ ,  $R_2$ , C.

Variația relativă a factorului de transformare, luând ca referință valoarea obținută la I = 50 A este

$$\gamma = \frac{\Delta K}{K} = \left( \frac{R_2 + r_2}{R_1 + R_2 + r_2} - \frac{R_2}{R_1 + R_2} \right) \cdot \frac{R_1 + R_2}{R_2}$$

$$\gamma = \frac{r_2 R_1}{R_2 (R_1 + R_2 + r_2)} \quad (4.26)$$

unde  $r_2$  reprezintă variația rezistenței  $R_2$  la I > 50 A.

Expresia de determinare a variației relative a factorului de transformare se calculează cu relația

$$\varepsilon_{\gamma} = \frac{R_1 + R_2}{R_1 + R_2 + r_2} \cdot \varepsilon_{r_2} + \frac{R_2 + r_2}{R_1 + R_2 + r_2} \cdot \varepsilon_{R_1} + \frac{R_1 + 2R_2 + r_2}{R_1 + R_2 + r_2} \cdot \varepsilon_{R_2} \quad (4.27)$$

Determinarea experimentală a valorii factorului de transformare pentru diferite valori ale curentului  $I$  nu s-a putut executa în condiții similare cu cele existente în stația electrică de foarte înaltă tensiune. Aceasta datorită lipsei de spațiu, de conductoare cu secțiune și lungime mare și mai ales datorită lipsei unui generator de curenți mari.

Experimentările cu montajul din fig.4.1 s-au executat realizând o buclă închisă cu două conductoare paralele, distanțate la 4,4 m unul de celălalt pe lungimea de 18 m. Conductoarele folosite sînt tip funie din aluminiu cu secțiunea de  $183 \text{ mm}^2$ . Sursa de curent mare a fost realizată cu un transformator special de maxim 1200 alimentat în primar printr-un transformator de la rețeaua monofazată. Din cauza impedanței mari a conductoarelor din bucla închisă, curentul maxim obținut este  $I_{\text{max}} = 600 \text{ A}$ .

Ținînd cont de cele de mai sus, rezultatele experimentale sintetizate în TABELA 4.1 pentru poziția centrală a conductorului în interiorul circuitului feromagnetic, nu se pot compara cu cele obținute prin calcul numeric cu programul TRAMAG 03. Impedimentul îl constituie, existența la 4,4 m, a unui al doilea conductor prin care se închide măsurandul la sursă.

Considerînd lungimea de 18 m de paralelism a celor două conductoare ca suficientă pentru definirea lor ca infinit lungi, se poate aproxima cîmpul magnetic creat cu o rețea de elemente finite de aceeași structură cu cea din fig.3.7 cu observația că

$$I_{pR} = 0 ; I_{pS} = I ; I_{pT} = - I \quad (4.28)$$

$$d_{R-S} = d_{T-S} = 4,4 \text{ m}$$

Calculul numeric al cîmpului magnetic aproximat în modul expus mai sus s-a efectuat cu programul INCOVEC 2. Ținînd cont de condiția (4.28) și de valorile măsurandului  $I_{pS}$  utilizate în experiment. Valorile rezultate pentru factorul de transformare  $k$  sînt date în ultima coloană din TABELA 4.1.

Diferența maximă dintre valoarea experimentală a factorului de transformare și cea calculată numeric prin pro-

TABELA 4.1

1	I <sub>ef</sub> A	R <sub>1</sub> Ω	R <sub>2</sub> Ω	C nF	δ <sub>fe</sub> radian	k <sub>exp</sub>	k <sub>c.n.</sub>
1	50	100000	1156,0	1,860	0,000542	0,578213	0,582203
2	100	100000	1157,6	2,200	0,000790	0,579203	0,582817
3	200	100000	1158,6	2,560	0,000921	0,579697	0,582817
4	300	100000	1159,4	3,470	0,001249	0,580093	0,582819
5	400	100000	1160,1	5,150	0,001854	0,580439	0,582820
6	500	100000	1160,6	7,000	0,002522	0,580786	0,583011
7	600	100000	1161,1	9,187	0,003311	0,580941	0,583597

$\varepsilon_k = 6,092\%$  ;  $\gamma = 0,37\%$  ;  $\varepsilon_{\gamma} = 0,2\%$

$$\left( \frac{k_{c.n.i.} - k_{exp.i}}{k_{exp.i}} \right)_{max} \cdot 100 = 0,69\%$$

gram apare la valoarea de 50 A a măsurandului; procentual reprezintă

$$\frac{k_{cn} - k_{exp}}{k_{exp}} = 0,69 \% \quad (4.29)$$

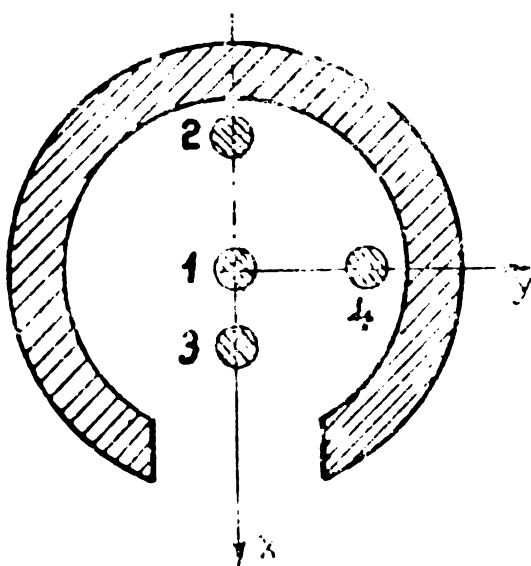
Eroarea de calcul numeric a factorului de transformare este 1,4 % ; ținând cont de eroarea de determinare a factorului  $k$  se obține

$$0,568811 < k_{cn} < 0,596811 \quad (4.30)$$

$$0,517789 < k_{exp} < 0,639734$$

Se observă că plaja de definire a valorii adevărate pentru calculul numeric este cuprinsă în plaja de definire pentru experiment.

Determinarea experimentală a factorului de transformare s-a făcut pentru 4 poziții ale conductorului în interiorul circuitului feromagnetic toroidal cu întrefier mare (fig.4.2).



1. - Conductorul poziționat în centrul circuitului feromagnetic

$$d_x = d_y = 0$$

2. - Conductorul deplasat spre fier cu  $d_x = -0,095$  m.

3. - Conductorul deplasat spre întrefier cu

$$d_x = 0,050 \text{ m}$$

4. - Conductorul deplasat spre fier cu  $d_y = 0,095$  m

Fig.4.2. Pozițiile conductorului străbătut de măsurand în interiorul circuitului feromagnetic toroidal

cele 7 valori ale măsurandului sînt indicate în fig.4.3. Indicele  $i = 1,2,3,4$  indică cazul de poziționare a conductorului conform celor de mai sus.

Valorile factorului de transformare pentru

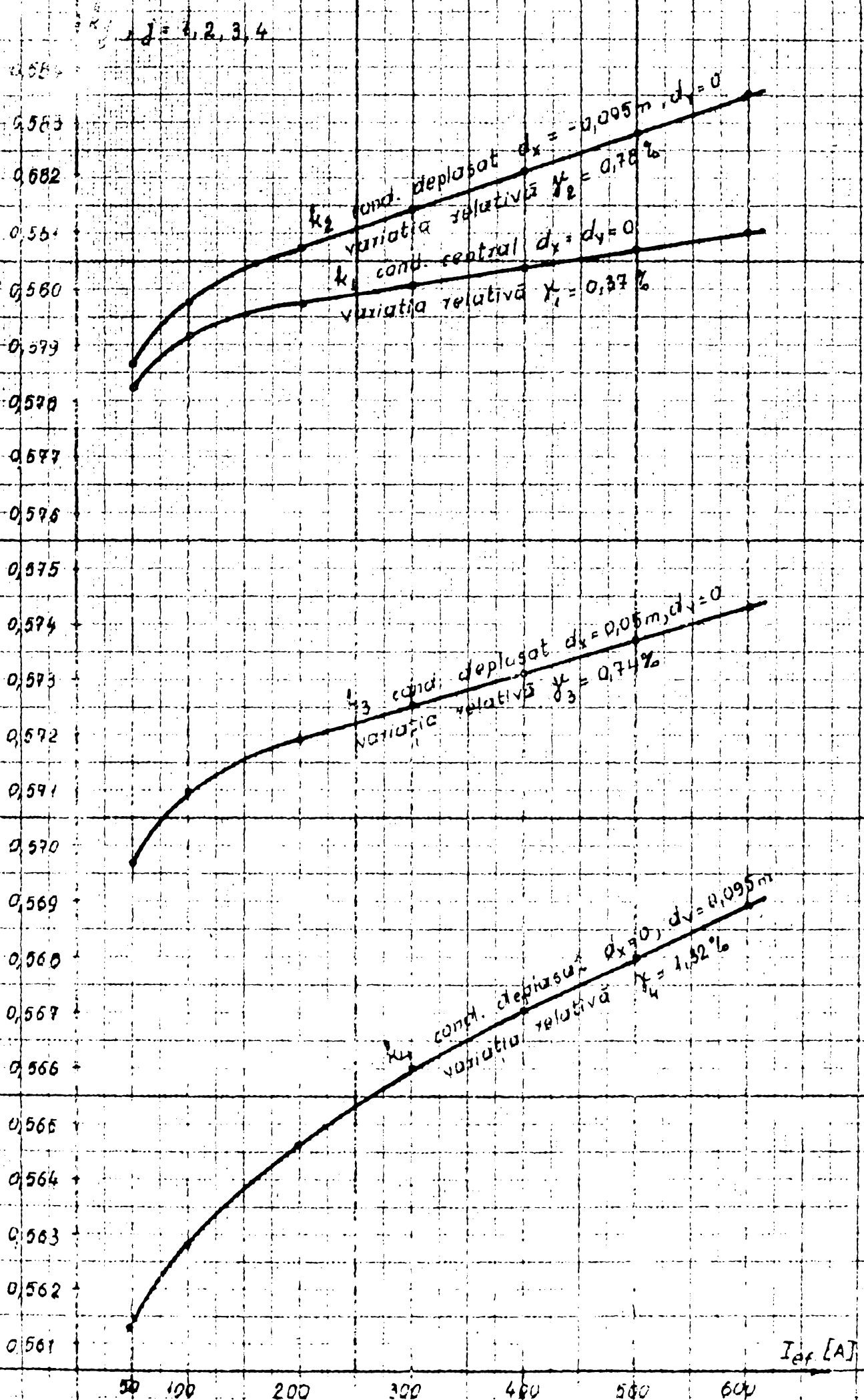


Fig. 4.3. Variația factorului  $k$  de transformare funcție de poziția conductorului străbătut de măsurare.

#### 4.2. DETERMINAREA INDUCTIEI MAGNETICE IN DIVERSE SECTIUNI TRANSVERSALE ALE CIRCUITULUI MAGNETIC

Pentru evidențierea mai clară a fenomenelor magnetice este necesară determinarea valorii inducției magnetice în câteva secțiuni transversale în miezul feromagnetic. Ținând cont de pozițiile conductorului și de faptul că, în trei poziții, 1,2,3 în fig.4.2, există o simetrie a câmpului magnetic creat după axa OX, se aleg 3 secțiuni :

- secțiunea transversală obținută cu un plan perpendicular pe planul XOY și care conține axa OX - inducția  $B_1$ ;
- secțiunea transversală obținută cu un plan perpendicular pe planul XOY și care conține OY - inducția  $B_2$  și
- secțiunea transversală realizată cu un plan perpendicular pe planul XOY și care conține o rază vectorială ce trece prin imediata vecinătate a înțrefierului - inducția  $B_3$ .

Cele trei secțiuni transversale în miezul feromagnetic sînt indicate în fig.4.1 prin cele trei bobine de măsurat inducțiile  $B_1$ ,  $B_2$ , respectiv  $B_3$ . Tensiunile induse în aceste bobine au fost măsurate cu voltmetrele numerice  $V_1$ ,  $V_2$ ,  $V_3$ , de tip DIGITAL MULTIMETER EO302 pe domeniile de curent alternativ 0,2 V, 2V și 20 V.

Constanta (NS) a fiecărei bobine s-a măsurat cu ajutorul Bobinelor Helmholtz și a galvanometrului balistic, după procedeul descris în paragraful anterior. A rezultat

$$\begin{aligned} (NS)_1 &= 19,365 & ; & \quad \varepsilon_{NS_1} = 2,75 \% \\ (NS)_2 &= 19,23 & ; & \quad \varepsilon_{NS_2} = 2,77 \% \\ (NS)_3 &= 19,55 & ; & \quad \varepsilon_{NS_3} = 2,70 \% \end{aligned} \quad (4.31)$$

Deoarece măsurandul, în același timp și curent de magnetizare, are variație sinusoidală în timp, este valabilă relația

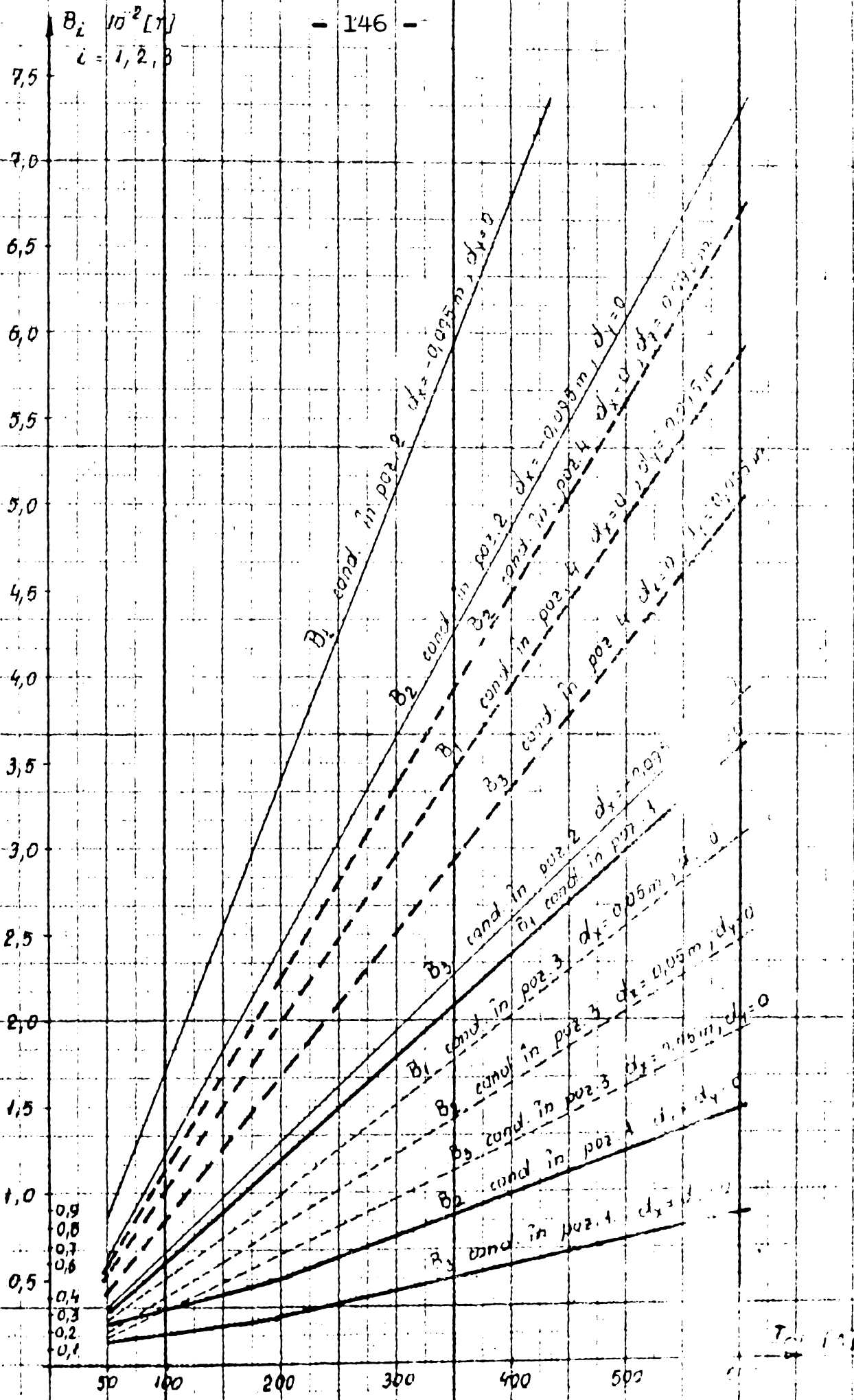


Fig. 4.4. Valorile inducției magnetice  $B_1, B_2$  și  $B_3$  în cele 4 cazuri de poziționare a conductorului  $s$  pentru valori ale măsurătorilor între 50 A și 600 A.

$$U_1 = 4,44 \cdot B_1 \cdot (NS)_1 \quad (4.32)$$

de unde  $B_1 = p_1 \cdot U_1 \quad (4.33)$

cu  $p_1 = \frac{1}{4,44 \cdot (NS)_1} \quad (4.34)$

Utilizând valorile din (4.31) rezultă

$$p_1 = 1,163 \cdot 10^{-2} ; p_2 = 1,171 \cdot 10^{-2} ; p_3 = 1,152 \cdot 10^{-2} \quad (4.35)$$

Valorile  $B_1$  ale inducțiilor magnetice, determinate experimental în cele 4 cazuri de poziționare a conductorului străbătut de măsurand și la cele 4 valori ale măsurandului, sînt sintetizate în diagramele din fig.4.4.

Pentru compararea rezultatelor experimentale cu cele calculate numeric prin metoda elementului finit, autorul, pe baza structurii din fig.3.7. și a secțiunilor transversale prin miezul feromagnetic alese mai sus, calculează inducțiile magnetice în aceste secțiuni astfel :

a. - Secțiunea în care se măsoară  $B_1$  conține în planul ei axa OX și întretaie elementele finite cuprinse între razele vectoriale  $\alpha_{15}$  și  $\alpha_{16}$  și razele cercurilor  $R_6 \div R_{10}$ ; corespund elementele 73, 74, 75, 76, 77, 78, 79, 80.

b. - Secțiunea în care se măsoară  $B_2$  conține în planul ei axa OY și întretaie elementele finite delimitate de razele vectoriale  $\alpha_{12} - \alpha_{13}$  și razele cercurilor  $R_6 \div R_{10}$ ; corespund elementele 49, 50, 51, 52, 53, 54, 55 și 56.

c. - Secțiunea în care se măsoară  $B_3$  corespunde întretaierii elementelor formate între razele vectoriale  $\alpha_8$  și  $\alpha_9$  și cercurilor  $R_6 \div R_{10}$ ; corespund elementele 17, 18, 19, 20, 21, 22, 23 și 24.

d. - Porțiunile din secțiunea transversală, delimitate de elementele finite grupate ca mai sus, au ca lățime valorile  $l_i$ ,  $i = 1, \dots, 8$  obținute prin intersecția razelor vectoriale de distanță unghiulară respectivă

$$\begin{aligned} \alpha_{B_1} &= 3,141592 \text{ rad.} \\ \alpha_{B_2} &= 1,570796 \text{ rad.} \\ \alpha_{B_3} &= 0,598787 \text{ rad.} \end{aligned}$$

cu elementele grupate la punctele a,b,c. Lungimea acestor porțiuni este constantă, t.

e. - Valoarea medie a inducției în secțiunea respectivă j',  $B_j^0$  se calculează cu relația

$$B_j = \frac{\sum_{i=1}^8 l_{ij} \cdot t \cdot B_{ij}^0}{\sum_{i=1}^8 l_{ij} \cdot t} = \frac{\sum_{i=1}^8 l_{ij} \cdot B_{ij}^0}{\sum_{i=1}^8 l_{ij}} \quad (4.36)$$

În relația (4.36) cu  $B_{ij}^0$  s-au notat valorile inducțiilor magnetice în cele 8 elemente intersectate de secțiunea în care se calculează  $B_j^0$ , cu  $j = 1, 2, 3$ .

Programului INCOVEC 2, pe lângă reprezentarea structurii rețelei de elemente, ce aproximează cîmpul din experiment, i s-au furnizat elementele și razele vectoriale de intersecție cu ele prin tablourile, respectiv, următoarele variabile:

SEC 1 (8)

SEC 2 (8)

SEC 3 (8)

ALFA B1

ALFA B2

ALFA B3

Valorile inducțiilor  $B_j^0$  calculate numeric pentru densitățile maxime de curent corespunzătoare măsuranzilor  $50 \sqrt{2}$  A,  $200 \sqrt{2}$  A,  $400 \sqrt{2}$  A și  $600 \sqrt{2}$  A sînt indicate în graficul din fig.4.6.

#### 4.3. INTERPRETAREA REZULTATELOR EXPERIMENTALE

Studiul atent al graficelor din fig.4.3, 4.4, 4.5 și a rezultatelor din TABELA 4.1 permite stabilirea următoarelor considerații

1. - Valoarea cea mai mare a factorului de transformare al sensorului se obține pentru poziția 2 fig.4.2. a conductorului străbătut de măsurand, iar

valoarea cea mai mică - în poziția 4.

2. - Eroarea relativă de variație a factorului de transformare cu valoarea măsurandului are valoarea cea mai mică în cazul poziției centrale a conductorului.

Se notează cu

$B_{11}$  = valoarea inducției  $B_1$ , în cazul poziției centrale a conductorului străbătut de măsurand (fig.4.2 poz.1),

$B_{12}$  = valoarea inducției  $B_1$  în cazul conductorului străbătut de măsurand deplasat lângă fier cu  $d_x = - 0,095$  m,  $d_y = 0$  - poz.2, fig.4.2,

$B_{sat}$  = valoarea inducției la cotul de saturație din curba fundamentală de magnetizare a materialului feromagnetic folosit.

3. - Considerînd dependența  $B_1 = f(I_{ef})$  liniară pînă la  $B_{sat}$  se observă că

$$B_{12} = B_{sat} = 0,55 \text{ T la } I_p = I_{ef} \cdot \sqrt{2} = 4500 \text{ A}$$

$$B_{11} = B_{sat} = 0,55 \text{ T la } I_p = I_{ef} \cdot \sqrt{2} = 11400 \text{ A}$$

La valori ale măsurandului  $I_p > 4500$  A, circuitul feromagnetic, pe porțiuni din ce în ce mai mari, va funcționa în zona de saturație a curbei fundamentale de magnetizare.

Această zonă este puternic neliniară și variațiile factorului de transformare  $k_2$ , pînă la  $I_p = 20000$ , vor fi mult mai pronunțate decît variațiile factorului  $k_1$ .

4. - Poziția 4 fig.4.2 este cel mai defavorabil caz de poziționare a conductorului străbătut de măsurand. Valoarea factorului de transformare  $k_4$  prezintă o micșorare accentuată comparativ cu  $k_1$ ,  $k_4 \ll k_1$ , iar eroarea relativă de variație a sa cu măsurandul crește pronunțat.

Aceasta se datorește nesimetriei cimpului magnetic creat față de axa OX, în special în zona întrefierului.

Din fig.4.4 se observă că saturația se atinge în secțiunea 2 la o valoare a măsurandului

$$I_p = \sqrt{2} \cdot I_{ef} = 7000 \text{ A}$$

Pentru  $I_p > 7000 \text{ A}$  porțiunea de circuit feromagnetic de lângă conductorul străbătut de măsurand va lucra în zona puternic neliniară, a saturației, din curba fundamentală de magnetizare, iar porțiunea diametral opusă - în zona liniară. De aici, variații și mai pronunțate ale factorului de transformare și deci liniaritate foarte proastă a sensorului de curent.

5. - Folosind curbele din fig.4.3 se pot trasa curbele  $k$  și  $\delta$  în funcție de poziția conductorului,  $k$  se consideră pentru valoarea efectivă a măsurandului  $I_{ef} = 500 \text{ A}$ .

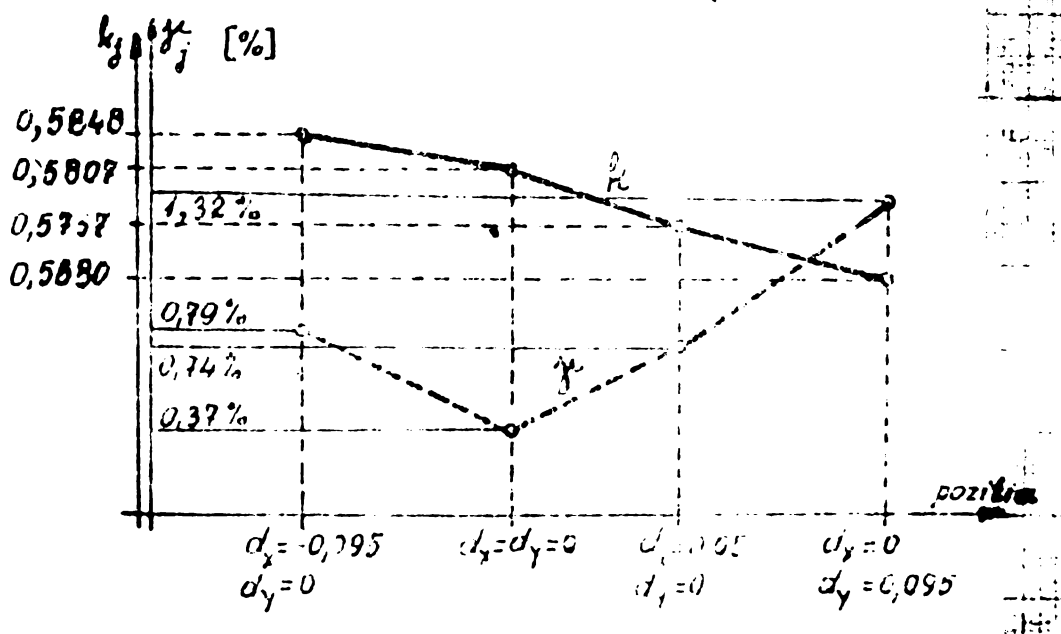


Fig.4.5. Variația factorului de transformare  $k$  și a variației sale relative cu valoarea măsurandului.

Variația relativă a factorului de transformare este cu atât mai mică cu cât poziția conduc-

torului străbătut de măsurand este mai apropiată de centrul secțiunii mediane prin circuitul feromagnetic. Valoarea minimă se obține pentru poziția centrală.

Comparând graficele din fig.4.5 cu cele din fig.3.13 se observă că valorile sînt altele și în fig.4.5,  $k_2 > k_1$ . Deosebirea valorică este evidențiată deoarece graficele se referă la alte mărimi. Ținînd cont, însă, de cele stabilite la punctul 2 prezentul paragraf, la o variație a măsurandului între 50 și 20000 A,  $k_{med}$  experimental poate ajunge să fie mai mic în poziția 2 față de cel din poziția 1.

Faptul că, la  $I_{ef} = 500$  A,  $k_2 > k_1$ , corespunde și cu rezultatele numerice ale programului TRAMAG 09.

Pentru celelalte două poziții ,

$$k_3 < k_1 ; k_4 < k_1$$

$$\mu_3 > \mu_1 ; \mu_4 > \mu_1$$

Deci, din punct de vedere fenomenologic, graficele din cele două figuri corespund.

6. - Pentru poziția centrală a conductorului străbătut de măsurand, se reprezintă în fig.4.6 dependențele  $B_j = f(I_{ef})$  și  $B'_j = f(I_{ef})$  cu  $j = 1, 2, 3$ .

Graficele arată că inducțiile  $B_j$  și  $B'_j$  în cele trei secțiuni considerate sînt practic egale. Erorile sînt sub 1 % din valoarea experimentală.

7. - Prin compararea valorilor pe linie din ultimele două coloane din TABELA 4.1. se constată că cea mai mare diferență între valorile rezultate experimental,  $k_{exp.i}$  și valorile rezultate din programul de calcul numeric -  $k_{cn.i}$  - apare la  $I_{ef} = 50$  A. Ea reprezintă 0,69 % din valoarea experimentală.

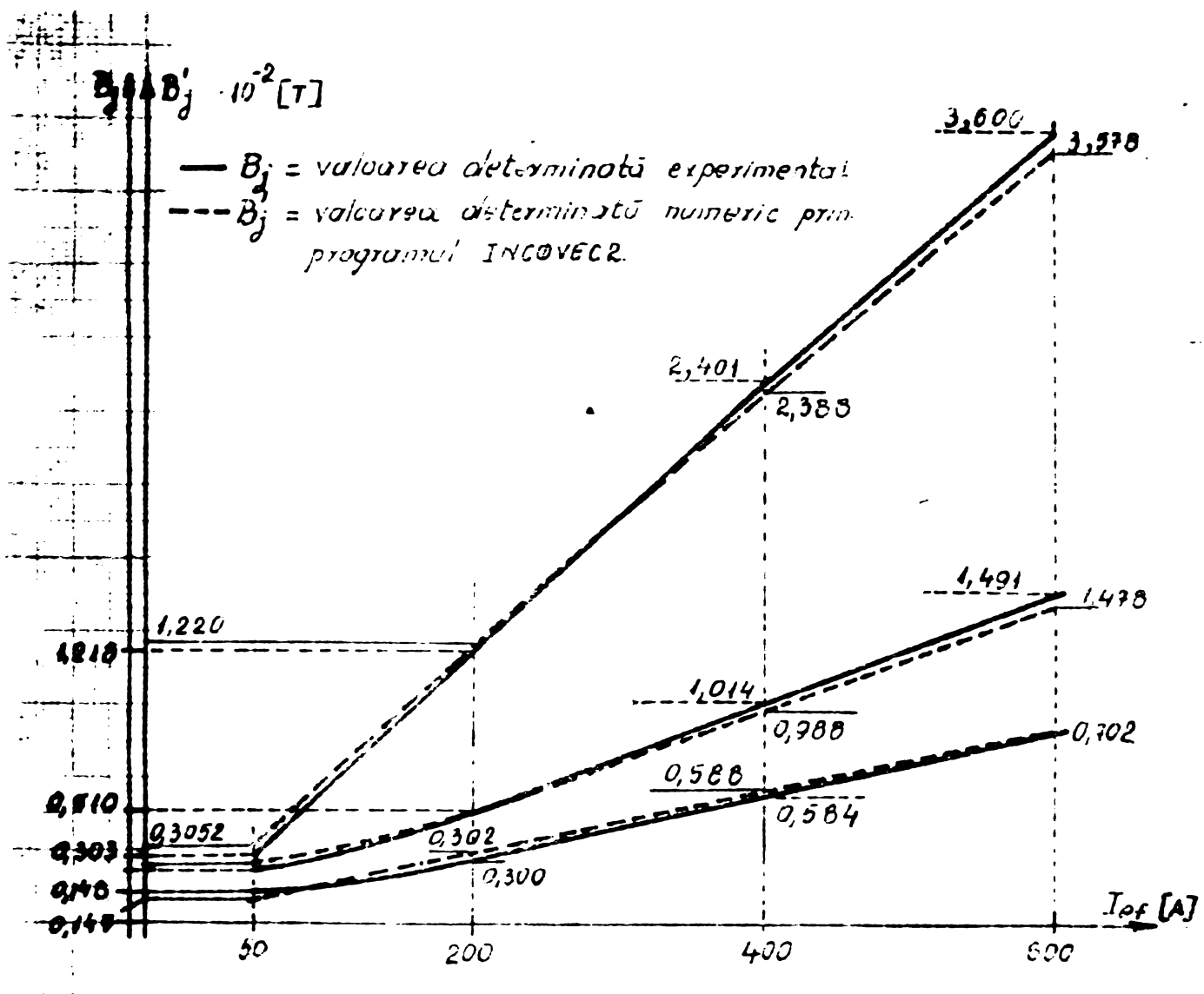


Fig.4.6. Referitor la compararea inducției  $B_j$  determinată experimental cu cea calculată numeric prin program -  $b'_j$ .

Variația relativă a factorului de transformare cu valoarea măsurandului este mică.

Interpretarea rezultatelor experimentale și comparația lor cu cele obținute în urma calculului numeric al cîmpului magnetic conduce la două concluzii importante :

- A. Poziția centrală a conductorului străbătut de măsurand în interiorul circuitului feromagnetic constituie varianta cea mai bună pentru senzorul de curenț. Ea asigură liniaritatea cea mai bună a senzorului. Valoarea factorului de transformare este ceva mai mică decît cea obținută în poziția 2 fig.4.2.  $k_2 > k_1$ . în schimb liniaritatea este aproape de două ori mai bună -  $\delta_2 \gg \delta_1$ .

B. Prin diferența mică, sub 1 %, dintre rezultatele experimentale și cele calculate numeric prin program, confirmă justetea metodei elementului finit de calcul numeric a câmpului, și aproximarea corectă a acestuia prin rețeaua, respectiv rețelele, de elemente finite.

## CAPITOLUL 5

### CONCLUZII, CONTRIBUTII, PERSPECTIVE

#### CONCLUZII

Sensorul de curent cu circuit feromagnetic toroidal cu întrefier mare a fost analizat funcțional, atât teoretic prin calculul numeric al câmpului magnetic creat, cât și experimental. Pe baza considerațiilor teoretice din cap.2, a rezultatelor numerice prelucrate în cap.3 cât și a experimentului, se pot concluziona următoarele :

1. - Traductorul magneto-optic de curent, folosind sensorul propus de autor nu este afectat de erori suplimentare datorate vibrațiilor mecanice. Oricât de mare este valoarea măsurandului, nu apar forțe electro sau magneto dinamice capabile a afecta stabilitatea mecanică a sistemului magneto-optic de conversie.
2. - Implementarea traductorului primar în partea situată la înaltă și foarte înaltă tensiune din celula de măsură curentul nu necesită segmentarea liniei de transport a energiei.
3. - Pentru obținerea unei bune liniarități a sensorului de curent este necesar a se lua măsuri constructive de rigidizare a poziției centrale a conductorului străbătut de măsurand în interiorul circuitului feromagnetic. Deplasările accidentale ale conductorului se asigură astfel la valori mici și deci, creșterile erorii de sensibilitate sau modificările valorice ale factorului de transformare sînt neesențiale.
4. - Dimensiunile optime ale circuitului feromagnetic se aleg în funcție de limitele intervalului de măsurare a curentului și de condițiile de urmărire a proceselor tranzitorii din cazurile de avarie.

Liniaritatea mai bună de 0,5 % pentru intervalul de măsurare 50 A - 4000 A și mai bună de 1% pe inte-

valul de măsurare 50 A - 20000 A se obține cu un circuit feromagnetic de dimensiuni

$$R_1 = 0,03 \text{ m}, R_2 = 0,160 \text{ m}, R_3 = 0,130 \text{ m},$$

și cu conductorul străbătut de măsurand poziționat în axa longitudinală a circuitului feromagnetic toroidal.

Pe intervalul 400 A - 4000 A, liniaritatea sensorului de curent utilizat la 220 kV este aceeași cu a sensorului tip solenoid, 0,2 %.

5. - Variația temperaturii mediului ambiant și înrăutățirea proprietăților magnetice în timp nu afectează esențial erorile traductorului magneto-optic de curent. Variațiile factorului de transformare ale sensorului sînt sub 0,1 % iar înrăutățirea linearității, sub 0,15 %.

6. - Influența cîmpurilor magnetice parazite asupra traductorului primar de curent este de 4 ori mai mică, față de cazul utilizării sensorului tip solenoid masiv. În cazul sistemului trifazat simetric de transport a energiei electrice, variația factorului de transformare este sub 0,25 % și se poate ține cont de ea în etalonarea transformatorului magneto-optic de curent.

În regimul de avarie cel mai greu - o fază în gîl, una în scurtcircuit și una normală - eroarea datorată cîmpurilor magnetice parazite este 3,1%.

Deci, sensorul de curent propus de autor asigură urmărirea proceselor tranzitorii în regim de avarie cu o eroare destul de mică.

7. - În cazul stației cu U 220 kV, liniaritatea sensorului de curent este mai slabă, chiar pe intervale de măsurare restrînse. ( $\delta_{lin} = 0,482 \%$ ,  $I_p = 800 \text{ A} - 2000 \text{ A}$ ). Aceasta se datorește conductorului echivalent cu diametru mărit pentru micșorarea efectului Corona. Celelalte proprietăți enunțate cu privire la influența variației temperaturii mediului ambiant a înrăutățirii proprietăților magnetice în timp, a eliminării erorilor datorate vibrațiilor mecanice și micșorării accentuate a erorilor datorate cîmpurilor magnetice parazite rămîn valabile și

în cazul sensorului de curent la tensiuni ale rețelei mai mari de 220 kV.

8. - Forma constructivă a sensorului de curent cu circuit feromagnetic cu întrefier mare, afectează transformatorul magneto-optic de curent cu un preț mult mai scăzut decât sensorul tip solenoid. Aceasta se datorește în primul rând materialului folosit - tablă fier-siliciu în loc de cupru - și în al doilea rând operațiunilor mai puține de asamblare, rigidizare și implementare în celula de măsurat.

### CONTRIBUTII

Contribuția esențială a constitue însăși sensorul de curent propus. El constitue obiectul revendicării nr.1 din brevetul de invenție nr.66109/22.07.76 CNST - OSIT - BUCUREȘTI-ROMANIA.

Sensorul propus de autor este utilizat în prototipurile de transformator magneto-optic de curent realizate în cadrul cercetării contractuale, beneficiar ICEENERG București. [18, 31, 32, 34]

Rezolvarea numerică a problemei de câmp pentru sensorul de curent cu circuit feromagnetic conține contribuții originale ale autorului privind dezvoltarea metodei elementului finit aplicată în medii izotrope, neomogene și neliniare. Cele mai importante sînt :

1. - Tratarea neliniarității mediului feromagnetic prin aproximarea curbei reale ( $\mu_r = f(B)$ ) cu segmente și arc de cerc, ținînd cont și de primul cot al curbei fundamentale de magnetizare. Concepția algoritmului iterativ de neliniaritate și procedeul de mărire a convergenței procesului iterativ.

2. - Algoritmul de calcul al erorii datorate câmpurilor magnetice create de curenții din conductoarele vecine celui străbătut de măsurand, considerînd densitățile de curent ca mărimi complexe.

3. - Realizarea rețelei de elemente finite pentru aproximarea cît mai corectă a cîmpului real astfel încît să fie îndeplinite toate condițiile de realizare a unui

sistem mare de ecuații cu erori minime de rezolvare.

4. - Programele principale TRAMAG și INC/VEC2, subrutinele EQMBSR, FEK (AMEU, B, PER, KTP) și în special RESISTEM și RESISTCM.

Programul principal TRAMAG cu subrutina EQMBSR pot fi utilizate pentru rezolvarea numerică a oricărei probleme de câmp în medii izotrope, neomogene și neliniare, caracterizat prin ecuația lui Poisson.

Subrutinele RESISTFM și RESISTCH constituiesc concomitent contribuții ale autorului la îmbogățirea bibliotecii de programe pentru calculatorul FELIX C 256. Ele permit rezolvarea sistemelor mari de ecuații cu matrice bandă simetrică ale cărei coeficienți sînt repartizați pe mai multe module de 64 kiloocteți.

#### PERSPECTIVE

Pentru aproximare cît mai corectă a cîmpului magnetic real, și cuprinderea cît mai fidelă a proceselor fizice, metoda elementului finit aplicată aici poate căpăta două direcții de dezvoltare :

A. - Realizarea unei rețele de elemente finite spațiale și asamblarea problemei de minim a funcționalei pe domeniul întreg spațial, judicios ales.

B. - Utilizarea unei alte funcționale, care să țină cont de pierderile în fier și deci de defazajul introdus de acestea între  $H_y$  și  $I_p$ .

Incercările făcute pe plan mondial în aceste direcții sînt ultrasecrete, iar cele publicate sînt modeste. Evident, contribuțiile ce s-ar putea aduce ar avea o importanță deosebită. Rezolvarea numerică a problemei de câmp, cu considerarea celor două direcții de dezvoltare, conduce automat la probleme deosebite de programare și de concepere a unor algoritme de rezolvare de sisteme foarte mari de ecuații cu variabilă complexă.

Rezultă de aici o conlucrare strînsă între tehnicist, matematician și programator, deoarece, numai în acest caz se poate rezolva problema în timp util.

Problema de câmp a sensorului de curent propus ar putea fi rezolvată complet numai dacă se poate defini cu precizie și banda de frecvență în care poate lucra normal.

Tratarea teoretică și experimentală a autorului nu și-a propus rezolvarea acestei probleme; de aceea nu s-au făcut nici un fel de afirmații cu privire la această problemă, cu toate că, aprecieri, nefundamentate total, s-ar putea face.

## B I B L I O G R A F I E

1. KOPECEK J., DVORAK M. Transformatoare de măsură. Traducere din limba cehă, București, Editura Tehnică, 1970.
2. HERSCOVICI B. și alții. Aparate electrice de înaltă tensiune. București, Editura Tehnică, 1978.
3. RZEWUSKI M.N., TARNAWECKY M.Z. Unkonventional methods of current detection and measurement in EHV and UHV transmission systems. IEEE TRANSACTION on INSTRUMENTATION and MEASUREMENT, vol.24, nr.1, march 1975, pg.43-51.
4. DEFECHEREUX J., KIRSCHWINK M. and PETRY H. Mikrowellen Stromwandler für sehr hohe Spannungen. ETZ, vol.24, nr.13, 2B, June 1972, pg.322-324.
5. MULLER W. Tendances de developpement dans la construction des transformateurs de type non classique. AIM Liege, June 1973, pg.179-184.
6. MULLER W. Unkonventionelle Messwandler für Hochspannungsanlagen. ETZ Heft 6, Bd.93, 1972, pg.362-366.
7. GOLODOLINSKI G.V. ,Primenenie metodî i apparatura dlia izmerenia tohor i napriajeni. ELEKTRICESTVO, nr.4, 1963, pg.68-75.
8. BERNARD G. Etude et realisation d'un transformateur de courant et de tension d'effect magneto-optique utilisable en tres haute tension. THESE POUR OBTENIR LE GRADE DE DOCTEUR EN SCIENCES, Grenoble, 1966.
9. AUMONT P., PELLETIER E. Reducteurs de courant magneto-optique à effect Faraday. REVUE GENERALE DE L'ELECTRICITE , tome 30, nr.718, 1971, pg.617-622.
10. PELENC Y. Transoptique - transformateurs de courant pour très hautes tensions à effet magneto-optique. L'ELECTRICIEN, vol.82, Mar. 1969, pg.63-66.
11. CREPAZ S., MANIGRASSO R. Considerations on frequency modulated electrooptic current transformers. A.I.M., Liege, June 1973, pg.146-153.
12. KIRSCHWIAK M. Transformateurs electronique de mesure de courant; rezultats experimentaux . A.I.M., Liège, June 1973, pg.161-169.
13. SARQUIZ PH., SOUILLARD M. Les capteurs de mesures. A.I.M. Liège, June 1973, pg.169-178..
14. ROGERS A.J., Optical technique for measurements of current at high voltage. PROC.INST.ELEC. ENG., vol.120, nr.2, 1973, pg.261-266.
15. JAECKLIN A.A. Measuring current at extra-high voltage. LASER FOCUS, nr.6, 1970, pg.35-38.
16. LANDSBERG G.S. Optica. București, Editura Tehnică, 1958
17. LANDOLF - BURSTEIN. Zahlenwerte und funktionen aus Physik,

Chemie, Astronomie, Geophysik, Technik. Berlin, Springer-Verlag, 1960.

18. POP E., CRISAN S., TANASE M.E. Transformator magneto-optic de curent. Faza 1. PROTOCOL CONTRACT nr.4515-24.III.72 IPT/47854-21.III-72 MBE, beneficiar Ministerul Energiei Electrice, 1972.
19. CRISAN S., TANASE M.E., Determinarea "constantei" Verdét la materiale magneto-optice. VOLUM SELECTIV sesiunea de electronică aplicată, septembrie 1979, Timișoara.
20. ANGOT A. Compléments de mathématiques. București, Editura Tehnică, 1965.
21. BASTIAN P. Der Faraday - Effekt ein neues Stromwandlerprinzip. ELEKTRIE, heft 5, 1974, pg.258-261.
22. PAGE J.L. Application of magneto-optics. IEEE TRANS. on MAGNETICS, MAG-5, 1969, pg.472-481.
23. CARNEL A., GREBILLE B., KAPLAN CH., TEBOUL J. Transformateurs de courant magneto-optique à effet Faraday, astatique. REVUE GENERALE DE L'ELECTRICITE, tome 80, nr.11, 1971,pg.815-826.
24. PAUL G., SCHROTTER H. Messwertübertragung über grosse Potentialunterschiede. ELEKTRIE, heft 7, 1968,pg.261-266.
25. HÉROIN P., BÉNOIST G., DELLAMARE Y. Mesure d'un courant par une ampèremètre à effet Faraday. REVUE GENERALE DE L'ELECTRICITE, tome 76, nr.7-8, 1967, pg.1045-1054.
26. BONDEAU A., BLANCHARD P., GAUME F. Production d'un champ magnétique de topographie adaptée aux expériences de magneto-optique. REVUE GENERALE DE L'ELECTRICITE, tome 77, nr.10, 1968, pg.917-926.
27. TANASE M.E., Bobina masivă solenoidală ca generator de câmp magnetic controlat în experiențele magneto-optice. Timișoara, VOLUM SELECTIV sesiunea de electrotehnică, 1977.
28. KASIANOV G.P., HOLODENCO Iu. N. Ob optiko elektronom izmernenia toka (napriajenia). PROBLEMI TEHNICESKOI ELEKTRODINAMIKI, 42, 1973, pg.59-62.
29. AFANASIEV V.V., ZUBKOV V.P., KRASTINA A.D. Optiko-elektronie transformatori toka. ELEKTRICESTVO, nr.7, 1970,pg.18-24.
30. JAECKLIN A.A. Labormodel eines magnetooptischen Stromwandlers. ARCHIV für TECHNISCHE WISSEN, nr.428, sept. 1971,pg.107-108.
31. POP E., CRISAN S., STOICA V., TANASE M.E., CHIVU M., Cercetări privind utilizarea montajului experimental a unui transformator magneto-optic pentru măsurarea

curenților în conductoare la înaltă tensiune. PROTOCOL CONTRACT Nr.77/75 beneficiar. ICEMENERG București.

32. POP E., CHIVU M., TANASE M.E., IGNEA A., CRISAN S. Cercetări privind realizarea a trei prototipuri de transformatoare magneto-optice pentru măsurarea curenților în conductoarele de înaltă tensiune. PROTOCOL CONTRACT nr.78/76 beneficiar ICEMENERG București.
33. POP E., CRISAN S., STOICA V., TANASE M.E., CIMPOBURIU I.G. Transformator magneto-optic de curent. BREVET INVENTIE nr.66109/21.07.1976, CNST-OSIM București, România
34. POP E., CRISAN S., TANASE M.E., Transformator magneto-optic de curent. Faza 2 PROTOCOL CONTRACT nr.4515-24.IV.72 IPT/47854-21.III.72 MBE, beneficiar Ministerul Energiei Electrice, 1973.
35. DE SABATA I. Bazele electrotehnicii, Timișoara, Litografia IPTVT , 1974.
36. TIMOTIN A., HORTOPAN V., IFRIM A., PREDA M. Lecții de bazele electrotehnicii București, Editura Didactică și redagogică, 1970.
37. RADULET R. Bazele electrotehnicii. Probleme. Vol.I. București, Editura Didactică și Pedagogică, 1975.
38. KIND J. Beitrage zur Bestimmung magnetischen Felder in eisenhaltigen magnetischer Kreisen. DISSERTATION DDR,1970.
39. OLLENDORF F., Berechnung magnetischer Felder. Wien, Springer-Verlag, 1952.
40. Mc.WHIRTER J.H., DUFFIN R.J. Computational methods for solving static field an eddy currents probléms via Fredholm integral equations. IEEE TRANS. on MAGNETICS, vol.MAG-15, nr.3,1979, pag.1075-1084.
41. BUL' B.K. Osnovi teorii i rasciota magnitnîh magnetnîh tepei. Leningrad, Izdatelstvo Energia, 1970.
42. BIZEZINA W., LANGEHOLG J. Calculation of the pole dimensions corrections for the tratement of strei flux in electromagnetic suspensions magnets. E.T.Z. - A., Bd.95, 1974, pg.524-525.
43. BODIASKIN A. Metod rasciota magnitnîh polei. Moskva, Uzdatelstvo Energia, 1968.
44. SORAN I.P. Studiul configurației cîmpului magnetic în întrefierul mașinii de inducție și influența ei asupra parametrilor de pornire. Teză de doctorat, Timișoara, 1979.
45. DEMERDASH N.A. An evaluation of the methods of finite elements and finite differences in the solutions of nonlinear electromagnetic fields in electrical machines. I.E.E.E. TRANS. on P.A.S. , vol.PAS-98, nr.1, 1979, pg.74-87.

46. ILIOIU C. Probleme de optimizare și algoritmi de aproximare a soluției. București, Editura Academiei RSR, 1980.
47. PANELLI M. Il metode degli elementi finiti; possibilità di applicazioni a problemi di interesse degli elettrotecnici. L'ELECTROTECNICA, nr.6, 1975, pg.513-520.
48. RAFIHEJAD P., SABONADIERE J.C. Finite element computer programs in design of electromagnetic devices. IEEE TRANS. on MAGNETICS, vol.MAG-12, nr.5, 1976, pg.575-578.
49. SILVESTER P., RAFINEJAD P. Curvilinear finite elements for two-dimensional saturable magnetic field. IEEE TRANS. on P.A.S., vol.PAS-93, 1974, nr.2, pg.1861-1870.
50. COSTACHE GH., DELLA-GIACOMO E.R. Nonlinear magnetic problems, treated by the finite element method. REVUE ROUMAINE de SCIENCE et TECHNIQUE et ELECTROENERGETIQUE, 21.4., 1976, pg.481-487.
51. SILVESTER P., CHARI M.V.K. Finite-element solutions of saturable magnetic fields problems. I.E.E.E. TRANS. on P.A.S., vol.PAS-89, 1970, pg.1642-1651.
52. CHARI M.V.K. Finite element solutions of the eddy-current problem in magnetic structures. I.E.E.E. TRANS. on P.A.S., vol.PAS-93, nr.1, 1973, pg.62-72.
53. POPOV P.G., SHUMICOV Iu.A. Analiz electromagnitnîh ustroisto s induktivnîmi zviiazami metodî konecinîh elementar ELEKTRICESTVO , nr.11, 1978.
54. ARMOR A.F., CHARI M.V.K. Heat flow in the stator core of large turbine generators by the method of three-dimensional finite elements. Parte 1. I.E.E.E. TRANS. on P.A.S. , vol.PAS-95, nr.5, 1976, pg.1648-1656.
55. ARMOR A.F., CHARI M.V.K. Heat flow in the stator core of large turbine generators by the methods of three-dimensional finite elements. Parte 2. I.E.E.E. TRANS. on P.A.S. , vol.PAS-95, nr.5, 1976, pg.1656-1668.
56. NICULESCU S. Fortran. Inițiere în programare structurată. București, Editura Tehnică, 1979.
57. LAVRENTIEV M.A., LIUSTERNIK L.A. Curs de calcul variațional. București, Editura Tehnică, 1955, traducere din limba rusă.
58. ZIENKIEWICZ O.C. La methode des éléments finis. Paris, 1973.
59. AZIZ A.K. The mathematical foundations of the finite element method with applications to partial differen-

tial equations. New-York, Academic Press, 1972.

60. HUEBNER K.M. The finite element method for engineers. London, John Wiley and Sons, 1975.
61. WEISS J., SILVESTER P. Finite elements for magnetostatic fields with distributed current densities. ELECTRIC MACHINES and ELECTROMECHANICS, nr.3, 1979, pg.257-271.
62. CIARLET P.G. General Lagrange and Hermite interpolation in  $R^n$  with applications to finite element methods. ARCH.RATIONAL MECH.ANAL.,nr.46, 1972, pg.177-199.
63. CIARLET P.G. Sur l'element de Clough et Foucher. REVUE FRANÇAISE d'AUTOMATIQUE, INFORMATIQUE, RECHERCHE OPERATIONELLE, nr.8, 1974, serie rouge, pg.19-27.
64. MARINESCU GH. și alții. Probleme de analiză numerică. București, Editura Didactică și Pedagogică, 1978.
65. DODESCU GH. Metode numerice în algebră. București, Editura tehnică, 1979.
66. Mc CRACKEN D., DORN V.S. Numerical methods and FORTRAN programming with applications in engineering and science. New York, John Wiley and sons Inc., 1964.
67. GASTINEL N. Solutions numeriques des equations algebriques. Tome II, Masson & Cie, Editeurs Paris, 1961.
68. POP E., CHIVU M., Măsurări electrice și magnetice, Timișoara, Litografia IPTVT, 1971.
69. Erori de măsurare. Terminologie CNST-IDS, STAS 2872-74.
70. BADULESCU N. Linii și stații electrice. București, Editura Tehnică, 1967.
71. NICULESCU S. Fortran. Inițiere în programare structurată. București, Editura Tehnică, 1979.
72. BALTAC V. și colectivul. FELIX C-256. Structura și programarea calculatorului. București, Editura Tehnică, 1974.
73. DIMO P. Programarea în FORTRAN. București, Editura Didactică și Pedagogică, 1971.
74. Wiener U. Măsurări electrice industriale. Vol.II. Măsurarea mărimilor magnetice. București, Editura Tehnică, 1969.
75. Manualul inginerului. Vol.2. București, Editura Tehnică, 1966.
76. POPESCU C., LEPTER C. Materiale electrotehnice, București, Editura Didactică și Pedagogică, 1970.

77. DRUJININ V.V. Magnitnie svoistva elektrotehnicescoi steli. Moscva, Gosenergoizdat, 1962.
78. CEDIANIAN S. Materiale magnetice. Bucuresti, Editura Tehnică, 1974.